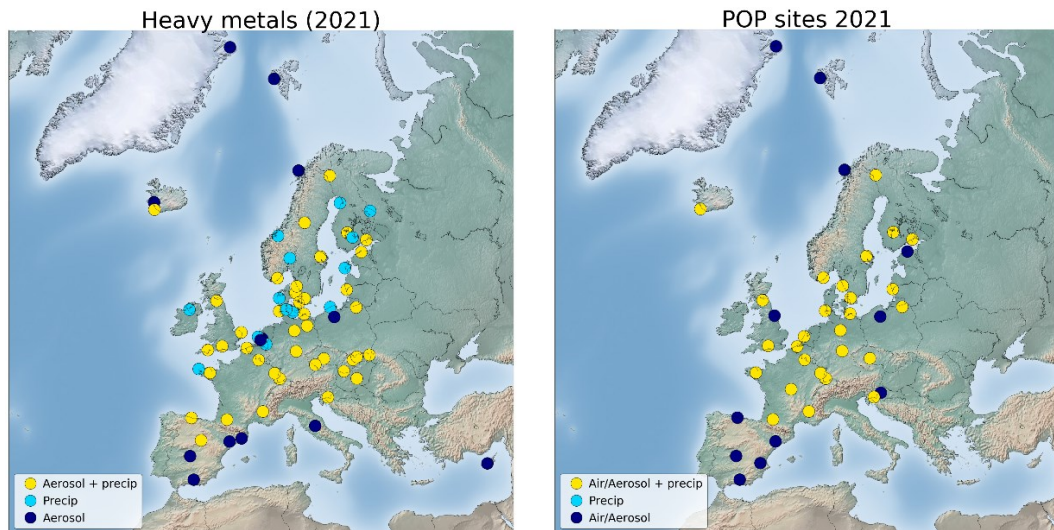


## Heavy metals and POP measurements, 2021

Wenche Aas, Helene Lunder Halvorsen, William Frederik Hartz,  
Katrine Aspmo Pfaffhuber and Nora Yttri





NILU : EMEP/CCC-Report 3/2023  
REFERENCE : O-7726  
DATE : SEPTEMBER 2023  
ISBN 978-82-425-3129-2  
ISSN 2464-3920

**EMEP Co-operative Programme for Monitoring and Evaluation  
of the Long-range Transmission of Air Pollutants  
in Europe**

**Heavy metals and POP measurements,  
2021**

Wenche Aas, Helene Lunder Halvorsen, William Frederik Hartz,  
Katrine Aspmo Pfaffhuber and Nora Yttri



NILU  
P.O. Box 100, N-2027 Kjeller, Norway



# Contents

	Page
<b>Contents .....</b>	<b>3</b>
<b>1. Introduction .....</b>	<b>5</b>
<b>2. Measurement programme .....</b>	<b>5</b>
2.1 Monitoring sites for heavy metals .....	5
2.2 Monitoring sites for POPs .....	12
2.3 Heavy metal concentrations over Europe .....	17
2.4 Concentrations of POPs in air and precipitation.....	23
2.5 Annual summaries .....	27
2.6 Monthly summaries .....	29
2.7 Update.....	29
<b>3. Acknowledgements .....</b>	<b>30</b>
<b>4. References .....</b>	<b>31</b>
<b>Appendix A Annual statistics for heavy metals in precipitation .....</b>	<b>35</b>
<b>Appendix B Annual statistics for heavy metals in air .....</b>	<b>51</b>
<b>Appendix C Annual statistics for POPs in precipitation.....</b>	<b>65</b>
<b>Appendix D Annual statistics for POPs in air .....</b>	<b>79</b>
<b>Appendix E Monthly and annual mean values for heavy metals in precipitation.....</b>	<b>91</b>
<b>Appendix F Monthly and annual mean values for heavy metals in air .....</b>	<b>119</b>
<b>Appendix G Monthly and annual mean values for POPs in precipitation .....</b>	<b>145</b>
<b>Appendix H Monthly and annual mean values for POPs in air .....</b>	<b>171</b>



# Heavy metals and POP measurements, 2021

## 1. Introduction

Heavy metals and persistent organic pollutants (POPs) were included in EMEP's monitoring program in 1999. However, earlier data have been reported and are available. The EMEP database, thus also includes older data, especially for heavy metals, even back to 1976 for a few sites. A number of countries have been reporting heavy metals and POPs within the EMEP area in connection with different national and international programmes such as HELCOM, AMAP and OSPARCOM.

During the seventh phase of EMEP (EB.AIR/GE.1/1998/8), it was recommended that the future works under the Convention should concentrate on eight priority elements: lead (Pb), mercury (Hg), cadmium (Cd), chromium (Cr), nickel (Ni), zinc (Zn), copper (Cu) and arsenic (As). Particular attention should be paid to the first three elements.

The strategic long-term plans on POPs (EB.AIR/GE.1/1997/8) recommended to take a stepwise approach, and the following compounds or groups of compounds should be included in the first step: polycyclic aromatic hydrocarbons (PAHs), polychlorinated biphenyls (PCBs), hexachlorobenzene (HCB), chlordanes (CHLs), lindane ( $\gamma$ -hexachlorocyclohexane (HCH)),  $\alpha$ -HCH, and DDT/DDE.

These recommendations for heavy metals and POPs are implemented in the EMEP monitoring strategy and measurement program for 2010–2019 (UNECE, 2009) and the newly adopted strategy for 2020–2029 (UNECE, 2019).

So far, twenty-four reports presenting data on heavy metals and POPs from national and international measurement programmes have been published (EMEP/CCC-Reports 8/96, 9/97, 7/98, 7/99, 2/2000, 9/2001, 9/2002, 1/2003, 7/2004, 9/2005, 7/2006, 6/2007, 4/2008, 3/2009, 3/2010, 3/2011, 3/2012, 4/2013, 4/2014, 3/2015, 4/2016, 3/2017, 3/2018, 3/2019, 3/2020, 3/2021, 3/2022) covering data for the period 1987 to 2020. In this report, data from 2021 are presented. All the data, including aggregated monthly and annual averages, are available from EMEP's homepage, <http://www.nilu.no/projects/ccc/emepdata.html>, and they can be directly accessed through the database at <http://ebas.nilu.no/>.

## 2. Measurement programme

The site codes used in this report are the codes used for data submission and storage in the EMEP database, or codes used in the AMAP, OSPARCOM or HELCOM programmes. The codes consist of the two-letter ISO code for the countries, a four-digit number and a letter indicating the type of station, regional (R) or global (G).

### 2.1 Monitoring sites for heavy metals

The locations of the monitoring sites, which have delivered data on heavy metals for 2020, are found in Figure 1 and Table 1. The sites are divided in those measuring concentrations of heavy metals in both air and in precipitation, and those measuring heavy metals in only one of them. In 2021, there were 45 sites measuring heavy metals in both air and precipitation, and altogether there were 68 measurement sites. There were 20 Parties to EMEP submitting heavy metal data.

There were 30 sites measuring at least one form of mercury, whereof 16 having measurements both in air and precipitation. 18 sites were measuring mercury in gaseous phase. There were 13 Parties to EMEP submitting mercury data.

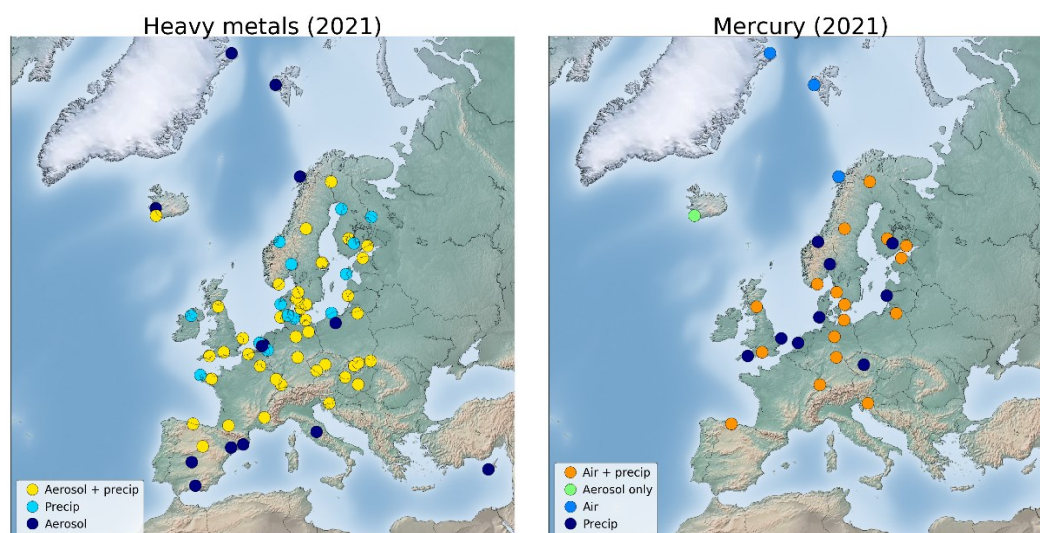


Figure 1: Measurement network of heavy metals (left) and mercury (right), 2021

The measurement obligations set by the EMEP monitoring strategy (UNECE, 2009 and 2019) and the EUs air quality directives (EU, 2004, 2008) have clearly improved the site coverage the last decade, although there are still a lack of measurements in some parts of Europe, especially for mercury as seen in Figure 1. A brief summary of the sampling and analytical techniques for heavy metals used for the 2021-data are given in Table 2.



Table 1: Monitoring stations and the sampling program of heavy metals, 2021

Country	Code	Station name	Latitude	Longitude	hasl	Metals in air	Metals in precip
Belgium	BE0014R	Koksijde	51 7 15 N	2 39 30 E	4	As,Cd, Cr Cu,Mn,Ni,Pb,Zn	As,Cd,Cr,Cu,Fe,Ni,Pb, Zn,Mn
Cyprus	CY0002R	Agia Marina	35 2 20 N	33 3 29 E	532	Al,As,Cd,Cr,Cu,Fe,Pb,Mn,Ni,V,Zn	
Czech Republic	CZ0003R	Kosetice (NOAK)	49 35 0 N	15 5 0 E	534	As,Cd,Co,Cr,Cu,Mn,Ni,Pb,V,Zn	Cd,Co,Cr,Hg,Ni,Pb,V,Zn,Mn,Cu
	CZ0005R	Churanov	49 4 0 N	13 36 0 E	118	As,Cr,Cd,Co,Cu,Pb,Ni,Mn,V,Zn	Cd,Co,Cr,Ni,Pb,V,Zn,Cu, Mn
Germany	DE0001R	Westerland	54 55 32 N	8 18 35 E	12	As,Cd,Cu,Co,Cr,Fe,Pb,Mn,Tl,Ni,Sb,V,Zn,Se	As,Cd,Cr,Co,Cu,Fe,Hg,Pb,Mn,Mo,Ni,Sb,Se,Ti,Tl,V,Zn
	DE0002R	Langenbrügge	52 48 8 N	10 45 34 E	74	As,Cd,Cu,Co,Cr,Fe,Hg,Pb,Mn,Ni,Tl,Sb,V,Zn,Se	As,Cd,Cr,Co,Cu,Fe,Hg,Pb,Mn,Mo,Ni,Sb,Se,Ti,Tl,V,Zn
	DE0003R	Schauinsland	47 54 53 N	7 54 31 E	1205	As,Cd,Cu,Co,Cr,Fe,Hg,Pb,Mn,Ni,Tl,Sb,V,Zn,Se	As,Cd,Cr,Co,Cu,Fe,Hg,Pb,Mn,Mo,Ni,Sb,Se,Ti,Tl,V,Zn
	DE0007R	Neuglobsow	53 10 0 N	13 2 0 E	65	As,Cd,Cu,Co,Cr,Fe,Pb, Mn,Ni,Tl, Sb,V,Zn,Se	As,Cd,Cr,Co,Cu,Fe,Pb,Mn,Mo,Ni,Sb,Se,Ti,Tl,V,Zn
	DE0008R	Schmücke	50 39 0 N	10 46 0 E	937	As,Cd,Cu,Co,Cr,Fe,Hg,Pb,Mn,Ni,Tl,Sb,V,Zn,Se	As,Cd,Cr,Co,Cu,Fe,Hg,Pb,Mn,Mo,Ni,Sb,Se,Ti,Tl,V,Zn
	DE0009R	Zingst	54 26 0 N	12 44 0 E	1	As,Cd,Cu,Co,Cr,Fe,Hg,Pb,Mn,Ni,Tl,Sb,V,Zn,Se	As,Cd,Cr,Co,Cu,Fe,Hg,Pb,Mn,Mo,Ni,Sb,Se,Ti,Tl,V,Zn
Denmark	DK0005R	Keldsnor	54 44 47 N	10 44 10 E	10		As,Cd,Cr,Ni, Zn
	DK0008R	Anholt	56 43 0 N	11 31 0 E	40	As,Cd,Pb,Ni	As,Cd,Cr,Ni,Zn
	DK0010G	Villum, North	81 36 0 N	16 40 12 W	20	As,Cd,Hg,Ni,Pb	
	DK0012R	Risø	55 41 36 N	12 5 0 E	3	As,Cd,Pb,Ni	As,Cd,Cr,Ni,Zn
	DK0022R	Sepstrup Sande	55 5 0 N	9 36 0 E	60		As,Cd,Cr,Ni,Zn
	DK0031R	Ulborg	56 17 26 N	8 25 39 E	10		As,Cd,Cr,Ni,Zn
Estonia	EE0009R	Lahemaa	59 30 0 N	25 54 0 E	32	As,Cd,Hg,Pb,Ni	As,Cd,Cu,Ni,Pb,Zn
	EE0011R	Vilsandy	58 23 0 N	21 49 0 E	6		Cd,Cu,Pb,Mn,Ni,Zn
Spain	ES0001R	S. Pablo d.l Montes	39 32 49 N	4 21 2 W	917	As,Cd,Cr,Pb,Ni,Zn	As,Cd,Cu,Cr,Pb,Hg,Ni,Zn (total deposition campaign)
	ES0007R	Víznar	37 14 14 N	3 32 3 W	1230	As,Cd,Cr,Pb,Ni,Zn	As,Cd,Cu,Cr,Pb,Hg,Ni,Zn (total deposition campaign)
	ES0008R	Niembro	43 26 20 N	4 50 57 W	134	As,Cd,Cr,Pb,Ni,Zn, Hg(g)	As,Cd,Cu,Cr,Pb,Hg, Ni,Zn (precip+total dep. campaign)
	ES0009R	Campisabalos	41 16 27 N	3 8 33 W	1360	As,Cd,Cr,Cu,Ni,Pb,Zn	As,Cd,Cu,Cr,Pb,Ni,Zn (precip+total dep. campaign), Hg (total dep)
	ES0012R	Zarra	39 04 58 N	1 6 4 W	885		As,Cd,Cu,Cr,Pb,Hg,Ni,Zn (total deposition campaign)
	ES0014R	Els Torms	41 23 33 N	0 44 3 E	470	As,Cd,Cr,Cu,Ni,Pb,Zn	As,Cd,Cu,Cr,Pb,Hg,Ni,Zn (total deposition campaign)
	ES1778R	Montseny	41 46 0 N	2 21 0 E	700	Al,As,Cd,Cr,Co,Cu,Hg,Pb,Mn,Ni,V,Zn + more	

Table 1 (cont.)

Country	Code	Station name	Latitude	Longitude	hasl	Metals in air	Metals in precip
Finland	FI0018R	Violahti III	60 31 48 N	27 40 3 E	4	Al,As,Cd,Co,Cr,Cu,Fe,Hg,Mn,Ni,Pb,V,Zn	Al,As,Cd,Co,Cr,Cu,Fe,Hg,Mn,Ni,Pb,V,Zn
	FI0036R	Pallas/Matarova	68 0 0 N	24 14 23 E	340	Al,As,Cd,Co,Cr,Cu,Fe,Hg,Mn,Ni,Pb,V,Zn	Al,As,Cd,Co,Cr,Cu,Fe,Hg,Mn,Ni,Pb,V,Zn
	FI0050R	Hyytiälä	61 51 0 N	24 17 0 E	181	Al,As,Cd,Co,Cr,Cu,Fe,Hg,Mn,Ni,Pb,V,Zn	Al,As,Cd,Co,Cr,Cu,Fe,Hg,Mn,Ni,Pb,V,Zn
	FI0053R	Hailuoto II	65 0 0 N	24 41 39 E	0		Al,As,Cd,Co,Cr,Cu,Fe,Mn,Ni,Pb,V,Zn
	FI0092R	Hietajärvi	63 10 0 N	30 43 0 E	172		Al,As,Cd,Co,Cr,Cu,Fe,Mn,Ni,Pb,V,Zn
	FI0093R	Kotinen	61 14 0 N	25 4 0 E	158		Al,As,Cd,Co,Cr,Cu,Fe,Hg,Mn,Ni,Pb,V,Zn
France	FR0008R	Donon	48 30 0 N	7 8 0 E	775	As,Cd,Ni,Pb	As,Cd,Ni,Pb
	FR0009R	Revin	49 54 0 N	4 38 0 E	0	As,Cd,Ni,Pb	As,Cd,Ni,Pb
	FR0013R	Peyrusse Vieille	43 37 0 N	0 11 0 E	200	As,Cd,Ni,Pb	As,Cd,Ni,Pb
	FR0023R	Désert	44 34 10 N	5 16 44 E	605	As,Cd,Ni,Pb	As,Cd,Ni,Pb
	FR0025R	Verneuil	46 48 53 N	2 36 36 E	182	As,Cd,Ni,Pb	As,Cd,Ni,Pb
	FR0028R	Kergoff	48 15 43 N	2 56 38 W	307	As,Cd,Ni,Pb	As,Cd,Ni,Pb
	FR0090R	Porspoder	48 31 0 N	4 45 0 W	50		As,Cd,Co,Cu,Cr,Pb,Ni,V,Zn
Great Britain	GB0006R	Lough Navar	54 26 35 N	7 52 12 W	126		As,Cd,Cr,Cu,Pb,Ni,Zn
	GB0013R	Yarner Wood	50 35 47 N	3 42 47 W	11	As,Cd,Cr,Cu,Ni,Pb,Zn	As,Cd,Cr,Cu,Hg,Pb,Ni,Zn
	GB0017R	Heigham Holmes	54 45 14 N	1 38 22 W	267	As,Cd,Cr,Cu,Ni,Pb,Zn	As,Cd,Cr,Cu,Hg,Pb,Ni,Zn
	GB1055R	Chilbolton	51 8 59 N	1 26 18 W	78	As,Cd,Cr,Co,Cu,Fe,Hg,Pb,Ni,Se,V,Zn	Al,As,Cd,Cr,Co,Cu,Hg,Pb,Mn,Ni,V,Zn + more
	GB0048R	Auchencorth Moss	55 47 36 N	3 14 41 W	260	As,Cd,Cr,Co,Cu,Fe,Hg,Mn,Ni,Pb,Se,V,Zn	Al,As,Cd,Cr,Co,Cu,Hg,Pb,Mn,Ni,V,Zn + more
Hungary	HU0002R	K-pusztá	46 58 0 N	19 35 0 E	125	Pb,Cd	Pb,Cd
Iceland	IS0091R	Storhofdi	63 23 58 N	20 17 18 W	118	As,Cd,Cr,Co,Cu,Fe,Hg,Mn,Ni,Pb,Se,V,Zn	Al,As,Cd,Cr,Co,Cu,Fe,Mn,Ni,Pb,V,Zn
	IS0002R	Irafoss	64 5 17 N	21 0 24 W	66	Fe	
Italy	IT0019R	Monte Martano	42 48 20 N	12 33 56 E	1090	Al,As,Cd,Cr,Co,Cu,Fe,Mn,Mo,Ni,Pb,Sn,Ti,V,Zn	Al,As,Cd,Cr,Co,Cu,Fe,Mn,Mo,Ni,Pb,Sn,Ti,V,Zn (tot. dep.)
Latvia	LV0010R	Rucava	56 9 44 N	21 10 23 E	18	As,Cd,Pb,Ni	As,Cd,Hg,Pb,Ni
Netherlands	NL0008R	Bilthoven	52 11 99 N	5 19 50 E	5.0	As,Cd,Pb,Ni,Zn	
	NL0010R	Vredepeel	51 54 5 N	5 85 31 E	28		As,Cd,Cr,Cu,Fe,Ni,Pb,V,Zn
	NL0091R	De Zilk	52 29 66 N	4 51 9 E	4.0		As,Cd,Cr,Cu,Fe,Pb,Ni,Zn,Hg
	NL0644R	Cabauw	51 58 28 N	4 55 25 E	1	As,Cd,Pb,Ni,Zn	

Table 1 (cont.)

Country	Code	Station name	Latitude	Longitude	hasl	Metals in air	Metals in precip
Norway	NO0001-2R	Birkenes	58 23 0 N	8 15 0 E	190	As,Al,Cd,Cr,Co,Cu,Fe,Pb,Hg,Ni,V,Zn	As,Cd,Cr,Co,Cu,Pb,Hg,Ni,V,Zn
	NO0039R	Kårvatn	62 47 0 N	8 53 0 E	210		As,Cd,Co,Cu,Cr,Hg,Mn,Ni,Pb,V,Zn
	NO0042G	Zeppelin	78 54 0 N	11 53 0 E	474	As,Al,Cd,Cr,Co,Cu,Fe,Pb,Hg,Ni,V,Zn	
	NO0056R	Hurdal	60 22 0 N	11 4 0 E	300		As,Cd,Co,Cu,Cr,Hg,Mn,Ni,Pb,V,Zn
	NO0090R	Andøya	69 16 42 N	16 0 42 E	380	As,Al,Cd,Cr,Co,Cu,Fe,Pb,Hg,Ni,V,Zn	
Poland	PL0004R	Leba	54 45 13 N	17 32 5 E	2		Cd,Cr,Cu,Pb,Ni,Zn
	PL0005R	Diabla Gora	54 7 3 N	22 2 17 E	157	As,Cd,Cr,Cu,Hg,Pb,Ni,Zn	As,Cd,Cr,Cu,Pb,Ni,Zn,Hg
	PL0009R	Zielonka	53 39 44 N	17 56 2 E	121	As,Cd,Ni,Pb	
Sweden	SE0005R	Bredkälén	63 51 0 N	15 20 0 E	404	As,Cd,Cr,Co,Cu,Hg,Pb,Mn,Ni,V,Zn	As,Cd,Cr,Co,Cu,Hg,Pb,Mn,Ni,V,Zn
	SE0014R	Råö	57 23 0 N	11 53 0 E	10	As,Cd,Cr,Co,Cu,Hg,Pb,Mn,Ni,V,Zn	As,Cd,Cr,Co,Cu,Hg,Pb,Mn,Ni,V,Zn
	SE0020R	Hallahus	56 2 80 N	13 8 80 E	190	As,Cd,Cr,Co,Cu,Hg,Pb,Mn,Ni,V,Zn	As,Cd,Cr,Co,Cu,Hg,Pb,Mn,Ni,V,Zn
	SE0022R	Norunda Stenen	60 5 9 N	17 30 19 E	45	As,Cd,Cr,Co,Cu,Mn,Ni,V,Zn	As,Cd,Cr,Co,Cu,Pb,Mn,Ni,V,Zn
Slovenia	SI0008R	Iskrba	45 33 45 N	14 51 45 E	520	As,Cd, Cr,Cu,Hg,Pb,Ni,Zn	As,Cd,Cr,Co,Cu,Hg,Pb,Mn,Ni,V,Zn
Slovakia	SK0002R	Chopok	48 56 0 N	19 35 0 E	2008	As,Cd,Cr,Cu,Pb,Ni,Zn	As,Cd,Cr,Cu,Pb,Ni,Zn
	SK0004R	Stará Lesná	49 9 0 N	20 17 0 E	808	As,Cd,Cr,Cu,Pb,Ni,Zn	As,Cd,Cr,Cu,Pb,Ni,Zn
	SK0006R	Starina	49 3 0 N	22 16 0 E	345	As,Cd,Cr,Cu,Pb,Ni,Zn	As,Cd,Cr,Cu,Pb,Ni,Zn
	SK0007R	Topolníky	47 57 36 N	17 51 38 E	113	As,Cd,Cr,Cu,Pb,Ni,Zn	As,Cd,Cr,Cu,Pb,Ni,Zn

Table 2: Measurement methods for heavy metals, 2021

Country	Precipitation		Air and aerosols		Laboratory method
	Field method	Frequency	Field method	Frequency	
Belgium	wet only	weekly	Low volume sampler	48h	ICP-MS
Cyprus	wet only	daily	High Volume Sampler, quartz fibre filters, ca 700 m <sup>3</sup> /day	daily	ICP-MS
Czech Republic	Wet only	Daily: CZ03 Weekly: CZ05	Filter-1pack	every 2nd day	ICP-MS AFSFX
Hg	Bulk	Weekly: CZ3			
Germany	wet only Hg wet only	Weekly Weekly	Low volume sampler TGM : monitor (Tekran) GEM : mercury speciation unit (Tekran) TPM : mercury speciation unit (Tekran) RGM : mercury speciation unit (Tekran)	weekly daily (reported) 1 h (reported) 3 h (5 - 6 values per 24 h) 3 h (5 - 6 values per 24 h)	ICP-MS
Denmark	Hg	Bulk	Monthly Low volume sampler, Millipore RAWP 1.2 mm, 58 m <sup>3</sup> /day TGM: monitor (Tekran)	daily 1h	ICP-MS
Estonia	Bulk	EE0009R weekly EE0011R 2-weekly	High vol.	weekly	GF-AAS, Zn: F-AAS
Spain	wet only bulk (tot dep)	Weekly (in precip) Monthly (tot dep)	High-vol, PM10 TGM: monitor (Tekran)	24h a week 1h	ICP-MS (aerosol and tot dep) GF-AAS for precip CV-AFS (hg)
Finland	Hg	Bulk Bulk	Monthly Monthly Low volume sampler TGM : monitor (Tekran) additionally : FI36 TGM : gold traps and TPM: mini traps by Sweden	weekly 1h (all sites)+ FI36: 2 X 24 h a week (manual traps)	ICP-MS CV-AFS
France	bulk	Monthly (4weeks)	low volume sampler	2-weekly	ICP MS
Great Britain	Bulk	GB06,17: monthly GB13,91: weekly	PM10, low volume sampler	weekly	ICP-MS
Hungary	wet only	Weekly	filter_1pack	weekly	GF-AAS
Iceland	Bulk	Weekly	High vol.	2-weekly	ICP-MS
Hg			High vol.	2-weekly	CV-AAS
Italy	Bulk sampler precip+dry deposition	Monthly	High vol	48 h a week	ICP-MS
Latvia	wet only	Weekly	PM10, low volume sampler, 2.3 m <sup>3</sup> /h	Biweekly	ICP MS

Table 2 (cont.)

Country	Precipitation		Air and aerosols		Laboratory method
	Field method	Frequency	Field method	Frequency	
Hungary	wet only	weekly	filter_1pack	weekly	GF-AAS
Netherlands	Wet-only	weekly (NL0091R)	PM10, low volume sampler, OPSIS teflon filters, 2.3 m <sup>3</sup> /h (NL0008R)	Every 2nd day	ICP-MS
	Bulk	2-weekly (NL0010R)	PM2.5 low volume sampler, OPSIS teflon filters, 2.3 m <sup>3</sup> /h (NL0008R)	Every 4th day	ICP-MS
	Hg Wet-only	Weekly			CV-AFS
Norway	Bulk	Weekly	NO42: High Vol, 20 l/h, W41 NO01: PM10 KFG 2,3 l/h, quartz TGM: monitor (Tekran)	48h a week Weekly continuously	ICP-MS
	Hg Bulk (Hg)	Monthly			CV-AFS
Poland,	PL04 Wet-only	Biweekly sampling, monthly analysis			GF-AAS, Zn: F-AAS
	PL05 Bulk	Weekly sampling, monthly analysis	PM10 High vol, quartz filter	daily sampling, weekly analysis (bulked 7 filters)	GF-AAS, Zn:F-AAS - precip.; As, Cd, Ni, Pb: GF-AAS, Cr, Cu, Zn: ICP-AES - PM10
	Hg Bulk (Hg)	Weekly sampling, monthly analysis	Hg: TGM monitor (Lumex)	continuously	CV-AFS
	PL09		PM10 High vol, quartz filter	daily sampling, weekly analysis (bulked 7 filters)	As, Cd, Ni, Pb: GF-AAS
Sweden	Bulk	Monthly	PM10, intermittent, teflon filter	2-weekly sampling, monthly analysis	ICP-MS
	Hg Bulk (Hg)	2-weekly	Hg: gold traps (TGM) Hg: GEM, TPM, GOM monitor (Tekran)	1 X 24 h a week continuously (SE0014R)	CV-AFS CV-AFS
Slovenia	bulk (HM)	weekly	Low volume, 2.3 m <sup>3</sup> /h, PM <sub>10</sub> , quartz filters	24 h once every 6days	ICP-MS
	Hg wet only (Hg)	1 month	AAS with Zeeman background corr.	continuously for min 2 weeks of each season	Precip: CV-AAS, Aerosol: AAS
Slovakia	Wet-only: SK04, SK06, SK07. Bulk: SK02	Monthly: SK02, SK04, SK07. Weekly: SK06	SK02: TSP Filter-1pack, Nitrocellulose filters Sartorius 47mm: 22-24 m <sup>3</sup> /day, pump changed since Sept. 35-40 m <sup>3</sup> /day. SK04, SK06, SK07: 24 m <sup>3</sup> /day PM10/microPNS.	Weekly	ICP-MS

GF-AAS: Graphic Furnace Atomic Absorption Spectroscopy

ICP-MS (or OES): Inductively Coupled Plasma - Mass Spectrometry (optical emission spectrometry)

CV-AFS: Cold Vapour Atomic Fluorescence Spectroscopy

XRF: X-ray fluorescence

## 2.2 Monitoring sites for POPs

The locations of the monitoring sites that have delivered data on POPs in 2021, are shown in Figure 2-3 and Table 3. In total, there are 17 parties and 39 sites reporting POP data in 2021. Of these, 27 sites report data in both air and precipitation/total deposition, 12.

sites report data only in air. The spatial coverage varies for the different POP compounds (Figure 3). One should further notice that several of the Parties only measure and report PAHs (i.e. 9 Parties and 24 sites). A summary of the sampling and analytical techniques used for POPs for the 2021-data are given in Table 4.

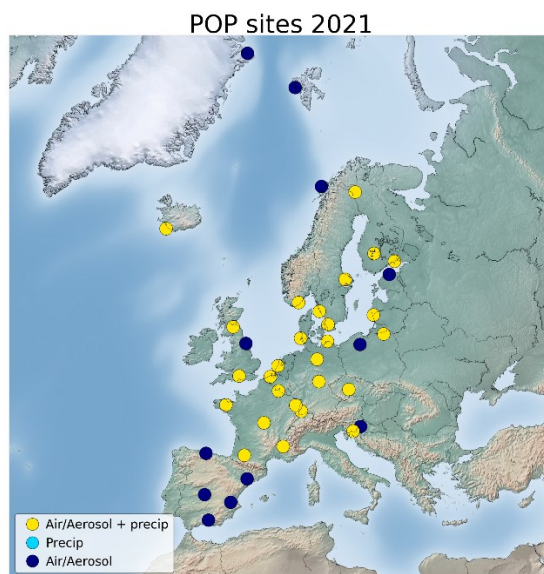


Figure 2: Measurement network of POPs in EMEP, 2021

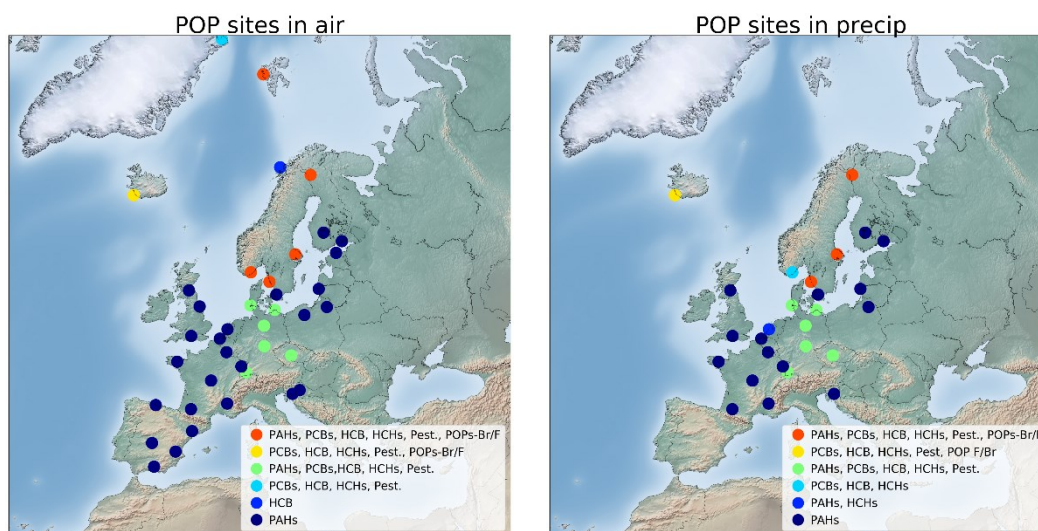


Figure 3: Spatial distribution of monitored POP components for air (left) and precipitation (right) respectively, in 2021

Table 3: Monitoring stations and their sampling program of POPs, 2021

Country	Code	Station name	Latitude	Longitude	hasl	POPs in air and/or aerosol	POPs in precipitation
Belgium	BE0013R	Houtem	51 0 58 N	2 34 56 E	44	PAHs	PAHs
Czech rep.	CZ0003R	Kosetice	49 35 0 N	15 5 0 E	534	PAHs, PCBs, HCB, DDTs, HCHs	PAHs, PCBs, HCB, DDTs, HCHs
Germany	DE0001R	Westerland	54 55 32 N	8 18 35 E	12	PAHs, PCBs, HCB, DDTs, HCHs, OCPs*	PAHs, PCBs, HCB, DDTs, HCHs, OCPs*
	DE0002R	Waldhof	52 48 8 N	10 45 34 E	74	PAHs, PCBs, HCB, DDTs, HCHs, OCPs*	PAHs, PCBs, HCB, DDTs, HCHs, OCPs*
	DE0003R	Schauinsland	47 54 53 N	7 54 31 E	1205	PAHs, PCBs, HCB, DDTs, HCHs, OCPs*	PAHs, PCBs, HCB, DDTs, HCHs, OCPs*
	DE0008R	Schmücke	50 39 0 N	10 46 0 E	937	PAHs, PCBs, HCB, DDTs, HCHs, OCPs*	PAHs, PCBs, HCB, DDTs, HCHs, OCPs*
	DE0009R	Zingst	54 26 0 N	12 44 0 E	1	PAHs, PCBs, HCB, DDTs, HCHs, OCPs*	PAHs, PCBs, HCB, DDTs, HCHs, OCPs*
Denmark	DK0010G	Villum Reserach Station, North Greenland	81 36 0 N	16 40 12 W	20	PCBs, HCB, DDTs, HCHs, OCPs*	
Estonia	EE0009R	Lahemaa	59 30 0 N	25 54 0 W	32	PAHs	
Spain	ES0001R	San Pablo de los Montes	39 32 49 N	4 21 2 W	917	PAHs	PAHs (**)
	ES0007R	Víznar	37 14 14 N	3 32 3 W	1265	PAHs	PAHs (**)
	ES0008R	Niembro	43 26 32 N	4 51 1 W	134	PAHs	PAHs (**)
	ES0012R	Zarra	39 5 10 N	1 6 7 W	885	PAHs	PAHs (**)
	ES0014R	Els Torms	41 23 33 N	0 44 3 E	470	PAHs	PAHs (**)
Finland	FI0018R	Virolahti III	60 31 48 N	27 40 3 E	4	PAHs	PAHs
	FI0036R	Pallas/Matorova	68 0 0 N	24 14 23 E	340	PAHs, PCBs, HCB, DDTs, HCHs, OCPs*, BDEs, PFASs	PAHs, PCBs, HCB, DDTs, HCHs, BDEs
	FI0050R	Hyytiala	61 51 0 N	24 17 0 E	181	PAHs	PAHs
France	FR0008R	Donon	48 30 0 N	7 8 0 E	775	PAHs	PAHs
	FR0009R	Revin	49 54 0 N	4 38 0 E	390	PAHs	PAHs
	FR0013R	Peyrusse Vieille	43 37 0 N	0 11 0 E	200	PAHs	PAHs
	FR0023R	Saint-Nazaire-le-Désert	44 34 10 N	5 16 44 E	605	PAHs	PAHs
	FR0028R	Kergoff	48 15 43 N	2 56 38 W	307	PAHs	PAHs
	FR0025R	Verneuil	46 48 53 N	2 36 36 E	182	PAHs	PAHs
Great Britain	GB0014R	High Muffles	54 20 4 N	0 48 27 W	267	PAHs	
	GB1055R	Chilbolton Observatory	51 8 59 N	1 26 18 W	78	PAHs	PAHs
	GB0048R	Auchencorth Moss	55 47 31 N	3 14 34 W	260	PAHs	PAHs
Croatia	HR0002R	Puntijarka	45 54 0 N	15 58 0 E	988	PAHs	
Iceland	IS0091R	Storhofdi	63 23 58 N	20 17 18 W	118	PCBs, HCB, DDTs, HCHs, OCPs*, BDEs	PCBs, HCB, DDTs, HCHs, OCPs*, BDEs
Latvia	LV0010R	Rucava	56 9 44 N	21 10 23 E	18	PAHs	PAHs
Netherlands	NL0091R	De Zilk	52 29 66 N	4 51 9 E	4	PAHs	PAHs, HCHs

Table 3 (cont.)

Country	Code	Name	Latitude	Longitude	has1	POPs in air and/or aerosol	POPs in precipitation
Norway	NO0042G	Spitsbergen	78 54 0 N	11 53 0 E	474	PAHs, PCBs, HCB, DDTs, HCHs, OCPs*, BDEs, HBCDs, TBA	
	NO0001-2R	Birkenes	58 23 0 N	8 15 0 E	190	PAHs, PCBs, HCB, DDTs, HCHs, BDEs, HBCDs, TBA	PCBs, HCB, HCHs
	NO0090R	Andøya	69 16 42 N	16 0 42 E	380	HCB	
Poland	PL0005R	Diabla Gora	54 7 3 N	22 2 17 E	157	PAHs	PAHs
	PL0009R	Zielonka	53 39 44 N	17 56 2 E	121	PAHs	
Sweden	SE0014R	Råö	57 23 38 N	11 55 50 E	5	PAHs, PCBs, HCB, DDTs, HCHs, OCPs*, BDEs, PCDD/Fs**, PFASs	PAHs, PCBs, HCB, DDTs, HCHs, BDEs
	SE0020R	Hallahus	56 2 44 N	13 8 80 E	190	PAHs	PAHs
	SE0022R	Norunda Stenen	60 5 9 N	17 30 19 E	45	PAHs, PCBs, HCB, DDTs, HCHs, BDEs, PCDD/Fs**, PFASs	PAHs, PCBs, HCB, DDTs, HCHs, BDEs
Slovenia	SI0008R	Iskrba	45 33 45 N	14 51 45 E	520	PAHs	PAHs

\* One or several of: aldrin, dieldrin, endrin, heptachlor, oxylordane, heptachlorepoide, mirex, endosulfan

\*\* Campaign data



Table 4: Measurement methods for POPs, 2021

Country	Precipitation		Air and aerosols		Laboratory method
	Sampling method	Frequency	Sampling method	Frequency	
Belgium	Bulk, funnel-bottle	4-weekly	Low Volume sampler, Leckel, 55.2 m <sup>3</sup> /day	24h, once every 3 days	GC-MS
Croatia			Low Volume sampler, Comde-Derenda, PM10, PTFE filter, 55 m <sup>3</sup> /day	Daily sampling, weekly analysis (7 filters)	GC-MS
Czech Republic	Wet only	Daily	High Volume sampler, Digitel, PM10, Whatman quartz filter QM-A/150 mm, PU-foam, 700 m <sup>3</sup> /day	24 h, once per week	GC-MS
Denmark			High Volume sampler	Monthly	GC-MS
Germany	Wet only + funnel wash	Monthly	High Volume sampler, filter + PU-foam	Monthly	GC-MS
Estonia			High Volume sampler, PM10	Weekly	
Spain	Bulk (precip + dry dep)	4 month (campaign)	High Volume sampler, PM10	Pooled sampled from 10 daily sampling filters	GC-MS
Finland	Bulk (precip + dry dep)	Monthly sampling	Low volume sampler	Weekly sampling, monthly analysis	HPLC, GC-MS
Fi 36	Bulk (precip + dry dep)	1-2 week sampling, monthly sampling	High volume sampler	Weekly sampling, monthly analysis	HPLC, GC-MS, GC-ECD (by IVL, Sweden)
France	Bulk (precip + dry dep)	Monthly sampling (28 days)	High Volume sampler, Digitel, PM10, DA80 quartz filter	24 h, once every 6 days	GC-MS
Great Britain	Bulk (wet dep)	Monthly	High Volume sampler, PM10, Whatman GF filter + 2 PU-foams, 5 m <sup>3</sup> /h	Biweekly sampling, 3 monthly analysis	GC-MS
Iceland	Bulk (precip)	2 weeks	High Volume sampler	Biweekly	GC-ECD
Latvia	Wet only	Weekly	Low Volume sampler, PM10, OPSIS teflon filters, 2.3 m <sup>3</sup> /h	Biweekly	HPLC, GC-MS
Netherlands	Bulk	4 weekly	Low volume sampler, PM10, Whatman quartz filter	Sampled every other day, analysis is pooled: 3 samples in winter, 5 in summer	GC-MS
Norway	Bulk, funnel and bottle of glass	Weekly	High Volume sampler, Gelman A/E glass fiber filter + 2 PU-foams, 20 m <sup>3</sup> /h	NO01: 24-48 h, once a week	GC-MS

Table 4 (cont.)

Country	Precipitation		Air and aerosols		Laboratory method
	Sampling method	Frequency	Sampling method	Frequency	
Poland	Bulk, funnel and bottle of glass	Weekly sampling, monthly analysis	High Vol, quartz filter, 750 m <sup>3</sup> /day	Daily sampling, weekly analysis (7 filters)	HPLC
Sweden	Wet and dry deposition	2 week sampling, monthly analysis	High Volume sampler, PU-foam, GF filter: Low volume sampler, GF filter (PAH, Hallahus)	Weekly sampling, monthly/4 months per year	HPLC-FD, GC/ECD, GC-MS, HPLC-MS
Slovenia			Low Volume sampler, Leckel, PM10, Quartz filter	24h, once every 3 days	GC-MS

HPLC: High Performance Liquid Chromatography

GC-MS: Gas Chromatography + Mass Spectrometry

GC-ECD: Gas Chromatography + Electron Capture Detector

TLC: Thin Layer Chromatography

### 2.3 Heavy metal concentrations over Europe

The annual concentrations of heavy metals in air and precipitation are found in Table 5 Table 6. The annual mean concentrations in precipitation have been calculated from daily, weekly or monthly reported values as precipitation-weighted averages. When discussing the regional distribution of the concentration fields, it should be noticed that few countries in Southern and Eastern Europe have reported data for heavy metals in precipitation or in air.

Annual averages of Pb, Cd, As, Cr, Cu, Ni, Zn and Hg concentrations in air/aerosols and precipitation in 2021 are presented in Figure 4 to Figure 18. There are more sites with precipitation in Northern Europe compared to aerosols, while the opposite for southern Europe. The highest concentrations vary depending on component and matrix, though elevated concentrations are especially for the aerosol components seen along the coast and especially around the English Channel. Cr has in addition to anthropogenic sources high concentrations in crustal material and that can be the reason for higher concentration of Cr in southern Europe. The concentrations fields in precipitation is more scattered, but with higher levels generally seen towards Eastern Europe. For mercury, the highest concentration is seen in Poland while Spain showing extremely low concentrations of mercury in air (0.4 ng/m<sup>3</sup>) indicating problems with the measurements.

For heavy metal measurements, there are two major problems with the data. Firstly, the detection limit for the method is not always adequate for the respective sampling site, and the data coverage is also in general much poorer than e.g. for main components. According to the EMEP data quality objectives (EMEP/CCC, 2014), the data completeness should be at least 90%. In addition, 75% of the data should be above the detection limit. As seen in Annex A and Annex B, these two criteria are often not met. However, several countries analyse heavy metals in air on one or two samples weekly from daily aerosol samples. This will give poor data completeness, but the seasonal distribution and data coverage is satisfactory, and the estimate of the annual average is probably reasonable. Annual averages based on data where more than 50% is below detection limit, is marked in italic in Table 5 Table 6.

Table 5: Annual average concentration of heavy metals in precipitation in 2020  
(µg/l, Hg in ng/l)

Code	Pb	Cd	Zn	Hg	Ni	As	Cu	Co	Cr	Mn	V	Fe	Al	Mm (Hg)	mm
BE0014R	0,42	0,017	6,0	-	0,28	0,05	2,51	-	0,09	2,74	-	10	-	860	
CZ0003R	0,93	0,032	14,9	15,3	0,24	-	0,86	0,05	0,16	3,30	0,15	-	-	600	596
CZ0005R	0,30	0,036	4,9	-	0,07	-	1,02	0,02	0,05	1,20	0,06	-	-	119	
DE0001R	0,29	0,011	2,3	3,90	0,10	0,04	0,39	0,03	0,05	0,98	0,13	13	-	766	800
DE0002R	0,36	0,016	3,8	5,27	0,09	0,06	0,60	0,03	0,07	1,71	0,14	23	-	593	592
DE0003R	0,18	0,006	1,8	4,22	0,06	0,02	0,35	0,03	0,04	0,76	0,05	9	-	1835	1951
DE0007R	0,45	0,014	4,3	-	0,11	0,06	0,75	0,03	0,06	2,37	0,12	16	-	663	
DE0008R	0,42	0,014	6,6	5,28	0,15	0,05	0,66	0,02	0,07	1,06	0,08	16	-	1199	1170
DE0009R	0,31	0,013	3,2	4,62	0,36	0,05	0,47	0,03	0,06	1,69	0,21	16	-	612	611
DK0005R	-	0,087	31,9	-	0,30	0,15	-	-	1,01	-	-	-	-	474	
DK0008R	-	0,019	8,0	-	0,20	0,15	-	-	0,18	-	-	-	-	552	
DK0012R	-	0,040	7,2	-	0,23	0,09	-	-	0,13	-	-	-	-	542	
DK0022R	-	0,019	7,8	-	0,10	0,08	-	-	0,09	-	-	-	-	890	
DK0031R	-	0,014	5,5	-	0,16	0,07	-	-	0,07	-	-	-	-	935	
EE0009R	0,23	0,016	1,8	-	0,16	0,04	0,61	-	-	-	-	-	-	746	
EE0011R	0,25	0,019	3,4	-	0,48	-	0,64	-	-	1,68	-	-	-	709	
ES0008R	6,71	0,078	-	3,88	49,66	0,09	17,28	-	0,76	-	-	-	-	1124	999
ES0009R	2,79	0,405	46,2	-	0,70	0,08	8,53	-	0,75	-	-	-	-	437	
FI0018R	0,62	0,020	3,3	4,01	0,18	0,07	0,69	0,02	0,06	3,06	0,23	44	25,1	601	637
FI0036R	0,19	0,006	1,2	3,18	0,14	0,03	0,51	0,01	0,04	0,84	0,07	7	5,7	546	508
FI0050R	0,42	0,018	-	3,56	0,17	0,06	0,74	0,03	0,06	5,95	0,13	18	17,9	594	578
FI0053R	0,40	0,014	2,3	-	0,17	0,06	0,54	0,02	0,09	1,99	0,22	19	13,6	495	
FI0092R	0,31	0,013	1,8	-	0,10	0,04	0,41	0,01	0,05	1,60	0,10	10	8,4	638	
FI0093R	0,34	0,012	2,2	3,15	0,12	0,05	0,49	0,02	0,05	3,52	0,14	15	14,2	703	689
FR0008R	1,01	0,070	-	-	0,15	0,10	-	-	-	-	-	-	-	1590	
FR0009R	0,78	0,038	-	-	0,34	0,06	-	-	-	-	-	-	-	1164	
FR0013R	0,36	0,017	-	-	0,30	0,07	-	-	-	-	-	-	-	726	
FR0023R	0,64	0,030	-	-	0,36	0,07	-	-	-	-	-	-	-	1023	
FR0025R	0,65	0,020	-	-	0,34	0,12	-	-	-	-	-	-	-	843	
FR0028R	0,34	0,014	-	-	0,19	0,08	-	-	-	-	-	-	-	992	
FR0090R	0,59	0,037	9,7	-	0,39	0,12	1,64	0,04	0,16	-	0,22	-	-	779	
GB0006R	0,01	0,002	0,3	-	0,06	0,12	0,20	-	0,12	-	-	-	-	1471	
GB0013R	0,04	0,008	1,3	3,21	0,08	0,09	0,35	-	0,04	-	-	-	-	1215	1109
GB0017R	0,11	0,008	2,4	4,42	0,06	0,11	0,47	-	0,06	-	-	-	-	583	514
GB0048R	0,05	0,001	0,6	2,56	0,01	-	-	0	0,04	-	0,02	3	0,8	818	751
GB1055R	0,03	-	0,5	3,35	-	-	-	0	-	-	-	-	-	630	615
HU0002	1,73	0,101	-	-	-	-	-	-	-	-	-	-	-	608	
IS0091R	0,39	0,021	16,9	-	0,33	0,05	2,48	0,08	0,28	2,88	0,55	177	124	928	
LV0010R	0,31	0,015	-	3,45	0,66	0,13	-	-	-	-	-	-	-		1079
NL0010R	1,25	0,054	10,1	-	0,39	0,11	1,92	-	0,14	-	0,33	48	-	527	
NL0091R	0,58	0,014	3,0	11,22	0,32	0,05	0,80	-	0,05	-	0,20	16	-	792	690
NO0001R	0,58	0,015	5,3	4,15	0,20	0,06	1,95	0,02	0,11	1,54	0,19	-	-		1477
NO0039R	0,27	0,006	2,3	2,76	0,13	0,04	1,07	0,01	0,08	1,10	0,05	-	-	1635	1793
NO0056R	0,86	0,017	6,4	11,27	0,33	0,09	3,26	0,03	0,27	2,70	0,22	-	-	806	839
PL0004R	0,32	0,013	2,6	-	0,16	-	0,53	-	0,04	-	-	-	-	574	
PL0005R	0,48	0,037	5,3	5,21	0,23	0,23	1,2	-	0,08	-	-	-	-	578	551
SE0005R	0,34	0,014	2,8	4,25	0,12	0,04	3,39	0,01	0,06	3,37	0,07	-	-	457	628
SE0014R	0,55	0,057	6,8	3,99	0,17	0,10	5,32	0,03	0,08	4,00	0,20	-	-	616	739
SE0020R	0,85	0,034	3,9	4,12	0,11	0,08	2,79	0,03	0,05	2,84	0,22	-	-	653	946
SE0022R	0,53	0,017	3,8	-	0,13	0,06	4,36	0,03	0,07	2,79	0,18	-	-	451	
SI0008R	0,51	0,008	1,9	4,74	0,09	0,03	0,81	0,04	0,08	2,74	0,16	-	-	1250	1239
SK0002R	1,22	0,203	33,2	-	0,50	0,52	0,75	-	0,41	-	-	-	-	1312	
SK0004R	0,98	0,146	18,6	-	0,31	0,30	0,54	-	0,20	-	-	-	-	623	
SK0006R	1,07	0,192	32,0	-	0,67	0,39	1,4	-	0,35	-	-	-	-	633	
SK0007R	1,34	0,091	252,4	-	0,63	0,29	0,83	-	0,42	-	-	-	-	438	

*Italic data means more than 50% of the data is below the detection limit*

Grey shades means data completeness is poor (less than 75%. Coverage lower than 50% is not included.)

Red means that this must be wrong and will be corrected in ebas when/if updated data are submitted

Table 6: Annual average concentration of heavy metals in air in 2020 (ng/m<sup>3</sup>)

Code		Pb	Cd	Zn	Hg (air)	Ni	As	Cu	Co	Cr	Mn	V	Fe	Al
BE0014R	pm10	3,12	0,088	11,4	-	2,00	0,44	2,89	-	1,45	6,38	-	-	-
CY0002R	pm10	0,005	0,091	16,5	-	0,65	0,45	1,74	-	1,20	8,84	1,86	445	531,1
CZ0003R	pm10	1,99	0,081	7,8	-	0,26	0,40	1,36	0,04	0,65	3,36	0,29	-	-
CZ0003R	pm25	1,68	0,069	6,2	-	0,19	0,35	0,79	0,02	0,34	1,37	0,14	-	-
CZ0005R	pm10	0,73	0,025	3,7	-	0,17	0,13	0,75	0,03	0,35	1,44	0,18	-	-
DE0001R	pm10	1,43	0,045	6,8	-	0,47	0,23	1,34	0,03	1,25	2,41	0,86	77	-
DE0002R	pm10	2,48	0,077	9,7	1,52	0,26	0,31	1,70	0,04	0,86	2,67	0,48	98	-
DE0003R	pm10	0,84	0,019	3,8	1,16	0,16	0,09	0,74	0,04	0,68	2,08	0,28	101	-
DE0007R	pm10	2,32	0,073	9,1	-	0,30	0,39	1,18	0,03	0,60	2,14	0,45	68	-
DE0008R	pm10	1,18	0,032	4,7	1,34	0,14	0,14	0,68	0,03	0,68	1,72	0,23	72	-
DE0009R	pm10	1,59	0,053	5,9	1,29	0,42	0,26	0,73	0,03	0,65	1,46	1,65	53	-
DK0008R	aerosol	1,07	0,031	-	-	0,54	0,21	-	-	-	-	-	-	-
DK0010G	aerosol	0,16	0,005	-	1,19	0,03	0,03	-	-	-	-	-	-	-
DK0012R	aerosol	1,20	0,038	-	-	0,54	0,31	-	-	-	-	-	-	-
EE0009R	pm10	1,58	0,043	-	1,29	0,62	0,14	-	-	-	-	-	-	-
ES0001R	pm10	1,26	0,025	7,5	-	0,63	0,20	-	-	0,77	-	-	-	-
ES0007R	pm10	1,54	0,039	8,8	-	1,31	0,18	-	-	0,79	-	-	-	-
ES0008R	pm10	3,24	0,075	17,4	0,39	0,52	0,15	-	-	0,51	-	-	-	-
ES0009R	pm10	1,12	0,052	8,7	-	0,64	0,13	2,15	-	0,62	-	-	-	-
ES0014R	pm10	1,01	0,037	12,0	-	0,55	0,19	5,76	-	0,44	-	-	-	-
ES1778R	pm10	1,47	0,033	8,2	-	0,75	0,14	2,22	0,08	1,10	3,60	0,80	157	254,3
ES1778R	pm1	1,14	0,028	8,9	-	0,68	0,10	1,00	0,03	0,75	0,62	0,39	14	17,1
ES1778R	pm25	1,38	0,034	8,7	-	0,75	0,11	1,41	0,04	0,70	1,34	0,50	45	64,9
FI0018R	pm10	1,91	0,058	7,2	1,20	0,37	0,25	0,69	0,04	0,33	2,72	0,91	132	162,2
FI0036R	pm10	0,48	0,017	1,6	1,25	0,17	0,09	0,31	0,01	0,18	0,53	0,35	21	20,6
FI0050R	pm10	1,06	0,043	5,4	1,13	0,20	0,22	0,52	0,03	0,24	1,68	0,39	48	54,5
FRO008R	pm10	1,35	0,034	-	-	0,28	0,13	-	-	-	-	-	-	-
FRO009R	pm10	3,85	0,100	-	-	0,52	0,22	-	-	-	-	-	-	-
FRO013R	pm10	1,40	0,044	-	-	0,26	0,20	-	-	-	-	-	-	-
FRO023R	pm10	1,23	0,035	-	-	0,33	0,13	-	-	-	-	-	-	-
FRO025R	pm10	1,46	0,054	-	-	0,27	0,17	-	-	-	-	-	-	-
FRO028R	pm10	1,10	0,039	-	-	1,12	0,14	-	-	-	-	-	-	-
GB0013R	pm10	1,66	0,055	5,3	-	0,43	0,40	1,10	-	0,40	-	-	-	-
GB0017R	pm10	2,87	0,084	8,1	-	0,55	0,54	1,51	-	0,36	-	-	-	-
GB0048R	pm10	0,80	0,021	3,2	1,32	0,14	0,19	0,79	0,02	0,45	1,27	0,23	49	-
GB1055R	pm10	3,03	0,092	8,4	-	0,42	0,61	2,08	0,04	0,46	2,37	0,86	98	-
HU0002R	aerosol	1,91	0,041	-	-	-	-	-	-	-	-	-	-	-
IS0002R	aerosol	-	-	-	-	-	-	-	-	-	-	-	162	-
IS0091R	aerosol	0,11	0,036	1,8	-	1,27	0,04	0,57	0,11	0,33	3,61	0,71	201	145,4
IT0019R	pm10	1,40	0,033	7,1	-	0,76	0,14	3,94	0,09	1,23	4,95	1,02	220	376,9
LV0010R	pm10	2,23	0,078	-	-	0,50	0,36	-	-	-	-	-	-	-
NL0008R	pm10	3,97	0,097	24,8	-	0,66	0,43	-	-	-	-	-	-	-
NL0644R	pm25	4,41	0,096	24,0	-	0,56	0,39	-	-	-	-	-	-	-
NO0002R	pm10	0,46	0,018	3,4	1,51	0,17	0,11	0,30	0,02	0,22	0,71	0,29	19	19,3
NO0042G	aerosol	0,19	0,021	1,6	1,48	0,10	0,04	0,12	0,01	0,16	0,59	0,08	24	69,8
NO0090R	aerosol	0,21	0,008	0,9	1,40	0,10	0,04	0,25	0,01	0,10	0,51	0,12	24	35,6
PL0005R	pm10	2,00	0,043	9,1	1,33	0,32	0,23	0,82	-	0,29	-	-	-	-
PL0009R	pm10	3,02	0,124	-	-	0,57	0,37	-	-	-	-	-	-	-
SE0005R	aerosol	0,18	0,007	1,1	1,21	0,10	0,04	0,18	0,00	0,17	0,44	0,09	-	-
SE0014R	aerosol	0,59	0,023	3,5	1,15	0,30	0,19	0,57	0,02	0,45	1,19	0,98	-	-
SE0020R	aerosol	0,83	0,026	4,8	1,18	0,23	0,16	0,89	0,02	0,39	1,67	0,65	-	-
SE0022R	aerosol	0,60	0,022	3,5	-	0,31	0,14	0,53	0,02	0,40	1,14	0,30	-	-

Table 6 (cont.):

Code		<i>Pb</i>	<i>Cd</i>	<i>Zn</i>	<i>Hg</i> (air)	<i>Ni</i>	<i>As</i>	<i>Cu</i>	<i>Co</i>	<i>Cr</i>	<i>Mn</i>	<i>V</i>	<i>Fe</i>	<i>Al</i>
SI0008R	pm10	1,19	0,048	5,5	1,54	0,37	0,12	1,01	-	0,91	-	-	-	-
SK0002R	aerosol	0,77	0,026	4,9	-	0,34	0,10	0,34	-	0,51	-	-	-	-
SK0004R	pm10	2,73	0,071	11,1	-	0,20	0,17	1,22	-	0,36	-	-	-	-
SK0006R	pm10	1,99	0,065	9,5	-	0,30	0,21	0,59	-	0,37	-	-	-	-
SK0007R	pm10	5,39	0,086	14,6	-	0,50	0,33	1,56	-	0,96	-	-	-	-

*Italic data means more than 50% of the data is below the detection limit. Grey shaded area are sites which miss three months or more of data.*

Red means that this must be wrong and will be corrected in ebas when/if updated data are submitted.

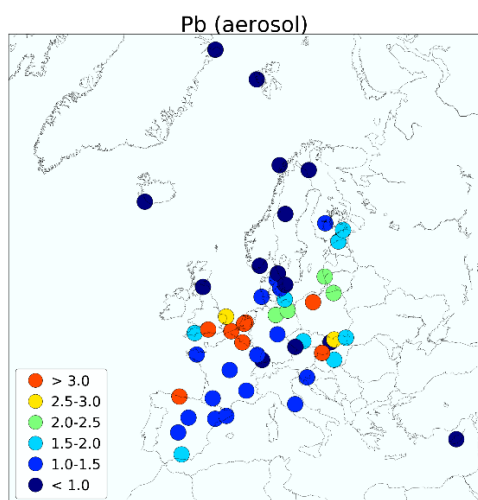
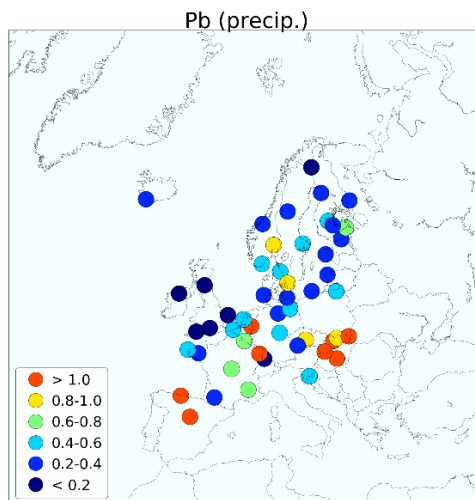
Figure 4: Pb in aerosols (ng/m<sup>3</sup>)

Figure 5: Pb in precipitation (µg/l)

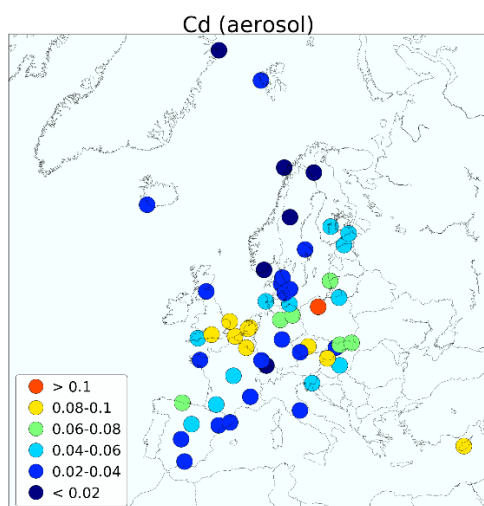
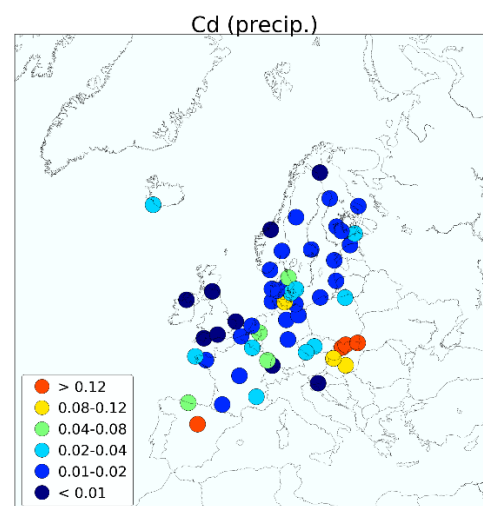
Figure 6: Cd in aerosols (ng/m<sup>3</sup>)

Figure 7: Cd in precipitation (µg/l)

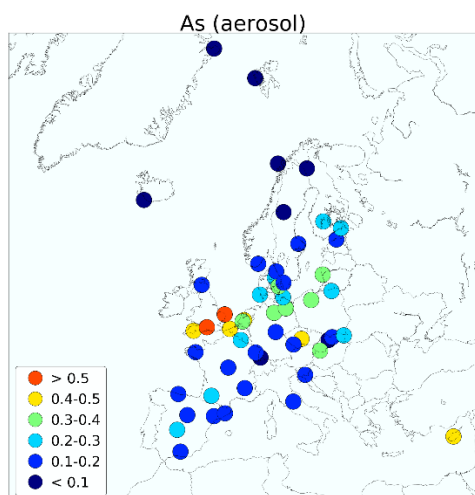
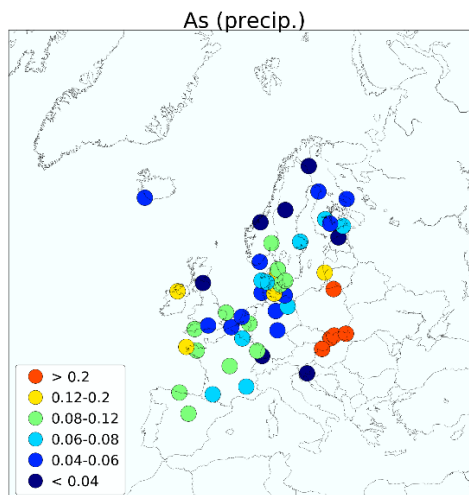
Figure 8: As in aerosols (ng/m<sup>3</sup>)

Figure 9: As in precipitation (µg/l)

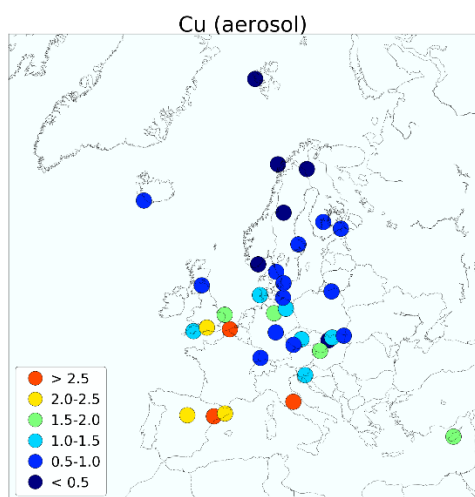
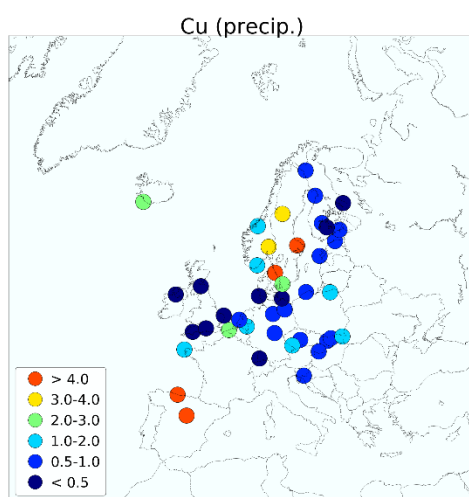
Figure 10: Cu in aerosols (ng/m<sup>3</sup>)

Figure 11: Cu in precipitation (µg/l)

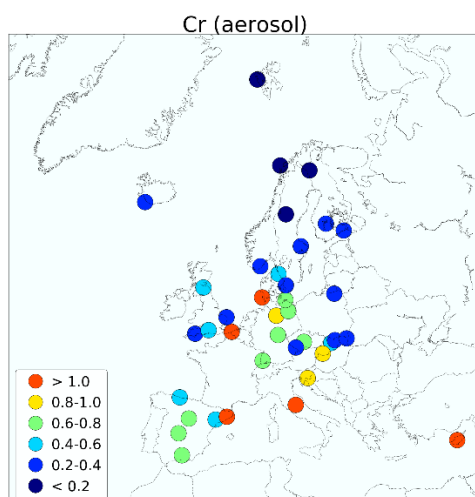
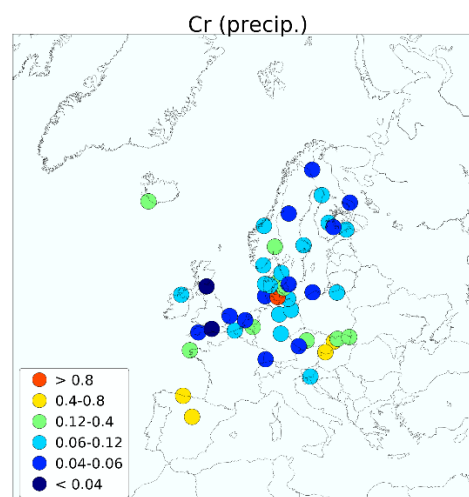
Figure 12: Cr in aerosols (ng/m<sup>3</sup>)

Figure 13: Cr in precipitation (µg/l)

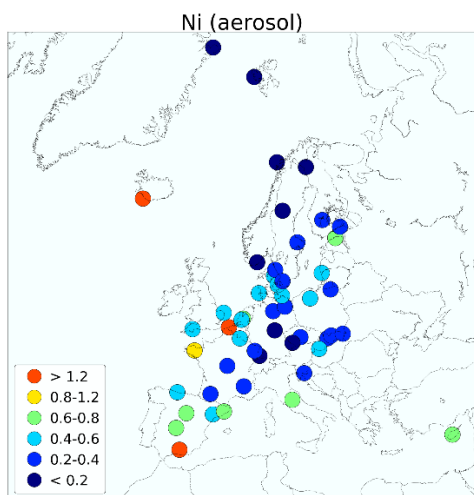


Figure 14: Ni in aerosols ( $\text{ng}/\text{m}^3$ )

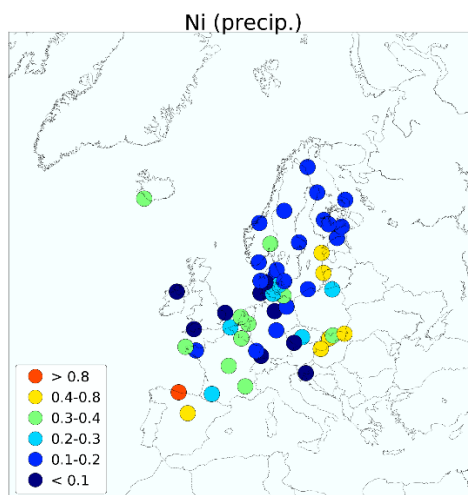


Figure 15: Ni in precipitation ( $\mu\text{g}/\text{l}$ )

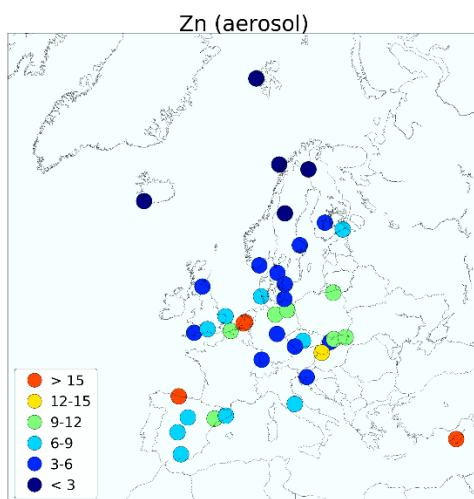


Figure 16: Zn in aerosols ( $\text{ng}/\text{m}^3$ )

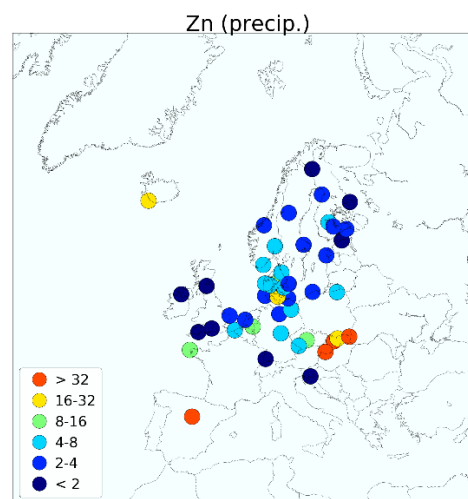


Figure 17: Zn in precipitation ( $\mu\text{g}/\text{l}$ )

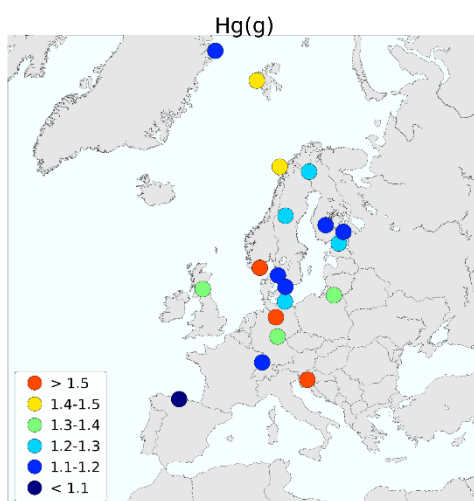


Figure 18: Hg in air ( $\text{ng}/\text{m}^3$ )

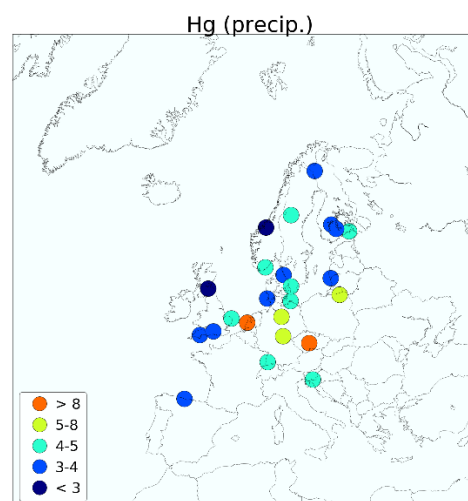


Figure 19: Hg in precipitation ( $\text{ng}/\text{l}$ )



## 2.4 Concentrations of POPs in air and precipitation

It is generally difficult to give full credit to the information content in the POP data as the comparability of data is hampered by: i) the use of different sampling and analytical techniques; ii) low and various spatial coverage for individual POP components; and iii) high detection limits for some sites. See Annex C and D for details. For example, the different types of precipitation samplers used within the network measure either total deposition or wet deposition and provide results as deposition rates ( $\text{ng}/\text{m}^2 \text{ day}$ ) or concentrations ( $\text{ng}/\text{L}$ ).

The annual average concentrations of some of the main POPs, measured at 13 EMEP stations, ranged over three orders of magnitude, from  $0.03 \text{ pg}/\text{m}^3$  up to  $60 \text{ pg}/\text{m}^3$  (Figure 20), with the exception of PCB-28 at Kosetice (CZ0003R) at  $940 \text{ pg}/\text{m}^3$ . At all stations, the highest concentrations were found for HCB, followed by HCHs. At Kosetice, the concentrations of all reported PCBs in 2021 were generally higher than reported in previous years, and the monthly average of e.g. PCB-28 peaked in September ( $7000 \text{ pg}/\text{m}^3$ ).

The PAHs were measured at 38 EMEP stations, with higher concentrations compared to most POPs. The PAH, B(a)P, is found at highest concentrations during winter (November-February) at all stations (Figure 21)

The distribution of the main PAHs, PCBs and pesticides in air are shown in Figure 22 – Figure 31. In general, the concentrations of most POPs decrease from the south/south-east to the north of Europe. The highest concentrations of the monitored POPs in air are observed in central Europe and the lowest in Northern Scandinavia. For PCB, this spatial distribution is explained by a high historical usage of POPs in central Europe (Breivik et al., 2002). Higher concentrations of *p,p'*-DDE compared to *p,p'*-DDT indicate past usage of technical DDT. In contrast to the other POPs, the highest concentrations of HCB were reported in Norway and the Arctic, in addition to Kosetice.

The presence of POPs in environments far away from the sources is mainly due to long-range atmospheric transport. For example, preferential deposition and accumulation of  $\alpha$ -HCH is expected in polar latitudes according to the hypothesis of global fractionation and cold condensation (Wania and Mackay, 1996). The most volatile POPs (e.g. HCB and HCHs) are more prone to travel compared to less volatile POPs (e.g. DDTs). Resultingly their spatial distribution is observed to be more uniform (Figure 25). The larger variability of  $\gamma$ -HCH compared to  $\alpha$ -HCH may partly reflect that Lindane (>99%  $\gamma$ -HCH) was exempted from the Stockholm Convention for use in the control of head lice and scabies, and hence used more recently than technical HCH (55–80%  $\alpha$ -HCH).

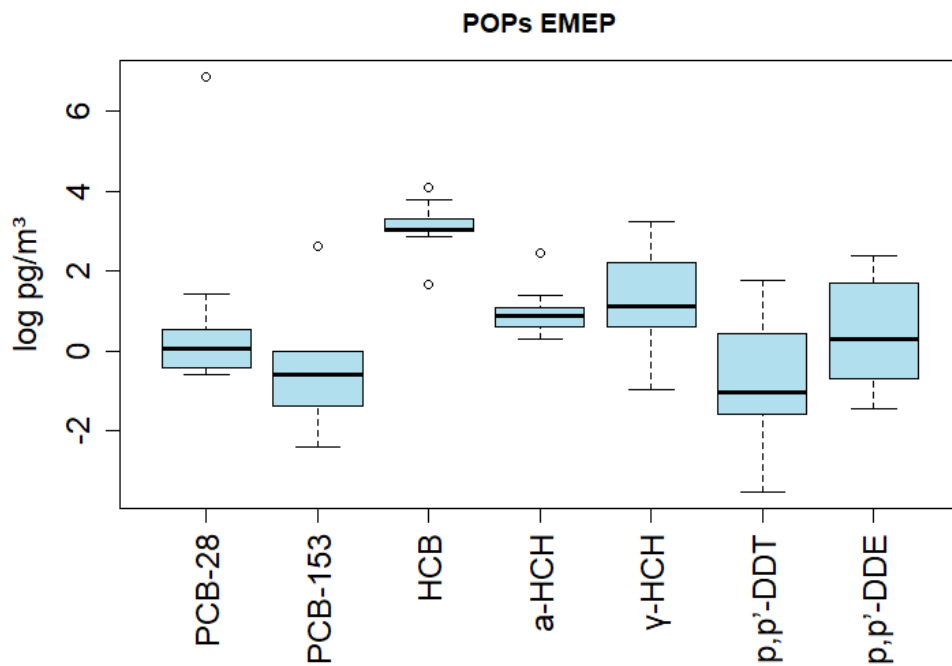


Figure 20: Boxplot of the annual average concentrations of some of the main POPs, measured at 13 EMEP stations in 2021

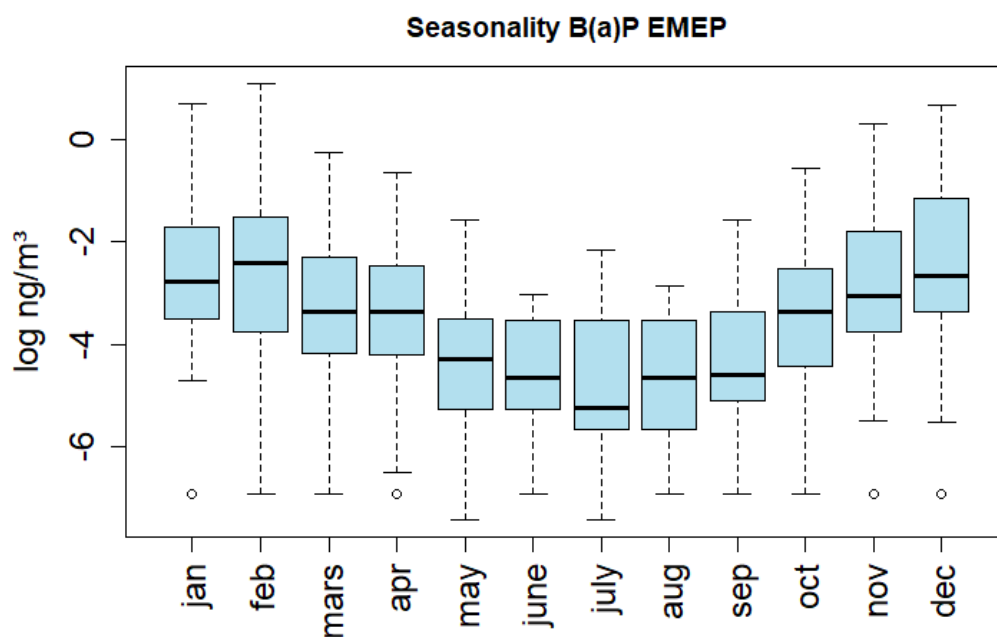


Figure 21: Boxplot of monthly concentrations of Benzo[a]pyrene from 38 EMEP stations, 2021

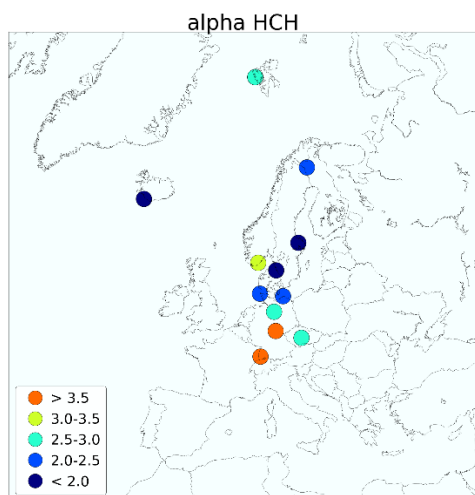


Figure 22:  $\alpha$ -HCH in air (pg/m<sup>3</sup>)

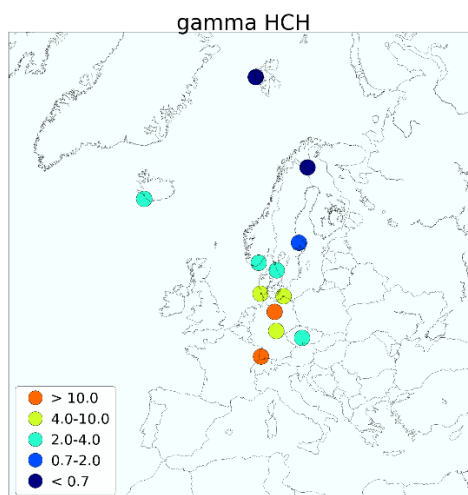


Figure 23:  $\gamma$ -HCH in air (pg/m<sup>3</sup>)

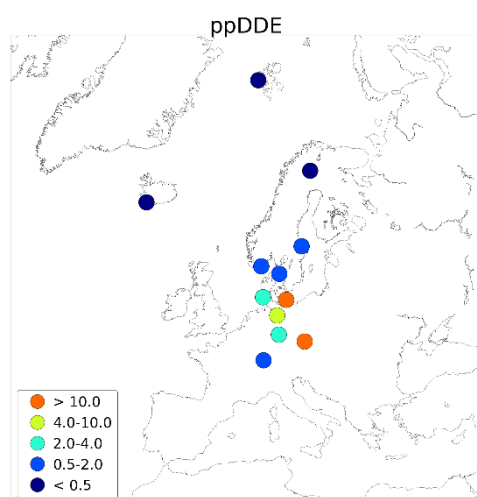


Figure 24: p,p'-DDE in air (pg/m<sup>3</sup>)

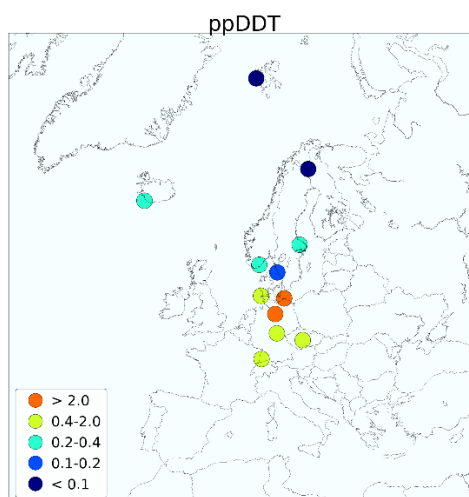


Figure 25: p,p'-DDT in air (pg/m<sup>3</sup>)

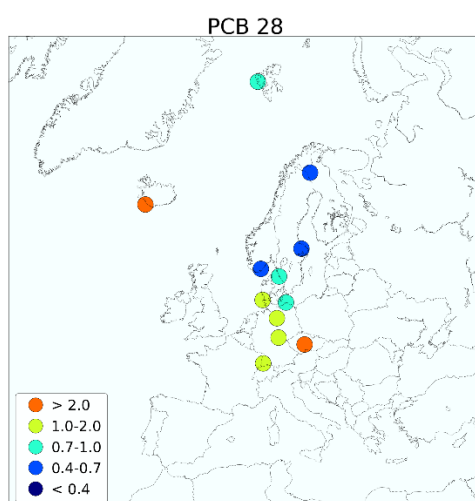


Figure 26: PCB-28 in air (pg/m<sup>3</sup>)

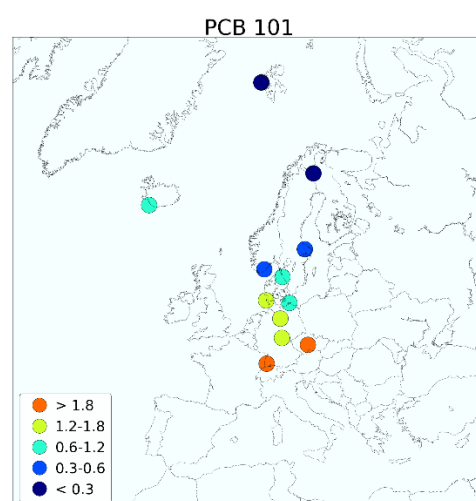
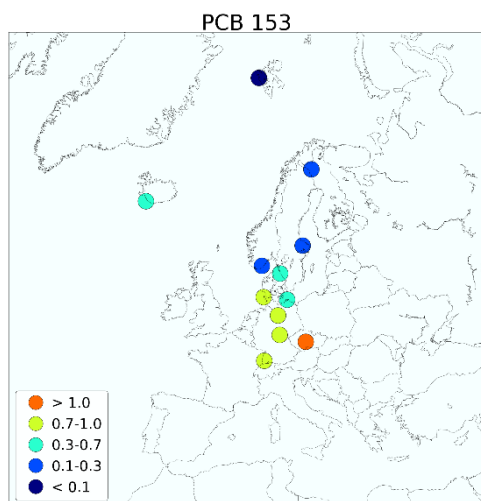
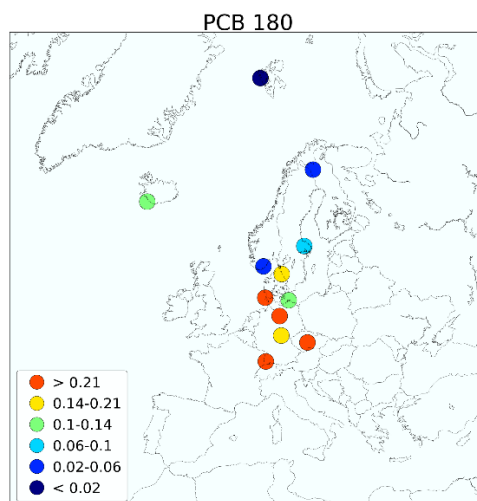
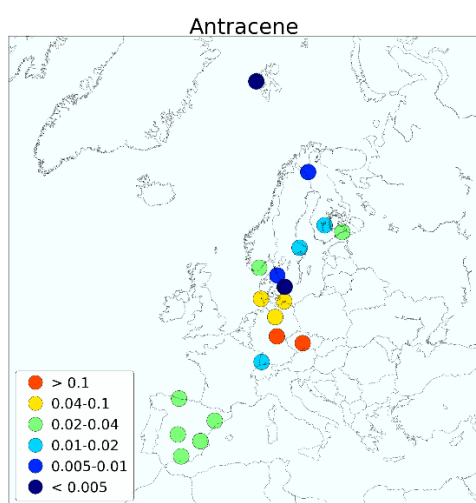
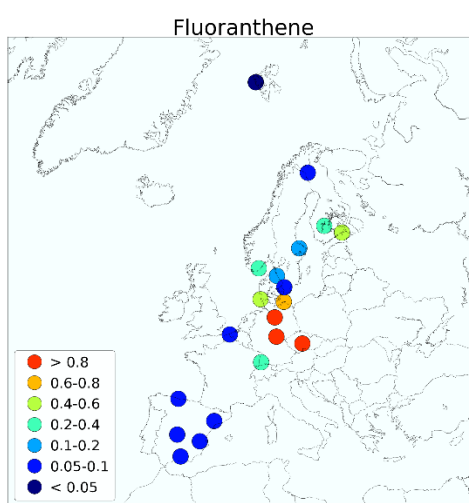
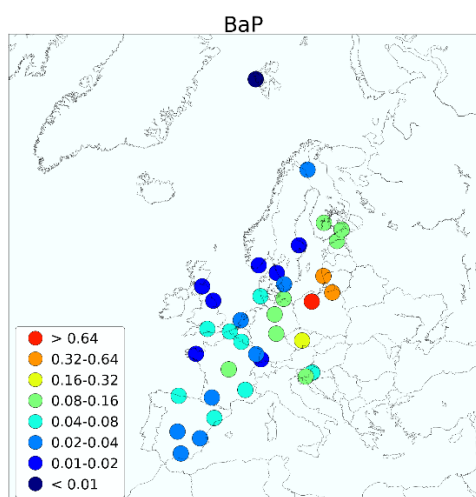
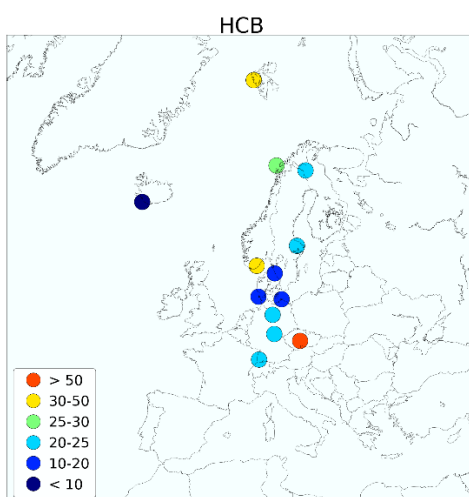


Figure 27: PCB-101 in air (pg/m<sup>3</sup>)

Figure 28: PCB-153 in air ( $\text{pg}/\text{m}^3$ )Figure 29: PCB-180 in air ( $\text{pg}/\text{m}^3$ )Figure 30: Anthracene in air ( $\text{ng}/\text{m}^3$ )Figure 31: Fluoranthene in air ( $\text{ng}/\text{m}^3$ )Figure 32: Benzo(a)pyrene in air ( $\text{pg}/\text{m}^3$ )Figure 33: Hexachlorobenzene (HCB) in air ( $\text{ng}/\text{m}^3$ )

## 2.5 Annual summaries

Annual summaries of heavy metals in precipitation and air are given in Annex 1 and Annex 2, respectively. Annual summaries for POP data are given in Annex 3 and Annex 4. The precipitation component summaries contain:

- the precipitation weighted arithmetic mean value,
- the minimum and maximum concentrations,
- the number of data below the detection limit,
- the number of samples for a specified component

The wet depositions have been obtained by multiplying the weighted mean concentration by the total amount of precipitation in the period. The concentrations for days with missing precipitation data have consequently been assumed to be equal to the weighted average of the period.

For air components the arithmetic mean and the geometric mean have been computed together with their standard deviations. As a measure of the completeness of the dataset, the number of samples analysed in the period has been printed.

In the computations of mean values and other statistics, the concentrations below the detection limit have been set equal to one half of the actual limit. An overview of the statistics and definitions is given below.

W.mean  $\hat{c}$  is the precipitation weighted arithmetic mean concentration used for precipitation components:

$$\hat{c} = \frac{I}{\sum_i p_i} \cdot \sum_i c_i \cdot p_i$$

where  $p_i$  is precipitation amount day  $i$  with the measured concentration  $c_i$  of a specific component.

Dep is the wet deposition of a specific precipitation component. The deposition is the product of the total precipitation amount measured and the weighted arithmetic mean of a component measured at a site.

Arit mean  $\overline{c}_a$  is the arithmetic mean value used for air components only, and  $N$  is number of days with data:

$$\overline{c}_a = \frac{I}{N} \sum_i c_i$$

Arit sd  $sd_a$  is the arithmetic standard deviation from the arithmetic mean value. It is computed for air components only:

$$sd_a = \left( \frac{\sum_i (c_i - \overline{c}_a)^2}{N - I} \right)^{\frac{1}{2}}$$

Geom mean  $\bar{c}_g$  is the geometric mean value used for air components only, and it is computed from the arithmetic mean of  $\ln c$ :

$$\overline{\ln c} = \frac{1}{N} \cdot \sum_i \ln c_i$$

$$\bar{c}_g = \exp(\overline{\ln c})$$

Geom sd  $sd_g$  is the geometric standard deviation from the geometric mean value. It is computed for air components only, and it is based on the standard deviation of  $\ln c$ :

$$sd_g = \exp(sd \ln c)$$

Min is the minimum value reported for a specific component, and it is printed both for precipitation and air components. Some countries report negative values and even though these are not “real” values, it is statistically correct to include these.

5%, 50%, 95% is the 5, 50 and 95 percentile, computed for air data only using the method of nearest rank:

$$n = \frac{P}{100} \cdot N + \frac{1}{2}$$

is the P-th percentile  $0 \leq P \leq 100$  of N ordered values, rounding n to the nearest integer and then taking the value corresponding to that rank.

Max is the maximum value reported for a specific component, and it is given for precipitation and air components.

Num bel is the number of data below the detection limit (not used for precipitation amount).

Num samples is the number of samples for a specific component.

The units used for the results in this report are given in Table 7: .

Table 7: Units used for the measured components

Components	Units for W. mean, Min Max	Units for depositions
Amount precipitation	mm	mm
Heavy metals in precipitation	µg/l	mg/m <sup>2</sup>
Mercury in precipitation	ng/l	ng/m <sup>2</sup>
Heavy metals in aerosols	ng/m <sup>3</sup>	
Mercury in air	ng/m <sup>3</sup>	
Mercury in aerosols	pg/m <sup>3</sup>	
POPs in precipitation	ng/l	ng/m <sup>2</sup>
PAHs in air and aerosols	ng/m <sup>3</sup>	
Pesticides, HCB and PCBs in air and aerosols	pg/m <sup>3</sup>	

## 2.6 Monthly summaries

Monthly averages of heavy metals are given in Annexes 5-8. The monthly mean values of precipitation data are precipitation weighted arithmetic averages. Average air concentrations are arithmetic averages of the reported values.

Data, which do not have monthly resolution, but have parts of the sample in one month and parts in the following, have estimated monthly means. The precipitation data have been treated like this: If e.g. a weekly sample has 5 days in one month and 2 days in the next, 5/7 parts of the precipitation will be assigned to the first month and 2/7 parts to the next month, while the concentrations are assumed to be equal. The precipitation weighted monthly averages are then calculated as the estimated monthly deposition divided by the monthly precipitation amount.

For air samples starting and ending in different months weighted averages are calculated in a similar way. All values are multiplied with the number of days within a given month. The average is obtained by dividing the sum of these values with the number of days with measurements in that month.

## 2.7 Update

**The data compiled in this report represent the best data available at present. If any further errors are detected, the data will be corrected in the database.** It is important that the users make certain that they have access to the most recent version of the database. For the data presented here, the latest alteration is 7 September 2023. Scientific use of the EMEP data should be based on fresh copies of the data. Copies can be requested from the CCC (e-mail: [wenche.aas@nilu.no](mailto:wenche.aas@nilu.no) or [annehj@nilu.no](mailto:annehj@nilu.no)). The newest updates will be downloadable from the database, <http://ebas.nilu.no>. Information about the EMEP measurement network can be found at CCC's internet pages at <http://www.nilu.no/projects/ccc/index.html>.

### 3. Acknowledgements

A large number of anonymous co-workers in participating countries have been involved in this work. A list of participating institutes, which have provided data for 2021, can be seen below. The staff at CCC wishes to express their gratitude and appreciation for continued good co-operation and efforts. The email address to the data reporter/contact persons can be accessed by contacting CCC.

*Table 8: Participating institutes and their data providers*

Country	Institute	Data reporter
Belgium	Flanders Environment Agency	Elke Adriaenssens
Czech Republic	Czech Hydrometeorological Institute	Adela Holubova
Croatia	Croatian Meteorological and Hydrological Service,	Ksenija Kuna
Cyprus	Department of Labour Inspection, Ministry of Labour & Social Insurance	Chrysanthos Savvides Christos Papadopoulos, Emily Vasiliadou
Denmark	Department of Environmental Science, Aarhus University	Thomas Ellermann, Rune Keller, Henrik Skov
Estonia	Estonian Environmental Research Centre	Kristi Selmet, Naima Kabral
Finland	Finnish Meteorological Institute	Heidi Hellén, Katriina Kyllönen, Ulla Makkonen
France	Ecole des Mines de Douai	Stéphane Sauvage, Aude Bourin
	FR90: Institut Universitaire Européen de la Mer, Université de Bretagne Occidentale	Matthieu Waeles
Germany	Umweltbundesamt, Langen	Stefan Feigenspan, Julian Rüdiger
Great Britain	AEA Technology and Centre for Ecology & Hydrology (CEH), Edinburgh	Keith Vincent Heath M. Malcolm
Hungary	Hungarian Meteorological Service	Attila Machon, Erzsébet Gyarmatiné Mészáros, Mónika Puskás, Zita Ferenczi
Iceland	The Icelandic Meteorological Office	Arni Sigurdsson
Italy	Arpa Umbria - Umbria Regional Agency for Environmental Protection, University of Perugia	Angelucci Monica, David Cappelletti
Latvia	Latvian Environment, Geology and Meteorology Centre	Iveta Indriksone, Aleksandra Kanisceva
Netherlands	National Institute for Public Health and Environmental Protection (RIVM)	Ronald Spoor, Mirian Wietses
Norway	The climate and environmental research institute NILU	Wenche Aas, Pernilla Bohlin-Nizzetto
Poland	Institute of Meteorology and Water Management	Magdalena Bogucka, Mikołaj Kowal
	PL05, PL09: Institute of Environmental Protection	Anna Degorska
Slovakia	Slovak Hydrometeorological Institute	Veronika Minarikova
Slovenia	Environmental Agency of the Republic of Slovenia	Marijana Murovec
Spain	Ministry for the Ecological Transition and the Demographic Challenge	Silvia Monge Villaverde
	ES1778: Institute of Environmental Assessment and Water Research (IDAEA)	Noemí Pérez
Sweden	Swedish Environmental Research Institute (IVL)	Michelle Nerentorp, Katarina Hansson



## 4. References

- Aas, W., Nizetto, P.B. (2022) Heavy metals and POP measurements, 2020. Kjeller, Norwegian Institute for Air Research (EMEP/CCC-Report 3/2022).
- Aas, W., Nizetto, P.B. (2021) Heavy metals and POP measurements, 2019. Kjeller, Norwegian Institute for Air Research (EMEP/CCC-Report 3/2021).
- Aas, W., Nizetto, P.B. (2020) Heavy metals and POP measurements, 2018. Kjeller, Norwegian Institute for Air Research (EMEP/CCC-Report 3/2020).
- Aas, W., Nizetto, P.B. (2019) Heavy metals and POP measurements, 2017. Kjeller, Norwegian Institute for Air Research (EMEP/CCC-Report 3/2019).
- Aas, W., Nizetto, P.B. (2018) Heavy metals and POP measurements, 2016. Kjeller, Norwegian Institute for Air Research (EMEP/CCC-Report 3/2018).
- Aas, W., Phaffhuber, K.A. (2017) Heavy metals and POP measurements, 2015. Kjeller, Norwegian Institute for Air Research (EMEP/CCC-Report 3/2017).
- Aas, W., Nizzetto, P.B. and Phaffhuber, K.A. (2016) Heavy metals and POP measurements, 2014. Kjeller, Norwegian Institute for Air Research (EMEP/CCC-Report 4/2016).
- Aas, W., Nizzetto, P.B. (2015) Heavy metals and POP measurements, 2013. Kjeller, Norwegian Institute for Air Research (EMEP/CCC-Report 3/2015).
- Aas, W., Nizzetto, P.B. (2014) Heavy metals and POP measurements, 2012. Kjeller, Norwegian Institute for Air Research (EMEP/CCC-Report 4/2014).
- Aas, W., Breivik, K. (2013) Heavy metals and POP measurements, 2011. Kjeller, Norwegian Institute for Air Research (EMEP/CCC-Report 4/2013).
- Aas, W., Breivik, K. (2012) Heavy metals and POP measurements, 2010. Kjeller, Norwegian Institute for Air Research (EMEP/CCC-Report 3/2012).
- Aas, W., Breivik, K. (2011) Heavy metals and POP measurements, 2009. Kjeller, Norwegian Institute for Air Research (EMEP/CCC-Report 3/2011).
- Aas, W., Breivik, K. (2010) Heavy metals and POP measurements, 2008. Kjeller, Norwegian Institute for Air Research (EMEP/CCC-Report 3/2010).
- Aas, W., Breivik, K. (2009) Heavy metals and POP measurements, 2007. Kjeller, Norwegian Institute for Air Research (EMEP/CCC-Report 3/2009).
- Aas, W., Breivik, K. (2009) Heavy metals and POP measurements, 2006. Kjeller, Norwegian Institute for Air Research (EMEP/CCC-Report 4/2009).
- Aas, W., Breivik, K. (2007) Heavy metals and POP measurements, 2005. Kjeller, Norwegian Institute for Air Research (EMEP/CCC-Report 6/2007).
- Aas, W., Breivik, K. (2006) Heavy metals and POP measurements, 2004. Kjeller, Norwegian Institute for Air Research (EMEP/CCC-Report 7/2006).

- Aas, W., Breivik, K. (2005) Heavy metals and POP measurements, 2003. Kjeller, Norwegian Institute for Air Research (EMEP/CCC-Report 9/2005).
- Aas, W., Breivik, K. (2004) Heavy metals and POP measurements, 2002. Kjeller, Norwegian Institute for Air Research (EMEP/CCC-Report 7/2004).
- Aas, W., Hjellbrekke, A.-G. (2003) Heavy metals and POP measurements, 2001. Kjeller, Norwegian Institute for Air Research (EMEP/CCC-Report 1/2003).
- Berg, T., Hjellbrekke, A.-G. (1998) Heavy metals and POPs within the ECE region. Supplementary data for 1989-1996. Kjeller, Norwegian Institute for Air Research (EMEP/CCC-Report 7/98).
- Berg, T., Hjellbrekke, A.-G. (1999) Heavy metals and POPs within the ECE region 1997. Kjeller, Norwegian Institute for Air Research (EMEP/CCC-Report 7/99).
- Berg, T., Hjellbrekke, A.-G., Larsen, R. (2000) Heavy metals and POPs in Europe 1998. Kjeller, Norwegian Institute for Air Research (EMEP/CCC-Report 2/2000).
- Berg, T., Hjellbrekke, A.-G., Larsen, R. (2001) Heavy metals and POPs within the ECE region 1999. Kjeller, Norwegian Institute for Air Research (EMEP/CCC-Report 9/2001).
- Berg, T., Hjellbrekke, A.-G., Larsen, R. (2002) Heavy metals and POPs within the ECE region 2000. Kjeller, Norwegian Institute for Air Research (EMEP/CCC-Report 9/2002).
- Berg, T., Hjellbrekke, A.-G., Ritter, N. (1997) Heavy metals and POPs within the ECE region. Additional data. Kjeller, Norwegian Institute for Air Research (EMEP/CCC-Report 9/97).
- Berg, T., Hjellbrekke, A.-G., Skjelmoen, J.E. (1996) Heavy metals and POPs within the ECE region. Kjeller, Norwegian Institute for Air Research (EMEP/CCC-Report 8/96).
- Breivik, K., Sweetman, A., Pacyna, J.M., Jones, K.C. (2002) Towards a global historical emission inventory for selected PCB congeners – a mass balance approach. 1. Global production and consumption. *Sci. Total Environ.*, 290, 181-198.
- EMEP/CCC (2014) Manual for sampling and chemical analysis. Kjeller, Norwegian Institute for Air Research (EMEP/CCC-Report 1/2014). URL: <http://www.nilu.no/projects/ccc/manual/index.html> [Accessed 24 September 2014].
- EU (2004) Directive 2004/107/EC of the European Parliament and of the council of 15 Dec. 2004 relating to arsenic, cadmium, mercury, nickel and polycyclic aromatic hydrocarbons in ambient air. *Off. J. Eur. Comm.*, L23, 26/01/2005, 3-16.
- EU (2008) Directive 2008/50/EC of the European Parliament and of the council of 21 May 2008 on ambient air quality and cleaner air for Europe. URL <http://eur-lex.europa.eu/LexUriServ/LexUriServ.do?uri=OJ:L:2008:152:0001:0044:EN:PDF> [Accessed 24 September 2014].
- Jaward, F.M., Farrar, N.J., Harner, T., Sweetman, A.J., Jones, K.C. (2004) Passive air sampling of PCBs, PBDEs, and organochlorine pesticides across Europe. *Environ. Sci. Technol.*, 38, 34-41.
- Pfaffhuber, K. A., Berg, T., Hirdman, D., Stohl, A. (2012) Atmospheric mercury observations from Antarctica: seasonal variation and source and sink region calculations. *Atmos. Chem. Physics*, 12, 3241-3251.

- Sprovieri, F., Pirrone, N., Bencardina, M., D'Amore, F., Carbone, F., Cinnirella, S., Mannarino, V., Landis, M., Ebinghaus, R., Weigelt, A., Brunke, E-G., Labuschagne, C., Lynwill, M., Munthe, J., Wangberg, I., Artaxo, P., Morais, F., Cairns, W., Barbante, C., Dieguez, M., Garcia, P.E., Dommergue, A., Angot, H., Magand, O., Skov, H., Horvat, M., Kotnik, J., Read, K.A., Neves, L.M., Gawlik, B.M., Sena, F., Mashyanov, N., Obolkin, V.A., Wip, D., Feng, X-B., Zhang, H., Fu, X., Ramachandran, R., Cossa, D., Knoery, J., Maruszczak, N., Nerentorp, M., Norstrom, C. (2016) Atmospheric mercury concentrations observed at ground-based monitoring sites globally distributed in the framework of the GMOS network. *Atmos. Chem. Phys.*, *16*, 11915-11935.
- Taniyasu, S, Kannan, K., Holoubek, I., Ansorgova, A., Horii, Y., Hanari, N., Yamashita, N., Aldous, K.M. (2003) Isomer-specific analysis of chlorinated biphenyls, naphthalenes and dibenzofurans in Delor: polychlorinated biphenyl preparations from the former Czechoslovakia. *Environ. Poll.*, *126*, 169-178.
- UNECE (2009) EMEP monitoring strategy for 2010-2019. ECE/EB.AIR/GE.1/2009/15. URL: <http://www.unece.org/env/documents/2009/EB/ge1/ece.eb.air.ge.1.2009.15.e.pdf> [Accessed 24 September 2014].
- UNECE (2019) EMEP monitoring strategy for 2020-2029. ECE/EB.AIR/144/Add.1. URL: [http://www.unece.org/fileadmin/DAM/env/documents/2019/AIR/EB\\_Decisions/Decision\\_2019\\_1.pdf](http://www.unece.org/fileadmin/DAM/env/documents/2019/AIR/EB_Decisions/Decision_2019_1.pdf) [Accessed 19 August 2020].
- Wania, F., Mackay, D. (1996) Trading the distribution of persistent organic pollutants. *Environ. Sci. Technol.*, *30*, 390A-396A.



## **Appendix A**

### **Annual statistics for heavy metals in precipitation**

**BE0014R Koksijde**  
**January 2021 - December 2021**

Component	matrix	W. mean	Min	Max	Dep	Num bel	Num sampl
As	precip	0.05	0.01	0.23	40.4	24	47
Cd	precip	0.02	0.00	0.08	14.7	43	47
Cr	precip	0.09	0.00	0.45	79.5	20	47
Cu	precip	2.51	0.49	30.90	2159.1	4	47
Fe	precip	10.31	0.43	133.00	8867.1	10	47
Mn	precip	2.74	0.55	22.40	2357.3	0	47
Ni	precip	0.28	-0.05	4.00	236.8	4	47
Pb	precip	0.42	0.06	2.10	361.8	36	47
Zn	precip	6.05	2.73	39.00	5198.1	0	47

**CZ0003R Kosetice (NAOK)**  
**January 2021 - December 2021**

Component	matrix	W. mean	Min	Max	Dep	Num bel	Num sampl
Cd	precip	0.03	0.02	0.40	19.0	62	136
Co	precip	0.05	0.00	1.43	28.1	1	136
Cr	precip	0.16	0.02	6.45	95.9	6	136
Cu	precip	0.86	0.04	7.43	518.0	1	136
Hg	precip	15.26	1.00	113.00	9089.3	9	39
Mn	precip	3.30	0.23	53.92	1981.1	0	135
Ni	precip	0.24	0.01	23.60	141.0	5	136
Pb	precip	0.93	0.04	22.08	556.0	0	136
V	precip	0.15	0.01	5.80	88.9	0	136
Zn	precip	14.90	0.84	153.40	8933.1	0	136

**CZ0005R Churanov**  
**January 2021 - December 2021**

Component	matrix	W. mean	Min	Max	Dep	Num bel	Num sampl
Cd	precip	0.04	0.02	0.31	4.3	34	52
Co	precip	0.02	0.00	0.51	1.9	3	52
Cr	precip	0.05	0.02	1.04	6.1	11	52
Cu	precip	1.02	0.14	21.67	121.6	0	52
Mn	precip	1.20	0.19	23.66	143.5	0	52
Ni	precip	0.07	0.01	0.95	7.7	4	52
Pb	precip	0.30	0.00	2.79	36.2	1	52
V	precip	0.06	0.01	1.43	7.6	0	52
Zn	precip	4.91	0.99	187.60	584.7	0	52

**DE0001R Westerland**  
**January 2021 - December 2021**

Component	matrix	W. mean	Min	Max	Dep	Num bel	Num sampl
As	precip	0.04	0.01	0.25	34.5	0	46
Cd	precip	0.01	0.00	0.05	8.3	0	45
Co	precip	0.03	0.01	0.10	19.4	0	41
Cr	precip	0.05	0.01	0.47	41.5	0	46
Cu	precip	0.39	0.05	2.91	300.9	0	46
Fe	precip	12.81	1.84	230.03	9802.7	0	45
Hg	precip	3.90	0.75	16.40	3120.8	0	41
Mn	precip	0.98	0.10	7.58	750.7	0	45
Mo	precip	0.03	0.01	0.10	21.6	0	46
Ni	precip	0.10	0.02	1.12	76.0	0	46
Pb	precip	0.29	0.04	2.63	218.7	0	45
Sb	precip	0.08	0.02	0.34	58.1	0	40
Se	precip	0.08	0.03	0.34	63.5	0	45
Ti	precip	0.24	0.04	3.42	185.6	0	43
Tl	precip	0.00	0.00	0.01	3.4	0	46
V	precip	0.13	0.03	0.59	97.6	0	45
Zn	precip	2.30	0.62	14.66	1757.4	0	46

DE0002R Waldhof  
January 2021 - December 2021

Component	matrix	W. mean	Min	Max	Dep	Num bel	Num sampl
As	precip	0.06	0.01	0.58	33.7	0	45
Cd	precip	0.02	0.00	0.14	9.3	0	45
Co	precip	0.03	0.01	0.14	18.8	0	42
Cr	precip	0.07	0.03	0.62	43.6	0	44
Cu	precip	0.60	0.13	4.50	358.2	0	47
Fe	precip	22.68	5.38	231.91	13445.1	0	43
Hg	precip	5.27	1.63	13.71	3120.5	0	44
Mn	precip	1.71	0.27	16.27	1015.0	0	43
Mo	precip	0.03	0.01	0.10	19.6	0	46
Ni	precip	0.09	0.03	0.52	54.2	0	47
Pb	precip	0.36	0.03	3.91	211.1	0	44
Sb	precip	0.09	0.03	0.41	51.9	0	43
Se	precip	0.08	0.01	0.48	44.6	0	46
Ti	precip	0.48	0.12	5.01	283.9	0	43
Tl	precip	0.00	0.00	0.05	2.1	0	47
V	precip	0.14	0.03	1.54	81.8	0	45
Zn	precip	3.83	1.04	20.53	2267.3	0	44

DE0003R Schauinsland  
January 2021 - December 2021

Component	matrix	W. mean	Min	Max	Dep	Num bel	Num sampl
As	precip	0.02	0.01	0.17	42.6	0	49
Cd	precip	0.01	0.00	0.08	11.6	0	48
Co	precip	0.03	0.01	0.20	47.8	0	38
Cr	precip	0.04	0.01	0.66	79.8	0	47
Cu	precip	0.35	0.07	3.04	634.9	0	49
Fe	precip	9.42	0.98	198.90	17289.6	0	46
Hg	precip	4.22	1.23	13.69	8234.5	0	47
Mn	precip	0.76	0.12	9.73	1390.7	0	46
Mo	precip	0.02	0.00	0.11	34.4	0	49
Ni	precip	0.06	0.01	0.46	111.5	0	50
Pb	precip	0.18	0.03	1.36	323.2	0	50
Sb	precip	0.06	0.02	0.40	112.2	0	38
Se	precip	0.04	0.01	0.23	66.4	0	48
Ti	precip	0.21	0.02	3.50	379.9	0	47
Tl	precip	0.00	0.00	0.02	2.9	0	50
V	precip	0.05	0.00	0.55	95.0	0	50
Zn	precip	1.77	0.36	16.46	3252.0	0	49

DE0007R Neuglobsow  
January 2021 - December 2021

Component	matrix	W. mean	Min	Max	Dep	Num bel	Num sampl
As	precip	0.06	0.02	0.38	40.9	0	46
Cd	precip	0.01	0.01	0.06	9.4	0	48
Co	precip	0.03	0.00	0.13	18.6	0	46
Cr	precip	0.06	0.01	0.47	39.9	0	49
Cu	precip	0.75	0.24	4.05	498.7	0	49
Fe	precip	16.48	1.18	137.86	10922.5	0	47
Mn	precip	2.37	0.32	20.19	1572.8	0	45
Mo	precip	0.03	0.01	0.09	17.1	0	45
Ni	precip	0.11	0.04	0.69	69.7	0	49
Pb	precip	0.45	0.05	3.24	298.0	0	49
Sb	precip	0.08	0.03	0.24	49.8	0	46
Se	precip	0.06	0.02	0.18	42.3	0	45
Ti	precip	0.34	0.05	3.01	225.1	0	47
Tl	precip	0.00	0.00	0.02	2.0	0	48
V	precip	0.12	0.03	0.65	77.9	0	46
Zn	precip	4.28	1.30	23.50	2839.3	0	46

DE0008R Schmücke  
January 2021 - December 2021

Component	matrix	W. mean	Min	Max	Dep	Num bel	Num sampl
As	precip	0.05	0.01	0.40	55.7	0	55
Cd	precip	0.01	0.00	0.16	16.3	0	56
Co	precip	0.02	0.01	0.19	28.2	0	47
Cr	precip	0.07	0.02	0.46	85.3	0	54
Cu	precip	0.66	0.13	2.87	796.1	0	56
Fe	precip	16.48	3.18	175.16	19754.5	0	48
Hg	precip	5.28	1.83	16.55	6175.7	0	50
Mn	precip	1.06	0.16	13.05	1274.7	0	50
Mo	precip	0.04	0.01	0.20	48.6	0	55
Ni	precip	0.15	0.03	1.16	182.0	0	56
Pb	precip	0.42	0.08	2.57	505.4	0	56
Sb	precip	0.09	0.03	0.33	104.1	0	50
Se	precip	0.08	0.03	0.33	93.3	0	55
Ti	precip	0.29	0.06	3.68	349.1	0	48
Tl	precip	0.00	0.00	0.02	3.3	0	56
V	precip	0.08	0.02	0.99	99.1	0	53
Zn	precip	6.61	1.64	40.09	7928.7	0	56

DE0009R Zingst  
January 2021 - December 2021

Component	matrix	W. mean	Min	Max	Dep	Num bel	Num sampl
As	precip	0.05	0.01	0.26	32.1	0	44
Cd	precip	0.01	0.00	0.06	7.7	0	45
Co	precip	0.03	0.01	0.18	18.3	0	38
Cr	precip	0.06	0.01	0.41	38.3	0	45
Cu	precip	0.47	0.13	3.30	285.5	0	45
Fe	precip	15.88	2.58	125.56	9719.9	0	44
Hg	precip	4.62	2.51	11.83	2821.1	0	12
Mn	precip	1.69	0.38	11.19	1031.6	0	44
Mo	precip	0.02	0.01	0.06	14.6	0	43
Ni	precip	0.36	0.06	7.54	222.6	0	39
Pb	precip	0.31	0.08	1.06	189.9	0	45
Sb	precip	0.08	0.04	0.22	48.5	0	39
Se	precip	0.07	0.02	0.20	43.8	0	45
Ti	precip	0.35	0.07	2.02	214.4	0	45
Tl	precip	0.00	0.00	0.01	2.6	0	45
V	precip	0.21	0.09	1.14	127.6	0	41
Zn	precip	3.23	0.79	16.16	1975.9	0	45

DK0005R Keldsnor  
January 2021 - December 2021

Component	matrix	W. mean	Min	Max	Dep	Num bel	Num sampl
As	precip	0.15	0.05	0.52	72.6	0	13
Cd	precip	0.09	0.01	0.25	41.4	0	13
Cr	precip	1.01	0.03	6.24	479.9	1	12
Ni	precip	0.30	0.04	0.72	141.0	1	13
Zn	precip	31.87	4.61	89.36	15117.7	0	13

DK0008R Anholt  
January 2021 - December 2021

Component	matrix	W. mean	Min	Max	Dep	Num bel	Num sampl
As	precip	0.15	0.00	0.62	85.3	1	12
Cd	precip	0.02	0.01	0.08	10.5	0	12
Cr	precip	0.18	0.02	1.14	97.7	1	12
Ni	precip	0.20	0.10	1.27	110.2	0	12
Zn	precip	8.04	5.57	32.84	4441.0	0	12



DK0012R Risoe  
January 2021 - December 2021

Component	matrix	W. mean	Min	Max	Dep	Num bel	Num sampl
As	precip	0.09	0.03	0.31	46.8	1	13
Cd	precip	0.04	0.01	0.10	21.4	0	13
Cr	precip	0.13	0.04	0.90	72.4	2	13
Ni	precip	0.23	0.08	0.78	124.7	0	12
Zn	precip	7.20	2.81	20.54	3899.7	0	13

DK0022R Sepstrup Sande  
January 2021 - December 2021

Component	matrix	W. mean	Min	Max	Dep	Num bel	Num sampl
As	precip	0.08	0.03	0.30	70.0	1	13
Cd	precip	0.02	0.01	0.07	16.7	2	13
Cr	precip	0.09	0.02	0.35	83.3	4	13
Ni	precip	0.10	0.04	0.28	85.3	5	13
Zn	precip	7.82	4.17	19.72	6956.2	0	13

DK0031R Ulborg  
January 2021 - December 2021

Component	matrix	W. mean	Min	Max	Dep	Num bel	Num sampl
As	precip	0.07	0.03	0.18	62.9	1	13
Cd	precip	0.01	0.00	0.03	13.1	3	13
Cr	precip	0.07	0.01	0.28	63.1	4	13
Ni	precip	0.16	0.08	0.47	153.7	0	13
Zn	precip	5.50	2.97	13.52	5143.4	0	13

EE0009R Lahemaa  
January 2021 - December 2021

Component	matrix	W. mean	Min	Max	Dep	Num bel	Num sampl
As	precip	0.04	0.01	0.16	27.2	26	44
Cd	precip	0.02	0.01	0.09	12.1	26	44
Cu	precip	0.61	0.50	3.60	456.1	37	44
Hg	precip	0.00	2.50	2.50	0.0	13	13
Ni	precip	0.16	0.05	5.80	117.6	29	44
Pb	precip	0.23	0.05	1.50	174.5	12	44
Zn	precip	1.80	0.50	9.80	1341.8	15	44

EE0011R Vilsandi  
January 2021 - December 2021

Component	matrix	W. mean	Min	Max	Dep	Num bel	Num sampl
Cd	precip	0.02	0.01	0.06	13.8	6	13
Cu	precip	0.64	0.50	1.90	452.0	12	13
Mn	precip	1.68	0.22	9.80	1188.2	0	13
Ni	precip	0.48	0.05	4.30	342.7	10	13
Pb	precip	0.25	0.05	0.65	175.3	3	13
Zn	precip	3.38	0.50	19.00	2400.8	3	13

ES0001R San Pablo de los Montes  
January 2021 - December 2021

Component	matrix	W. mean	Min	Max	Dep	Num bel	Num sampl
As	precip+dry_dep	0.12	0.07	0.19	-	3	4
Cd	precip+dry_dep	0.04	0.01	0.09	-	4	4
Cr	precip+dry_dep	0.29	0.06	0.58	-	4	4
Cu	precip+dry_dep	10.70	7.39	17.96	-	0	4
Hg	precip+dry_dep	7.44	2.91	13.88	-	3	4
Ni	precip+dry_dep	1.45	0.28	2.86	-	4	4
Pb	precip+dry_dep	0.28	0.11	0.55	-	3	4
Zn	precip+dry_dep	145.37	20.08	447.61	-	0	4

**ES0007R Viznar**  
**January 2021 - December 2021**

Component	matrix	W. mean	Min	Max	Dep	Num bel	Num sampl
As	precip+dry_dep	0.30	0.10	0.78	-	0	4
Cd	precip+dry_dep	0.03	0.01	0.05	-	4	4
Cr	precip+dry_dep	0.19	0.06	0.30	-	4	4
Pb	precip+dry_dep	0.34	0.06	0.70	-	1	4
Zn	precip+dry_dep	22.18	1.34	38.57	-	0	4

**ES0008R Niembro**  
**January 2021 - December 2021**

Component	matrix	W. mean	Min	Max	Dep	Num bel	Num sampl
As	precip	0.09	0.02	0.52	101.7	1	47
As	precip+dry_dep	12.14	7.11	23.15	-	0	4
Cd	precip	0.08	0.02	0.38	87.5	2	47
Cr	precip	0.76	0.30	11.64	859.3	0	47
Cr	precip+dry_dep	0.78	0.35	1.79	-	1	4
Cu	precip	17.28	1.60	361.25	19424.1	0	47
Cu	precip+dry_dep	7.63	2.88	14.07	-	0	4
Hg	precip	3.88	0.00	22.13	3879.4	26	44
Hg	precip+dry_dep	8.16	3.54	14.74	-	4	4
Ni	precip	49.66	0.51	1784.28	55811.3	1	47
Ni	precip+dry_dep	1.68	0.73	3.04	-	4	4
Pb	precip	6.71	0.22	217.90	7544.7	0	47
Pb	precip+dry_dep	0.79	0.07	1.54	-	1	4

**ES0009R Campisabalos**  
**January 2021 - December 2021**

Component	matrix	W. mean	Min	Max	Dep	Num bel	Num sampl
As	precip	0.08	0.02	0.42	36.5	9	38
Cd	precip	0.41	0.02	6.08	177.2	1	38
Cr	precip	0.75	0.10	5.75	325.8	3	38
Cu	precip	8.53	1.42	182.15	3726.8	0	38
Ni	precip	0.70	0.51	7.47	307.7	27	38
Pb	precip	2.79	0.25	73.69	1221.4	0	38
Zn	precip	46.19	9.66	784.45	20189.8	0	38

**ES0012R Zarra**  
**January 2021 - December 2021**

Component	matrix	W. mean	Min	Max	Dep	Num bel	Num sampl
As	precip+dry_dep	0.30	0.06	0.56	-	0	4
Cd	precip+dry_dep	0.03	0.02	0.04	-	3	4
Cr	precip+dry_dep	1.14	0.12	3.68	-	2	4
Cu	precip+dry_dep	13.36	7.72	17.13	-	0	4
Hg	precip+dry_dep	3.37	1.24	5.69	-	4	4
Ni	precip+dry_dep	1.28	0.61	2.76	-	3	4
Pb	precip+dry_dep	0.95	0.06	2.03	-	1	4
Zn	precip+dry_dep	11.65	1.43	18.12	-	1	4

**ES0014R Els Torms**  
**January 2021 - December 2021**

Component	matrix	W. mean	Min	Max	Dep	Num bel	Num sampl
As	precip+dry_dep	0.16	0.05	0.27	-	0	4
Cd	precip+dry_dep	0.02	0.01	0.04	-	4	4
Cr	precip+dry_dep	0.58	0.06	1.86	-	2	4
Cu	precip+dry_dep	6.01	3.83	8.40	-	0	4
Hg	precip+dry_dep	3.00	1.37	5.76	-	4	4
Ni	precip+dry_dep	0.90	0.28	1.53	-	3	4
Pb	precip+dry_dep	0.29	0.03	0.82	-	2	4
Zn	precip+dry_dep	2.42	1.32	4.60	-	2	4

**FI0018R Virolahti III**  
**January 2021 - December 2021**

Component	matrix	W. mean	Min	Max	Dep	Num bel	Num sampl
Al	precip	25.10	6.80	129.85	15096.4	0	13
As	precip	0.07	0.03	0.14	42.8	0	13
Cd	precip	0.02	0.01	0.05	12.3	0	13
Co	precip	0.02	0.01	0.08	14.6	0	13
Cr	precip	0.06	0.03	0.16	38.7	0	13
Cu	precip	0.69	0.32	2.24	413.0	0	13
Fe	precip	43.89	14.06	286.79	26392.5	0	13
Hg	precip	4.01	2.00	16.00	2557.4	0	13
Mn	precip	3.06	0.66	15.46	1842.1	0	13
Ni	precip	0.18	0.06	0.55	110.1	0	13
Pb	precip	0.62	0.26	1.58	375.5	0	13
V	precip	0.23	0.09	0.46	137.6	0	13
Zn	precip	3.28	1.82	6.32	1970.0	0	13

**FI0036R Pallas (Matorova)**  
**January 2021 - December 2021**

Component	matrix	W. mean	Min	Max	Dep	Num bel	Num sampl
Al	precip	5.75	0.69	18.18	3139.5	0	13
As	precip	0.03	0.01	0.08	14.9	0	13
Cd	precip	0.01	0.00	0.02	3.0	0	13
Co	precip	0.01	0.00	0.02	4.2	0	13
Cr	precip	0.04	0.02	0.07	22.4	0	13
Cu	precip	0.51	0.10	3.54	275.9	0	13
Fe	precip	6.87	0.83	18.38	3754.2	0	13
Hg	precip	3.18	0.60	39.50	1617.0	0	25
Mn	precip	0.84	0.12	2.61	461.2	0	13
Ni	precip	0.14	0.04	0.41	75.3	0	13
Pb	precip	0.19	0.09	0.65	101.1	0	13
V	precip	0.07	0.02	0.20	40.9	0	13
Zn	precip	1.24	0.51	4.23	676.2	0	13

**FI0050R Hyttiälä**  
**January 2021 - December 2021**

Component	matrix	W. mean	Min	Max	Dep	Num bel	Num sampl
Al	precip	17.88	2.43	107.44	10623.0	0	13
As	precip	0.06	0.02	0.24	35.6	0	13
Cd	precip	0.02	0.01	0.05	10.5	0	13
Co	precip	0.03	0.00	0.11	15.1	0	13
Cr	precip	0.06	0.03	0.15	36.6	0	13
Cu	precip	0.74	0.28	4.51	439.9	0	13
Fe	precip	18.35	3.72	63.66	10903.8	0	13
Hg	precip	3.56	2.00	15.00	2056.2	0	13
Mn	precip	5.95	0.72	24.01	3535.0	0	13
Ni	precip	0.17	0.06	0.73	101.8	0	13
Pb	precip	0.42	0.21	1.07	250.8	0	13
V	precip	0.13	0.07	0.31	79.2	0	13
Zn	precip	5.48	2.20	14.40	3254.6	0	6

**FI0053R Hailuoto II**  
**January 2021 - December 2021**

Component	matrix	W. mean	Min	Max	Dep	Num bel	Num sampl
Al	precip	13.61	2.83	43.52	6737.8	0	13
As	precip	0.06	0.02	0.33	28.1	0	13
Cd	precip	0.01	0.01	0.07	6.9	0	13
Co	precip	0.02	0.01	0.28	12.2	0	13
Cr	precip	0.09	0.03	0.76	45.0	0	13
Cu	precip	0.54	0.22	5.00	265.5	0	13
Fe	precip	19.35	4.63	62.54	9579.0	0	13
Mn	precip	1.99	0.72	7.77	985.2	0	13
Ni	precip	0.17	0.06	0.84	83.6	0	13
Pb	precip	0.40	0.12	2.01	195.6	0	13
V	precip	0.22	0.07	1.75	108.9	0	13
Zn	precip	2.30	1.05	15.30	1140.0	0	12

**FI0092R Hietajärvi**  
**January 2021 - December 2021**

Component	matrix	W. mean	Min	Max	Dep	Num bel	Num sampl
Al	precip	8.37	1.60	41.79	5341.5	0	13
As	precip	0.04	0.02	0.11	27.4	0	13
Cd	precip	0.01	0.01	0.03	8.6	0	13
Co	precip	0.01	0.00	0.07	9.2	0	13
Cr	precip	0.05	0.02	0.14	30.6	0	13
Cu	precip	0.41	0.21	1.18	261.6	0	13
Fe	precip	9.78	2.65	42.66	6243.0	0	13
Mn	precip	1.60	0.20	9.89	1023.1	0	13
Ni	precip	0.10	0.04	0.31	65.0	0	13
Pb	precip	0.31	0.15	0.66	197.6	0	13
V	precip	0.10	0.06	0.21	62.2	0	13
Zn	precip	1.84	1.04	4.14	1172.0	0	13

**FI0093R Kotinen**  
**January 2021 - December 2021**

Component	matrix	W. mean	Min	Max	Dep	Num bel	Num sampl
Al	precip	14.17	2.23	49.88	9957.8	0	12
As	precip	0.05	0.02	0.08	37.5	0	12
Cd	precip	0.01	0.00	0.02	8.6	0	12
Co	precip	0.02	0.00	0.08	14.8	0	12
Cr	precip	0.05	0.03	0.13	37.7	0	12
Cu	precip	0.49	0.23	1.33	346.0	0	12
Fe	precip	14.91	3.42	49.17	10477.4	0	12
Hg	precip	3.15	1.00	5.00	2168.6	0	12
Mn	precip	3.52	0.43	12.03	2475.2	0	12
Ni	precip	0.12	0.04	0.31	80.9	0	12
Pb	precip	0.34	0.09	0.57	235.6	0	12
V	precip	0.14	0.06	0.26	96.3	0	12
Zn	precip	2.15	0.78	3.60	1513.2	0	12

**FR0008R Donon**  
**January 2021 - December 2021**

Component	matrix	W. mean	Min	Max	Dep	Num bel	Num sampl
As	precip_tot	0.10	0.02	0.88	166.2	0	12
Cd	precip_tot	0.07	0.00	0.64	112.0	0	12
Ni	precip_tot	0.15	0.04	0.40	244.6	0	12
Pb	precip_tot	1.01	0.19	4.88	1603.8	0	11

**FR0009R Revin**  
**January 2021 - December 2021**

Component	matrix	W. mean	Min	Max	Dep	Num bel	Num sampl
As	precip_tot	0.06	0.04	0.16	70.7	0	13
Cd	precip_tot	0.04	0.00	0.14	44.7	0	13
Ni	precip_tot	0.34	0.09	1.32	399.4	0	13
Pb	precip_tot	0.78	0.40	3.43	905.7	0	13

**FR0013R Peyrusse Vieille**  
**January 2021 - December 2021**

Component	matrix	W. mean	Min	Max	Dep	Num bel	Num sampl
As	precip_tot	0.07	0.01	0.29	51.2	0	13
Cd	precip_tot	0.02	0.00	0.09	12.3	1	13
Ni	precip_tot	0.30	0.10	1.15	214.8	0	13
Pb	precip_tot	0.38	0.08	1.43	273.5	0	13

**FR0023R Saint-Nazaire-le-Désert**  
**January 2021 - December 2021**

Component	matrix	W. mean	Min	Max	Dep	Num bel	Num sampl
As	precip_tot	0.07	0.01	0.19	73.3	0	13
Cd	precip_tot	0.03	0.00	0.08	30.4	1	13
Ni	precip_tot	0.36	0.10	1.03	371.5	0	13
Pb	precip_tot	0.64	0.19	1.39	653.6	0	13

**FR0025R Verneuil**  
**January 2021 - December 2021**

Component	matrix	W. mean	Min	Max	Dep	Num bel	Num sampl
As	precip_tot	0.12	0.03	0.51	97.0	0	13
Cd	precip_tot	0.02	0.00	0.10	16.5	2	13
Ni	precip_tot	0.34	0.13	1.33	283.3	0	13
Pb	precip_tot	0.65	0.16	7.04	546.2	0	13

**FR0028R Kergoff**  
**January 2021 - December 2021**

Component	matrix	W. mean	Min	Max	Dep	Num bel	Num sampl
As	precip_tot	0.08	0.03	0.18	79.6	0	13
Cd	precip_tot	0.01	0.00	0.06	14.3	1	13
Ni	precip_tot	0.19	0.13	0.44	184.8	0	13
Pb	precip_tot	0.34	0.18	1.44	334.4	0	12

**FR0090R Porspoder**  
**January 2021 - December 2021**

Component	matrix	W. mean	Min	Max	Dep	Num bel	Num sampl
As	precip	0.12	0.02	0.36	95.4	0	11
Cd	precip	0.04	0.00	0.10	28.9	0	11
Co	precip	0.04	0.00	0.11	32.6	0	11
Cr	precip	0.16	0.01	0.78	125.9	0	11
Cu	precip	1.64	0.36	3.50	1277.6	0	11
Ni	precip	0.39	0.06	1.15	300.1	0	11
Pb	precip	0.59	0.03	1.93	458.1	0	11
V	precip	0.22	0.06	0.56	170.7	0	11
Zn	precip	9.74	2.00	19.20	7591.1	0	11

**GB0006R Lough Navar**  
**January 2021 - December 2021**

Component	matrix	W. mean	Min	Max	Dep	Num bel	Num sampl
As	precip	0.12	0.08	0.22	180.2	0	11
Cd	precip	0.00	0.00	0.00	3.3	5	12
Cr	precip	0.12	0.01	1.33	173.2	7	12
Cu	precip	0.20	0.02	0.45	289.9	0	11
Ni	precip	0.06	0.00	0.70	89.6	1	11
Pb	precip	0.01	0.01	0.03	22.1	12	12
Zn	precip	0.34	0.25	1.63	496.4	11	12

**GB0013R Yarner Wood**  
**January 2021 - December 2021**

Component	matrix	W. mean	Min	Max	Dep	Num bel	Num sampl
As	precip	0.09	0.02	0.65	112.8	0	33
Cd	precip	0.01	0.00	0.08	9.6	7	34
Cr	precip	0.04	0.01	0.13	50.2	15	34
Cu	precip	0.35	0.05	3.47	426.4	0	33
Hg	precip	3.21	0.00	7.00	3565.3	0	9
Ni	precip	0.08	0.02	1.05	99.3	0	33
Pb	precip	0.04	0.01	0.20	51.7	28	34
Zn	precip	1.25	0.25	7.26	1522.3	14	33

**GB0017R Heigham Holmes**  
**January 2021 - December 2021**

Component	matrix	W. mean	Min	Max	Dep	Num bel	Num sampl
As	precip	0.11	0.05	0.19	65.3	0	10
Cd	precip	0.01	0.00	0.01	4.5	0	10
Cr	precip	0.06	0.01	0.12	32.5	4	11
Cu	precip	0.47	0.16	1.14	274.6	0	10
Hg	precip	4.42	2.00	8.00	2272.7	0	12
Ni	precip	0.06	0.03	0.11	36.8	0	10
Pb	precip	0.11	0.01	0.31	65.1	2	11
Zn	precip	2.43	1.13	5.13	1415.3	0	10

**GB0048R Auchencorth Moss**  
**January 2021 - December 2021**

Component	matrix	W. mean	Min	Max	Dep	Num bel	Num sampl
Al	precip	0.76	0.30	10.80	623.4	18	24
As	precip	0.04	0.00	0.14	30.7	1	9
Ba	precip	0.08	0.03	0.55	67.9	15	22
Be	precip	0.00	0.00	0.00	1.7	25	26
Cd	precip	0.00	0.00	0.01	1.1	24	28
Co	precip	0.00	0.00	0.02	2.5	35	36
Cr	precip	0.04	0.02	0.10	31.1	15	21
Cs	precip	0.00	0.00	0.00	0.8	32	33
Cu	precip	0.47	0.01	2.90	382.8	1	10
Fe	precip	3.01	0.50	24.00	2461.8	11	19
Hg	precip	2.56	1.00	9.00	1919.8	0	11
Li	precip	0.01	0.00	0.04	5.8	1	10
Mn	precip	0.25	0.01	2.09	203.4	0	9
Mo	precip	0.02	0.01	0.06	12.4	41	42
Ni	precip	0.01	0.01	0.07	9.3	8	14
Pb	precip	0.05	0.03	0.27	37.0	35	38
Sb	precip	0.02	0.01	0.11	16.7	4	12
Se	precip	0.05	0.01	0.18	44.5	8	16
Sn	precip	0.00	0.00	0.18	4.0	28	31
Sr	precip	0.45	0.01	2.28	372.2	1	44
Ti	precip	0.03	0.02	0.46	27.2	19	24
U	precip	0.00	0.00	0.02	0.9	42	43
V	precip	0.02	0.00	0.13	13.6	11	16
W	precip	0.01	0.01	0.05	4.3	39	40
Zn	precip	0.64	0.50	2.70	526.3	29	32

**GB1055R Chilbolton Observatory**  
**January 2021 - December 2021**

Component	matrix	W. mean	Min	Max	Dep	Num bel	Num sampl
Al	precip	1.70	0.30	23.96	1068.3	9	13
As	precip	0.05	0.01	0.13	29.3	0	6
Ba	precip	0.37	0.03	1.31	236.1	2	8
Be	precip	0.00	0.00	0.00	1.3	2	2
Cd	precip	0.00	0.00	0.01	0.9	12	16
Co	precip	0.00	0.00	0.02	2.4	21	24
Cr	precip	0.02	0.02	0.09	15.3	14	17
Cs	precip	0.00	0.00	0.01	0.8	17	20
Cu	precip	0.17	0.11	0.59	104.1	0	6
Fe	precip	1.81	0.50	21.00	1137.5	12	17
Hg	precip	3.35	2.00	20.00	2058.9	0	10
Li	precip	0.03	0.01	0.07	18.1	0	6
Mn	precip	0.90	0.31	3.63	564.6	0	6
Mo	precip	0.02	0.01	0.05	9.7	26	27
Ni	precip	0.04	0.02	0.05	23.2	0	6
Pb	precip	0.03	0.03	0.26	21.0	25	26
Sb	precip	0.03	0.01	0.13	21.7	1	7
Se	precip	0.06	0.01	0.26	39.0	5	9
Sn	precip	0.01	0.00	0.03	4.3	12	18
Sr	precip	1.11	0.16	3.38	700.5	0	31
Ti	precip	0.06	0.02	0.49	35.7	10	15
U	precip	0.00	0.00	0.00	0.6	30	30
V	precip	0.14	0.02	0.31	90.0	0	6
W	precip	0.01	0.01	0.02	3.4	24	27
Zn	precip	0.52	0.50	1.74	329.8	16	17

HU0002R K-pusztá  
January 2021 - December 2021

Component	matrix	W. mean	Min	Max	Dep	Num bel	Num sampl
Cd	precip	0.10	0.06	0.41	61.6	25	38
Pb	precip	1.73	0.46	42.37	1053.3	20	38

IS0091R Storhofdi  
January 2021 - December 2021

Component	matrix	W. mean	Min	Max	Dep	Num bel	Num sampl
Al	precip	123.98	32.70	385.50	115033.9	0	12
As	precip	0.05	0.03	0.11	50.2	3	12
Cd	precip	0.02	0.01	0.06	19.5	0	12
Co	precip	0.08	0.02	0.23	72.3	0	12
Cr	precip	0.28	0.04	0.79	257.6	1	12
Cu	precip	2.48	0.86	9.44	2304.8	0	12
Fe	precip	177.36	55.90	515.10	164561.3	0	12
Mn	precip	2.88	0.95	7.98	2667.8	0	12
Ni	precip	0.33	0.09	0.99	303.8	0	12
Pb	precip	0.39	0.10	1.43	364.1	0	12
V	precip	0.55	0.15	1.50	506.5	0	12
Zn	precip	16.90	8.46	40.36	15683.6	0	12

IT0019R Monte Martano  
January 2021 - December 2021

Component	matrix	W. mean	Min	Max	Dep	Num bel	Num sampl
Al	precip+dry_dep	1815120.8	425313.8	3941119.1	-	0	12
As	precip+dry_dep	460.69	159.48	961.78	-	0	12
Ba	precip+dry_dep	39020.57	5485.48	115140.7	-	0	12
Cd	precip+dry_dep	71.28	20.00	356.29	-	6	12
Co	precip+dry_dep	531.29	100.00	1178.52	-	2	12
Cr	precip+dry_dep	6935.67	1353.55	26936.52	-	0	12
Cu	precip+dry_dep	12200.06	3375.09	21843.17	-	0	12
Fe	precip+dry_dep	1359762.3	474125.2	2564999.5	-	0	12
La	precip+dry_dep	1274.17	207.22	3159.11	-	0	12
Mn	precip+dry_dep	43509.28	10688.67	94464.95	-	0	12
Mo	precip+dry_dep	740.31	20.00	3021.57	-	2	12
Ni	precip+dry_dep	5464.94	715.86	13549.17	-	0	12
Pb	precip+dry_dep	5191.91	1220.12	9843.64	-	0	12
Sb	precip+dry_dep	422.68	100.00	1359.23	-	3	12
Sn	precip+dry_dep	571.59	100.00	1586.76	-	2	12
Sr	precip+dry_dep	8708.76	277.98	23190.67	-	0	12
Ti	precip+dry_dep	31755.45	7320.35	74613.98	-	0	12
V	precip+dry_dep	2696.31	1045.49	5751.93	-	0	12
Zn	precip+dry_dep	123839.26	24433.35	285211.6	-	0	12

LV0010R Rucava  
January 2021 - December 2021

Component	matrix	W. mean	Min	Max	Dep	Num bel	Num sampl
As	precip	0.13	0.10	0.67	137.2	41	43
Cd	precip	0.02	0.01	0.08	16.7	38	43
Hg	precip	3.45	0.20	18.00	3718.5	27	36
Ni	precip	0.66	0.45	2.20	710.4	41	41
Pb	precip	0.31	0.20	1.80	338.8	43	43

**NL0010R Vredepeel**  
**January 2021 - December 2021**

Component	matrix	W. mean	Min	Max	Dep	Num bel	Num sampl
As	precip	0.11	0.04	0.27	59.0	15	22
Cd	precip	0.05	0.02	0.37	28.6	7	22
Cr	precip	0.14	0.03	0.41	75.5	22	22
Cu	precip	1.92	0.56	4.96	1009.6	0	22
Fe	precip	48.14	6.70	147.43	25357.8	6	22
Ni	precip	0.39	0.10	1.31	205.9	14	21
Pb	precip	1.25	0.22	3.76	660.6	1	22
V	precip	0.33	0.07	0.98	175.1	7	22
Zn	precip	10.12	4.45	27.54	5333.6	0	22

**NL0091R De Zilk**  
**January 2021 - December 2021**

Component	matrix	W. mean	Min	Max	Dep	Num bel	Num sampl
As	precip	0.05	0.01	0.33	38.6	40	44
Cd	precip	0.01	0.00	0.05	10.9	41	43
Cr	precip	0.05	0.01	0.36	43.4	42	42
Cu	precip	0.80	0.17	4.97	635.2	10	44
Fe	precip	16.02	1.68	101.08	12696.1	32	43
Hg	precip	11.22	2.00	40.00	7744.5	0	42
Ni	precip	0.32	0.04	3.41	254.1	27	41
Pb	precip	0.58	0.10	4.06	460.9	20	44
V	precip	0.20	0.07	0.98	161.0	24	44
Zn	precip	3.00	0.13	14.19	2377.5	27	43

**NO0001R Birkenes**  
**January 2021 - December 2021**

Component	matrix	W. mean	Min	Max	Dep	Num bel	Num sampl
As	precip	0.06	0.03	0.39	60.2	17	46
Cd	precip	0.02	0.01	0.10	16.3	0	46
Co	precip	0.02	0.00	0.47	17.9	8	46
Cr	precip	0.11	0.04	0.85	122.0	12	46
Cu	precip	1.95	0.17	51.60	2094.8	0	46
Hg	precip	4.15	1.60	22.04	6128.4	0	38
Mn	precip	1.54	0.26	20.30	1655.9	0	46
Ni	precip	0.20	0.03	11.30	214.2	1	46
Pb	precip	0.58	0.12	3.59	627.1	0	46
V	precip	0.19	0.05	1.65	201.9	0	46
Zn	precip	5.26	1.28	69.10	5653.6	0	46

**NO0039R K arvatn**  
**January 2021 - December 2021**

Component	matrix	W. mean	Min	Max	Dep	Num bel	Num sampl
As	precip	0.04	0.03	0.21	58.8	36	47
Cd	precip	0.01	0.00	0.19	10.3	17	48
Co	precip	0.01	0.00	0.27	23.5	14	47
Cr	precip	0.08	0.04	1.05	137.1	26	47
Cu	precip	1.07	0.05	8.40	1746.4	0	47
Hg	precip	2.76	0.02	36.69	4947.9	0	37
Mn	precip	1.10	0.10	14.90	1803.8	6	47
Ni	precip	0.13	0.10	1.09	208.3	36	47
Pb	precip	0.27	0.02	4.86	433.3	11	48
V	precip	0.05	0.01	0.66	89.7	8	47
Zn	precip	2.29	0.30	16.60	3752.3	2	48



**NO0056R Hurdal**  
**January 2021 - December 2021**

Component	matrix	W. mean	Min	Max	Dep	Num bel	Num sampl
As	precip	0.09	0.03	0.35	69.8	11	43
Cd	precip	0.02	0.00	0.13	13.3	0	44
Co	precip	0.03	0.00	0.24	23.0	6	43
Cr	precip	0.27	0.04	3.94	213.8	9	43
Cu	precip	3.26	0.31	35.80	2617.0	0	43
Hg	precip	11.27	1.34	37.30	9455.5	0	24
Mn	precip	2.70	0.10	70.40	2164.1	1	43
Ni	precip	0.33	0.03	4.33	262.5	1	43
Pb	precip	0.86	0.07	4.16	690.0	0	44
V	precip	0.22	0.03	1.03	173.9	0	43
Zn	precip	6.41	1.11	86.20	5167.0	0	44

**PL0004R Leba**  
**January 2021 - December 2021**

Component	matrix	W. mean	Min	Max	Dep	Num bel	Num sampl
Cd	precip	0.01	0.01	0.03	7.3	0	13
Cr	precip	0.04	0.01	0.12	25.2	0	13
Cu	precip	0.53	0.26	1.43	305.4	0	13
Ni	precip	0.16	0.08	0.30	92.6	0	13
Pb	precip	0.32	0.13	0.77	186.0	0	13
Zn	precip	2.63	1.78	8.01	1508.1	0	13

**PL0005R Diabla Gora**  
**January 2021 - December 2021**

Component	matrix	W. mean	Min	Max	Dep	Num bel	Num sampl
As	precip	0.23	0.15	0.30	132.1	0	12
Cd	precip	0.04	0.01	0.07	21.3	0	12
Cr	precip	0.08	0.03	0.25	45.6	0	12
Cu	precip	1.20	0.25	2.50	692.5	0	12
Hg	precip	5.21	1.10	19.70	2867.0	0	12
Ni	precip	0.23	0.05	0.50	134.7	0	12
Pb	precip	0.48	0.20	0.80	277.3	0	12
Zn	precip	5.32	1.50	8.00	3070.2	0	12

**SE0005R Bredkålen**  
**January 2021 - December 2021**

Component	matrix	W. mean	Min	Max	Dep	Num bel	Num sampl
As	precip	0.04	0.02	0.14	17.5	0	12
Cd	precip	0.01	0.00	0.04	6.5	0	12
Co	precip	0.01	0.00	0.06	6.6	0	12
Cr	precip	0.06	0.04	0.15	26.5	0	12
Cu	precip	3.39	0.25	8.03	1550.5	0	12
Hg	precip	4.25	1.40	22.70	2667.4	0	26
Mn	precip	3.37	0.50	8.60	1540.0	0	12
Ni	precip	0.12	0.07	0.28	54.0	0	12
Pb	precip	0.34	0.13	1.43	155.7	0	12
V	precip	0.07	0.02	0.26	31.0	0	12
Zn	precip	2.84	1.03	9.85	1298.5	0	12

**SE0014R Råö**  
**January 2021 - December 2021**

Component	matrix	W. mean	Min	Max	Dep	Num bel	Num sampl
As	precip	0.10	0.02	0.37	61.3	0	13
Cd	precip	0.06	0.01	0.18	35.3	0	13
Co	precip	0.03	0.01	0.13	18.2	0	13
Cr	precip	0.08	0.04	0.30	47.0	0	13
Cu	precip	5.32	1.08	15.53	3276.3	0	13
Hg	precip	3.99	0.10	27.20	2949.0	0	27
Mn	precip	4.00	0.60	25.30	2460.9	0	13
Ni	precip	0.17	0.05	0.55	102.2	0	13
Pb	precip	0.55	0.25	1.48	339.5	0	13
V	precip	0.20	0.09	0.58	121.8	0	13
Zn	precip	6.77	1.78	14.51	4166.9	0	13

**SE0020R Hallahus**  
**January 2021 - December 2021**

Component	matrix	W. mean	Min	Max	Dep	Num bel	Num sampl
As	precip	0.08	0.03	0.24	54.0	0	11
Cd	precip	0.03	0.01	0.18	22.2	0	12
Co	precip	0.03	0.00	0.13	17.9	0	11
Cr	precip	0.05	0.04	0.16	32.3	0	11
Cu	precip	2.79	0.80	8.40	1823.2	0	11
Hg	precip	4.12	1.50	43.20	3893.3	0	25
Mn	precip	2.84	0.50	13.20	1853.4	0	11
Ni	precip	0.11	0.05	0.32	72.9	0	11
Pb	precip	0.85	0.18	2.46	552.7	0	11
V	precip	0.22	0.06	0.51	146.5	0	11
Zn	precip	3.86	1.85	14.76	2517.2	0	11

**SE0022R Norunda Stenen**  
**January 2021 - December 2021**

Component	matrix	W. mean	Min	Max	Dep	Num bel	Num sampl
As	precip	0.06	0.02	0.14	28.5	0	12
Cd	precip	0.02	0.00	0.04	7.6	0	12
Co	precip	0.03	0.00	0.07	12.4	0	12
Cr	precip	0.07	0.04	0.29	33.2	0	12
Cu	precip	4.36	0.80	14.00	1963.4	0	11
Mn	precip	2.79	0.40	8.60	1259.2	0	12
Ni	precip	0.13	0.05	0.81	59.7	0	12
Pb	precip	0.53	0.16	3.97	240.2	0	12
V	precip	0.18	0.08	0.42	82.0	0	12
Zn	precip	3.83	2.56	14.24	1727.3	0	12

**SI0008R Iskrba**  
**January 2021 - December 2021**

Component	matrix	W. mean	Min	Max	Dep	Num bel	Num sampl
As	precip	0.03	0.03	1.03	41.0	42	45
Cd	precip	0.01	0.01	0.24	10.5	42	45
Co	precip	0.04	0.01	0.47	45.1	37	45
Cr	precip	0.08	0.07	0.55	105.1	45	45
Cu	precip	0.81	0.07	7.99	1009.8	28	44
Hg	precip	4.74	1.49	10.14	5876.0	0	18
Mn	precip	2.74	0.07	29.40	3420.5	13	45
Ni	precip	0.09	0.07	0.72	113.9	44	44
Pb	precip	0.51	0.03	6.79	637.6	17	44
V	precip	0.16	0.01	1.37	202.6	20	45
Zn	precip	1.86	0.25	23.30	2325.4	21	44

**SK0002R Chopok**  
**January 2021 - December 2021**

Component	matrix	W. mean	Min	Max	Dep	Num bel	Num sampl
As	precip	0.52	0.07	0.89	686.9	0	8
Cd	precip	0.20	0.02	0.85	265.6	0	12
Cr	precip	0.41	0.03	1.26	543.4	0	12
Cu	precip	0.75	0.14	2.15	983.5	0	12
Ni	precip	0.50	0.19	1.61	658.8	0	12
Pb	precip	1.22	0.29	3.17	1602.3	0	12
Zn	precip	33.20	10.18	146.56	43547.6	0	12

**SK0004R Stará Lesná**  
**January 2021 - December 2021**

Component	matrix	W. mean	Min	Max	Dep	Num bel	Num sampl
As	precip	0.30	0.02	0.74	187.9	0	10
Cd	precip	0.15	0.01	0.60	91.0	0	12
Cr	precip	0.20	0.02	0.79	125.5	0	12
Cu	precip	0.54	0.06	2.04	336.2	0	12
Ni	precip	0.31	0.10	1.48	193.7	0	12
Pb	precip	0.98	0.36	3.36	610.8	0	12
Zn	precip	18.57	5.28	106.15	11573.6	0	12

**SK0006R Starina**  
**January 2021 - December 2021**

Component	matrix	W. mean	Min	Max	Dep	Num bel	Num sampl
As	precip	0.39	0.00	3.72	249.7	0	28
Cd	precip	0.19	0.00	2.74	121.6	0	41
Cr	precip	0.35	0.00	2.80	219.5	0	41
Cu	precip	1.40	0.00	6.30	887.8	0	41
Ni	precip	0.67	0.00	2.99	424.4	0	41
Pb	precip	1.07	0.00	4.74	677.6	0	41
Zn	precip	32.02	0.00	230.74	20258.8	0	41

**SK0007R Topolníky**  
**January 2021 - December 2021**

Component	matrix	W. mean	Min	Max	Dep	Num bel	Num sampl
As	precip	0.29	0.04	0.63	127.0	0	6
Cd	precip	0.09	0.03	0.26	40.0	0	11
Cr	precip	0.42	0.04	1.97	183.2	0	11
Cu	precip	0.83	0.16	2.44	363.6	0	11
Ni	precip	0.63	0.20	2.18	276.3	0	11
Pb	precip	1.34	0.39	4.40	586.0	0	11
Zn	precip	252.40	6.97	852.78	110437.2	0	11



## **Appendix B**

### **Annual statistics for heavy metals in air**

**BE0014R Koksijde**  
**January 2021 - December 2021**

Component	matrix	Arit mean	Arit sd	Geom mean	Geom sd	Min	50%	Max	% anal	Num bel	Num sampl
As	pm10	0.44	0.33	0.36	1.95	0.00	0.40	2.20	94.5	2	173
Cd	pm10	0.09	0.09	0.12	1.47	0.00	0.10	0.70	94.5	57	173
Cr	pm10	1.45	1.63	0.99	2.38	0.10	1.10	15.80	94.5	117	173
Cu	pm10	2.89	2.23	2.30	1.94	0.50	2.25	15.60	92.9	1	170
Mn	pm10	6.38	6.65	4.26	2.53	0.20	4.50	54.10	94.5	0	173
Ni	pm10	2.00	2.01	1.41	2.28	0.20	1.40	14.70	94.5	19	173
Pb	pm10	3.12	2.36	2.32	2.34	0.10	2.50	14.20	94.5	2	173
Zn	pm10	11.43	9.29	8.14	2.49	0.10	9.30	54.00	94.5	6	173

**CY0002R Agia Marina Xyliatou / Cyprus Atmosph...**  
**January 2021 - December 2021**

Component	matrix	Arit mean	Arit sd	Geom mean	Geom sd	Min	50%	Max	% anal	Num bel	Num sampl
Al	pm10	531.09	631.54	287.54	3.50	5.81	339.56	4178.79	93.2	0	340
As	pm10	0.45	0.26	0.37	1.99	0.02	0.43	2.61	93.2	0	340
Cd	pm10	0.09	0.07	0.07	2.04	0.01	0.07	0.48	93.2	0	340
Cr	pm10	1.20	1.36	0.81	2.65	0.06	0.92	19.39	93.2	0	340
Cu	pm10	1.74	2.23	1.33	2.06	0.03	1.42	35.39	93.2	0	340
Fe	pm10	445.20	462.54	274.75	2.99	9.66	331.47	3022.41	93.2	0	340
Mn	pm10	8.84	7.93	5.76	2.91	0.13	7.58	47.53	93.2	0	340
Ni	pm10	0.65	1.01	0.25	4.28	0.05	0.34	9.11	93.2	0	340
Pb	pm10	0.00	0.01	0.00	2.88	0.00	0.00	0.07	93.2	0	340
V	pm10	1.89	1.74	1.17	3.29	0.01	1.44	9.31	93.2	0	340
Zn	pm10	16.53	12.30	12.98	2.05	1.10	13.51	88.77	93.2	0	340

**CZ0003R Kosetice (NAOK)**  
**January 2021 - December 2021**

Component	matrix	Arit mean	Arit sd	Geom mean	Geom sd	Min	50%	Max	% anal	Num bel	Num sampl
As	pm10	0.40	0.42	0.27	2.53	0.03	0.28	2.92	49.3	11	180
As	pm25	0.35	0.41	0.22	2.68	0.03	0.24	3.32	49.9	17	182
Cd	pm10	0.08	0.08	0.06	2.23	0.01	0.05	0.71	49.3	0	180
Cd	pm25	0.07	0.07	0.05	2.32	0.00	0.05	0.49	49.9	1	182
Co	pm10	0.04	0.07	0.03	2.46	0.00	0.03	0.66	49.3	0	180
Co	pm25	0.02	0.03	0.01	2.42	0.00	0.01	0.27	49.9	8	182
Cr	pm10	0.65	0.57	0.43	2.64	0.08	0.46	2.94	49.3	41	180
Cr	pm25	0.34	0.37	0.22	2.50	0.08	0.21	1.96	49.9	89	182
Cu	pm10	1.36	1.46	0.77	3.25	0.07	0.94	7.46	49.3	25	180
Cu	pm25	0.79	1.03	0.40	3.37	0.07	0.43	6.44	49.9	44	182
Mn	pm10	3.36	4.92	2.29	2.18	0.31	2.10	51.30	49.3	0	180
Mn	pm25	1.37	2.05	0.98	2.07	0.19	0.89	24.10	49.9	0	182
Ni	pm10	0.26	0.29	0.14	3.25	0.02	0.18	1.89	49.3	35	180
Ni	pm25	0.19	0.29	0.10	3.16	0.02	0.10	3.12	49.9	60	182
Pb	pm10	1.99	1.58	1.53	2.09	0.16	1.54	10.70	49.3	0	180
Pb	pm25	1.68	1.33	1.29	2.09	0.12	1.31	8.76	49.9	0	182
V	pm10	0.29	0.42	0.17	2.75	0.01	0.17	3.58	49.3	3	180
V	pm25	0.14	0.19	0.09	2.57	0.01	0.10	1.74	49.9	4	182
Zn	pm10	7.84	6.08	6.22	1.97	0.81	6.07	45.40	49.3	0	180
Zn	pm25	6.21	5.16	4.85	2.02	0.31	4.78	39.00	49.9	0	182

**CZ0005R Churanov**  
**January 2021 - December 2021**

Component	matrix	Arit mean	Arit sd	Geom mean	Geom sd	Min	50%	Max	% anal	Num bel	Num sampl
As	pm10	0.13	0.17	0.08	2.70	0.03	0.07	1.30	49.3	78	180
Cd	pm10	0.03	0.03	0.01	3.30	0.00	0.02	0.20	49.3	39	180
Co	pm10	0.03	0.09	0.01	3.54	0.00	0.01	0.99	49.3	33	180
Cr	pm10	0.35	0.47	0.20	2.70	0.08	0.21	4.37	49.3	85	180
Cu	pm10	0.75	0.70	0.44	3.18	0.07	0.53	3.41	49.0	46	179
Mn	pm10	1.44	3.63	0.63	3.78	0.01	0.64	41.00	49.3	7	180
Ni	pm10	0.17	0.51	0.06	3.18	0.02	0.03	5.64	49.0	91	179
Pb	pm10	0.73	0.66	0.51	2.65	0.00	0.56	5.14	49.3	1	180
V	pm10	0.18	0.50	0.07	3.76	0.00	0.09	5.71	49.3	9	180
Zn	pm10	3.68	2.74	2.72	2.46	0.03	3.04	16.20	49.3	4	180

DE0001R Westerland  
January 2021 - December 2021

Component	matrix	Arit mean	Arit sd	Geom mean	Geom sd	Min	50%	Max	% anal	Num bel	Num sampl
As	pm10	0.23	0.18	0.19	1.87	0.07	0.18	0.83	100.0	0	53
Cd	pm10	0.04	0.03	0.04	1.97	0.01	0.04	0.14	100.0	0	53
Co	pm10	0.03	0.02	0.03	2.04	0.00	0.03	0.15	100.0	1	53
Cr	pm10	1.25	1.12	0.88	2.23	0.44	0.44	5.07	100.0	27	53
Cu	pm10	1.34	0.93	1.03	2.29	0.11	1.16	3.66	100.0	2	53
Fe	pm10	76.62	52.41	62.67	1.86	16.03	65.55	296.96	100.0	0	53
Mn	pm10	2.41	3.86	1.68	2.02	0.45	1.67	28.77	100.0	0	53
Mo	pm10	0.14	0.09	0.12	1.79	0.03	0.11	0.38	100.0	0	53
Ni	pm10	0.47	0.27	0.39	1.91	0.04	0.39	1.17	100.0	1	53
Pb	pm10	1.43	1.10	1.15	1.99	0.26	1.07	4.92	100.0	0	53
Sb	pm10	0.22	0.13	0.19	1.78	0.06	0.19	0.67	100.0	0	53
Se	pm10	0.37	0.16	0.34	1.61	0.12	0.37	0.79	100.0	0	53
Ti	pm10	2.94	2.97	2.03	2.27	0.48	1.80	17.21	100.0	0	53
Tl	pm10	0.01	0.01	0.01	2.05	0.00	0.01	0.05	100.0	3	53
V	pm10	0.86	0.58	0.71	1.87	0.23	0.71	2.65	100.0	0	53
Zn	pm10	6.75	3.92	5.76	1.82	1.54	5.84	19.98	100.0	0	53

DE0002R Waldhof  
January 2021 - December 2021

Component	matrix	Arit mean	Arit sd	Geom mean	Geom sd	Min	50%	Max	% anal	Num bel	Num sampl
As	pm10	0.31	0.23	0.27	1.68	0.12	0.26	1.36	100.0	0	53
Cd	pm10	0.08	0.04	0.07	1.67	0.02	0.07	0.24	100.0	0	53
Co	pm10	0.04	0.03	0.03	2.06	0.00	0.03	0.21	100.0	1	53
Cr	pm10	0.86	0.76	0.68	1.92	0.44	0.44	4.10	100.0	34	53
Cu	pm10	1.70	1.60	1.31	2.16	0.11	1.29	9.19	100.0	1	53
Fe	pm10	97.69	79.87	80.71	1.75	30.70	75.64	554.38	100.0	0	53
Mn	pm10	2.67	1.65	2.32	1.67	0.90	2.26	10.78	100.0	0	53
Mo	pm10	0.21	0.13	0.18	1.80	0.05	0.17	0.56	100.0	0	53
Ni	pm10	0.26	0.21	0.20	2.24	0.04	0.24	1.13	100.0	7	53
Pb	pm10	2.48	1.40	2.17	1.72	0.82	2.24	8.02	100.0	0	53
Sb	pm10	0.34	0.19	0.30	1.63	0.10	0.30	0.97	100.0	0	53
Se	pm10	0.43	0.16	0.41	1.42	0.18	0.40	0.96	100.0	0	53
Ti	pm10	3.38	4.82	2.12	2.49	0.34	1.93	33.56	100.0	0	53
Tl	pm10	0.01	0.01	0.01	2.25	0.00	0.01	0.08	100.0	3	53
V	pm10	0.48	0.28	0.42	1.68	0.12	0.41	1.51	100.0	0	53
Zn	pm10	9.74	5.85	8.21	1.84	2.15	8.77	28.20	100.0	0	53
mercury_TGM	air	1.52	0.14	1.51	1.10	1.30	1.49	1.90	25.5	0	93

DE0003R Schauinsland  
January 2021 - December 2021

Component	matrix	Arit mean	Arit sd	Geom mean	Geom sd	Min	50%	Max	% anal	Num bel	Num sampl
As	pm10	0.09	0.07	0.07	2.34	0.00	0.07	0.41	100.0	1	53
Cd	pm10	0.02	0.01	0.02	2.22	0.00	0.02	0.06	100.0	3	53
Co	pm10	0.04	0.09	0.02	3.54	0.00	0.02	0.62	100.0	9	53
Cr	pm10	0.68	0.79	0.54	1.75	0.44	0.44	5.17	100.0	46	53
Cu	pm10	0.74	0.73	0.43	3.06	0.11	0.49	3.32	100.0	19	53
Fe	pm10	100.55	214.89	35.22	4.70	0.68	40.72	1462.05	100.0	2	53
Mn	pm10	2.08	3.80	0.93	3.61	0.05	1.00	25.88	100.0	0	53
Mo	pm10	0.09	0.07	0.07	2.16	0.01	0.08	0.47	100.0	0	53
Ni	pm10	0.16	0.28	0.08	2.69	0.04	0.04	1.55	100.0	35	53
Pb	pm10	0.84	0.60	0.68	2.08	0.15	0.79	3.53	100.0	0	53
Sb	pm10	0.15	0.09	0.12	2.07	0.02	0.13	0.37	100.0	0	53
Se	pm10	0.13	0.08	0.11	2.11	0.01	0.12	0.39	100.0	0	53
Ti	pm10	5.24	13.97	1.31	5.23	0.04	1.66	94.13	100.0	3	53
Tl	pm10	0.00	0.00	0.00	2.20	0.00	0.00	0.03	100.0	32	53
V	pm10	0.28	0.54	0.13	3.14	0.02	0.12	3.62	100.0	0	53
Zn	pm10	3.78	2.62	2.69	2.58	0.34	3.30	9.40	100.0	5	53
mercury_TGM	air	1.16	0.10	1.16	1.09	0.95	1.14	1.58	60.0	0	219

DE0007R Neuglobsow  
January 2021 - December 2021

Component	matrix	Arit mean	Arit sd	Geom mean	Geom sd	Min	50%	Max	% anal	Num bel	Num sampl
As	pm10	0.39	0.38	0.28	2.21	0.09	0.24	1.98	100.0	0	53
Cd	pm10	0.07	0.05	0.06	1.85	0.02	0.06	0.24	100.0	0	53
Co	pm10	0.03	0.03	0.02	2.47	0.00	0.02	0.17	100.0	3	53
Cr	pm10	0.60	0.40	0.53	1.57	0.44	0.44	1.85	100.0	44	53
Cu	pm10	1.18	1.36	0.82	2.68	0.11	0.84	8.34	100.0	5	53
Fe	pm10	68.44	63.91	54.82	1.85	15.75	53.76	457.29	100.0	0	53
Mn	pm10	2.14	1.34	1.84	1.70	0.58	1.81	8.57	100.0	0	53
Mo	pm10	0.14	0.08	0.12	1.72	0.03	0.12	0.35	100.0	0	53
Ni	pm10	0.30	0.51	0.18	2.52	0.04	0.21	3.73	100.0	9	53
Pb	pm10	2.32	1.70	1.87	2.01	0.51	2.01	8.48	100.0	0	53
Sb	pm10	0.30	0.17	0.26	1.75	0.09	0.26	0.72	100.0	0	53
Se	pm10	0.37	0.17	0.34	1.57	0.10	0.34	0.89	100.0	0	53
Ti	pm10	2.74	4.40	1.65	2.62	0.15	1.68	31.28	100.0	0	53
Tl	pm10	0.01	0.02	0.01	2.62	0.00	0.01	0.08	100.0	6	53
V	pm10	0.45	0.26	0.39	1.72	0.15	0.39	1.26	100.0	0	53
Zn	pm10	9.13	6.08	7.38	2.03	1.35	7.70	27.25	100.0	0	53

DE0008R Schmücke  
January 2021 - December 2021

Component	matrix	Arit mean	Arit sd	Geom mean	Geom sd	Min	50%	Max	% anal	Num bel	Num sampl
As	pm10	0.14	0.09	0.11	2.04	0.02	0.13	0.47	100.0	0	53
Cd	pm10	0.03	0.02	0.03	1.63	0.01	0.03	0.09	100.0	0	53
Co	pm10	0.03	0.06	0.01	3.58	0.00	0.01	0.34	100.0	13	53
Cr	pm10	0.68	0.54	0.55	1.72	0.44	0.44	2.50	100.0	44	53
Cu	pm10	0.68	0.64	0.39	2.97	0.11	0.40	2.15	100.0	19	53
Fe	pm10	71.66	120.23	34.66	3.48	1.85	38.16	845.40	100.0	0	53
Mn	pm10	1.72	2.24	0.96	3.20	0.02	1.09	15.18	100.0	0	53
Mo	pm10	0.12	0.06	0.11	1.71	0.02	0.12	0.30	100.0	0	53
Ni	pm10	0.14	0.15	0.09	2.38	0.04	0.04	0.85	100.0	27	53
Pb	pm10	1.18	0.58	1.04	1.65	0.39	1.06	2.88	100.0	0	53
Sb	pm10	0.19	0.10	0.16	1.84	0.04	0.17	0.43	100.0	0	53
Se	pm10	0.25	0.17	0.20	1.97	0.03	0.20	0.82	100.0	0	53
Ti	pm10	3.13	7.87	1.03	4.47	0.04	1.02	56.59	100.0	2	53
Tl	pm10	0.01	0.00	0.00	2.21	0.00	0.01	0.03	100.0	14	53
V	pm10	0.23	0.30	0.14	2.72	0.02	0.15	2.03	100.0	0	53
Zn	pm10	4.70	3.09	3.35	2.65	0.34	4.53	12.70	100.0	5	53
mercury_TGM	air	1.34	0.14	1.34	1.11	1.05	1.34	2.06	96.4	0	352

DE0009R Zingst  
January 2021 - December 2021

Component	matrix	Arit mean	Arit sd	Geom mean	Geom sd	Min	50%	Max	% anal	Num bel	Num sampl
As	pm10	0.26	0.18	0.21	1.91	0.05	0.20	0.71	100.0	0	53
Cd	pm10	0.05	0.03	0.05	1.79	0.02	0.04	0.16	100.0	0	53
Co	pm10	0.03	0.02	0.02	2.26	0.00	0.02	0.16	100.0	2	53
Cr	pm10	0.65	0.44	0.56	1.62	0.44	0.44	2.38	100.0	41	53
Cu	pm10	0.73	0.68	0.54	2.45	0.11	0.63	3.20	100.0	8	53
Fe	pm10	53.04	56.13	40.58	1.96	10.88	38.76	405.87	100.0	0	53
Mn	pm10	1.46	1.08	1.21	1.80	0.34	1.18	7.46	100.0	0	53
Mo	pm10	0.12	0.08	0.10	1.67	0.03	0.10	0.52	100.0	0	53
Ni	pm10	0.42	0.38	0.25	3.10	0.04	0.26	1.39	100.0	11	53
Pb	pm10	1.59	1.21	1.28	2.05	0.13	1.10	5.40	100.0	0	53
Sb	pm10	0.21	0.12	0.19	1.74	0.04	0.18	0.57	100.0	0	53
Se	pm10	0.34	0.15	0.31	1.55	0.11	0.32	0.69	100.0	0	53
Ti	pm10	2.38	3.54	1.44	2.56	0.21	1.31	24.55	100.0	0	53
Tl	pm10	0.01	0.01	0.01	2.45	0.00	0.01	0.07	100.0	8	53
V	pm10	1.65	1.28	1.18	2.30	0.25	1.19	5.30	100.0	0	53
Zn	pm10	5.94	3.94	4.91	2.04	0.34	5.02	18.05	100.0	1	53
mercury_TGM	air	1.29	0.14	1.29	1.12	0.89	1.28	1.77	92.3	0	337



DK0008R Anholt  
January 2021 - December 2021

Component	matrix	Arit mean	Arit sd	Geom mean	Geom sd	Min	50%	Max	% anal	Num bel	Num sampl
As	aerosol	0.21	0.24	0.15	2.09	0.03	0.14	2.46	98.6	0	361
Cd	aerosol	0.03	0.03	0.02	2.55	0.00	0.02	0.20	98.6	81	361
Ni	aerosol	0.54	0.65	0.34	2.62	-0.01	0.37	7.64	98.6	3	361
Pb	aerosol	1.07	1.33	0.62	2.80	0.06	0.60	11.05	98.6	0	361

DK0010G Villum Research Station, Station Nord  
January 2021 - December 2021

Component	matrix	Arit mean	Arit sd	Geom mean	Geom sd	Min	50%	Max	% anal	Num bel	Num sampl
As	aerosol	0.03	0.04	0.02	3.02	0.00	0.01	0.15	94.0	0	50
Cd	aerosol	0.00	0.01	0.00	3.00	0.00	0.00	0.03	94.0	39	50
Ni	aerosol	0.03	0.03	0.02	3.43	-0.02	0.01	0.12	88.5	19	47
Pb	aerosol	0.16	0.20	0.08	4.29	-0.01	0.07	0.84	92.1	10	49
mercury_GEM	air	1.19	0.07	1.19	1.06	0.99	1.19	1.50	5.2	0	455

DK0012R Risoe  
January 2021 - December 2021

Component	matrix	Arit mean	Arit sd	Geom mean	Geom sd	Min	50%	Max	% anal	Num bel	Num sampl
As	aerosol	0.31	0.47	0.19	2.69	-0.16	0.19	6.01	99.6	5	364
Cd	aerosol	0.04	0.06	0.03	3.38	-0.02	0.02	0.41	99.6	126	364
Ni	aerosol	0.54	0.63	0.36	2.61	-0.01	0.37	6.62	99.6	2	364
Pb	aerosol	1.20	1.63	0.62	3.72	-0.11	0.61	13.07	99.6	15	364

EE0009R Lahemaa  
January 2021 - December 2021

Component	matrix	Arit mean	Arit sd	Geom mean	Geom sd	Min	50%	Max	% anal	Num bel	Num sampl
As	pm10	0.14	0.12	0.11	2.06	0.03	0.10	0.70	85.8	6	53
Cd	pm10	0.04	0.04	0.02	3.05	0.01	0.01	0.10	85.8	34	53
Ni	pm10	0.62	0.92	0.49	1.61	0.30	0.40	7.10	85.8	0	53
Pb	pm10	1.58	0.99	1.34	1.75	0.50	1.30	4.10	85.8	0	53
mercury_TGM	air			1.29	0.20	1.27	1.19	0.36	1.31	1.92	97.7
0	8558										

ES0001R San Pablo de los Montes  
January 2021 - December 2021

Component	matrix	Arit mean	Arit sd	Geom mean	Geom sd	Min	50%	Max	% anal	Num bel	Num sampl
As	pm10	0.20	0.22	0.15	2.06	0.05	0.12	1.43	16.4	15	60
Cd	pm10	0.03	0.02	0.02	1.78	0.01	0.02	0.08	16.4	28	60
Cr	pm10	0.77	1.02	0.39	3.26	0.09	0.43	3.95	16.4	23	60
Ni	pm10	0.63	0.55	0.44	2.48	0.10	0.63	2.21	16.4	40	60
Pb	pm10	1.26	1.26	0.86	2.54	0.08	1.00	8.26	16.4	3	60
Zn	pm10	7.48	4.78	5.76	2.29	0.75	7.23	24.03	16.4	5	60

ES0007R Viznar  
January 2021 - December 2021

Component	matrix	Arit mean	Arit sd	Geom mean	Geom sd	Min	50%	Max	% anal	Num bel	Num sampl
As	pm10	0.18	0.14	0.14	1.96	0.05	0.13	0.78	16.4	15	60
Cd	pm10	0.04	0.06	0.02	2.33	0.01	0.02	0.37	16.4	28	60
Cr	pm10	0.79	0.94	0.46	2.99	0.09	0.47	5.22	16.4	18	60
Ni	pm10	1.31	4.86	0.57	2.59	0.10	0.63	38.09	16.4	31	60
Pb	pm10	1.54	1.20	1.21	2.05	0.09	1.18	6.00	16.4	1	60
Zn	pm10	8.81	8.01	6.32	2.41	0.75	6.73	47.17	16.4	5	60

ES0008R Niembro  
January 2021 - December 2021

Component	matrix	Arit mean	Arit sd	Geom mean	Geom sd	Min	50%	Max	% anal	Num bel	Num sampl
As	pm10	0.15	0.11	0.12	1.92	0.05	0.11	0.56	16.4	22	60
Cd	pm10	0.08	0.07	0.05	2.35	0.01	0.06	0.40	16.4	8	60
Cr	pm10	0.51	0.66	0.30	2.71	0.09	0.31	4.02	16.4	23	60
Ni	pm10	0.52	0.38	0.40	2.24	0.10	0.63	2.43	16.4	41	60
Pb	pm10	3.24	4.75	1.64	3.36	0.09	1.81	29.30	16.4	3	60
Zn	pm10	17.41	20.20	9.47	3.30	0.75	8.80	93.30	16.4	4	60
mercury_TGM	air	0.39	0.13	0.37	1.37	0.10	0.40	1.90	63.7	0	5583

ES0009R Campisabalos  
January 2021 - December 2021

Component	matrix	Arit mean	Arit sd	Geom mean	Geom sd	Min	50%	Max	% anal	Num bel	Num sampl
As	pm10	0.13	0.10	0.10	1.79	0.05	0.10	0.63	16.4	29	60
Cd	pm10	0.05	0.24	0.02	2.26	0.01	0.02	1.84	16.4	38	60
Cr	pm10	0.62	1.04	0.28	3.31	0.09	0.15	5.72	16.4	32	60
Cu	pm10	2.15	1.60	1.66	2.15	0.15	1.67	7.58	16.4	1	60
Ni	pm10	0.64	0.69	0.43	2.49	0.10	0.63	3.76	16.2	40	59
Pb	pm10	1.12	1.28	0.72	2.63	0.08	0.77	8.46	16.4	4	60
Zn	pm10	8.67	11.97	4.75	3.05	0.75	6.11	57.02	16.4	9	60

ES0014R Els Torms  
January 2021 - December 2021

Component	matrix	Arit mean	Arit sd	Geom mean	Geom sd	Min	50%	Max	% anal	Num bel	Num sampl
As	pm10	0.19	0.13	0.15	2.00	0.07	0.17	0.57	16.0	25	59
Cd	pm10	0.04	0.06	0.02	2.34	0.01	0.02	0.45	16.0	23	59
Cr	pm10	0.44	0.49	0.29	2.32	0.13	0.31	3.12	16.0	26	59
Cu	pm10	5.76	3.39	4.99	1.72	1.72	4.73	18.04	16.0	0	59
Ni	pm10	0.55	0.39	0.42	2.11	0.13	0.51	2.32	16.0	37	59
Pb	pm10	1.01	0.83	0.73	2.31	0.13	0.76	3.59	16.0	5	59
Zn	pm10	12.00	6.22	10.50	1.66	2.75	10.35	36.62	16.0	0	59

ES1778R Montseny  
January 2021 - December 2021

Component	matrix	Arit mean	Arit sd	Geom mean	Geom sd	Min	50%	Max	% anal	Num bel	Num sampl
Al	pm1	17.06	13.81	12.84	2.15	5.00	14.72	74.14	19.7	24	72
Al	pm10	254.34	376.93	138.19	2.99	5.00	149.96	2338.81	29.0	1	106
Al	pm25	64.91	87.19	37.39	2.89	5.00	41.69	567.33	26.6	10	97
As	pm1	0.10	0.05	0.08	1.77	0.01	0.09	0.34	19.7	3	72
As	pm10	0.14	0.09	0.12	1.85	0.01	0.12	0.48	29.0	2	106
As	pm25	0.11	0.06	0.09	1.86	0.01	0.10	0.42	26.6	5	97
Ba	pm1	0.83	1.45	0.20	8.02	0.01	0.55	11.08	19.7	25	72
Ba	pm10	3.14	3.34	1.44	5.70	0.01	2.34	18.30	29.0	10	106
Ba	pm25	1.10	1.97	0.27	8.22	0.01	0.59	17.03	26.6	30	97
Bi	pm1	0.05	0.09	0.03	2.48	0.01	0.01	0.67	19.7	37	72
Bi	pm10	0.08	0.21	0.04	2.68	0.01	0.04	1.79	29.0	38	106
Bi	pm25	0.09	0.23	0.04	2.78	0.01	0.04	1.87	26.6	39	97
Cd	pm1	0.03	0.02	0.02	1.74	0.01	0.01	0.08	19.7	42	72
Cd	pm10	0.03	0.02	0.03	1.80	0.01	0.03	0.17	29.0	46	106
Cd	pm25	0.03	0.03	0.03	1.82	0.01	0.03	0.20	26.6	39	97
Ce	pm1	0.09	0.07	0.06	2.54	0.01	0.08	0.35	19.7	15	72
Ce	pm10	0.35	0.49	0.21	2.58	0.01	0.22	2.96	29.0	1	106
Ce	pm25	0.14	0.17	0.09	2.54	0.01	0.09	1.14	26.6	10	97
Co	pm1	0.03	0.05	0.02	1.73	0.01	0.01	0.39	19.7	57	72
Co	pm10	0.08	0.11	0.05	2.49	0.01	0.06	0.84	29.0	25	106
Co	pm25	0.04	0.03	0.03	2.07	0.01	0.01	0.14	26.6	49	97
Cr	pm1	0.75	0.92	0.22	7.08	0.01	0.49	3.53	19.7	22	72
Cr	pm10	1.10	1.67	0.33	6.77	0.01	0.56	9.09	29.0	24	106
Cr	pm25	0.70	1.09	0.17	7.27	0.01	0.22	4.54	26.6	34	97
Cu	pm1	1.00	0.87	0.64	3.36	0.01	0.81	4.93	19.7	4	72
Cu	pm10	2.22	1.49	1.52	3.39	0.01	1.85	7.21	29.0	4	106
Cu	pm25	1.41	1.16	0.92	3.33	0.01	1.11	6.57	26.6	5	97
Fe	pm1	14.46	18.42	9.69	2.24	5.00	5.00	130.15	19.7	38	72
Fe	pm10	156.64	198.03	93.73	2.80	5.00	103.11	1175.44	29.0	1	106
Fe	pm25	44.66	59.34	28.33	2.49	5.00	28.53	415.39	26.6	9	97
La	pm1	0.06	0.05	0.04	2.39	0.01	0.04	0.19	19.7	26	72
La	pm10	0.20	0.26	0.13	2.52	0.01	0.12	1.53	29.0	4	106
La	pm25	0.09	0.09	0.06	2.51	0.01	0.06	0.59	26.6	21	97
Li	pm1	0.01	0.02	0.01	2.46	0.01	0.01	0.06	19.7	55	72
Li	pm10	0.15	0.17	0.08	3.55	0.01	0.10	1.00	29.0	12	106

Li	pm25	0.04	0.05	0.02	3.67	0.01	0.03	0.25	26.6	44	97
Mn	pm1	0.62	0.40	0.53	1.77	0.10	0.50	2.95	19.7	0	72
Mn	pm10	3.60	3.58	2.68	2.08	0.42	2.52	21.39	29.0	0	106
Mn	pm25	1.34	0.93	1.14	1.69	0.45	1.06	6.19	26.6	0	97
Ni	pm1	0.68	0.70	0.20	7.45	0.01	0.53	2.68	19.7	24	72
Ni	pm10	0.75	0.89	0.23	6.85	0.01	0.41	5.58	29.0	28	106
Ni	pm25	0.75	0.74	0.27	6.31	0.01	0.57	2.78	26.6	22	97
Pb	pm1	1.14	0.66	0.99	1.74	0.22	1.07	3.75	19.7	0	72
Pb	pm10	1.47	1.04	1.23	1.79	0.26	1.23	7.97	29.0	0	106
Pb	pm25	1.38	0.79	1.20	1.71	0.22	1.32	4.41	26.6	0	97
Rb	pm1	0.08	0.05	0.07	1.54	0.03	0.07	0.31	19.7	0	72
Rb	pm10	0.42	0.43	0.31	2.19	0.07	0.33	2.62	29.0	0	106
Rb	pm25	0.15	0.12	0.13	1.76	0.04	0.11	0.71	26.6	0	97
Sb	pm1	0.19	0.15	0.14	2.42	0.01	0.15	0.66	19.7	4	72
Sb	pm10	0.24	0.13	0.20	2.02	0.01	0.22	0.78	29.0	3	106
Sb	pm25	0.21	0.11	0.18	1.78	0.01	0.18	0.63	26.6	1	97
Se	pm1	0.03	0.03	0.03	2.03	0.01	0.01	0.14	19.7	45	72
Se	pm10	0.05	0.05	0.03	2.44	0.01	0.01	0.29	29.0	60	106
Se	pm25	0.04	0.04	0.03	2.17	0.01	0.01	0.20	26.6	61	97
Sn	pm1	0.20	0.10	0.17	1.82	0.01	0.18	0.62	19.7	1	72
Sn	pm10	0.31	0.16	0.26	2.02	0.01	0.28	0.81	29.0	2	106
Sn	pm25	0.24	0.13	0.20	1.84	0.01	0.21	0.75	26.6	1	97
Sr	pm1	0.20	0.31	0.13	2.66	0.01	0.16	2.66	19.7	7	72
Sr	pm10	1.39	1.51	0.92	2.57	0.03	0.97	8.74	29.0	0	106
Sr	pm25	0.44	0.55	0.29	2.50	0.01	0.29	4.17	26.6	1	97
Th	pm1	0.03	0.02	0.02	1.89	0.01	0.01	0.10	19.7	46	72
Th	pm10	0.06	0.06	0.04	2.37	0.01	0.04	0.37	29.0	40	106
Th	pm25	0.03	0.03	0.03	2.01	0.01	0.01	0.13	26.6	56	97
Ti	pm1	0.98	1.48	0.48	4.09	0.01	0.58	10.18	19.7	3	72
Ti	pm10	14.22	20.63	7.91	2.92	0.67	8.89	124.89	29.0	0	106
Ti	pm25	3.55	5.00	2.18	2.54	0.21	2.05	35.20	26.6	0	97
Tl	pm1	0.02	0.00	0.02	1.12	0.01	0.01	0.04	19.7	71	72
Tl	pm10	0.02	0.01	0.02	1.28	0.01	0.01	0.10	29.0	102	106
Tl	pm25	0.02	0.01	0.02	1.27	0.01	0.01	0.11	26.6	95	97
U	pm1	0.09	0.07	0.06	2.55	0.01	0.07	0.26	19.7	15	72
U	pm10	0.07	0.06	0.04	2.72	0.01	0.04	0.26	29.0	46	106
U	pm25	0.09	0.07	0.06	2.69	0.01	0.06	0.25	26.6	28	97
V	pm1	0.39	0.35	0.25	3.08	0.01	0.32	2.41	19.7	6	72
V	pm10	0.80	0.65	0.62	2.04	0.14	0.68	3.60	29.0	0	106
V	pm25	0.50	0.37	0.38	2.15	0.05	0.42	2.64	26.6	0	97
Zn	pm1	8.87	5.72	7.01	2.10	1.41	8.05	31.51	19.7	0	72
Zn	pm10	8.17	5.99	6.66	1.89	1.36	6.66	41.04	29.0	0	106
Zn	pm25	8.71	5.84	7.13	1.94	1.27	8.04	38.64	26.6	0	97

**FI0018R Virolahti III**  
**January 2021 - December 2021**

Component	matrix	Arit mean	Arit sd	Geom mean	Geom sd	Min	50%	Max	% anal	Num bel	Num sampl
Al	pm10	162.24	266.29	67.06	3.58	3.80	54.23	1345.58	94.0	0	50
As	pm10	0.25	0.22	0.19	2.01	0.05	0.17	1.04	94.0	0	50
Cd	pm10	0.06	0.05	0.04	2.34	0.01	0.04	0.23	94.0	0	50
Co	pm10	0.04	0.05	0.03	2.15	0.01	0.02	0.31	94.0	0	50
Cr	pm10	0.33	0.29	0.20	3.15	0.01	0.26	1.50	94.0	3	50
Cu	pm10	0.69	0.44	0.46	4.08	0.00	0.54	1.60	94.0	3	50
Fe	pm10	131.88	202.48	65.06	3.00	6.16	51.46	1100.26	94.0	0	50
Mn	pm10	2.72	3.38	1.73	2.40	0.28	1.62	20.64	94.0	0	50
Ni	pm10	0.37	0.25	0.30	1.98	0.08	0.32	1.38	94.0	0	50
Pb	pm10	1.91	1.69	1.35	2.29	0.29	1.28	7.52	94.0	0	50
V	pm10	0.91	0.63	0.71	2.11	0.11	0.87	3.40	94.0	0	50
Zn	pm10	7.20	4.74	5.93	1.88	2.02	6.22	20.94	94.0	0	50
mercury_TGM	air	1.20	0.17	1.18	1.16	0.45	1.19	2.55	76.6	0	6714

**FI0036R Pallas (Matorova)**  
**January 2021 - December 2021**

Component	matrix	Arit mean	Arit sd	Geom mean	Geom sd	Min	50%	Max	% anal	Num bel	Num sampl
Al	pm10	20.61	27.91	8.79	5.11	0.03	10.40	143.32	99.5	2	52
As	pm10	0.09	0.12	0.05	2.89	0.00	0.06	0.63	99.5	1	52
Cd	pm10	0.02	0.02	0.01	3.05	0.00	0.01	0.10	99.5	3	52
Co	pm10	0.01	0.01	0.01	2.44	0.00	0.01	0.05	99.5	2	52
Cr	pm10	0.18	0.26	0.08	4.51	0.01	0.10	1.33	99.5	13	52
Cu	pm10	0.31	0.49	0.14	4.03	0.00	0.15	2.40	99.5	2	52
Fe	pm10	20.57	23.10	13.21	2.47	1.80	10.90	97.02	99.5	0	52
Mn	pm10	0.53	0.53	0.35	2.49	0.05	0.32	2.67	99.5	0	52
Ni	pm10	0.17	0.19	0.10	3.32	0.00	0.10	0.97	99.5	1	52
Pb	pm10	0.48	0.71	0.23	3.66	0.00	0.20	3.64	99.5	0	52
V	pm10	0.35	0.45	0.17	3.98	0.00	0.21	2.63	99.5	0	52
Zn	pm10	1.65	2.13	1.00	2.89	0.03	1.04	11.10	99.5	0	52
mercury_PBM	aerosol	1.10	0.95	0.85	2.39	0.05	1.01	5.43	99.2	0	48
mercury_TGM	air	1.25	0.10	1.24	1.09	0.68	1.25	2.23	97.1	0	8506

**FI0050R Hyytiälä**  
**January 2021 - December 2021**

Component	matrix	Arit mean	Arit sd	Geom mean	Geom sd	Min	50%	Max	% anal	Num bel	Num sampl
Al	pm10	54.53	57.93	31.24	2.88	4.33	24.73	238.16	98.9	0	53
As	pm10	0.22	0.15	0.18	1.80	0.07	0.17	0.73	98.9	0	53
Cd	pm10	0.04	0.04	0.03	2.05	0.01	0.03	0.16	98.9	0	53
Co	pm10	0.03	0.02	0.02	2.00	0.00	0.02	0.08	98.9	0	53
Cr	pm10	0.24	0.16	0.19	2.13	0.01	0.19	0.77	98.9	1	53
Cu	pm10	0.52	0.32	0.43	1.88	0.09	0.46	1.35	98.9	0	53
Fe	pm10	47.68	44.97	31.61	2.41	5.75	23.24	177.86	98.9	0	53
Mn	pm10	1.68	1.37	1.27	2.07	0.29	1.08	7.56	98.9	0	53
Ni	pm10	0.20	0.12	0.17	1.84	0.05	0.18	0.51	98.9	0	53
Pb	pm10	1.06	0.97	0.75	2.27	0.20	0.63	4.76	98.9	0	53
V	pm10	0.39	0.26	0.31	2.05	0.06	0.35	1.15	98.9	0	53
Zn	pm10	5.36	3.69	4.36	1.92	1.53	3.92	14.23	98.9	0	53
mercury_TGM	air	1.13	0.14	1.13	1.13	0.67	1.12	1.86	93.0	0	8151

**FR0008R Donon**  
**January 2021 - December 2021**

Component	matrix	Arit mean	Arit sd	Geom mean	Geom sd	Min	50%	Max	% anal	Num bel	Num sampl
As	pm10	0.13	0.07	0.11	1.70	0.03	0.12	0.30	99.0	0	26
Cd	pm10	0.03	0.01	0.03	1.55	0.01	0.03	0.07	99.0	0	26
Ni	pm10	0.28	0.19	0.23	2.01	0.05	0.27	0.96	99.0	2	26
Pb	pm10	1.35	0.63	1.21	1.63	0.45	1.20	2.61	99.0	0	26

**FR0009R Revin**  
**January 2021 - December 2021**

Component	matrix	Arit mean	Arit sd	Geom mean	Geom sd	Min	50%	Max	% anal	Num bel	Num sampl
As	pm10	0.22	0.09	0.20	1.57	0.08	0.20	0.41	91.1	0	24
Cd	pm10	0.10	0.07	0.09	1.76	0.03	0.09	0.34	91.1	0	24
Ni	pm10	0.52	0.27	0.44	1.72	0.19	0.47	1.14	87.3	0	23
Pb	pm10	3.85	3.16	3.32	1.89	0.88	3.02	14.73	91.1	0	24

**FR0013R Peyrusse Vieille**  
**January 2021 - December 2021**

Component	matrix	Arit mean	Arit sd	Geom mean	Geom sd	Min	50%	Max	% anal	Num bel	Num sampl
As	pm10	0.20	0.10	0.19	1.63	0.06	0.17	0.50	89.4	0	24
Cd	pm10	0.04	0.02	0.04	1.62	0.02	0.04	0.10	89.4	0	24
Ni	pm10	0.26	0.18	0.21	1.99	0.05	0.24	0.90	89.4	2	24
Pb	pm10	1.40	0.52	1.31	1.47	0.61	1.41	2.77	89.4	0	24

FR0023R Saint-Nazaire-le-Désert  
January 2021 - December 2021

Component	matrix	Arit mean	Arit sd	Geom mean	Geom sd	Min	50%	Max	% anal	Num bel	Num sampl
As	pm10	0.13	0.06	0.11	1.63	0.03	0.12	0.31	91.3	0	24
Cd	pm10	0.03	0.02	0.03	1.70	0.01	0.03	0.08	91.3	0	24
Ni	pm10	0.33	0.36	0.22	2.44	0.04	0.23	1.66	91.3	3	24
Pb	pm10	1.23	0.60	1.09	1.68	0.38	1.13	2.69	91.3	0	24

FR0025R Verneuil  
January 2021 - December 2021

Component	matrix	Arit mean	Arit sd	Geom mean	Geom sd	Min	50%	Max	% anal	Num bel	Num sampl
As	pm10	0.17	0.07	0.15	1.57	0.07	0.17	0.33	98.5	0	26
Cd	pm10	0.05	0.03	0.05	1.83	0.01	0.05	0.17	98.5	0	26
Ni	pm10	0.27	0.17	0.22	2.03	0.04	0.25	0.66	98.5	2	26
Pb	pm10	1.46	0.76	1.25	1.85	0.33	1.46	2.69	98.5	0	26

FR0028R Kergoff  
January 2021 - December 2021

Component	matrix	Arit mean	Arit sd	Geom mean	Geom sd	Min	50%	Max	% anal	Num bel	Num sampl
As	pm10	0.14	0.09	0.12	1.90	0.03	0.12	0.36	95.0	0	25
Cd	pm10	0.04	0.02	0.03	1.84	0.01	0.04	0.08	95.0	0	25
Ni	pm10	1.12	1.15	0.82	2.07	0.36	0.66	5.31	79.7	0	21
Pb	pm10	1.10	0.66	0.91	1.95	0.19	0.83	2.49	95.0	0	25

GB0013R Yarner Wood  
January 2021 - December 2021

Component	matrix	Arit mean	Arit sd	Geom mean	Geom sd	Min	50%	Max	% anal	Num bel	Num sampl
As	pm10	0.40	0.13	0.37	1.42	0.20	0.38	0.67	98.1	0	14
Cd	pm10	0.06	0.02	0.05	1.41	0.03	0.05	0.09	98.1	0	14
Cr	pm10	0.40	0.25	0.34	1.68	0.25	0.25	1.00	98.1	10	14
Cu	pm10	1.10	0.54	0.91	1.74	0.35	0.94	2.00	98.1	0	14
Ni	pm10	0.43	0.21	0.35	1.85	0.09	0.37	0.84	98.1	0	14
Pb	pm10	1.66	0.69	1.48	1.51	0.80	1.30	3.01	98.1	0	14
Zn	pm10	5.34	2.45	4.56	1.64	1.88	3.98	9.66	98.1	0	14

GB0017R Heigham Holmes  
January 2021 - December 2021

Component	matrix	Arit mean	Arit sd	Geom mean	Geom sd	Min	50%	Max	% anal	Num bel	Num sampl
As	pm10	0.54	0.21	0.51	1.45	0.31	0.51	1.02	100.0	0	14
Cd	pm10	0.08	0.04	0.08	1.53	0.04	0.08	0.17	100.0	0	14
Cr	pm10	0.36	0.26	0.30	1.62	0.25	0.25	1.00	100.0	12	14
Cu	pm10	1.51	0.52	1.41	1.40	0.81	1.46	2.88	100.0	0	14
Ni	pm10	0.55	0.20	0.50	1.48	0.28	0.53	0.88	100.0	0	14
Pb	pm10	2.87	1.12	2.75	1.45	1.48	2.61	4.98	100.0	0	14
Zn	pm10	8.06	2.07	7.70	1.29	5.14	7.42	12.00	100.0	0	14

GB0048R Auchencorth Moss  
January 2021 - December 2021

Component	matrix	Arit mean	Arit sd	Geom mean	Geom sd	Min	50%	Max	% anal	Num bel	Num sampl
As	pm10	0.19	0.08	0.18	1.46	0.08	0.18	0.39	100.0	0	14
Cd	pm10	0.02	0.01	0.02	1.55	0.01	0.02	0.05	100.0	0	14
Co	pm10	0.02	0.02	0.01	3.20	0.00	0.01	0.06	100.0	1	14
Cr	pm10	0.45	0.34	0.36	1.85	0.25	0.25	1.20	100.0	10	14
Cu	pm10	0.79	0.38	0.69	1.67	0.29	0.64	1.34	100.0	0	14
Fe	pm10	49.04	40.52	32.33	2.44	11.70	29.00	139.70	100.0	0	14
Mn	pm10	1.27	0.84	0.99	1.98	0.35	0.86	3.15	100.0	0	14
Ni	pm10	0.14	0.08	0.12	1.99	0.03	0.14	0.34	100.0	2	14
Pb	pm10	0.80	0.35	0.74	1.46	0.40	0.69	1.76	100.0	0	14
Se	pm10	0.23	0.08	0.21	1.41	0.12	0.21	0.37	100.0	0	14
V	pm10	0.23	0.14	0.18	1.93	0.06	0.18	0.47	100.0	0	14
Zn	pm10	3.21	1.66	2.63	1.85	0.82	2.81	6.44	100.0	2	14
mercury_GOM	air	0.60	0.52	0.43	2.19	0.23	0.23	2.62	1.4	35	62
mercury_PBM	pm25	1.49	1.50	1.13	2.09	0.23	1.19	12.73	3.0	13	132
mercury_TGM	air	1.32	0.09	1.31	1.07	1.08	1.31	1.69	29.6	0	1297

GB1055R Chilbolton Observatory  
January 2021 - December 2021

Component	matrix	Arit mean	Arit sd	Geom mean	Geom sd	Min	50%	Max	% anal	Num bel	Num sampl
As	pm10	0.61	0.23	0.58	1.45	0.34	0.57	1.04	99.9	0	14
Cd	pm10	0.09	0.03	0.09	1.38	0.06	0.08	0.19	99.9	0	14
Co	pm10	0.04	0.02	0.03	1.74	0.01	0.03	0.08	99.9	0	14
Cr	pm10	0.46	0.30	0.38	1.81	0.25	0.25	1.00	99.9	9	14
Cu	pm10	2.08	0.62	1.94	1.35	1.18	2.08	3.50	99.9	0	14
Fe	pm10	98.11	47.58	83.41	1.66	29.80	80.10	207.60	99.9	0	14
Mn	pm10	2.37	1.19	2.03	1.65	1.02	2.07	4.73	99.9	0	14
Ni	pm10	0.42	0.14	0.38	1.44	0.20	0.40	0.65	99.9	0	14
Pb	pm10	3.03	1.00	2.82	1.41	1.65	2.79	4.61	99.9	0	14
Se	pm10	0.41	0.10	0.40	1.24	0.29	0.39	0.68	99.9	0	14
V	pm10	0.86	0.32	0.77	1.57	0.26	0.84	1.42	99.9	0	14
Zn	pm10	8.38	2.70	7.98	1.38	5.00	8.26	12.93	99.9	0	14

HU0002R K-pusztá  
January 2021 - December 2021

Component	matrix	Arit mean	Arit sd	Geom mean	Geom sd	Min	50%	Max	% anal	Num bel	Num sampl
Cd	aerosol	0.04	0.03	0.03	2.25	0.01	0.04	0.10	95.7	8	50
Pb	aerosol	1.91	0.97	1.68	1.69	0.45	1.72	5.27	95.7	0	50

IS0002R Irafoss  
January 2021 - December 2021

Component	matrix	Arit mean	Arit sd	Geom mean	Geom sd	Min	50%	Max	% anal	Num bel	Num sampl
Fe	aerosol	161.91	280.01	50.37	4.64	0.00	40.00	1680.00	97.0	97	355

IS0091R Storhofdi  
January 2021 - December 2021

Component	matrix	Arit mean	Arit sd	Geom mean	Geom sd	Min	50%	Max	% anal	Num bel	Num sampl
Al	aerosol	145.41	154.47	102.97	2.57	22.90	98.50	611.00	76.3	0	20
As	aerosol	0.04	0.03	0.03	1.99	0.01	0.03	0.12	76.3	0	20
Cd	aerosol	0.04	0.08	0.01	4.32	0.00	0.01	0.35	76.3	0	20
Co	aerosol	0.11	0.11	0.08	2.38	0.03	0.07	0.47	76.3	0	20
Cr	aerosol	0.33	0.24	0.25	2.07	0.08	0.24	0.84	76.3	0	20
Cu	aerosol	0.57	0.39	0.48	1.98	0.13	0.54	1.58	76.3	0	20
Fe	aerosol	201.27	245.20	129.11	2.96	24.60	129.70	992.50	76.3	0	20
Mn	aerosol	3.61	3.75	2.72	2.33	0.88	2.12	15.65	76.3	0	20
Ni	aerosol	1.27	1.62	0.77	2.89	0.16	0.56	5.86	76.3	0	20
Pb	aerosol	0.11	0.09	0.08	2.32	0.01	0.08	0.33	76.3	3	20
V	aerosol	0.71	0.83	0.49	2.66	0.11	0.45	3.47	76.3	0	20
Zn	aerosol	1.81	1.31	1.57	1.83	0.48	1.50	6.29	76.3	0	20
mercury_PBM	aerosol	2.49	2.67	1.80	2.07	0.60	1.70	12.58	76.3	0	20

IT0019R Monte Martano  
January 2021 - December 2021

Component	matrix	Arit mean	Arit sd	Geom mean	Geom sd	Min	50%	Max	% anal	Num bel	Num sampl
Al	pm10	376.85	786.75	85.02	5.98	5.00	95.10	3524.30	30.1	6	55
As	pm10	0.14	0.12	0.10	2.33	0.02	0.11	0.76	30.1	0	55
Ba	pm10	2.96	6.26	0.97	4.07	0.25	0.82	38.51	30.1	22	55
Cd	pm10	0.03	0.02	0.03	1.71	0.01	0.03	0.08	30.1	5	55
Co	pm10	0.09	0.14	0.05	2.80	0.02	0.04	0.79	30.1	26	55
Cr	pm10	1.23	0.99	0.87	2.44	0.25	1.20	5.67	30.1	15	55
Cu	pm10	3.94	3.24	2.49	2.89	0.50	2.70	11.09	30.1	11	55
Fe	pm10	219.70	411.92	76.09	4.28	5.00	64.70	2243.00	30.1	3	55
La	pm10	0.28	0.65	0.09	4.06	0.02	0.09	4.24	30.1	17	55
Mn	pm10	4.95	7.16	2.39	3.47	0.25	2.31	38.94	30.1	5	55
Mo	pm10	0.36	0.20	0.32	1.56	0.25	0.25	0.97	30.1	40	55
Ni	pm10	0.76	0.84	0.52	2.27	0.25	0.52	4.94	30.1	27	55
Pb	pm10	1.40	1.00	1.07	2.22	0.25	1.14	4.91	30.1	8	55
Sb	pm10	0.15	0.09	0.11	2.21	0.02	0.15	0.35	30.1	5	55
Sn	pm10	1.06	0.62	0.84	2.09	0.25	1.06	2.31	30.1	11	55
Sr	pm10	2.40	3.88	1.19	2.90	0.50	0.50	20.03	30.1	28	55
Ti	pm10	8.46	15.58	2.19	5.94	0.25	2.79	75.52	30.1	17	55
V	pm10	1.02	1.74	0.53	2.75	0.25	0.25	10.60	30.1	32	55
Zn	pm10	7.10	5.54	6.12	1.59	5.00	5.00	32.90	30.1	45	55

LV0010R Rucava  
January 2021 - December 2021

Component	matrix	Arit mean	Arit sd	Geom mean	Geom sd	Min	50%	Max	% anal	Num bel	Num sampl
As	pm10	0.36	0.44	0.22	3.09	0.02	0.23	2.05	48.2	6	26
Cd	pm10	0.08	0.07	0.05	2.82	0.00	0.05	0.26	48.2	2	26
Ni	pm10	0.50	0.78	0.27	2.87	0.07	0.32	4.09	48.2	14	26
Pb	pm10	2.23	1.89	1.49	3.04	0.07	1.68	6.92	48.2	2	26

NL0008R Bilthoven  
January 2021 - December 2021

Component	matrix	Arit mean	Arit sd	Geom mean	Geom sd	Min	50%	Max	% anal	Num bel	Num sampl
As	pm10	0.43	0.39	0.30	2.60	0.01	0.35	2.26	47.4	119	173
Cd	pm10	0.10	0.12	0.07	2.41	0.01	0.07	1.12	49.3	168	180
Ni	pm10	0.66	0.43	0.52	2.10	0.04	0.58	2.91	49.0	129	179
Pb	pm10	3.97	3.54	2.84	2.35	0.28	2.93	25.16	47.7	57	174
Zn	pm10	24.82	19.68	20.05	1.92	1.45	19.59	151.51	48.8	98	178

NL0644R Cabauw Wielsekade  
January 2021 - December 2021

Component	matrix	Arit mean	Arit sd	Geom mean	Geom sd	Min	50%	Max	% anal	Num bel	Num sampl
As	pm25	0.39	0.38	0.28	2.36	0.03	0.29	2.46	23.6	66	86
Cd	pm25	0.10	0.09	0.07	2.51	0.00	0.07	0.58	21.9	75	80
Ni	pm25	0.56	0.45	0.43	2.12	0.07	0.45	2.62	23.8	70	87
Pb	pm25	4.41	3.73	3.07	2.50	0.26	3.36	21.37	23.3	26	85
Zn	pm25	24.00	15.66	18.77	2.21	1.37	20.41	81.60	21.6	45	79

NO0002R Birkenes II  
January 2021 - December 2021

Component	matrix	Arit mean	Arit sd	Geom mean	Geom sd	Min	50%	Max	% anal	Num bel	Num sampl
Al	pm10	19.29	14.60	13.77	2.46	1.50	15.23	62.80	92.1	9	49
As	pm10	0.11	0.06	0.09	1.76	0.03	0.09	0.32	92.1	2	49
Cd	pm10	0.02	0.01	0.02	1.69	0.00	0.01	0.07	92.1	1	49
Co	pm10	0.02	0.01	0.01	2.45	0.00	0.01	0.06	92.1	27	49
Cr	pm10	0.22	0.13	0.19	1.59	0.12	0.15	0.60	92.1	36	49
Cu	pm10	0.30	0.26	0.25	1.94	0.06	0.26	1.61	92.1	4	49
Fe	pm10	18.84	14.80	13.67	2.33	1.05	13.40	62.80	92.1	6	49
Mn	pm10	0.71	0.41	0.60	1.82	0.17	0.63	1.80	92.1	4	49
Ni	pm10	0.17	0.11	0.13	2.31	0.03	0.14	0.42	92.1	16	49
Pb	pm10	0.46	0.30	0.38	1.81	0.10	0.38	1.48	92.1	2	49
Ti	pm10	1.27	1.27	0.81	2.62	0.12	0.71	5.55	92.1	5	49
V	pm10	0.29	0.23	0.21	2.41	0.02	0.22	0.91	92.1	6	49
Zn	pm10	3.42	4.39	2.30	2.19	0.62	2.12	23.30	92.1	2	49
mercury_GEM	air			1.51	0.16	1.50	1.12	0.84	1.52	2.07	93.9
0 8225											

NO0042G Zeppelin mountain (Ny-Ålesund)  
January 2021 - December 2021

Component	matrix	Arit mean	Arit sd	Geom mean	Geom sd	Min	50%	Max	% anal	Num bel	Num sampl
Al	aerosol	69.79	139.67	25.90	4.75	0.10	30.70	725.00	29.3	3	52
As	aerosol	0.04	0.06	0.02	3.06	0.00	0.02	0.41	29.3	4	52
Cd	aerosol	0.02	0.03	0.01	3.91	0.00	0.01	0.18	28.8	1	51
Co	aerosol	0.01	0.02	0.01	3.05	0.00	0.01	0.13	29.3	10	52
Cr	aerosol	0.16	0.33	0.07	3.22	0.00	0.06	2.27	29.3	33	52
Cu	aerosol	0.12	0.20	0.07	3.24	0.00	0.06	1.37	29.3	13	52
Fe	aerosol	24.36	53.57	9.54	4.36	0.04	12.15	297.00	29.3	7	52
Mn	aerosol	0.59	1.18	0.23	4.70	0.00	0.26	6.91	29.3	5	52
Ni	aerosol	0.10	0.18	0.04	3.47	0.00	0.04	1.08	29.3	25	52
Pb	aerosol	0.19	0.28	0.10	3.17	0.00	0.09	1.56	29.3	9	52
Ti	aerosol	1.84	3.40	0.90	3.51	0.01	1.03	22.60	29.3	18	52
V	aerosol	0.08	0.14	0.04	3.33	0.00	0.04	0.80	29.3	5	52
Zn	aerosol	1.56	2.76	0.71	4.08	0.00	0.73	16.30	29.3	10	52
mercury_GEM	air	1.48	0.18	1.47	1.16	0.14	1.50	2.23	88.9	0	7785
mercury_GOM	air	1.26	2.56	1.30	2.52	0.00	0.42	52.24	28.4	1089	1459
mercury_PBM	pm25	2.18	8.36	1.92	2.20	-0.29	1.20	311.24	28.5	708	1463

NO0090R Andøya  
January 2021 - December 2021

Component	matrix	Arit mean	Arit sd	Geom mean	Geom sd	Min	50%	Max	% anal	Num bel	Num sampl
Al	aerosol	35.61	47.79	17.82	3.54	1.02	22.40	261.00	28.5	2	52
As	aerosol	0.04	0.05	0.02	2.66	0.01	0.02	0.26	28.5	0	52
Cd	aerosol	0.01	0.01	0.00	2.99	0.00	0.00	0.09	28.5	5	52
Co	aerosol	0.01	0.01	0.01	3.49	0.00	0.01	0.07	28.5	11	52
Cr	aerosol	0.10	0.31	0.04	2.70	0.02	0.02	2.27	28.5	38	52
Cu	aerosol	0.25	0.29	0.14	3.49	0.01	0.20	1.59	27.4	5	50
Fe	aerosol	24.41	32.34	12.86	3.32	0.81	14.40	170.00	28.5	0	52
Mn	aerosol	0.51	0.68	0.26	3.49	0.02	0.27	3.23	28.5	3	52
Ni	aerosol	0.10	0.25	0.05	2.49	0.03	0.03	1.75	28.5	37	52
Pb	aerosol	0.21	0.32	0.09	3.69	0.01	0.09	1.41	28.5	0	52
Ti	aerosol	1.52	1.88	0.79	3.51	0.06	0.94	8.82	28.5	4	52
V	aerosol	0.12	0.16	0.07	3.18	0.01	0.06	0.72	28.5	0	52
Zn	aerosol	0.91	1.07	0.54	2.76	0.18	0.55	5.92	28.5	23	52
mercury_GEM	air	1.40	0.09	1.40	1.07	0.94	1.39	1.74	95.5	0	8366

PL0005R Diabla Gora  
January 2021 - December 2021

Component	matrix	Arit mean	Arit sd	Geom mean	Geom sd	Min	50%	Max	% anal	Num bel	Num sampl
As	pm10	0.23	0.18	0.19	1.85	0.00	0.20	0.80	99.7	0	53
Cd	pm10	0.04	0.04	0.03	2.29	0.00	0.03	0.17	99.7	0	53
Cr	pm10	0.29	0.22	0.21	2.50	0.01	0.25	1.31	99.7	0	53
Cu	pm10	0.82	0.44	0.74	1.63	0.31	0.67	2.02	99.7	0	53
Ni	pm10	0.32	0.26	0.23	2.20	0.03	0.24	1.10	99.7	0	53
Pb	pm10	2.00	1.41	1.69	1.72	0.70	1.50	7.70	99.7	0	53
Zn	pm10	9.14	6.07	7.50	1.95	0.80	7.30	33.90	99.7	0	53
mercury_TGM	air	1.33	0.22	1.31	1.20	0.20	1.33	4.10	95.2	0	8342

PL0009R Zielonka  
January 2021 - December 2021

Component	matrix	Arit mean	Arit sd	Geom mean	Geom sd	Min	50%	Max	% anal	Num bel	Num sampl
As	pm10	0.37	0.47	0.22	2.78	0.05	0.10	1.80	90.1	26	48
Cd	pm10	0.12	0.09	0.09	2.27	0.03	0.10	0.42	90.1	12	48
Ni	pm10	0.57	0.50	0.39	2.31	0.20	0.20	2.06	90.1	28	48
Pb	pm10	3.02	3.64	1.30	4.92	0.10	1.90	15.90	90.1	10	48

SE0005R Bredkälén  
January 2021 - December 2021

Component	matrix	Arit mean	Arit sd	Geom mean	Geom sd	Min	50%	Max	% anal	Num bel	Num sampl
As	aerosol	0.04	0.02	0.03	1.96	0.01	0.04	0.07	84.7	0	11
Cd	aerosol	0.01	0.00	0.01	1.75	0.00	0.01	0.01	84.7	0	11
Co	aerosol	0.00	0.01	0.01	1.41	0.00	0.00	0.02	84.7	0	11
Cr	aerosol	0.17	0.08	0.16	1.71	0.05	0.16	0.31	84.7	0	11
Cu	aerosol	0.18	0.07	0.17	1.61	0.06	0.16	0.30	84.7	0	11
Hg	air+aerosol	1.21	0.17	1.20	1.16	0.73	1.20	1.50	11.5	0	42
Mn	aerosol	0.44	0.31	0.37	2.37	0.04	0.48	1.20	84.7	0	11
Ni	aerosol	0.10	0.06	0.09	2.29	0.01	0.10	0.20	84.7	0	11
Pb	aerosol	0.18	0.10	0.14	2.15	0.03	0.15	0.33	84.7	0	11
V	aerosol	0.09	0.05	0.07	2.32	0.01	0.09	0.16	84.7	0	11
Zn	aerosol	1.06	0.40	0.99	1.53	0.39	1.00	1.70	84.7	0	11

SE0014R Rác  
January 2021 - December 2021

Component	matrix	Arit mean	Arit sd	Geom mean	Geom sd	Min	50%	Max	% anal	Num bel	Num sampl
As	aerosol	0.19	0.04	0.18	1.27	0.12	0.19	0.28	88.5	0	11
Cd	aerosol	0.02	0.01	0.02	1.46	0.01	0.02	0.04	88.5	0	11
Co	aerosol	0.02	0.01	0.02	1.60	0.01	0.02	0.03	88.5	0	11
Cr	aerosol	0.45	0.16	0.42	1.39	0.25	0.43	0.86	88.5	0	11
Cu	aerosol	0.57	0.18	0.54	1.40	0.29	0.53	0.84	88.5	0	11
Mn	aerosol	1.19	0.35	1.13	1.38	0.64	1.30	1.70	88.5	0	11
Ni	aerosol	0.30	0.14	0.27	1.67	0.10	0.25	0.45	88.5	0	11
Pb	aerosol	0.59	0.21	0.56	1.50	0.23	0.66	0.93	88.5	0	11
V	aerosol	0.98	0.42	0.90	1.62	0.36	0.94	1.50	88.5	0	11
Zn	aerosol	3.54	1.29	3.32	1.51	1.30	3.50	5.80	88.5	0	11
mercury_GEM	air	1.15	0.18	1.14	1.16	0.73	1.13	2.13	95.6	0	2022
mercury_GOM	air	0.33	0.65	0.44	2.54	0.00	0.00	8.30	93.6	0	1979
mercury_PBM	aerosol	1.06	1.40	0.84	3.44	0.00	0.63	9.43	71.5	0	1520



SE0020R Hallahus  
January 2021 - December 2021

Component	matrix	Arit mean	Arit sd	Geom mean	Geom sd	Min	50%	Max	% anal	Num bel	Num sampl
As	aerosol	0.16	0.09	0.14	1.54	0.10	0.13	0.42	100.0	0	12
Cd	aerosol	0.03	0.01	0.02	1.52	0.01	0.02	0.06	100.0	0	12
Co	aerosol	0.02	0.02	0.02	1.94	0.01	0.01	0.06	100.0	0	12
Cr	aerosol	0.39	0.21	0.36	1.49	0.26	0.30	1.00	100.0	0	12
Cu	aerosol	0.89	0.48	0.81	1.58	0.43	0.80	2.20	100.0	0	12
Hg	air+aerosol	1.18	0.20	1.16	1.20	0.72	1.20	1.60	11.8	0	43
Mn	aerosol	1.67	1.20	1.40	1.83	0.69	1.20	4.40	100.0	0	12
Ni	aerosol	0.23	0.15	0.20	1.89	0.08	0.21	0.53	100.0	0	12
Pb	aerosol	0.83	0.44	0.76	1.57	0.49	0.69	2.00	100.0	0	12
V	aerosol	0.65	0.39	0.57	1.76	0.19	0.53	1.60	100.0	0	12
Zn	aerosol	4.77	2.88	4.31	1.58	2.60	3.65	13.00	100.0	0	12

SE0022R Norunda Stenen  
January 2021 - December 2021

Component	matrix	Arit mean	Arit sd	Geom mean	Geom sd	Min	50%	Max	% anal	Num bel	Num sampl
As	aerosol	0.14	0.05	0.13	1.38	0.07	0.13	0.29	100.0	0	12
Cd	aerosol	0.02	0.01	0.02	1.55	0.01	0.02	0.05	100.0	0	12
Co	aerosol	0.02	0.01	0.02	1.55	0.01	0.02	0.03	100.0	0	12
Cr	aerosol	0.40	0.09	0.39	1.26	0.28	0.41	0.60	100.0	0	12
Cu	aerosol	0.53	0.25	0.48	1.50	0.27	0.48	1.20	100.0	0	12
Mn	aerosol	1.14	0.40	1.06	1.44	0.65	1.04	1.80	100.0	0	12
Ni	aerosol	0.31	0.31	0.23	2.07	0.09	0.21	1.20	100.0	0	12
V	aerosol	0.30	0.14	0.27	1.61	0.12	0.29	0.59	100.0	0	12
Zn	aerosol	3.48	1.41	3.19	1.51	1.50	3.40	6.70	100.0	0	12

SI0008R Iskrba  
January 2021 - December 2021

Component	matrix	Arit mean	Arit sd	Geom mean	Geom sd	Min	50%	Max	% anal	Num bel	Num sampl
As	pm10	0.12	0.13	0.09	1.88	0.07	0.07	0.80	22.2	70	81
Cd	pm10	0.05	0.04	0.03	2.49	0.01	0.05	0.16	22.2	40	81
Cr	pm10	0.91	0.80	0.69	2.01	0.45	0.45	3.92	22.2	59	81
Cu	pm10	1.01	0.95	0.73	2.10	0.45	0.45	5.64	22.2	57	81
Ni	pm10	0.37	0.40	0.33	1.37	0.32	0.32	3.83	22.2	79	81
Pb	pm10	1.19	0.87	0.90	2.30	0.07	0.91	3.85	22.2	3	81
Zn	pm10	5.47	5.41	4.20	1.86	3.17	3.17	32.10	21.9	66	80
mercury_TGM	air	1.54	0.54	1.47	1.31	0.90	1.40	4.70	32.3	0	118

SK0002R Chopok  
January 2021 - December 2021

Component	matrix	Arit mean	Arit sd	Geom mean	Geom sd	Min	50%	Max	% anal	Num bel	Num sampl
As	aerosol	0.10	0.07	0.09	1.50	0.02	0.08	0.48	99.7	50	53
Cd	aerosol	0.03	0.03	0.01	3.67	0.00	0.00	0.13	99.7	31	53
Cr	aerosol	0.51	0.89	0.08	9.79	0.01	0.10	5.25	99.7	22	53
Cu	aerosol	0.34	0.36	0.17	3.76	0.03	0.25	1.72	99.7	15	53
Ni	aerosol	0.34	0.74	0.06	5.88	0.02	0.02	4.10	99.7	33	53
Pb	aerosol	0.77	0.77	0.29	5.21	0.01	0.50	2.88	99.7	20	53
Zn	aerosol	4.94	10.54	1.71	5.06	0.12	2.17	75.83	99.7	11	53

SK0004R Stará Lesná  
January 2021 - December 2021

Component	matrix	Arit mean	Arit sd	Geom mean	Geom sd	Min	50%	Max	% anal	Num bel	Num sampl
As	pm10	0.17	0.14	0.12	1.95	0.08	0.08	0.64	72.9	56	77
Cd	pm10	0.07	0.05	0.05	2.63	0.00	0.07	0.20	72.9	5	77
Cr	pm10	0.36	0.51	0.11	7.20	0.01	0.18	2.49	72.9	21	77
Cu	pm10	1.22	2.95	0.75	2.53	0.03	0.86	26.29	72.9	1	77
Ni	pm10	0.20	0.38	0.06	4.62	0.02	0.05	1.83	72.9	37	77
Pb	pm10	2.63	1.90	2.07	2.01	0.36	2.16	12.04	72.9	0	77
Zn	pm10	11.09	7.24	9.58	1.76	2.32	9.48	51.32	72.9	0	77

SK0006R Starina  
January 2021 - December 2021

Component	matrix	Arit mean	Arit sd	Geom mean	Geom sd	Min	50%	Max	% anal	Num bel	Num sampl
As	pm10	0.21	0.30	0.15	2.37	0.06	0.08	1.95	99.2	32	55
Cd	pm10	0.06	0.05	0.04	3.84	0.00	0.06	0.19	99.2	12	55
Cr	pm10	0.37	0.61	0.08	7.98	0.01	0.14	3.58	99.2	21	55
Cu	pm10	0.59	0.51	0.48	2.48	0.03	0.56	3.10	99.2	2	55
Ni	pm10	0.30	0.44	0.11	4.92	0.02	0.19	2.52	99.2	20	55
Pb	pm10	1.99	1.05	1.57	2.57	0.05	1.93	4.41	99.2	2	55
Zn	pm10	9.54	5.84	7.27	2.67	0.08	9.76	35.40	99.2	0	55

SK0007R Topolniky  
January 2021 - December 2021

Component	matrix	Arit mean	Arit sd	Geom mean	Geom sd	Min	50%	Max	% anal	Num bel	Num sampl
As	pm10	0.33	0.30	0.28	1.95	0.11	0.20	1.79	67.1	0	71
Cd	pm10	0.09	0.09	0.05	3.79	0.00	0.07	0.45	67.1	10	71
Cr	pm10	0.96	2.72	0.22	6.95	0.01	0.28	21.26	67.1	11	71
Cu	pm10	1.56	0.94	1.38	1.83	0.35	1.50	4.47	67.1	0	71
Ni	pm10	0.50	1.65	0.08	6.32	0.02	0.02	12.42	67.1	38	71
Pb	pm10	5.39	5.99	3.64	2.63	0.05	3.64	37.15	67.1	1	71
Zn	pm10	14.59	10.71	12.81	1.96	1.19	12.74	44.84	67.1	0	71

## **Appendix C**

### **Annual statistics for POPs in precipitation**

BE0013R Houtem  
January 2021 - December 2021

Component	matrix	W. mean	Min	Max	Dep	Num bel	Num sampl
anthracene	precip+dry_dep	10.24	0.42	41.92	-	3	12
benz_a_anthracene	precip+dry_dep	13.65	5.03	45.27	-	0	13
benzo_a_pyrene	precip+dry_dep	12.95	6.71	26.83	-	0	12
benzo_b_fluoranthene	precip+dry_dep	18.24	6.71	33.53	-	0	13
benzo_ghi_perylene	precip+dry_dep	12.42	5.03	25.15	-	0	13
benzo_k_fluoranthene	precip+dry_dep	9.06	3.35	16.77	-	0	13
chrysene	precip+dry_dep	26.73	8.38	67.07	-	0	13
dibenzo_ah_anthracene	precip+dry_dep	6.40	1.17	16.77	-	1	13
fluoranthene	precip+dry_dep	44.18	10.06	93.90	-	0	13
fluorene	precip+dry_dep	7.22	1.68	16.77	-	7	13
inden_123cd_pyrene	precip+dry_dep	9.61	3.35	20.12	-	0	13
naphthalene	precip+dry_dep	18.96	5.03	40.24	-	4	13
pyrene	precip+dry_dep	35.05	11.74	117.37	-	0	13

CZ0003R Kosetice (NAOK)  
January 2021 - December 2021

Component	matrix	W. mean	Min	Max	Dep	Num bel	Num sampl
HCB	precip	0.02	0.01	0.16	12.3	71	80
PCB_101	precip	0.03	0.01	0.11	16.6	74	80
PCB_118	precip	0.02	0.01	0.07	13.9	75	80
PCB_138	precip	0.03	0.01	0.09	17.0	80	80
PCB_153	precip	0.03	0.01	0.08	15.3	77	80
PCB_180	precip	0.03	0.01	0.10	18.5	80	80
PCB_28	precip	0.01	0.01	0.03	6.0	80	80
PCB_52	precip	0.01	0.01	0.08	7.2	79	80
acenaphthene	precip	0.48	0.25	1.67	286.1	62	80
acenaphthylene	precip	1.19	0.15	7.35	715.1	34	80
alpha_HCH	precip	0.06	0.01	0.12	34.4	12	80
anthracene	precip	0.97	0.34	5.85	583.3	41	80
benz_a_anthracene	precip	3.62	0.12	37.80	2173.5	15	80
benzo_a_pyrene	precip	3.23	0.79	36.40	1936.2	51	80
benzo_b_fluoranthene	precip	6.86	0.61	75.00	4111.9	30	80
benzo_ghi_perylene	precip	3.61	0.33	39.30	2164.0	27	80
benzo_k_fluoranthene	precip	2.85	0.67	27.20	1706.3	45	80
beta_HCH	precip	0.03	0.01	0.10	19.6	62	80
delta_HCH	precip	0.04	0.03	0.14	23.8	80	80
dibenzo_ah_anthracene	precip	0.68	0.41	4.08	409.8	77	80
fluoranthene	precip	21.55	0.20	199.00	12921.8	1	80
fluorene	precip	2.68	0.20	12.40	1607.8	29	80
gamma_HCH	precip	0.22	0.04	0.42	130.6	0	80
inden_123cd_pyrene	precip	3.91	0.37	45.70	2343.7	32	80
naphthalene	precip	6.21	0.27	46.00	3726.4	27	80
phenanthrene	precip	16.12	0.33	128.00	9667.3	6	80
pp_DDD	precip	0.05	0.03	1.35	29.2	63	80
pp_DDE	precip	0.05	0.01	1.92	29.2	42	80
pp_DDT	precip	0.02	0.02	0.11	10.8	79	80
pyrene	precip	14.71	0.42	130.00	8819.7	0	80

DE0001R Westerland  
January 2021 - December 2021

Component	matrix	W. mean	Min	Max	Dep	Num bel	Num sampl
HCB	precip_tot	0.13	0.10	0.15	91.8	5	9
PCB_101	precip_tot	0.03	0.01	0.06	23.3	7	9
PCB_118	precip_tot	0.01	0.01	0.01	7.6	0	9
PCB_138	precip_tot	0.03	0.00	0.06	23.5	4	9
PCB_153	precip_tot	0.02	0.01	0.04	17.3	6	9
PCB_180	precip_tot	0.02	0.01	0.04	17.3	0	9
PCB_28	precip_tot	0.04	0.01	0.05	25.2	9	9
PCB_52	precip_tot	0.02	0.01	0.06	15.3	7	9
aldrin	precip_tot	0.02	0.02	0.02	15.9	9	9
alpha_HCH	precip_tot	0.13	0.09	0.26	93.3	0	9
anthracene	precip_tot	2.23	2.09	2.46	1549.1	12	12
benz_a_anthracene	precip_tot	2.88	1.75	4.43	2003.1	0	12
benzo_a_pyrene	precip_tot	2.48	1.09	4.37	1718.8	0	12
benzo_bjk_fluoranthenes	precip_tot	11.09	3.36	28.42	7698.7	0	12
benzo_ghi_perylene	precip_tot	3.99	1.45	9.65	2771.0	0	12
chrysene_triphenylene	precip_tot	8.94	2.35	22.10	6206.3	0	12
dibenzo_ah_anthracene	precip_tot	0.76	0.33	1.83	528.1	0	12
dieldrin	precip_tot	0.10	0.02	0.21	66.7	7	9
endrin	precip_tot	0.02	0.02	0.02	15.5	9	9
fluoranthene	precip_tot	16.76	5.36	41.97	11638.5	0	12
gamma_HCH	precip_tot	0.73	0.02	1.31	507.7	2	9
heptachlor	precip_tot	0.01	0.01	0.01	7.5	9	9
inden_123cd_pyrene	precip_tot	4.52	2.04	12.72	3137.0	0	12
op_DDD	precip_tot	0.01	0.01	0.01	4.3	9	9
op_DDE	precip_tot	0.02	0.02	0.02	14.7	9	9
op_DDT	precip_tot	0.02	0.02	0.02	14.0	9	9
phenanthrene	precip_tot	23.75	5.93	104.61	16491.6	1	12
pp_DDD	precip_tot	0.01	0.01	0.03	9.3	8	9
pp_DDE	precip_tot	0.06	0.05	0.11	38.7	8	9
pp_DDT	precip_tot	0.06	0.01	0.15	40.8	6	9
pyrene	precip_tot	12.31	3.56	23.89	8549.8	0	12

DE0002R Waldhof  
January 2021 - December 2021

Component	matrix	W. mean	Min	Max	Dep	Num bel	Num sampl
HCB	precip_tot	0.23	0.08	0.68	131.5	6	9
PCB_101	precip_tot	0.07	0.02	0.15	38.4	3	9
PCB_118	precip_tot	0.02	0.01	0.04	8.9	0	9
PCB_138	precip_tot	0.05	0.01	0.10	27.3	2	9
PCB_153	precip_tot	0.04	0.01	0.12	25.1	7	9
PCB_180	precip_tot	0.03	0.01	0.06	19.2	0	9
PCB_28	precip_tot	0.07	0.01	0.15	40.0	6	9
PCB_52	precip_tot	0.07	0.01	0.20	42.4	4	9
aldrin	precip_tot	0.02	0.02	0.02	13.4	9	9
alpha_HCH	precip_tot	0.09	0.09	0.10	52.9	0	9
anthracene	precip_tot	2.78	2.09	8.16	1605.5	11	12
benz_a_anthracene	precip_tot	6.39	1.59	13.35	3694.4	0	12
benzo_a_pyrene	precip_tot	6.99	1.08	17.00	4040.9	0	12
benzo_bjk_fluoranthenes	precip_tot	31.73	5.28	74.99	18340.6	0	12
benzo_ghi_perylene	precip_tot	10.52	2.00	24.98	6080.5	0	12
chrysene_triphenylene	precip_tot	20.68	3.27	52.18	11955.6	0	12
dibenzo_ah_anthracene	precip_tot	2.00	0.26	4.99	1153.7	0	12
dieldrin	precip_tot	0.09	0.02	0.26	52.6	7	9
endrin	precip_tot	0.02	0.02	0.02	13.0	9	9
fluoranthene	precip_tot	34.56	6.50	90.86	19975.5	0	12
gamma_HCH	precip_tot	0.95	0.35	1.77	548.4	0	9
heptachlor	precip_tot	0.01	0.01	0.01	6.3	9	9
inden_123cd_pyrene	precip_tot	11.81	2.49	27.41	6825.6	0	12
op_DDD	precip_tot	0.01	0.01	0.01	3.7	9	9
op_DDE	precip_tot	0.02	0.02	0.02	12.3	9	9
op_DDT	precip_tot	0.04	0.02	0.12	24.0	7	9
phenanthrene	precip_tot	33.79	5.64	104.61	19529.7	1	12
pp_DDD	precip_tot	0.02	0.01	0.04	10.6	7	9
pp_DDE	precip_tot	0.11	0.05	0.19	60.9	5	9
pp_DDT	precip_tot	0.20	0.03	0.47	113.8	1	9
pyrene	precip_tot	25.52	4.32	59.13	14751.7	0	12

DE0003R Schauinsland  
January 2021 - December 2021

Component	matrix	W. mean	Min	Max	Dep	Num bel	Num sampl
HCB	precip_tot	0.25	0.08	0.57	457.1	3	9
PCB_101	precip_tot	0.05	0.02	0.10	82.3	3	9
PCB_118	precip_tot	0.01	0.01	0.02	19.3	0	9
PCB_138	precip_tot	0.04	0.02	0.06	80.8	1	9
PCB_153	precip_tot	0.04	0.01	0.06	64.5	5	9
PCB_180	precip_tot	0.03	0.01	0.04	48.8	0	9
PCB_28	precip_tot	0.04	0.03	0.07	79.5	7	9
PCB_52	precip_tot	0.03	0.01	0.06	47.8	6	9
aldrin	precip_tot	0.02	0.02	0.03	40.6	8	9
alpha_HCH	precip_tot	0.40	0.09	0.72	725.2	0	9
anthracene	precip_tot	2.17	1.91	3.28	3953.6	12	12
benz_a_anthracene	precip_tot	6.38	1.42	15.11	11607.4	0	12
benzo_a_pyrene	precip_tot	8.11	1.36	18.96	14755.8	0	12
benzo_bjk_fluoranthenes	precip_tot	39.84	5.86	107.64	72523.8	0	12
benzo_ghi_perylene	precip_tot	15.65	2.09	37.91	28493.6	0	12
chrysene_triphenylene	precip_tot	25.13	4.36	68.33	45738.7	0	12
dibenzo_ah_anthracene	precip_tot	2.28	0.35	5.81	4145.6	0	12
dieldrin	precip_tot	0.19	0.02	0.34	350.2	3	9
endrin	precip_tot	0.02	0.02	0.03	39.5	9	9
fluoranthene	precip_tot	38.85	9.89	95.08	70715.3	0	12
gamma_HCH	precip_tot	3.66	1.43	5.02	6664.9	0	9
heptachlor	precip_tot	0.01	0.01	0.02	19.1	9	9
inden_123cd_pyrene	precip_tot	16.20	2.88	38.95	29482.7	0	12
op_DDD	precip_tot	0.01	0.01	0.01	11.1	9	9
op_DDE	precip_tot	0.02	0.02	0.03	37.5	8	9
op_DDT	precip_tot	0.02	0.02	0.03	35.6	9	9
phenanthrene	precip_tot	36.81	12.06	86.15	67008.2	0	12
pp_DDD	precip_tot	0.01	0.01	0.01	15.9	9	9
pp_DDE	precip_tot	0.05	0.04	0.07	88.3	8	9
pp_DDT	precip_tot	0.04	0.02	0.08	76.1	8	9
pyrene	precip_tot	29.50	4.73	70.72	53694.8	0	12

DE0008R Schmücke  
January 2021 - December 2021

Component	matrix	W. mean	Min	Max	Dep	Num bel	Num sampl
HCB	precip_tot	0.18	0.12	0.28	211.1	1	8
PCB_101	precip_tot	0.06	0.01	0.17	73.4	2	9
PCB_118	precip_tot	0.01	0.01	0.01	12.9	0	9
PCB_138	precip_tot	0.04	0.00	0.05	44.5	2	9
PCB_153	precip_tot	0.04	0.01	0.06	41.2	5	9
PCB_180	precip_tot	0.03	0.01	0.04	32.6	0	9
PCB_28	precip_tot	0.06	0.01	0.10	75.8	5	9
PCB_52	precip_tot	0.06	0.01	0.22	67.7	5	9
aldrin	precip_tot	0.02	0.02	0.02	27.1	9	9
alpha_HCH	precip_tot	0.45	0.09	0.82	524.2	0	9
anthracene	precip_tot	3.40	2.15	9.05	3993.2	11	12
benz_a_anthracene	precip_tot	13.70	2.30	52.60	16110.5	0	12
benzo_a_pyrene	precip_tot	16.68	1.46	62.86	19613.1	0	12
benzo_bjk_fluoranthenes	precip_tot	83.74	5.73	383.62	98455.1	0	12
benzo_ghi_perylene	precip_tot	28.36	2.38	117.10	33338.5	0	12
chrysene_triphenylene	precip_tot	48.50	3.11	217.20	57023.0	0	12
dibenzo_ah_anthracene	precip_tot	5.10	0.35	22.29	5993.3	0	12
dieldrin	precip_tot	0.11	0.02	0.23	132.3	4	9
endrin	precip_tot	0.02	0.02	0.02	26.4	9	9
fluoranthene	precip_tot	75.04	6.50	310.76	88228.3	0	12
gamma_HCH	precip_tot	1.82	0.42	2.85	2140.2	0	9
heptachlor	precip_tot	0.01	0.01	0.01	12.8	9	9
inden_123cd_pyrene	precip_tot	30.90	3.42	124.51	36326.1	0	12
op_DDD	precip_tot	0.01	0.01	0.01	7.4	9	9
op_DDE	precip_tot	0.02	0.02	0.02	25.0	9	9
op_DDT	precip_tot	0.02	0.02	0.02	23.8	9	9
phenanthrene	precip_tot	74.94	14.38	232.20	88112.5	0	12
pp_DDD	precip_tot	0.01	0.01	0.03	14.2	7	9
pp_DDE	precip_tot	0.07	0.05	0.16	79.0	7	9
pp_DDT	precip_tot	0.15	0.01	0.36	172.4	4	9
pyrene	precip_tot	56.01	4.68	233.13	65857.6	0	12

DE0009R Zingst  
January 2021 - December 2021

Component	matrix	W. mean	Min	Max	Dep	Num bel	Num sampl
HCB	precip_tot	0.14	0.10	0.18	83.1	3	8
PCB_101	precip_tot	0.06	0.01	0.14	37.6	3	8
PCB_118	precip_tot	0.01	0.01	0.01	6.6	0	9
PCB_138	precip_tot	0.04	0.02	0.06	22.0	2	9
PCB_153	precip_tot	0.03	0.01	0.05	18.3	4	8
PCB_180	precip_tot	0.02	0.01	0.03	10.6	0	9
PCB_28	precip_tot	0.05	0.01	0.11	31.8	6	9
PCB_52	precip_tot	0.04	0.01	0.08	21.8	4	8
aldrin	precip_tot	0.02	0.02	0.02	13.9	9	9
alpha_HCH	precip_tot	0.09	0.09	0.10	54.8	0	9
anthracene	precip_tot	2.24	2.09	2.46	1350.4	12	12
benz_a_anthracene	precip_tot	5.12	0.94	10.99	3093.9	0	12
benzo_a_pyrene	precip_tot	6.05	1.81	16.28	3654.5	0	12
benzo_bjk_fluoranthenes	precip_tot	26.26	5.63	69.15	15859.9	0	12
benzo_ghi_perylene	precip_tot	8.86	1.94	22.15	5353.5	0	12
chrysene_triphenylene	precip_tot	15.69	3.70	43.66	9479.5	0	12
dibenzo_ah_anthracene	precip_tot	1.66	0.35	4.00	1000.2	0	12
dieldrin	precip_tot	0.04	0.02	0.10	24.1	8	9
endrin	precip_tot	0.02	0.02	0.02	13.5	9	9
fluoranthene	precip_tot	24.34	6.58	64.58	14701.3	0	12
gamma_HCH	precip_tot	0.61	0.28	0.94	371.1	0	9
heptachlor	precip_tot	0.01	0.01	0.01	6.5	9	9
inden_123cd_pyrene	precip_tot	10.50	2.44	24.21	6344.3	0	12
op_DDD	precip_tot	0.01	0.01	0.02	5.5	9	9
op_DDE	precip_tot	0.02	0.02	0.02	12.8	9	9
op_DDT	precip_tot	0.04	0.02	0.09	23.6	7	9
phenanthrene	precip_tot	21.59	4.67	43.00	13042.7	1	12
pp_DDD	precip_tot	0.04	0.01	0.09	23.7	1	9
pp_DDE	precip_tot	0.11	0.05	0.24	69.0	4	9
pp_DDT	precip_tot	0.33	0.18	0.64	198.2	0	9
pyrene	precip_tot	16.95	4.44	50.57	10236.6	0	12

ES0001R San Pablo de los Montes  
January 2021 - December 2021

Component	matrix	W. mean	Min	Max	Dep	Num bel	Num sampl
acenaphthene	precip+dry_dep	0.00	0.00	0.00	-	2	2
acenaphthylene	precip+dry_dep	0.31	0.00	0.62	-	4	4
anthracene	precip+dry_dep	0.19	0.00	0.37	-	4	4
benz_a_anthracene	precip+dry_dep	0.22	0.00	0.44	-	4	4
benzo_a_pyrene	precip+dry_dep	0.23	0.00	0.47	-	4	4
benzo_b_fluoranthene	precip+dry_dep	0.77	0.76	0.78	-	2	2
benzo_ghi_perylene	precip+dry_dep	0.28	0.00	0.56	-	4	4
benzo_k_fluoranthene	precip+dry_dep	0.00	0.00	0.00	-	2	2
chrysene	precip+dry_dep	0.23	0.00	0.46	-	4	4
dibenzo_ah_anthracene	precip+dry_dep	0.23	0.00	0.45	-	4	4
fluoranthene	precip+dry_dep	0.47	0.00	0.83	-	4	4
fluorene	precip+dry_dep	1.07	0.14	1.87	-	4	4
naphthalene	precip+dry_dep	0.69	0.67	0.71	-	2	2
perylene	precip+dry_dep	0.43	0.42	0.44	-	2	2
phenanthrene	precip+dry_dep	2.49	0.35	4.59	-	4	4

ES0007R Viznar  
January 2021 - December 2021

Component	matrix	W. mean	Min	Max	Dep	Num bel	Num sampl
acenaphthene	precip+dry_dep	0.00	0.00	0.00	-	2	2
acenaphthylene	precip+dry_dep	0.31	0.00	0.62	-	4	4
anthracene	precip+dry_dep	0.19	0.00	0.37	-	4	4
benz_a_anthracene	precip+dry_dep	0.25	0.00	0.44	-	4	4
benzo_a_pyrene	precip+dry_dep	0.44	0.00	1.24	-	3	4
benzo_b_fluoranthene	precip+dry_dep	0.77	0.76	0.78	-	2	2
benzo_ghi_perylene	precip+dry_dep	0.85	0.00	2.70	-	3	4
benzo_k_fluoranthene	precip+dry_dep	0.00	0.00	0.00	-	2	2
chrysene	precip+dry_dep	0.42	0.00	0.89	-	3	4
dibenzo_ah_anthracene	precip+dry_dep	0.23	0.00	0.45	-	4	4
fluoranthene	precip+dry_dep	0.90	0.36	1.95	-	3	4
fluorene	precip+dry_dep	1.02	0.00	1.87	-	4	4
inden_123cd_pyrene	precip+dry_dep	0.53	0.00	1.59	-	3	4
naphthalene	precip+dry_dep	0.73	0.55	0.92	-	2	2
perylene	precip+dry_dep	0.43	0.42	0.44	-	2	2
phenanthrene	precip+dry_dep	8.97	0.21	29.33	-	3	4
pyrene	precip+dry_dep	0.71	0.45	0.89	-	4	4

ES0008R Niembro  
January 2021 - December 2021

Component	matrix	W. mean	Min	Max	Dep	Num bel	Num sampl
acenaphthene	precip+dry_dep	0.00	0.00	0.00	-	2	2
acenaphthylene	precip+dry_dep	0.31	0.00	0.62	-	4	4
anthracene	precip+dry_dep	0.34	0.00	0.61	-	4	4
benz_a_anthracene	precip+dry_dep	0.60	0.00	1.57	-	3	4
benzo_b_fluoranthene	precip+dry_dep	1.58	0.78	2.36	-	1	2
benzo_ghi_ptylene	precip+dry_dep	0.90	0.00	2.27	-	2	4
benzo_k_fluoranthene	precip+dry_dep	0.16	0.00	0.34	-	2	2
chrysene	precip+dry_dep	0.83	0.00	2.13	-	3	4
dibenzo_ah_anthracene	precip+dry_dep	0.23	0.00	0.45	-	4	4
fluoranthene	precip+dry_dep	1.37	0.36	3.67	-	3	4
fluorene	precip+dry_dep	1.34	0.00	1.87	-	4	4
naphthalene	precip+dry_dep	0.83	0.56	1.12	-	2	2
ptylene	precip+dry_dep	0.43	0.42	0.44	-	2	2
pyrene	precip+dry_dep	1.12	0.36	2.64	-	3	4

ES0012R Zarra  
January 2021 - December 2021

Component	matrix	W. mean	Min	Max	Dep	Num bel	Num sampl
anthracene	precip+dry_dep	0.19	0.00	0.37	-	4	4
benz_a_anthracene	precip+dry_dep	0.22	0.00	0.44	-	4	4
benzo_a_ptyrene	precip+dry_dep	0.23	0.00	0.47	-	4	4
benzo_b_fluoranthene	precip+dry_dep	0.77	0.76	0.78	-	2	2
benzo_k_fluoranthene	precip+dry_dep	0.00	0.00	0.00	-	2	2
chrysene	precip+dry_dep	0.24	0.00	0.46	-	4	4
dibenzo_ah_anthracene	precip+dry_dep	0.23	0.00	0.45	-	4	4
fluoranthene	precip+dry_dep	0.47	0.03	0.83	-	4	4
fluorene	precip+dry_dep	1.00	0.10	1.87	-	4	4
inden_123cd_ptyrene	precip+dry_dep	0.22	0.00	0.44	-	4	4
naphthalene	precip+dry_dep	0.39	0.17	0.59	-	2	2
ptylene	precip+dry_dep	0.43	0.42	0.44	-	2	2
phenanthrene	precip+dry_dep	2.39	0.09	4.59	-	4	4
pyrene	precip+dry_dep	0.53	0.00	0.89	-	4	4

ES0014R Els Torms  
January 2021 - December 2021

Component	matrix	W. mean	Min	Max	Dep	Num bel	Num sampl
acenaphthene	precip+dry_dep	1.37	0.00	2.65	-	2	2
acenaphthylene	precip+dry_dep	0.34	0.00	0.62	-	4	4
anthracene	precip+dry_dep	0.43	0.00	0.95	-	4	4
benz_a_anthracene	precip+dry_dep	0.22	0.00	0.44	-	4	4
benzo_b_fluoranthene	precip+dry_dep	0.77	0.76	0.78	-	2	2
benzo_ghi_ptylene	precip+dry_dep	0.28	0.00	0.56	-	4	4
benzo_k_fluoranthene	precip+dry_dep	0.00	0.00	0.00	-	2	2
chrysene	precip+dry_dep	0.23	0.00	0.46	-	4	4
dibenzo_ah_anthracene	precip+dry_dep	0.23	0.00	0.45	-	4	4
fluoranthene	precip+dry_dep	0.56	0.00	0.83	-	4	4
fluorene	precip+dry_dep	1.50	0.00	2.37	-	4	4
inden_123cd_ptyrene	precip+dry_dep	0.22	0.00	0.44	-	4	4
naphthalene	precip+dry_dep	0.32	0.19	0.45	-	2	2
ptylene	precip+dry_dep	0.43	0.42	0.44	-	2	2
phenanthrene	precip+dry_dep	2.52	0.00	4.59	-	4	4
pyrene	precip+dry_dep	0.56	0.00	0.89	-	4	4



FI0018R Virolahti III  
January 2021 - December 2021

Component	matrix	W. mean	Min	Max	Dep	Num bel	Num sampl
acenaphthene	precip+dry_dep	1.39	0.35	7.37	-	8	13
acenaphthylene	precip+dry_dep	8.70	0.10	87.81	-	1	13
anthracene	precip+dry_dep	2.05	0.06	6.82	-	2	13
benz_a_anthracene	precip+dry_dep	9.10	0.57	37.20	-	0	13
benzo_a_pyrene	precip+dry_dep	9.41	1.23	32.81	-	0	13
benzo_bjk_fluoranthenes	precip+dry_dep	37.10	2.77	141.10	-	0	13
benzo_ghi_perylene	precip+dry_dep	11.93	1.29	50.35	-	0	13
chrysene_triphenylene	precip+dry_dep	25.06	2.66	91.47	-	0	13
dibenzo_ac_ah_anthracenes	precip+dry_dep	1.71	0.30	6.16	-	0	13
fluoranthene	precip+dry_dep	34.81	2.52	142.39	-	0	13
fluorene	precip+dry_dep	3.71	1.31	13.14	-	10	13
inden_123cd_pyrene	precip+dry_dep	11.72	0.72	47.90	-	0	13
naphthalene	precip+dry_dep	5.87	1.60	22.39	-	10	13
phenanthrene	precip+dry_dep	20.57	0.93	88.95	-	5	13
pyrene	precip+dry_dep	29.84	2.80	124.57	-	0	13

FI0036R Pallas (Matorova)  
January 2021 - December 2021

Component	matrix	W. mean	Min	Max	Dep	Num bel	Num sampl
BDE_100	precip+dry_dep	0.01	0.01	0.02	-	12	12
BDE_47	precip+dry_dep	0.02	0.01	0.04	-	4	12
BDE_99	precip+dry_dep	0.02	0.01	0.03	-	9	12
HCB	precip+dry_dep	0.04	0.02	0.06	-	0	12
PCB_101	precip+dry_dep	0.03	0.03	0.04	-	12	12
PCB_118	precip+dry_dep	0.02	0.02	0.03	-	12	12
PCB_138	precip+dry_dep	0.02	0.02	0.03	-	12	12
PCB_153	precip+dry_dep	0.02	0.02	0.03	-	12	12
PCB_180	precip+dry_dep	0.02	0.02	0.03	-	12	12
PCB_28	precip+dry_dep	0.04	0.03	0.05	-	4	9
PCB_52	precip+dry_dep	0.08	0.03	0.20	-	3	9
alpha_HCH	precip+dry_dep	0.02	0.01	0.04	-	5	12
anthracene	precip+dry_dep	0.24	0.03	0.70	-	0	10
benz_a_anthracene	precip+dry_dep	1.35	0.20	5.50	-	1	12
benzo_a_pyrene	precip+dry_dep	1.07	0.15	4.46	-	0	12
benzo_b_fluoranthene	precip+dry_dep	2.37	0.30	10.39	-	0	12
benzo_ghi_perylene	precip+dry_dep	1.28	0.23	6.08	-	1	12
benzo_k_fluoranthene	precip+dry_dep	0.92	0.13	3.97	-	0	12
chrysene	precip+dry_dep	2.17	0.31	8.79	-	0	12
dibenzo_ah_anthracene	precip+dry_dep	0.28	0.10	1.10	-	5	12
fluoranthene	precip+dry_dep	5.47	0.83	21.92	-	0	12
gamma_HCH	precip+dry_dep	0.02	0.01	0.05	-	6	12
inden_123cd_pyrene	precip+dry_dep	1.74	0.40	7.44	-	3	12
phenanthrene	precip+dry_dep	7.63	1.14	23.70	-	0	12
pp_DDD	precip+dry_dep	0.02	0.01	0.10	-	0	12
pp_DDE	precip+dry_dep	0.02	0.01	0.04	-	9	12
pp_DDT	precip+dry_dep	0.01	0.01	0.02	-	12	12
pyrene	precip+dry_dep	4.00	0.55	17.29	-	0	12

FI0050R Hyttiälä  
January 2021 - December 2021

Component	matrix	W. mean	Min	Max	Dep	Num bel	Num sampl
acenaphthene	precip+dry_dep	4.32	0.86	17.71	-	0	13
acenaphthylene	precip+dry_dep	2.50	0.34	15.62	-	2	13
anthracene	precip+dry_dep	2.38	0.65	5.31	-	2	13
benz_a_anthracene	precip+dry_dep	3.98	0.67	16.07	-	0	13
benzo_a_pyrene	precip+dry_dep	5.25	0.90	14.60	-	0	13
benzo_bjk_fluoranthenes	precip+dry_dep	17.72	2.96	61.63	-	0	13
benzo_ghi_perylene	precip+dry_dep	5.37	1.26	21.00	-	0	13
chrysene_triphenylene	precip+dry_dep	10.45	2.15	46.52	-	0	13
dibenzo_ac_ah_anthracenes	precip+dry_dep	1.13	0.27	3.02	-	0	13
fluoranthene	precip+dry_dep	24.35	6.68	93.85	-	0	13
fluorene	precip+dry_dep	9.83	2.74	22.64	-	1	13
inden_123cd_pyrene	precip+dry_dep	4.96	0.77	20.62	-	0	13
naphthalene	precip+dry_dep	10.06	3.74	39.63	-	10	13
phenanthrene	precip+dry_dep	57.97	18.39	120.80	-	0	13
pyrene	precip+dry_dep	17.81	5.22	67.26	-	0	13

FR0008R Donon  
January 2021 - December 2021

Component	matrix	W. mean	Min	Max	Dep	Num bel	Num sampl
benz_a_anthracene	precip	1.17	0.21	5.21	1866.8	0	13
benzo_a_pyrene	precip	2.04	0.45	12.51	3243.0	0	13
benzo_b_fluoranthene	precip	4.69	0.71	19.62	7461.2	0	13
benzo_j_fluoranthene	precip	1.91	0.13	6.51	3031.7	1	13
benzo_k_fluoranthene	precip	1.83	0.24	7.21	2906.0	0	13
dibenzo_ah_anthracene	precip	0.45	0.07	3.50	721.0	6	13
inden_123cd_pyrene	precip	3.82	0.63	17.22	6074.4	0	13

FR0009R Revin  
January 2021 - December 2021

Component	matrix	W. mean	Min	Max	Dep	Num bel	Num sampl
benz_a_anthracene	precip	2.23	0.47	8.04	2590.6	0	13
benzo_a_pyrene	precip	4.01	0.79	22.28	4663.4	0	13
benzo_b_fluoranthene	precip	8.30	1.36	29.49	9663.2	0	13
benzo_j_fluoranthene	precip	3.11	0.49	9.13	3621.3	0	13
benzo_k_fluoranthene	precip	3.04	0.38	10.32	3540.9	0	13
dibenzo_ah_anthracene	precip	0.88	0.14	3.93	1022.2	3	13
inden_123cd_pyrene	precip	6.58	1.62	22.55	7662.8	0	13

FR0013R Peyrusse Vieille  
January 2021 - December 2021

Component	matrix	W. mean	Min	Max	Dep	Num bel	Num sampl
benz_a_anthracene	precip	0.95	0.15	4.08	692.6	3	13
benzo_a_pyrene	precip	1.20	0.27	7.25	869.9	4	13
benzo_b_fluoranthene	precip	3.15	0.88	11.34	2286.7	0	13
benzo_j_fluoranthene	precip	1.38	0.27	3.80	1000.9	4	13
benzo_k_fluoranthene	precip	1.07	0.27	3.23	778.2	6	13
dibenzo_ah_anthracene	precip	0.32	0.15	2.27	230.9	12	13
inden_123cd_pyrene	precip	2.11	0.94	7.65	1535.8	0	13

FR0023R Saint-Nazaire-le-Désert  
January 2021 - December 2021

Component	matrix	W. mean	Min	Max	Dep	Num bel	Num sampl
benz_a_anthracene	precip	1.00	0.33	3.62	1027.2	1	13
benzo_a_pyrene	precip	1.24	0.56	4.92	1264.4	2	13
benzo_b_fluoranthene	precip	2.45	1.19	8.26	2505.5	1	13
benzo_j_fluoranthene	precip	0.98	0.36	3.43	998.5	2	13
benzo_k_fluoranthene	precip	0.98	0.45	3.67	1006.6	2	13
dibenzo_ah_anthracene	precip	0.24	0.09	1.79	245.0	11	13
inden_123cd_pyrene	precip	2.09	0.65	7.12	2136.3	1	13

FR0025R Verneuil  
January 2021 - December 2021

Component	matrix	W. mean	Min	Max	Dep	Num bel	Num sampl
benz_a_anthracene	precip	1.32	0.31	8.21	996.1	1	12
benzo_a_pyrene	precip	2.04	0.49	13.96	1540.1	0	12
benzo_b_fluoranthene	precip	4.52	1.00	20.12	3404.3	0	12
benzo_j_fluoranthene	precip	1.49	0.39	5.73	1124.3	1	12
benzo_k_fluoranthene	precip	1.48	0.32	5.96	1118.6	1	12
dibenzo_ah_anthracene	precip	0.44	0.12	3.29	330.3	8	12
inden_123cd_pyrene	precip	3.07	0.63	17.46	2314.0	0	12

FR0028R Kergoff  
January 2021 - December 2021

Component	matrix	W. mean	Min	Max	Dep	Num bel	Num sampl
benz_a_anthracene	precip	0.80	0.24	5.54	792.6	0	13
benzo_a_pyrene	precip	1.30	0.43	7.15	1286.4	0	13
benzo_b_fluoranthene	precip	2.64	0.61	11.62	2619.3	0	13
benzo_j_fluoranthene	precip	0.99	0.27	6.08	983.8	1	13
benzo_k_fluoranthene	precip	1.01	0.13	5.90	997.4	2	13
dibenzo_ah_anthracene	precip	0.27	0.11	1.44	267.4	10	13
inden_123cd_pyrene	precip	1.83	0.19	8.58	1819.3	1	13

GB0048R Auchencorth Moss  
January 2021 - December 2021

Component	matrix	W. mean	Min	Max	Dep	Num bel	Num sampl
anthanthrene	wetdep	4.61	4.60	4.65	-	12	12
anthracene	wetdep	12.39	4.50	92.00	-	11	12
benz_a_anthracene	wetdep	8.06	4.50	44.00	-	11	12
benzo_a_pyrene	wetdep	7.30	4.50	22.00	-	10	12
benzo_b_fluoranthene	wetdep	17.01	4.60	59.02	-	7	12
benzo_e_pyrene	wetdep	19.66	4.50	109.00	-	8	12
benzo_ghi_perylene	wetdep	13.13	4.50	44.00	-	9	12
benzo_j_fluoranthene	wetdep	8.11	4.60	25.77	-	10	12
benzo_k_fluoranthene	wetdep	8.02	4.50	28.00	-	10	12
chrysene	wetdep	20.87	4.50	151.00	-	9	12
coronene	wetdep	13.58	4.50	70.00	-	9	12
cyclopenta_cd_pyrene	wetdep	4.50	4.50	4.50	-	12	12
dibenzo_ac_anthracene	wetdep	6.53	4.60	25.77	-	11	12
dibenzo_ae_pyrene	wetdep	6.35	4.60	23.90	-	11	12
dibenzo_ah_anthracene	wetdep	8.44	4.60	33.13	-	10	12
dibenzo_ah_pyrene	wetdep	4.61	4.60	4.65	-	12	12
dibenzo_ai_pyrene	wetdep	4.61	4.60	4.65	-	12	12
fluoranthene	wetdep	40.30	4.50	136.00	-	2	12
inden_123cd_pyrene	wetdep	11.41	4.50	42.00	-	9	12
perylene	wetdep	8.24	4.50	46.00	-	11	12
phenanthrene	wetdep	529.05	63.00	4426.00	-	0	12
pyrene	wetdep	39.26	4.50	203.00	-	3	12
retene	wetdep	22.00	4.50	183.00	-	10	12

GB1055R Chilbolton Observatory  
January 2021 - December 2021

Component	matrix	W. mean	Min	Max	Dep	Num bel	Num sampl
anthanthrene	wetdep	4.61	4.60	4.65	-	10	10
anthracene	wetdep	4.50	4.50	4.50	-	10	10
benz_a_anthracene	wetdep	4.50	4.50	4.50	-	10	10
benzo_a_pyrene	wetdep	16.54	4.50	31.00	-	5	10
benzo_b_fluoranthene	wetdep	18.10	4.59	35.12	-	5	10
benzo_e_pyrene	wetdep	17.53	4.50	39.00	-	5	10
benzo_ghi_perylene	wetdep	16.65	4.50	35.00	-	5	10
benzo_j_fluoranthene	wetdep	4.61	4.59	4.63	-	10	10
benzo_k_fluoranthene	wetdep	7.68	4.50	20.00	-	8	10
chrysene	wetdep	13.30	4.50	26.00	-	6	10
coronene	wetdep	7.41	4.50	31.00	-	9	10
cyclopenta_cd_pyrene	wetdep	4.50	4.50	4.50	-	10	10
dibenzo_ac_anthracene	wetdep	4.61	4.59	4.63	-	10	10
dibenzo_ae_pyrene	wetdep	4.61	4.60	4.65	-	10	10
dibenzo_ah_anthracene	wetdep	4.61	4.59	4.63	-	10	10
dibenzo_ah_pyrene	wetdep	4.61	4.60	4.65	-	10	10
dibenzo_ai_pyrene	wetdep	4.61	4.60	4.65	-	10	10
fluoranthene	wetdep	48.28	19.00	81.00	-	0	10
inden_123cd_pyrene	wetdep	15.77	4.50	33.00	-	5	10
perylene	wetdep	4.50	4.50	4.50	-	10	10
phenanthrene	wetdep	168.54	44.00	313.00	-	0	10
pyrene	wetdep	35.81	4.50	59.00	-	1	10
retene	wetdep	4.50	4.50	4.50	-	10	10

IS0091R Storhofdi  
January 2021 - December 2021

Component	matrix	W. mean	Min	Max	Dep	Num bel	Num sampl
BDE_100	precip	0.00	0.00	0.04	2.9	20	24
BDE_47	precip	0.01	0.00	0.02	3.3	18	24
BDE_99	precip	0.00	0.00	0.02	3.0	21	24
HCB	precip	0.01	0.00	0.07	7.9	5	24
PCB_101	precip	0.01	0.00	0.09	7.3	21	24
PCB_105	precip	0.00	0.00	0.02	2.4	24	24
PCB_118	precip	0.00	0.00	0.05	2.8	22	24
PCB_138	precip	0.00	0.00	0.04	2.7	22	24
PCB_153	precip	0.00	0.00	0.05	2.9	21	24
PCB_156	precip	0.00	0.00	0.02	2.4	24	24
PCB_180	precip	0.00	0.00	0.02	2.6	23	24
PCB_28	precip	0.01	0.00	0.10	7.9	19	24
PCB_31	precip	0.01	0.00	0.10	7.5	19	24
PCB_52	precip	0.01	0.00	0.08	3.6	18	24
alpha_HCH	precip	0.03	0.00	0.10	19.2	1	24
beta_HCH	precip	0.00	0.00	0.02	2.4	24	24
cis_CD	precip	0.00	0.00	0.02	2.4	24	24
dieldrin	precip	0.01	0.00	0.05	7.9	7	24
gamma_HCH	precip	0.01	0.00	0.07	9.0	2	24
op_DDT	precip	0.00	0.00	0.02	2.4	24	24
pp_DDD	precip	0.00	0.00	0.02	2.4	24	24
pp_DDE	precip	0.00	0.00	0.02	2.4	24	24
pp_DDT	precip	0.01	0.00	0.06	4.6	24	24
trans_CD	precip	0.00	0.00	0.02	2.4	24	24
trans_NO	precip	0.00	0.00	0.02	2.4	24	24

LV0010R Rucava  
January 2021 - December 2021

Component	matrix	W. mean	Min	Max	Dep	Num bel	Num sampl
benz_a_anthracene	precip	0.01	0.00	0.11	5.9	21	25
benzo_a_pyrene	precip	0.00	0.00	0.09	4.8	20	25
benzo_b_fluoranthene	precip	0.01	0.00	0.13	7.8	17	25
benzo_k_fluoranthene	precip	0.00	0.00	0.07	4.2	23	25
dibenzo_ah_anthracene	precip	0.00	0.00	0.01	1.9	23	25
inden_123cd_pyrene	precip	0.01	0.00	0.12	7.1	22	25

NL0091R De Zilk  
January 2021 - December 2021

Component	matrix	W. mean	Min	Max	Dep	Num bel	Num sampl
acenaphthene	precip	1.37	0.75	13.58	978.9	2	13
acenaphthylene	precip	0.87	0.36	1.78	620.9	8	13
anthracene	precip	0.81	0.47	3.32	576.2	9	13
benz_a_anthracene	precip	1.56	0.72	5.46	1109.6	2	13
benzo_a_pyrene	precip	2.19	1.00	9.26	1557.1	0	13
benzo_bjk_fluoranthenes	precip	7.18	2.81	25.01	5113.9	0	13
benzo_ghi_ptylene	precip	3.87	1.62	13.57	2757.4	0	13
chrysene	precip	6.69	2.76	24.97	4764.9	0	13
dibenzo_ah_anthracene	precip	0.89	0.45	5.62	630.6	9	13
fluoranthene	precip	9.89	4.22	30.31	7048.0	0	13
fluorene	precip	2.21	1.31	8.75	1574.6	0	13
gamma_HCH	precip	0.33	0.11	1.00	233.1	5	13
inden_123cd_pyrene	precip	2.80	1.00	8.06	1994.6	1	13
naphthalene	precip	5.23	2.74	41.65	3728.8	0	13
phenanthrene	precip	8.93	4.61	29.72	6359.2	0	13
pyrene	precip	6.51	2.83	20.90	4639.8	0	13

NO0001R Birkenes  
January 2021 - December 2021

Component	matrix	W. mean	Min	Max	Dep	Num bel	Num sampl
HCB	precip	0.07	0.01	0.41	98.4	14	31
PCB_101	precip	0.01	0.00	0.04	7.0	27	31
PCB_118	precip	0.00	0.00	0.02	3.9	25	31
PCB_138	precip	0.00	0.00	0.03	5.2	25	31
PCB_153	precip	0.01	0.00	0.04	7.0	26	31
PCB_180	precip	0.01	0.00	0.12	10.6	19	29
PCB_28	precip	0.01	0.00	0.11	19.1	29	31
PCB_52	precip	0.01	0.00	0.05	8.8	23	31
PCB_99	precip	0.00	0.00	0.01	1.8	17	31
alpha_HCH	precip	0.08	0.03	0.52	108.3	19	31
gamma_HCH	precip	0.15	0.02	0.32	214.8	8	31

PL0005R Diabla Gora  
January 2021 - December 2021

Component	matrix	W. mean	Min	Max	Dep	Num bel	Num sampl
benz_a_anthracene	precip	12.58	3.20	47.00	7524.0	0	12
benzo_a_pyrene	precip	16.18	5.00	59.00	9675.4	0	12
benzo_b_fluoranthene	precip	21.81	6.30	81.20	13041.8	0	12
benzo_k_fluoranthene	precip	8.70	2.60	32.20	5202.4	0	12
dibenzo_ah_anthracene	precip	2.09	0.50	8.70	1252.5	0	12
inden_123cd_pyrene	precip	20.10	2.60	78.60	12022.3	0	12

SE0014R Råö  
January 2021 - December 2021

Component	matrix	W. mean	Min	Max	Dep	Num bel	Num sampl
BDE_100	precip+dry_dep	0.08	0.02	0.31	-	2	13
BDE_209	precip+dry_dep	0.24	0.06	2.93	-	1	12
BDE_47	precip+dry_dep	0.03	0.02	0.11	-	0	13
BDE_99	precip+dry_dep	0.03	0.02	0.05	-	6	13
HCB	precip+dry_dep	0.05	0.04	0.08	-	0	13
PCB_101	precip+dry_dep	0.06	0.05	0.10	-	0	13
PCB_118	precip+dry_dep	0.04	0.02	0.09	-	3	13
PCB_138	precip+dry_dep	0.12	0.05	0.40	-	0	13
PCB_153	precip+dry_dep	0.10	0.04	0.27	-	0	13
PCB_180	precip+dry_dep	0.09	0.03	0.35	-	0	13
PCB_28	precip+dry_dep	0.04	0.03	0.08	-	6	13
PCB_52	precip+dry_dep	0.06	0.03	0.09	-	5	13
alpha_HCH	precip+dry_dep	0.04	0.02	0.08	-	4	13
anthracene	precip+dry_dep	0.63	0.18	4.64	-	0	13
benz_a_anthracene	precip+dry_dep	3.96	1.18	21.71	-	0	13
benzo_a_pyrene	precip+dry_dep	3.63	1.07	30.63	-	0	13
benzo_b_fluoranthene	precip+dry_dep	4.36	0.83	71.86	-	0	13
benzo_ghi_perylene	precip+dry_dep	3.83	0.69	35.85	-	0	13
benzo_k_fluoranthene	precip+dry_dep	3.20	0.80	28.69	-	0	13
chrysene	precip+dry_dep	8.56	1.98	67.76	-	0	13
dibenzo_ah_anthracene	precip+dry_dep	0.99	0.22	10.41	-	0	13
fluoranthene	precip+dry_dep	18.40	4.67	100.00	-	0	13
gamma_HCH	precip+dry_dep	0.11	0.02	0.22	-	1	13
inden_123cd_pyrene	precip+dry_dep	5.58	1.17	54.16	-	0	13
phenanthrene	precip+dry_dep	12.72	5.96	61.61	-	0	13
pp_DDD	precip+dry_dep	0.02	0.02	0.02	-	11	13
pp_DDE	precip+dry_dep	0.04	0.02	0.17	-	2	13
pp_DDT	precip+dry_dep	0.05	0.02	0.21	-	3	13
pyrene	precip+dry_dep	12.12	3.35	75.47	-	0	13

SE0020R Hallahus  
January 2021 - December 2021

Component	matrix	W. mean	Min	Max	Dep	Num bel	Num sampl
anthracene	precip+dry_dep	0.95	0.20	2.20	-	0	11
benz_a_anthracene	precip+dry_dep	4.96	2.38	18.45	-	0	11
benzo_a_pyrene	precip+dry_dep	5.74	1.65	21.51	-	0	11
benzo_b_fluoranthene	precip+dry_dep	5.22	1.11	21.62	-	0	11
benzo_ghi_perylene	precip+dry_dep	5.93	1.56	23.37	-	0	11
benzo_k_fluoranthene	precip+dry_dep	4.34	1.09	16.81	-	0	11
chrysene	precip+dry_dep	12.03	3.68	37.62	-	0	11
fluoranthene	precip+dry_dep	21.87	4.91	48.17	-	0	11
inden_123cd_pyrene	precip+dry_dep	7.58	1.90	31.86	-	0	11
phenanthrene	precip+dry_dep	18.78	4.57	62.72	-	0	11
pyrene	precip+dry_dep	16.81	3.96	47.96	-	0	11

SE0022R Norunda Stenen  
January 2021 - December 2021

Component	matrix	W. mean	Min	Max	Dep	Num bel	Num sampl
BDE_100	precip+dry_dep	0.01	0.01	0.02	-	11	11
BDE_47	precip+dry_dep	0.01	0.01	0.02	-	11	11
BDE_99	precip+dry_dep	0.01	0.01	0.02	-	11	11
HCB	precip+dry_dep	0.05	0.02	0.12	-	0	11
PCB_101	precip+dry_dep	0.03	0.03	0.04	-	11	11
PCB_118	precip+dry_dep	0.02	0.02	0.03	-	11	11
PCB_138	precip+dry_dep	0.02	0.02	0.03	-	11	11
PCB_153	precip+dry_dep	0.02	0.02	0.03	-	9	11
PCB_180	precip+dry_dep	0.02	0.02	0.03	-	11	11
PCB_28	precip+dry_dep	0.03	0.03	0.04	-	11	11
PCB_52	precip+dry_dep	0.03	0.03	0.04	-	8	11
alpha_HCH	precip+dry_dep	0.02	0.01	0.06	-	7	11
anthracene	precip+dry_dep	0.42	0.16	0.62	-	0	8
benz_a_anthracene	precip+dry_dep	2.41	0.88	4.48	-	0	11
benzo_a_pyrene	precip+dry_dep	2.33	0.90	4.81	-	0	11
benzo_b_fluoranthene	precip+dry_dep	5.99	1.56	11.11	-	0	11
benzo_ghi_perylene	precip+dry_dep	3.08	1.06	5.19	-	0	11
benzo_k_fluoranthene	precip+dry_dep	2.13	0.69	3.79	-	0	11
chrysene	precip+dry_dep	5.44	1.42	10.00	-	0	11
dibenzo_ah_anthracene	precip+dry_dep	0.62	0.17	1.15	-	0	11
fluoranthene	precip+dry_dep	13.91	3.24	33.18	-	0	11
gamma_HCH	precip+dry_dep	0.03	0.01	0.11	-	7	11
inden_123cd_pyrene	precip+dry_dep	3.70	1.02	6.74	-	0	11
phenanthrene	precip+dry_dep	11.39	3.15	31.86	-	0	11
pp_DDD	precip+dry_dep	0.01	0.00	0.01	-	1	11
pp_DDE	precip+dry_dep	0.03	0.01	0.13	-	3	11
pp_DDT	precip+dry_dep	0.02	0.01	0.06	-	7	11
pyrene	precip+dry_dep	7.81	2.43	13.98	-	0	11

SI0008R Iskrba  
January 2021 - December 2021

Component	matrix	W. mean	Min	Max	Dep	Num bel	Num sampl
benz_a_anthracene	precip+dry_dep	12.05	0.73	85.89	-	33	53
benzo_a_pyrene	precip+dry_dep	14.32	0.73	74.14	-	31	53
benzo_bjk_fluoranthenes	precip+dry_dep	68.55	8.80	325.59	-	20	53
dibenzo_ah_anthracene	precip+dry_dep	7.23	0.73	23.27	-	38	53
inden_123cd_pyrene	precip+dry_dep	22.43	0.73	115.86	-	25	53





## **Appendix D**

### **Annual statistics for POPs in air**











FR0013R Peyrusse Vieille  
January 2021 - December 2021

Component	matrix	Arit mean	Arit sd	Geom mean	Geom sd	Min	50%	Max	% anal	Num bel	Num sampl
benz_a anthracene	pm10	0.01	0.01	0.00	3.38	0.00	0.00	0.07	16.5	30	61
benzo_a pyrene	pm10	0.02	0.03	0.01	3.39	0.00	0.01	0.19	16.5	27	61
benzo_b fluoranthene	pm10	0.05	0.08	0.02	3.98	0.00	0.02	0.44	16.5	13	61
benzo_j fluoranthene	pm10	0.02	0.04	0.01	3.46	0.00	0.01	0.20	16.5	29	61
benzo_k fluoranthene	pm10	0.02	0.03	0.01	3.19	0.00	0.00	0.16	16.5	33	61
dibenzo_ah anthracene	pm10	0.01	0.01	0.01	2.22	0.00	0.00	0.04	16.5	38	61
inden_123cd pyrene	pm10	0.04	0.05	0.02	3.81	0.00	0.02	0.25	16.5	18	61

FR0023R Saint-Nazaire-le-Désert  
January 2021 - December 2021

Component	matrix	Arit mean	Arit sd	Geom mean	Geom sd	Min	50%	Max	% anal	Num bel	Num sampl
benz_a anthracene	pm10	0.04	0.06	0.01	5.93	0.00	0.01	0.24	16.5	19	61
benzo_a pyrene	pm10	0.08	0.10	0.03	5.22	0.00	0.03	0.38	16.5	19	61
benzo_b fluoranthene	pm10	0.11	0.12	0.04	5.21	0.00	0.05	0.46	16.5	13	61
benzo_j fluoranthene	pm10	0.05	0.06	0.02	4.48	0.00	0.03	0.22	16.5	19	61
benzo_k fluoranthene	pm10	0.04	0.05	0.02	4.11	0.00	0.02	0.19	16.5	18	61
dibenzo_ah anthracene	pm10	0.02	0.01	0.01	2.69	0.00	0.01	0.06	16.5	26	61
inden_123cd pyrene	pm10	0.08	0.09	0.03	4.82	0.00	0.05	0.34	16.5	14	61

FR0025R Verneuil  
January 2021 - December 2021

Component	matrix	Arit mean	Arit sd	Geom mean	Geom sd	Min	50%	Max	% anal	Num bel	Num sampl
benz_a anthracene	pm10	0.06	0.16	0.01	6.54	0.00	0.01	0.82	16.5	20	61
benzo_a pyrene	pm10	0.10	0.21	0.03	5.75	0.00	0.03	1.06	16.5	20	61
benzo_b fluoranthene	pm10	0.16	0.30	0.05	5.74	0.00	0.06	1.73	16.5	9	61
benzo_j fluoranthene	pm10	0.08	0.16	0.02	5.41	0.00	0.03	0.90	16.5	21	61
benzo_k fluoranthene	pm10	0.06	0.13	0.02	4.89	0.00	0.03	0.72	16.5	21	61
dibenzo_ah anthracene	pm10	0.02	0.03	0.01	3.35	0.00	0.01	0.16	16.5	28	61
inden_123cd pyrene	pm10	0.12	0.21	0.04	5.51	0.00	0.06	1.08	16.5	13	61

FR0028R Kergoff  
January 2021 - December 2021

Component	matrix	Arit mean	Arit sd	Geom mean	Geom sd	Min	50%	Max	% anal	Num bel	Num sampl
benz_a anthracene	pm10	0.01	0.01	0.00	2.79	0.00	0.00	0.06	16.3	37	60
benzo_a pyrene	pm10	0.01	0.02	0.01	2.52	0.00	0.00	0.09	16.3	35	60
benzo_b fluoranthene	pm10	0.03	0.05	0.01	3.55	0.00	0.01	0.28	16.3	23	60
benzo_j fluoranthene	pm10	0.01	0.02	0.01	2.52	0.00	0.00	0.10	16.3	37	60
benzo_k fluoranthene	pm10	0.01	0.02	0.01	2.45	0.00	0.00	0.09	16.3	37	60
dibenzo_ah anthracene	pm10	0.00	0.00	0.00	1.62	0.00	0.00	0.03	16.3	53	60
inden_123cd pyrene	pm10	0.02	0.03	0.01	3.01	0.00	0.01	0.15	16.3	25	60

GB0014R High Muffles  
January 2021 - December 2021

Component	matrix	Arit mean	Arit sd	Geom mean	Geom sd	Min	50%	Max	% anal	Num bel	Num sampl
anthanthrene	aerosol	0.03	0.08	0.01	2.67	0.01	0.01	0.30	100.0	11	12
benz_a anthracene	aerosol	0.01	0.00	0.01	1.00	0.01	0.01	0.01	100.0	12	12
benzo_a pyrene	aerosol	0.01	0.01	0.01	1.49	0.01	0.01	0.04	100.0	11	12
benzo_b fluoranthene	aerosol	0.04	0.04	0.02	2.87	0.01	0.01	0.10	100.0	7	12
benzo_e pyrene	aerosol	0.04	0.03	0.02	2.79	0.01	0.01	0.10	100.0	7	12
benzo_ghi perylene	aerosol	0.04	0.03	0.03	2.74	0.01	0.04	0.10	100.0	5	12
benzo_j fluoranthene	aerosol	0.01	0.01	0.01	1.53	0.01	0.01	0.04	100.0	11	12
benzo_k fluoranthene	aerosol	0.01	0.00	0.01	1.00	0.01	0.01	0.01	100.0	12	12
chrysene	aerosol	0.02	0.02	0.01	1.98	0.01	0.01	0.05	100.0	9	12
coronene	aerosol	0.01	0.00	0.01	1.00	0.01	0.01	0.01	100.0	12	12
cyclopenta_cd pyrene	aerosol	0.01	0.00	0.01	1.00	0.01	0.01	0.01	100.0	12	12
dibenzo_ac anthracene	aerosol	0.01	0.00	0.01	1.00	0.01	0.01	0.01	100.0	12	12
dibenzo_ah anthracene	aerosol	0.01	0.00	0.01	1.00	0.01	0.01	0.01	100.0	12	12
dibenzo_ai pyrene	aerosol	0.01	0.00	0.01	1.00	0.01	0.01	0.01	100.0	12	12
inden_123cd pyrene	aerosol	0.03	0.02	0.02	2.41	0.01	0.01	0.07	100.0	7	12
perylene	aerosol	0.01	0.00	0.01	1.00	0.01	0.01	0.01	100.0	12	12

GB0048R Auchencorth Moss  
January 2021 - December 2021

Component	matrix	Arit mean	Arit sd	Geom mean	Geom sd	Min	50%	Max	% anal	Num bel	Num sampl
anthanthrene	pm10	0.02	0.02	0.01	1.90	0.01	0.01	0.09	100.0	11	12
benz_a anthracene	pm10	0.02	0.02	0.01	1.87	0.01	0.01	0.09	100.0	11	12
benzo_a pyrene	pm10	0.02	0.03	0.01	2.05	0.01	0.01	0.12	100.0	11	12
benzo_b fluoranthene	pm10	0.04	0.05	0.02	2.91	0.01	0.01	0.17	100.0	7	12
benzo_e pyrene	pm10	0.03	0.04	0.02	2.72	0.01	0.01	0.14	100.0	8	12
benzo_ghi perylene	pm10	0.04	0.05	0.02	2.98	0.01	0.01	0.16	100.0	7	12
benzo_j fluoranthene	pm10	0.02	0.03	0.01	2.16	0.01	0.01	0.10	100.0	10	12
benzo_k fluoranthene	pm10	0.02	0.02	0.01	1.81	0.01	0.01	0.08	100.0	11	12
chrysene	pm10	0.02	0.03	0.02	2.37	0.01	0.01	0.11	100.0	9	12
coronene	pm10	0.01	0.01	0.01	1.68	0.01	0.01	0.06	100.0	11	12
cyclopenta_cd pyrene	pm10	0.02	0.04	0.01	2.19	0.01	0.01	0.15	100.0	11	12
dibenzo_ac anthracene	pm10	0.01	0.00	0.01	1.00	0.01	0.01	0.01	100.0	12	12
dibenzo_ae pyrene	pm10	0.01	0.00	0.01	1.00	0.01	0.01	0.01	100.0	12	12
dibenzo_ah anthracene	pm10	0.01	0.00	0.01	1.00	0.01	0.01	0.01	100.0	12	12
dibenzo_ai pyrene	pm10	0.01	0.00	0.01	1.00	0.01	0.01	0.01	100.0	12	12
inden_123cd pyrene	pm10	0.03	0.04	0.02	2.63	0.01	0.01	0.14	100.0	8	12
perylene	pm10	0.01	0.00	0.01	1.00	0.01	0.01	0.01	100.0	12	12

GB1055R Chilbolton Observatory  
January 2021 - December 2021

Component	matrix	Arit mean	Arit sd	Geom mean	Geom sd	Min	50%	Max	% anal	Num bel	Num sampl
anthanthrene	pm10	0.03	0.04	0.02	2.61	0.01	0.01	0.15	100.0	9	12
benz_a anthracene	pm10	0.05	0.05	0.03	3.26	0.01	0.03	0.14	100.0	6	12
benzo_a pyrene	pm10	0.07	0.07	0.03	3.80	0.01	0.04	0.19	100.0	6	12
benzo_b fluoranthene	pm10	0.11	0.11	0.05	4.51	0.01	0.10	0.26	100.0	5	12
benzo_e pyrene	pm10	0.09	0.08	0.04	3.96	0.01	0.07	0.21	100.0	5	12
benzo_ghi perylene	pm10	0.10	0.09	0.05	4.16	0.01	0.08	0.23	100.0	5	12
benzo_j fluoranthene	pm10	0.06	0.06	0.03	3.51	0.01	0.04	0.14	100.0	6	12
benzo_k fluoranthene	pm10	0.05	0.04	0.03	3.13	0.01	0.03	0.11	100.0	6	12
chrysene	pm10	0.07	0.07	0.03	3.78	0.01	0.04	0.20	100.0	6	12
coronene	pm10	0.04	0.03	0.02	2.62	0.01	0.03	0.08	100.0	6	12
cyclopenta_cd pyrene	pm10	0.04	0.07	0.02	3.22	0.01	0.01	0.23	100.0	8	12
dibenzo_ac anthracene	pm10	0.01	0.00	0.01	1.00	0.01	0.01	0.01	100.0	12	12
dibenzo_ae pyrene	pm10	0.01	0.00	0.01	1.00	0.01	0.01	0.01	100.0	12	12
dibenzo_ah anthracene	pm10	0.01	0.00	0.01	1.00	0.01	0.01	0.01	100.0	12	12
dibenzo_ah pyrene	pm10	0.01	0.00	0.01	1.00	0.01	0.01	0.01	100.0	12	12
dibenzo_ai pyrene	pm10	0.01	0.00	0.01	1.00	0.01	0.01	0.01	100.0	12	12
indeno_123cd pyrene	pm10	0.08	0.08	0.04	4.09	0.01	0.05	0.19	100.0	6	12
perylene	pm10	0.01	0.00	0.01	1.00	0.01	0.01	0.01	100.0	12	12

HR0002R Puntijarka  
January 2021 - December 2021

Component	matrix	Arit mean	Arit sd	Geom mean	Geom sd	Min	50%	Max	% anal	Num bel	Num sampl
benz_a anthracene	pm10	0.07	0.09	0.03	3.25	0.01	0.03	0.64	95.3	132	348
benzo_a pyrene	pm10	0.05	0.06	0.03	2.87	0.01	0.02	0.33	95.3	159	348
benzo_bjk fluoranthenes	pm10	0.14	0.16	0.08	2.91	0.03	0.08	0.91	95.3	136	348
benzo_ghi perylene	pm10	0.06	0.07	0.03	3.02	0.01	0.03	0.33	95.3	127	348
chrysene	pm10	0.09	0.12	0.04	3.39	0.01	0.04	0.77	95.3	100	348
dibenzo_ah anthracene	pm10	0.02	0.03	0.01	1.89	0.00	0.01	0.16	95.3	276	348
indeno_123cd pyrene	pm10	0.11	0.12	0.06	3.45	0.01	0.06	0.58	95.3	73	348

IS0091R Storchofdi  
January 2021 - December 2021

Component	matrix	Arit mean	Arit sd	Geom mean	Geom sd	Min	50%	Max	% anal	Num bel	Num sampl
BDE_100	air+aerosol	0.12	0.05	0.11	1.43	0.07	0.11	0.28	96.2	22	23
BDE_47	air+aerosol	0.14	0.05	0.13	1.40	0.07	0.11	0.25	96.2	19	23
BDE_99	air+aerosol	0.11	0.04	0.11	1.35	0.07	0.11	0.20	96.2	23	23
HCB	air+aerosol	5.25	2.35	4.12	2.61	0.14	5.61	9.92	96.2	0	23
PCB_101	air+aerosol	0.97	0.63	0.74	2.47	0.10	1.10	2.23	96.2	18	23
PCB_105	air+aerosol	0.32	0.35	0.21	2.48	0.07	0.12	1.43	96.2	13	23
PCB_118	air+aerosol	0.40	0.34	0.31	2.11	0.10	0.29	1.42	96.2	19	23
PCB_138	air+aerosol	0.42	0.47	0.28	2.41	0.10	0.25	2.05	96.2	7	23
PCB_153	air+aerosol	0.51	0.47	0.37	2.31	0.10	0.38	2.02	96.2	5	23
PCB_156	air+aerosol	0.11	0.04	0.11	1.36	0.00	0.11	0.20	96.2	22	23
PCB_180	air+aerosol	0.11	0.04	0.10	1.59	0.02	0.11	0.20	96.2	22	23
PCB_28	air+aerosol	4.19	4.43	2.19	3.96	0.12	2.85	13.62	96.2	2	23
PCB_31	air+aerosol	4.41	4.50	2.23	4.24	0.12	3.25	13.48	96.2	2	23
PCB_52	air+aerosol	2.22	1.51	1.55	2.97	0.12	2.70	4.99	96.2	16	23
alpha_HCH	air+aerosol	1.45	0.55	1.26	2.03	0.12	1.49	2.17	96.2	2	23
beta_HCH	air+aerosol	0.29	0.39	0.19	2.38	0.07	0.12	1.75	96.2	14	23
cis_CD	air+aerosol	0.75	0.42	0.65	1.79	0.12	0.65	2.06	96.2	2	23
dieldrin	air+aerosol	0.70	0.45	0.58	1.91	0.12	0.60	2.05	96.2	2	23
gamma_HCH	air+aerosol	2.26	1.79	1.49	3.10	0.12	2.51	6.36	96.2	2	23
op_DDT	air+aerosol	0.12	0.04	0.11	1.34	0.07	0.11	0.20	96.2	22	23
pp_DDD	air+aerosol	0.11	0.04	0.11	1.35	0.07	0.11	0.20	96.2	23	23
pp_DDE	air+aerosol	0.27	0.24	0.20	2.19	0.07	0.12	0.83	96.2	15	23
pp_DDT	air+aerosol	0.22	0.08	0.21	1.39	0.12	0.22	0.40	96.2	23	23
trans_CD	air+aerosol	1.91	2.21	1.10	3.05	0.12	1.13	8.17	96.2	2	23
trans_NO	air+aerosol	0.64	0.24	0.59	1.62	0.12	0.63	1.31	96.2	2	23

LV0010R Rucava  
January 2021 - December 2021

Component	matrix	Arit mean	Arit sd	Geom mean	Geom sd	Min	50%	Max	% anal	Num bel	Num sampl
benz_a anthracene	pm10	0.63	0.79	0.32	3.34	0.05	0.32	3.21	47.9	0	25
benzo_a pyrene	pm10	0.43	0.55	0.20	3.80	0.02	0.26	2.46	47.9	0	25
benzo_b fluoranthene	pm10	0.62	0.76	0.33	3.26	0.05	0.37	3.39	47.9	0	25
benzo_k fluoranthene	pm10	0.37	0.41	0.20	3.21	0.03	0.25	1.75	47.9	0	25
dibenzo_ah anthracene	pm10	0.11	0.14	0.04	4.96	0.01	0.03	0.53	47.9	13	25
indeno_123cd pyrene	pm10	0.53	0.64	0.24	4.21	0.02	0.32	2.86	47.9	3	25

NL0091R De Zilk  
January 2021 - December 2021

Component	matrix	Arit mean	Arit sd	Geom mean	Geom sd	Min	50%	Max	% anal	Num bel	Num sampl
benz_a anthracene	pm10	0.02	0.02	0.01	2.50	0.00	0.01	0.13	48.8	0	178
benzo_a pyrene	pm10	0.02	0.03	0.01	2.75	0.00	0.01	0.21	48.8	0	178
benzo_bjk fluoranthenes	pm10	0.11	0.14	0.07	2.68	0.02	0.05	0.86	48.8	0	178
benzo_ghi perylene	pm10	0.05	0.06	0.03	2.55	0.01	0.02	0.34	48.8	0	178
chrysene	pm10	0.03	0.04	0.02	2.58	0.01	0.02	0.27	48.8	0	178
dibenzo_ah anthracene	pm10	0.01	0.01	0.01	2.48	0.00	0.01	0.04	48.8	0	178
indeno_123cd perylene	pm10	0.04	0.05	0.03	2.62	0.01	0.02	0.29	48.8	0	178

NO0002R Birkenes II  
January 2021 - December 2021

Component	matrix	Arit mean	Arit sd	Geom mean	Geom sd	Min	50%	Max	% anal	Num bel	Num sampl
1-methylnaphthalene	air+aerosol	0.08	0.10	0.04	3.14	0.01	0.03	0.44	14.2	9	52
1-methylphenanthrene	air+aerosol	0.05	0.06	0.04	2.34	0.01	0.04	0.32	13.4	0	49
2-methylantracene	air+aerosol	0.00	0.00	0.00	1.29	0.00	0.00	0.01	12.8	46	47
2-methylnaphthalene	air+aerosol	0.09	0.10	0.05	2.74	0.02	0.04	0.45	14.2	17	52
2-methylphenanthrene	air+aerosol	0.07	0.06	0.05	2.06	0.01	0.05	0.27	14.2	0	52
3-methylphenanthrene	air+aerosol	0.06	0.04	0.05	2.02	0.01	0.04	0.22	14.2	0	52
9-methylphenanthrene	air+aerosol	0.02	0.02	0.02	1.95	0.00	0.02	0.08	14.2	0	52
BDE_100	air+aerosol	0.01	0.02	0.01	2.28	0.00	0.01	0.08	52.9	1	12
BDE_119	air+aerosol	0.01	0.03	0.00	3.43	0.00	0.01	0.12	52.9	11	12



BDE_138	air+aerosol	0.03	0.08	0.00	4.77	0.00	0.00	0.27	52.9	10	12
BDE_153	air+aerosol	0.03	0.07	0.01	3.92	0.00	0.00	0.24	48.5	3	11
BDE_154	air+aerosol	0.02	0.05	0.01	3.91	0.00	0.00	0.17	52.9	4	12
BDE_183	air+aerosol	0.02	0.02	0.01	2.88	0.00	0.01	0.06	48.5	2	11
BDE_196	air+aerosol	0.01	0.01	0.01	2.30	0.00	0.00	0.04	52.9	10	12
BDE_206	air+aerosol	0.09	0.06	0.08	1.69	0.05	0.05	0.24	52.9	7	12
BDE_209	air+aerosol	1.36	1.53	0.94	2.23	0.55	0.56	4.85	52.9	7	12
BDE_28	air+aerosol	0.01	0.00	0.01	1.56	0.01	0.01	0.02	48.5	0	11
BDE_47	air+aerosol	0.10	0.06	0.09	1.61	0.05	0.08	0.22	48.5	0	11
BDE_49	air+aerosol	0.02	0.04	0.01	2.67	0.00	0.01	0.13	52.9	0	12
BDE_66	air+aerosol	0.02	0.04	0.01	3.05	0.00	0.00	0.13	52.9	0	12
BDE_71	air+aerosol	0.01	0.04	0.00	3.91	0.00	0.00	0.13	52.9	6	12
BDE_77	air+aerosol	0.00	0.01	0.00	2.93	0.00	0.00	0.03	52.9	8	12
BDE_85	air+aerosol	0.01	0.05	0.00	4.55	0.00	0.00	0.15	48.5	10	11
BDE_99	air+aerosol	0.04	0.03	0.03	1.95	0.01	0.03	0.11	52.9	1	12
FTS_6-2	air+aerosol	0.04	0.00	0.04	1.00	0.04	0.04	0.04	58.1	7	7
HCB	air+aerosol	39.41	15.07	36.63	1.48	17.60	39.35	71.50	13.6	0	50
PCB_101	air+aerosol	0.41	0.32	0.31	2.10	0.06	0.29	1.81	13.6	1	50
PCB_105	air+aerosol	0.03	0.02	0.02	2.04	0.01	0.02	0.11	12.8	2	47
PCB_114	air+aerosol	0.00	0.00	0.00	1.63	0.00	0.00	0.01	13.1	25	48
PCB_118	air+aerosol	0.10	0.08	0.08	2.08	0.02	0.07	0.41	13.6	3	50
PCB_122	air+aerosol	0.00	0.00	0.00	1.88	0.00	0.00	0.02	13.6	33	50
PCB_123	air+aerosol	0.00	0.00	0.00	1.56	0.00	0.00	0.01	13.6	24	50
PCB_128	air+aerosol	0.02	0.02	0.01	2.32	0.00	0.01	0.07	12.6	8	46
PCB_138	air+aerosol	0.15	0.12	0.11	2.22	0.03	0.10	0.61	13.6	4	50
PCB_141	air+aerosol	0.04	0.03	0.03	2.07	0.01	0.02	0.16	13.6	13	50
PCB_149	air+aerosol	0.28	0.24	0.20	2.24	0.05	0.18	1.30	13.6	3	50
PCB_153	air+aerosol	0.24	0.20	0.18	2.14	0.05	0.16	1.08	13.6	4	50
PCB_156	air+aerosol	0.01	0.00	0.00	2.05	0.00	0.00	0.02	13.4	13	49
PCB_157	air+aerosol	0.00	0.00	0.00	1.41	0.00	0.00	0.00	13.4	39	49
PCB_167	air+aerosol	0.00	0.00	0.00	2.28	0.00	0.00	0.01	13.2	19	48
PCB_170	air+aerosol	0.01	0.01	0.01	1.51	0.01	0.01	0.05	13.4	28	49
PCB_18	air+aerosol	1.04	0.72	0.86	1.84	0.21	0.81	3.95	13.6	0	50
PCB_180	air+aerosol	0.05	0.03	0.04	1.67	0.03	0.03	0.16	13.6	24	50
PCB_183	air+aerosol	0.02	0.01	0.02	1.87	0.01	0.01	0.08	13.6	16	50
PCB_187	air+aerosol	0.06	0.05	0.04	2.07	0.02	0.04	0.26	13.6	10	50
PCB_189	air+aerosol	0.00	0.00	0.00	1.42	0.00	0.00	0.00	13.6	47	50
PCB_194	air+aerosol	0.00	0.00	0.00	1.46	0.00	0.00	0.02	13.6	38	50
PCB_206	air+aerosol	0.00	0.00	0.00	1.20	0.00	0.00	0.01	13.4	46	49
PCB_209	air+aerosol	0.00	0.00	0.00	1.28	0.00	0.00	0.01	13.4	35	49
PCB_28	air+aerosol	0.60	0.41	0.49	1.84	0.13	0.52	2.28	13.6	0	50
PCB_31	air+aerosol	0.55	0.39	0.45	1.84	0.13	0.48	2.26	13.6	0	50
PCB_33	air+aerosol	0.30	0.22	0.24	1.87	0.07	0.26	1.25	13.6	0	50
PCB_37	air+aerosol	0.05	0.04	0.04	1.95	0.02	0.04	0.23	13.6	6	50
PCB_47	air+aerosol	0.60	0.39	0.49	1.95	0.16	0.43	1.57	13.6	4	50
PCB_52	air+aerosol	0.68	0.46	0.57	1.79	0.16	0.56	2.82	13.6	0	50
PCB_66	air+aerosol	0.15	0.12	0.12	2.00	0.03	0.11	0.69	13.6	2	50
PCB_74	air+aerosol	0.11	0.09	0.09	1.92	0.02	0.09	0.51	13.6	1	50
PCB_99	air+aerosol	0.14	0.11	0.11	2.02	0.02	0.11	0.62	13.6	0	50
PFBS	air+aerosol	0.01	0.00	0.01	1.23	0.01	0.01	0.02	91.8	10	11
PFHpA	air+aerosol	0.05	0.04	0.04	2.09	0.02	0.02	0.12	100.0	7	12
PFHxA	air+aerosol	0.05	0.08	0.03	2.50	0.02	0.02	0.28	83.3	8	10
PFHxS	air+aerosol	0.01	0.00	0.01	1.00	0.01	0.01	0.01	100.0	12	12
PFNA	air+aerosol	0.07	0.05	0.05	2.27	0.01	0.05	0.17	100.0	1	12
PFOA	air+aerosol	0.13	0.07	0.11	2.14	0.02	0.14	0.24	100.0	0	12
TBA	air+aerosol	5.06	2.71	4.57	1.57	2.40	4.21	12.30	52.9	0	12
a_HBCD	air+aerosol	0.01	0.00	0.01	1.18	0.01	0.01	0.02	48.5	9	11
acenaphthene	air+aerosol	0.08	0.07	0.06	2.07	0.02	0.06	0.39	14.2	1	52
acenaphthylene	air+aerosol	0.05	0.11	0.01	5.25	0.00	0.01	0.54	14.2	13	52
alpha_HCH	air+aerosol	3.13	1.16	2.96	1.40	1.97	2.60	5.65	3.0	0	11
anthanthrene	air+aerosol	0.00	0.01	0.00	2.48	0.00	0.00	0.04	14.2	36	52
anthracene	air+aerosol	0.02	0.04	0.01	3.74	0.00	0.01	0.16	13.1	5	48
b_HBCD	air+aerosol	0.01	0.00	0.01	1.01	0.01	0.01	0.01	48.5	11	11
benz_a_anthracene	air+aerosol	0.02	0.04	0.01	4.04	0.00	0.01	0.26	14.2	6	52
benzo_a_fluoranthene	air+aerosol	0.01	0.01	0.00	2.97	0.00	0.00	0.07	13.9	28	51
benzo_a_fluorene	air+aerosol	0.01	0.02	0.01	3.25	0.00	0.01	0.12	14.2	5	52
benzo_a_pyrene	air+aerosol	0.02	0.04	0.01	3.69	0.00	0.01	0.28	14.2	3	52
benzo_b_fluoranthene	air+aerosol	0.05	0.07	0.03	3.30	0.00	0.03	0.48	14.2	0	52
benzo_b_fluorene	air+aerosol	0.01	0.01	0.00	3.12	0.00	0.00	0.07	14.2	10	52
benzo_e_pyrene	air+aerosol	0.04	0.04	0.02	3.53	0.00	0.02	0.25	13.9	1	51
benzo_ghi_fluoranthene	air+aerosol	-	-	-	-	-	-	-	0.0	0	0
benzo_ghi_ptylene	air+aerosol	0.03	0.05	0.02	3.31	0.00	0.02	0.30	14.2	1	52
benzo_j_fluoranthene	air+aerosol	0.02	0.04	0.01	3.51	0.00	0.01	0.26	14.2	3	52
benzo_k_fluoranthene	air+aerosol	0.02	0.03	0.01	3.26	0.00	0.01	0.20	14.2	3	52
biphenyl	air+aerosol	0.23	0.29	0.11	3.49	0.02	0.09	1.21	14.2	6	52
chrysene	air+aerosol	0.06	0.08	0.03	3.35	0.00	0.03	0.43	14.2	0	52
coronene	air+aerosol	0.01	0.02	0.01	2.98	0.00	0.01	0.14	14.2	9	52
cyclopenta_cd_pyrene	air+aerosol	0.00	0.00	0.00	1.00	0.00	0.00	0.00	4.6	17	17
dibenzo_ac_anthracene	air+aerosol	0.00	0.00	0.00	2.33	0.00	0.00	0.02	14.2	29	52
dibenzo_ae_pyrene	air+aerosol	0.01	0.01	0.00	2.23	0.00	0.00	0.05	14.2	23	52
dibenzo_ah_anthracene	air+aerosol	0.01	0.01	0.00	2.75	0.00	0.00	0.05	14.2	19	52
dibenzo_ah_pyrene	air+aerosol	0.00	0.00	0.00	1.56	0.00	0.00	0.02	14.2	49	52
dibenzo_ai_pyrene	air+aerosol	0.00	0.00	0.00	1.65	0.00	0.00	0.02	14.2	47	52
dibenzofuran	air+aerosol	0.74	0.81	0.45	2.70	0.07	0.35	3.42	14.2	0	52
dibenzothiophene	air+aerosol	0.02	0.03	0.02	2.51	0.00	0.02	0.16	14.2	0	52
fluoranthene	air+aerosol	0.23	0.23	0.17	2.15	0.03	0.15	1.46	14.2	0	52
fluorene	air+aerosol	0.54	0.56	0.36	2.38	0.09	0.32	2.66	14.2	0	52
g_HBCD	air+aerosol	0.01	0.00	0.01	1.01	0.01	0.01	0.01	48.5	11	11
gamma_HCH	air+aerosol	2.73	2.34	1.77	2.85	0.46	1.67	7.45	3.0	0	11
indeno_123cd_pyrene	air+aerosol	0.03	0.05	0.02	3.39	0.00	0.01	0.35	14.2	1	52
naphthalene	air+aerosol	0.19	0.28	0.08	3.41	0.03	0.04	1.38	14.2	17	52
op_DDD	air+aerosol	0.02	0.02	0.02	2.15	0.01	0.02	0.05	2.5	3	9
op_DDE	air+aerosol	0.08	0.04	0.07	1.65	0.04	0.07	0.19	3.0	0	11
op_DDT	air+aerosol	0.23	0.28	0.15	2.37	0.04	0.18	1.06	3.0	0	11
perylene	air+aerosol	0.00	0.01	0.00	2.44	0.00	0.00	0.04	14.2	29	52
phenanthrene	air+aerosol	0.95	0.61	0.79	1.86	0.13	0.76	2.51	14.2	0	52
pp_DDD	air+aerosol	0.01	0.01	0.01	1.97	0.01	0.01	0.03	2.5	5	9
pp_DDE	air+aerosol	1.21	0.74	1.02	1.86	0.33	1.02	2.87	3.0	0	11
pp_DDT	air+aerosol	0.25	0.33	0.14	3.39	0.02	0.17	1.18	3.0	2	11
pyrene	air+aerosol	0.13	0.15	0.08	2.46	0.01	0.08	0.91	14.2	0	52
retene	air+aerosol	0.06	0.08	0.04	2.87	0.01	0.03	0.48	13.4	0	49
sum_DDT	air+aerosol	1.81	1.34	1.48	1.94	0.44	1.36	5.38	3.0	0	11
sum_PCB	air+aerosol	8.72	6.22	7.00	1.98	1.04	7.37	36.10	13.6	0	50
sum_heptachlor_PCB	air+aerosol	0.27	0.17	0.22	1.82	0.10	0.20	0.81	8.4	0	31
sum_hexachlor_PCB	air+aerosol	0.97	0.81	0.72	2.16	0.14	0.60	4.34	12.8	0	47
sum_pentachlor_PCB	air+aerosol	1.22	0.93	0.94	2.08	0.19	0.84	5.04	13.4	0	49
sum_tetrachlor_PCB	air+aerosol	3.04	1.98	2.58	1.73	1.00	2.35	11.70	12.8	0	47
sum_trichlor_PCB	air+aerosol	3.59	2.46	2.98	1.82	0.85	2.90	14.20	13.6	0	50
triphenylene	air+aerosol	0.01	0.01	0.01	2.58	0.00	0.01	0.08	14.2	0	52

NO0042G Zeppelin mountain (Ny-Ålesund)  
January 2021 - December 2021

Component	matrix	Arit mean	Arit sd	Geom mean	Geom sd	Min	50%	Max	% anal	Num bel	Num sampl
1-methylnaphthalene	air+aerosol	0.05	0.07	0.03	2.93	0.01	0.02	0.30	29.6	2	53
1-methylphenanthrene	air+aerosol	0.00	0.00	0.00	1.81	0.00	0.00	0.01	28.5	31	51
2-methylanthracene	air+aerosol	0.00	0.00	0.00	1.46	0.00	0.00	0.01	21.9	38	40
2-methylnaphthalene	air+aerosol	0.06	0.07	0.04	2.52	0.01	0.03	0.34	29.6	3	53
2-methylphenanthrene	air+aerosol	0.00	0.00	0.00	1.48	0.00	0.00	0.02	29.6	34	53
3-methylphenanthrene	air+aerosol	0.00	0.00	0.00	1.55	0.00	0.00	0.02	29.6	34	53
9-methylphenanthrene	air+aerosol	0.00	0.00	0.00	1.70	0.00	0.00	0.01	29.6	34	53
BDE_100	air+aerosol	0.02	0.01	0.01	1.92	0.00	0.01	0.07	41.9	0	52
BDE_119	air+aerosol	0.00	0.00	0.00	1.32	0.00	0.00	0.01	41.9	50	52
BDE_138	air+aerosol	0.00	0.00	0.00	1.62	0.00	0.00	0.02	41.9	50	52
BDE_153	air+aerosol	0.00	0.00	0.00	1.59	0.00	0.00	0.02	41.9	31	52
BDE_154	air+aerosol	0.00	0.00	0.00	1.56	0.00	0.00	0.01	41.9	34	52
BDE_183	air+aerosol	0.01	0.00	0.00	1.68	0.00	0.00	0.02	38.6	23	48
BDE_196	air+aerosol	0.01	0.01	0.01	1.96	0.00	0.01	0.06	40.5	40	50
BDE_206	air+aerosol	0.33	0.57	0.19	2.83	0.07	0.17	3.02	41.1	16	51
BDE_209	air+aerosol	14.14	27.14	6.31	4.06	0.69	5.86	137.00	41.9	5	52
BDE_28	air+aerosol	0.01	0.01	0.01	1.60	0.00	0.01	0.05	40.3	0	50
BDE_47	air+aerosol	0.22	0.20	0.17	1.91	0.05	0.15	1.04	41.9	0	52
BDE_49	air+aerosol	0.01	0.01	0.01	1.83	0.00	0.01	0.04	41.9	0	52
BDE_66	air+aerosol	0.01	0.02	0.00	2.02	0.00	0.00	0.12	41.1	13	51
BDE_71	air+aerosol	0.00	0.00	0.00	1.68	0.00	0.00	0.01	41.9	34	52
BDE_77	air+aerosol	0.00	0.00	0.00	1.60	0.00	0.00	0.01	41.9	47	52
BDE_85	air+aerosol	0.00	0.00	0.00	1.70	0.00	0.00	0.01	41.1	37	51
BDE_99	air+aerosol	0.04	0.03	0.04	1.77	0.01	0.04	0.12	41.9	0	52
FTS_6-2	air+aerosol	0.04	0.00	0.04	1.00	0.04	0.04	0.04	100.0	12	12
HCB	air+aerosol	44.53	3.63	44.80	1.09	33.00	45.20	51.30	29.1	0	51
PCB_101	air+aerosol	0.22	0.06	0.21	1.31	0.12	0.20	0.38	29.1	0	51
PCB_105	air+aerosol	0.02	0.01	0.02	1.52	0.01	0.02	0.06	29.1	0	51
PCB_114	air+aerosol	0.00	0.00	0.00	1.67	0.00	0.00	0.01	28.0	12	49
PCB_118	air+aerosol	0.07	0.03	0.07	1.46	0.03	0.06	0.17	29.1	0	51
PCB_122	air+aerosol	0.00	0.00	0.00	1.60	0.00	0.00	0.00	28.0	22	49
PCB_123	air+aerosol	0.00	0.00	0.00	1.52	0.00	0.00	0.00	26.9	11	47
PCB_128	air+aerosol	0.01	0.01	0.01	1.53	0.01	0.01	0.03	28.6	0	50
PCB_138	air+aerosol	0.06	0.03	0.06	1.46	0.03	0.06	0.14	29.1	0	51
PCB_141	air+aerosol	0.02	0.01	0.01	1.40	0.01	0.01	0.03	29.1	1	51
PCB_149	air+aerosol	0.12	0.03	0.11	1.33	0.06	0.11	0.19	29.1	0	51
PCB_153	air+aerosol	0.09	0.03	0.08	1.41	0.04	0.08	0.17	29.1	0	51
PCB_156	air+aerosol	0.00	0.00	0.00	1.63	0.00	0.00	0.01	28.5	0	50
PCB_157	air+aerosol	0.00	0.00	0.00	1.23	0.00	0.00	0.00	29.1	39	51
PCB_167	air+aerosol	0.00	0.00	0.00	1.60	0.00	0.00	0.01	28.6	12	50
PCB_170	air+aerosol	0.01	0.00	0.01	1.32	0.00	0.01	0.01	29.1	29	51
PCB_18	air+aerosol	0.75	0.30	0.68	1.48	0.31	0.66	1.47	29.1	0	51
PCB_180	air+aerosol	0.02	0.00	0.02	1.30	0.01	0.01	0.03	29.1	30	51
PCB_183	air+aerosol	0.01	0.00	0.01	1.34	0.00	0.01	0.01	29.1	13	51
PCB_187	air+aerosol	0.02	0.01	0.02	1.40	0.01	0.02	0.03	29.1	6	51
PCB_189	air+aerosol	0.00	0.00	0.00	1.10	0.00	0.00	0.00	29.1	48	51
PCB_194	air+aerosol	0.00	0.00	0.00	1.23	0.00	0.00	0.00	29.1	40	51
PCB_206	air+aerosol	0.00	0.00	0.00	1.27	0.00	0.00	0.00	29.1	49	51
PCB_209	air+aerosol	0.00	0.00	0.00	1.85	0.00	0.00	0.01	28.6	6	50
PCB_28	air+aerosol	0.75	0.30	0.69	1.44	0.39	0.67	1.84	29.1	0	51
PCB_31	air+aerosol	0.65	0.28	0.60	1.45	0.35	0.57	1.70	29.1	0	51
PCB_33	air+aerosol	0.51	0.24	0.46	1.53	0.24	0.42	1.45	29.1	0	51
PCB_37	air+aerosol	0.14	0.07	0.12	1.63	0.05	0.11	0.35	29.1	0	51
PCB_47	air+aerosol	0.26	0.08	0.25	1.34	0.14	0.24	0.52	29.1	0	51
PCB_52	air+aerosol	0.42	0.11	0.40	1.30	0.21	0.40	0.69	29.1	0	51
PCB_66	air+aerosol	0.15	0.05	0.14	1.36	0.08	0.14	0.34	29.1	0	51
PCB_74	air+aerosol	0.11	0.03	0.11	1.32	0.06	0.10	0.23	29.1	0	51
PCB_99	air+aerosol	0.08	0.03	0.08	1.39	0.04	0.08	0.17	29.1	0	51
PFBS	air+aerosol	0.01	0.00	0.01	1.25	0.01	0.01	0.02	83.3	6	10
PFHpA	air+aerosol	0.07	0.06	0.05	2.36	0.01	0.04	0.22	100.0	3	12
PFHxA	air+aerosol	0.05	0.02	0.05	1.44	0.03	0.06	0.07	66.3	0	8
PFHxS	air+aerosol	0.01	0.00	0.01	1.00	0.01	0.01	0.01	100.0	12	12
PFNA	air+aerosol	0.04	0.03	0.03	2.59	0.01	0.02	0.11	100.0	4	12
PFOA	air+aerosol	0.07	0.05	0.06	2.15	0.01	0.07	0.20	100.0	0	12
TBA	air+aerosol	6.58	4.72	5.10	2.07	0.91	5.93	29.20	41.9	0	52
a_HBCD	air+aerosol	0.16	0.28	0.06	3.96	0.01	0.05	1.29	20.1	6	26
acenaphthene	air+aerosol	0.01	0.00	0.01	1.45	0.00	0.01	0.02	29.6	48	53
acenaphthylene	air+aerosol	0.00	0.00	0.00	1.75	0.00	0.00	0.01	29.6	44	53
alpha_HCH	air+aerosol	2.50	0.77	2.35	1.38	1.12	2.33	4.28	29.1	0	51
anthanthrene	air+aerosol	0.00	0.00	0.00	1.33	0.00	0.00	0.00	29.6	51	53
anthracene	air+aerosol	0.00	0.00	0.00	1.44	0.00	0.00	0.00	29.6	51	53
b_HBCD	air+aerosol	0.03	0.05	0.02	2.56	0.01	0.01	0.27	20.1	15	26
benz_a anthracene	air+aerosol	0.00	0.00	0.00	1.79	0.00	0.00	0.02	29.6	45	53
benzo_a fluoranthene	air+aerosol	0.00	0.00	0.00	1.29	0.00	0.00	0.00	29.6	51	53
benzo_a fluorene	air+aerosol	0.00	0.00	0.00	1.62	0.00	0.00	0.01	29.6	45	53
benzo_a pyrene	air+aerosol	0.00	0.00	0.00	1.82	0.00	0.00	0.03	29.6	44	53
benzo_b fluoranthene	air+aerosol	0.00	0.01	0.00	2.71	0.00	0.00	0.09	29.6	33	53
benzo_b fluorene	air+aerosol	0.00	0.00	0.00	1.46	0.00	0.00	0.01	29.6	50	53
benzo_e pyrene	air+aerosol	0.00	0.01	0.00	2.18	0.00	0.00	0.05	29.6	38	53
benzo_ghi fluoranthene	air+aerosol	0.00	0.00	0.00	1.00	0.00	0.00	0.00	20.7	38	38
benzo_ghi perylene	air+aerosol	0.00	0.01	0.00	2.11	0.00	0.00	0.04	29.6	39	53
benzo_j fluoranthene	air+aerosol	0.00	0.00	0.00	1.94	0.00	0.00	0.03	29.6	39	53
benzo_k fluoranthene	air+aerosol	0.00	0.00	0.00	1.90	0.00	0.00	0.03	29.6	41	53
biphenyl	air+aerosol	0.25	0.32	0.10	5.13	0.01	0.18	1.25	29.6	10	53
chrysene	air+aerosol	0.00	0.01	0.00	2.55	0.00	0.00	0.08	29.6	33	53
cis_CD	air+aerosol	0.24	0.05	0.23	1.27	0.12	0.22	0.34	29.1	0	51
cis_NO	air+aerosol	0.02	0.01	0.02	1.66	0.01	0.02	0.04	29.1	4	51
coronene	air+aerosol	0.00	0.00	0.00	1.77	0.00	0.00	0.01	29.6	46	53
cyclopenta_cd pyrene	air+aerosol	0.00	0.00	0.00	1.24	0.00	0.00	0.00	26.5	47	47
dibenzo_ac anthracene	air+aerosol	0.00	0.00	0.00	1.33	0.00	0.00	0.01	29.6	51	53
dibenzo_ae pyrene	air+aerosol	0.00	0.00	0.00	1.69	0.00	0.00	0.01	29.6	50	53
dibenzo_ah anthracene	air+aerosol	0.00	0.00	0.00	1.42	0.00	0.00	0.01	29.6	51	53
dibenzo_ah pyrene	air+aerosol	0.00	0.00	0.00	1.66	0.00	0.00	0.01	29.6	53	53
dibenzo_ai pyrene	air+aerosol	0.00	0.00	0.00	1.60	0.00	0.00	0.01	29.6	53	53
dibenzofuran	air+aerosol	0.37	0.39	0.16	4.68	0.01	0.27	1.57	29.6	2	53
dibenzothiophene	air+aerosol	0.00	0.00	0.00	2.41	0.00	0.00	0.02	29.6	22	53
fluoranthene	air+aerosol	0.02	0.04	0.01	2.47	0.00	0.01	0.24	29.6	25	53
fluorene	air+aerosol	0.13	0.19	0.06	4.12	0.01	0.05	0.88	29.6	10	53
g_HBCD	air+aerosol	0.02	0.03	0.02	1.91	0.01	0.01	0.14	20.1	20	26
gamma_HCH	air+aerosol	0.38	0.14	0.36	1.39	0.13	0.36	0.86	29.1	0	51
inden_123cd pyrene	air+aerosol	0.00	0.01	0.00	2.14	0.00	0.00	0.04	29.6	39	53
naphthalene	air+aerosol	0.23	0.35	0.13	3.30	0.02	0.09	1.61	29.6	0	53
op_DDD	air+aerosol	0.01	0.00	0.01	1.71	0.00	0.01	0.02	27.5	23	48
op_DDE	air+aerosol	0.03	0.02	0.02	2.59	0.00	0.02	0.10	28.1	3	49
op_DDT	air+aerosol	0.06	0.04	0.04	2.21	0.01	0.05	0.17	25.1	5	44
perylene	air+aerosol	0.00	0.00	0.00	1.22	0.00	0.00	0.00	29.6	51	53
phenanthrene	air+aerosol	0.04	0.03	0.03	1.64	0.02	0.03	0.20	29.6	37	53

Component	matrix	Arit mean	Arit sd	Geom mean	Geom sd	Min	50%	Max	% anal	Num bel	Num sampl
pp_DDD	air+aerosol	0.00	0.00	0.00	1.38	0.00	0.00	0.01	27.8	38	49
pp_DDE	air+aerosol	0.25	0.28	0.14	2.78	0.03	0.16	1.50	27.8	0	49
pp_DDT	air+aerosol	0.03	0.03	0.02	2.13	0.01	0.02	0.13	28.3	19	50
pyrene	air+aerosol	0.01	0.02	0.01	2.20	0.00	0.01	0.13	29.6	27	53
retene	air+aerosol	0.00	0.00	0.00	1.93	0.00	0.00	0.03	27.9	33	50
sum_DDT	air+aerosol	0.36	0.35	0.24	2.40	0.06	0.26	1.91	29.1	0	51
sum_PCB	air+aerosol	7.20	2.32	6.79	1.35	3.65	6.75	14.28	29.1	0	51
sum_heptachlor_PCB	air+aerosol	0.07	0.02	0.07	1.34	0.04	0.06	0.11	16.3	0	27
sum_hexachlor_PCB	air+aerosol	0.36	0.11	0.35	1.35	0.18	0.34	0.63	29.1	0	51
sum_pentachlor_PCB	air+aerosol	0.76	0.23	0.72	1.35	0.40	0.69	1.42	29.1	0	51
sum_tetrachlor_PCB	air+aerosol	2.15	0.59	2.06	1.30	1.13	2.03	3.91	29.1	0	51
sum_trichlor_PCB	air+aerosol	3.89	1.51	3.59	1.42	1.93	3.48	9.01	29.1	0	51
trans_CD	air+aerosol	0.09	0.05	0.08	1.76	0.03	0.08	0.20	29.1	0	51
trans_NO	air+aerosol	0.21	0.06	0.20	1.32	0.10	0.21	0.33	29.1	0	51
triphenylene	air+aerosol	0.00	0.00	0.00	1.67	0.00	0.00	0.02	29.6	43	53

N00090R Andøya  
January 2021 - December 2021

Component	matrix	Arit mean	Arit sd	Geom mean	Geom sd	Min	50%	Max	% anal	Num bel	Num sampl
FTS_6-2	air+aerosol	0.04	0.00	0.04	1.00	0.04	0.04	0.04	91.5	11	11
HCB	air+aerosol	27.49	9.41	26.10	1.40	15.30	26.20	48.20	7.1	0	13
PFBS	air+aerosol	0.01	0.00	0.01	1.00	0.01	0.01	0.01	100.0	11	12
PFHpA	air+aerosol	0.08	0.07	0.06	1.98	0.03	0.06	0.23	100.0	0	12
PFHxA	air+aerosol	0.10	0.08	0.08	2.32	0.02	0.08	0.24	57.5	1	7
PFHxS	air+aerosol	0.01	0.00	0.01	1.00	0.01	0.01	0.01	100.0	11	12
PFNA	air+aerosol	0.04	0.04	0.03	2.13	0.01	0.03	0.13	100.0	1	12
PFOA	air+aerosol	0.08	0.05	0.07	1.67	0.04	0.07	0.23	100.0	0	12

PL0005R Diabla Gora  
January 2021 - December 2021

Component	matrix	Arit mean	Arit sd	Geom mean	Geom sd	Min	50%	Max	% anal	Num bel	Num sampl
benz_a_anthracene	pm10	0.54	0.85	0.14	7.64	0.00	0.24	4.99	99.7	0	53
benzo_a_pyrene	pm10	0.55	0.77	0.19	5.79	0.01	0.26	4.33	99.7	0	53
benzo_b_fluoranthene	pm10	0.78	1.04	0.29	5.34	0.02	0.47	5.92	99.7	0	53
benzo_k_fluoranthene	pm10	0.31	0.42	0.11	5.68	0.01	0.18	2.32	99.7	0	53
dibenzo_ah_anthracene	pm10	0.08	0.10	0.03	5.14	0.00	0.05	0.53	99.7	0	53
inden_123cd_pyrene	pm10	0.73	0.99	0.26	5.48	0.01	0.28	3.88	99.7	0	53

PL0009R Zielonka  
January 2021 - December 2021

Component	matrix	Arit mean	Arit sd	Geom mean	Geom sd	Min	50%	Max	% anal	Num bel	Num sampl
benz_a_anthracene	pm10	0.90	1.27	0.32	5.45	0.01	0.33	5.94	94.0	0	50
benzo_a_pyrene	pm10	0.87	1.00	0.41	4.21	0.03	0.50	3.50	94.0	0	50
benzo_b_fluoranthene	pm10	1.04	1.32	0.49	4.02	0.03	0.54	5.90	94.0	0	50
benzo_k_fluoranthene	pm10	0.53	0.66	0.25	3.97	0.02	0.28	3.20	94.0	0	50
dibenzo_ah_anthracene	pm10	0.06	0.07	0.03	3.63	0.00	0.04	0.27	94.0	0	50
inden_123cd_pyrene	pm10	0.72	0.78	0.39	3.57	0.03	0.50	3.15	94.0	0	50

SE0014R Råö  
January 2021 - December 2021

Component	matrix	Arit mean	Arit sd	Geom mean	Geom sd	Min	50%	Max	% anal	Num bel	Num sampl
1234678_HpCDD	air+aerosol	0.09	0.13	0.08	2.82	0.03	0.05	0.30	36.7	0	5
1234678_HpCDF	air+aerosol	0.06	0.06	0.06	2.15	0.03	0.04	0.15	36.7	0	5
1234789_HpCDD	air+aerosol	0.01	0.01	0.01	2.16	0.00	0.01	0.02	36.7	0	5
1234789_HpCDF	air+aerosol	0.08	0.07	0.07	2.17	0.04	0.04	0.17	36.7	0	5
123478_HxCDD	air+aerosol	0.16	0.20	0.16	2.40	0.07	0.10	0.48	36.7	0	5
123678_HxCDD	air+aerosol	0.11	0.14	0.10	2.76	0.04	0.05	0.31	36.7	0	5
123678_HxCDF	air+aerosol	0.13	0.18	0.13	2.58	0.06	0.07	0.43	36.7	0	5
123789_HxCDD	air+aerosol	0.09	0.11	0.08	2.59	0.04	0.04	0.25	36.7	0	5
123789_HxCDF	air+aerosol	0.06	0.07	0.07	2.01	0.03	0.05	0.18	36.7	0	5
12378_PeCDD	air+aerosol	0.85	0.97	0.60	3.13	0.20	0.52	2.40	36.7	0	5
12378_PeCDF	air+aerosol	0.03	0.04	0.03	2.27	0.02	0.02	0.09	36.7	0	5
234678_HxCDF	air+aerosol	0.16	0.21	0.16	2.53	0.07	0.09	0.51	36.7	0	5
23478_PeCDF	air+aerosol	0.58	0.77	0.56	2.59	0.27	0.30	1.80	36.7	0	5
2378_TCDD	air+aerosol	0.22	0.20	0.18	2.25	0.10	0.11	0.54	36.7	0	5
2378_TCDF	air+aerosol	0.15	0.17	0.16	2.18	0.09	0.09	0.43	36.7	0	5
BDE_100	air+aerosol	0.03	0.00	0.03	1.00	0.03	0.03	0.03	100.0	13	13
BDE_153	air+aerosol	0.04	0.00	0.04	1.00	0.04	0.04	0.04	100.0	13	13
BDE_154	air+aerosol	0.05	0.02	0.05	1.31	0.04	0.04	0.08	100.0	9	13
BDE_209	air+aerosol	0.34	0.17	0.34	1.50	0.17	0.32	0.83	90.4	0	12
BDE_47	air+aerosol	0.03	0.01	0.04	1.27	0.03	0.03	0.06	100.0	7	13
BDE_85	air+aerosol	0.09	0.07	0.06	2.02	0.04	0.04	0.23	100.0	8	13
BDE_99	air+aerosol	0.03	0.01	0.03	1.19	0.03	0.03	0.05	100.0	9	13
FTS_6-2	air+aerosol	0.17	0.12	0.13	2.10	0.05	0.15	0.46	100.0	0	13
HCB	air+aerosol	19.92	2.86	18.96	1.21	10.00	20.00	20.00	100.0	0	13
OCDD	air+aerosol	0.01	0.01	0.01	2.51	0.00	0.00	0.02	36.7	0	5
OCDF	air+aerosol	0.01	0.01	0.00	3.27	0.00	0.00	0.02	36.7	0	5
PCB_101	air+aerosol	0.92	0.63	0.71	1.95	0.32	0.60	2.32	100.0	0	13
PCB_118	air+aerosol	0.29	0.20	0.22	1.97	0.10	0.20	0.71	100.0	0	13
PCB_138	air+aerosol	0.63	0.46	0.47	2.01	0.20	0.41	1.75	100.0	0	13
PCB_153	air+aerosol	0.63	0.38	0.51	1.82	0.22	0.48	1.48	100.0	0	13
PCB_180	air+aerosol	0.19	0.14	0.15	1.85	0.06	0.15	0.58	100.0	0	13
PCB_28	air+aerosol	0.72	0.22	0.71	1.34	0.46	0.75	1.09	100.0	0	13
PCB_52	air+aerosol	1.35	0.90	1.03	1.96	0.48	0.81	3.03	100.0	0	13
PFBA	air+aerosol	3.57	1.91	2.93	1.74	1.28	3.02	7.57	100.0	0	13
PFBS	air+aerosol	0.05	0.00	0.05	1.00	0.05	0.05	0.05	100.0	0	13
PFDecA	air+aerosol	0.07	0.03	0.07	1.40	0.05	0.06	0.13	100.0	0	13
PFDecS	air+aerosol	0.05	0.00	0.05	1.03	0.05	0.05	0.06	100.0	0	13
PFHpA	air+aerosol	0.15	0.07	0.13	1.64	0.05	0.13	0.26	100.0	0	13
PFHxA	air+aerosol	0.33	0.14	0.30	1.70	0.09	0.33	0.55	100.0	0	13
PFHxS	air+aerosol	0.07	0.02	0.07	1.28	0.05	0.07	0.09	100.0	0	13
PFNA	air+aerosol	0.22	0.07	0.20	1.49	0.09	0.24	0.29	100.0	0	13
PFOA	air+aerosol	0.48	0.13	0.44	1.36	0.23	0.47	0.62	100.0	0	13
PFOS	air+aerosol	0.45	0.19	0.38	1.74	0.11	0.45	0.73	100.0	0	13
PFOSA	air+aerosol	0.05	0.00	0.05	1.00	0.05	0.05	0.05	100.0	0	13
PFUnA	air+aerosol	0.05	0.00	0.05	1.00	0.05	0.05	0.05	100.0	0	13
aldrin	air+aerosol	0.12	0.04	0.11	1.30	0.10	0.10	0.20	100.0	10	13
alpha_HCH	air+aerosol	1.34	0.58	1.01	3.01	0.03	1.50	2.24	100.0	1	13
alpha_endosulfan	air+aerosol	0.33	0.22	0.26	2.07	0.10	0.33	0.80	99.2	3	12
anthracene	air+aerosol	0.01	0.03	0.01	3.49	0.00	0.01	0.11	100.0	0	13
benz_a_anthracene	air+aerosol	0.02	0.04	0.01	2.83	0.00	0.01	0.16	100.0	0	13

benzo_a_pyrene	air+aerosol	0.02	0.05	0.01	4.30	0.00	0.01	0.20	100.0	0	13
benzo_b_fluoranthene	air+aerosol	0.02	0.08	0.01	4.46	0.00	0.02	0.29	100.0	0	13
benzo_ghi_perylene	air+aerosol	0.02	0.04	0.01	3.91	0.00	0.02	0.13	100.0	0	13
benzo_k_fluoranthene	air+aerosol	0.01	0.04	0.01	3.71	0.00	0.01	0.13	100.0	0	13
beta_endosulfan	air+aerosol	0.10	0.01	0.10	1.06	0.08	0.10	0.10	100.0	13	13
chrysene	air+aerosol	0.03	0.08	0.02	3.33	0.00	0.02	0.31	100.0	0	13
dibenzo_ah_anthracene	air+aerosol	0.00	0.01	0.00	4.86	0.00	0.00	0.04	100.0	1	13
fluoranthene	air+aerosol	0.18	0.28	0.16	2.47	0.06	0.16	1.06	100.0	0	13
gamma_HCH	air+aerosol	2.00	1.33	1.28	3.55	0.03	1.28	4.47	100.0	0	13
inden_123cd_pyrene	air+aerosol	0.02	0.05	0.01	4.15	0.00	0.02	0.19	100.0	0	13
phenanthrene	air+aerosol	0.58	0.65	0.55	2.06	0.23	0.47	2.49	100.0	0	13
pp_DDD	air+aerosol	0.16	0.18	0.10	2.81	0.02	0.11	0.65	91.0	2	12
pp_DDE	air+aerosol	1.09	1.03	0.99	2.10	0.27	0.97	3.40	100.0	0	13
pp_DDT	air+aerosol	0.19	0.12	0.17	2.07	0.03	0.21	0.43	100.0	1	13
pyrene	air+aerosol	0.12	0.19	0.10	2.72	0.03	0.10	0.68	100.0	0	13

SE0020R Hallahus  
January 2021 - December 2021

Component	matrix	Arit mean	Arit sd	Geom mean	Geom sd	Min	50%	Max	% anal	Num bel	Num sampl
anthracene	air+aerosol	0.00	0.01	0.00	6.15	0.00	0.00	0.04	100.0	3	13
benz_a_anthracene	air+aerosol	0.02	0.10	0.01	5.93	0.00	0.01	0.35	100.0	4	13
benzo_a_pyrene	air+aerosol	0.04	0.11	0.02	4.93	0.00	0.01	0.38	100.0	0	13
benzo_b_fluoranthene	air+aerosol	0.04	0.16	0.02	6.37	0.00	0.02	0.56	100.0	2	13
benzo_ghi_perylene	air+aerosol	0.05	0.12	0.03	4.27	0.00	0.02	0.43	100.0	0	13
benzo_k_fluoranthene	air+aerosol	0.03	0.07	0.01	4.51	0.00	0.01	0.25	100.0	0	13
chrysene	air+aerosol	0.05	0.13	0.03	4.66	0.00	0.02	0.44	100.0	0	13
dibenzo_ah_anthracene	air+aerosol	0.01	0.03	0.00	4.36	0.00	0.00	0.09	100.0	2	13
fluoranthene	air+aerosol	0.08	0.20	0.04	4.70	0.01	0.04	0.64	100.0	0	13
inden_123cd_pyrene	air+aerosol	0.05	0.12	0.03	4.34	0.00	0.02	0.41	100.0	0	13
phenanthrene	air+aerosol	0.05	0.09	0.03	3.78	0.01	0.02	0.26	100.0	4	13
pyrene	air+aerosol	0.08	0.19	0.04	5.02	0.00	0.03	0.62	100.0	0	13

SE0022R Norunda Stenen  
January 2021 - December 2021

Component	matrix	Arit mean	Arit sd	Geom mean	Geom sd	Min	50%	Max	% anal	Num bel	Num sampl
1234678_HpCDD	air+aerosol	0.04	0.03	0.03	2.17	0.01	0.03	0.09	33.7	0	4
1234678_HpCDF	air+aerosol	0.04	0.02	0.03	1.60	0.02	0.03	0.06	33.7	0	4
1234789_HpCDD	air+aerosol	0.01	0.00	0.00	1.70	0.00	0.01	0.01	33.7	0	4
123478_HxCDD	air+aerosol	0.04	0.02	0.03	1.75	0.02	0.03	0.07	33.7	0	4
123478_HxCDF	air+aerosol	0.12	0.06	0.10	1.89	0.04	0.11	0.20	33.7	0	4
123678_HxCDD	air+aerosol	0.05	0.04	0.04	1.95	0.02	0.03	0.11	33.7	0	4
123678_HxCDF	air+aerosol	0.08	0.05	0.07	1.93	0.03	0.07	0.16	33.7	0	4
123789_HxCDD	air+aerosol	0.04	0.03	0.03	1.90	0.02	0.03	0.08	33.7	0	4
123789_HxCDF	air+aerosol	0.06	0.03	0.06	1.49	0.04	0.06	0.10	33.7	0	4
12378_PeCDD	air+aerosol	0.48	0.28	0.41	1.97	0.18	0.47	0.79	33.7	0	4
12378_PeCDF	air+aerosol	0.04	0.02	0.03	2.20	0.01	0.04	0.06	33.7	0	4
234678_HxCDF	air+aerosol	0.11	0.07	0.10	1.81	0.05	0.09	0.21	33.7	0	4
23478_PeCDF	air+aerosol	0.58	0.40	0.43	2.40	0.15	0.53	1.02	33.7	0	4
2378_TCDF	air+aerosol	0.29	0.18	0.24	2.07	0.09	0.27	0.52	33.7	0	4
2378_TCDD	air+aerosol	0.19	0.10	0.16	1.99	0.06	0.20	0.29	33.7	0	4
BDE_100	air+aerosol	0.03	0.00	0.03	1.00	0.03	0.03	0.03	100.0	12	12
BDE_153	air+aerosol	0.03	0.00	0.03	1.00	0.03	0.03	0.03	100.0	12	12
BDE_154	air+aerosol	0.03	0.00	0.03	1.00	0.03	0.03	0.03	100.0	12	12
BDE_47	air+aerosol	0.03	0.01	0.03	1.28	0.03	0.03	0.07	100.0	8	12
BDE_85	air+aerosol	0.03	0.00	0.03	1.00	0.03	0.03	0.03	100.0	12	12
BDE_99	air+aerosol	0.04	0.03	0.03	1.52	0.03	0.03	0.13	100.0	11	12
HCb	air+aerosol	20.00	0.00	20.00	1.00	20.00	20.00	20.00	100.0	0	12
OCDD	air+aerosol	0.00	0.00	0.00	1.97	0.00	0.00	0.01	33.7	0	4
OCDF	air+aerosol	0.01	0.01	0.01	2.89	0.00	0.01	0.03	33.7	0	4
PCB_101	air+aerosol	0.43	0.21	0.38	1.61	0.22	0.38	0.80	100.0	0	12
PCB_118	air+aerosol	0.12	0.06	0.11	1.57	0.07	0.09	0.26	100.0	0	12
PCB_138	air+aerosol	0.24	0.15	0.21	1.79	0.09	0.20	0.53	100.0	0	12
PCB_153	air+aerosol	0.27	0.16	0.23	1.75	0.12	0.21	0.62	100.0	0	12
PCB_180	air+aerosol	0.08	0.04	0.07	1.58	0.04	0.07	0.15	100.0	2	12
PCB_28	air+aerosol	0.60	0.10	0.59	1.19	0.43	0.60	0.76	100.0	0	12
PCB_52	air+aerosol	0.60	0.18	0.58	1.36	0.39	0.60	0.87	100.0	0	12
alpha_HCH	air+aerosol	1.67	0.43	1.62	1.31	1.11	1.80	2.42	100.0	0	12
anthracene	air+aerosol	0.02	0.02	0.01	2.57	0.00	0.01	0.06	100.0	0	12
benz_a_anthracene	air+aerosol	0.02	0.01	0.01	2.06	0.00	0.01	0.04	100.0	0	12
benzo_a_pyrene	air+aerosol	0.02	0.02	0.01	3.44	0.00	0.01	0.06	100.0	0	12
benzo_b_fluoranthene	air+aerosol	0.02	0.02	0.01	3.24	0.00	0.01	0.06	100.0	0	12
benzo_ghi_perylene	air+aerosol	0.02	0.02	0.01	3.36	0.00	0.01	0.05	100.0	0	12
benzo_k_fluoranthene	air+aerosol	0.01	0.01	0.01	3.04	0.00	0.01	0.04	100.0	0	12
chrysene	air+aerosol	0.04	0.04	0.03	3.02	0.00	0.03	0.13	100.0	0	12
dibenzo_ah_anthracene	air+aerosol	0.00	0.00	0.00	3.51	0.00	0.00	0.01	100.0	0	12
fluoranthene	air+aerosol	0.18	0.14	0.14	2.13	0.06	0.13	0.49	100.0	0	12
gamma_HCH	air+aerosol	1.53	0.76	1.37	1.68	0.55	1.39	3.12	100.0	0	12
inden_123cd_pyrene	air+aerosol	0.02	0.02	0.01	3.50	0.00	0.02	0.07	100.0	0	12
phenanthrene	air+aerosol	0.57	0.36	0.48	1.79	0.23	0.41	1.29	100.0	0	12
pp_DDD	air+aerosol	0.44	0.74	0.18	3.53	0.04	0.14	2.56	100.0	0	12
pp_DDE	air+aerosol	0.90	0.43	0.80	1.70	0.21	0.82	1.93	100.0	0	12
pp_DDT	air+aerosol	0.26	0.13	0.22	1.82	0.07	0.23	0.48	100.0	0	12
pyrene	air+aerosol	0.12	0.10	0.09	2.34	0.03	0.09	0.37	100.0	0	12

SI0008R Iskrba  
January 2021 - December 2021

Component	matrix	Arit mean	Arit sd	Geom mean	Geom sd	Min	50%	Max	% anal	Num bel	Num sampl
benz_a_anthracene	pm10	0.08	0.12	0.03	4.10	0.01	0.01	0.60	33.4	63	122
benzo_a_pyrene	pm10	0.16	0.23	0.05	5.18	0.01	0.07	1.11	33.4	54	122
benzo_bjk_fluoranthenes	pm10	0.40	0.48	0.18	4.01	0.03	0.22	2.31	33.4	41	122
dibenzo_ah_anthracene	pm10	0.03	0.04	0.02	2.81	0.01	0.01	0.16	33.4	81	122
inden_123cd_pyrene	pm10	0.17	0.22	0.06	5.33	0.01	0.08	0.99	33.4	50	122

## **Appendix E**

### **Monthly and annual mean values for heavy metals in precipitation**

Site	Comp	Matrix	jan	feb	mar	apr	may	june	july	aug	sept	oct	nov	dec	2021	capture
FI0018R	aluminium	precip	10,9	34,0	24,5	58,7	23,1	107,1	129,7	7,1	20,1	16,0	9,0	7,9	25,1	100
FI0036R	aluminium	precip	1,2	8,9	12,2	4,0	17,5	7,7	13,8	1,9	1,6	0,7	1,6	1,2	5,7	100
FI0050R	aluminium	precip	2,9	105,7	40,3	14,9	17,3	43,9	30,1	2,7	8,5	3,5	6,7	3,4	17,9	100
FI0053R	aluminium	precip	4,6	13,3	26,4	12,6	33,6	43,1	19,3	3,2	4,9	3,7	14,8	9,2	13,6	100
FI0092R	aluminium	precip	1,9	12,6	8,8	19,2	5,7	37,7	11,1	5,5	4,5	3,2	2,8	1,7	8,4	100
FI0093R	aluminium	precip	3,4	47,0	19,0	13,4	13,6	49,4	24,3	2,5	15,1	3,0	3,4	2,3	14,2	100
GB0048R	aluminium	precip	0,3	0,3	0,3	-	1,6	8,2	1,9	1,2	0,7	0,3	0,3	0,3	0,8	75
GB1055R	aluminium	precip	0,3	11,1	-	-	0,9	-	0,3	0,3	4,2	0,6	1,2	0,3	1,7	41
IS0091R	aluminium	precip	51,3	359,0	222,4	94,9	133,7	336,6	177,8	53,6	71,1	93,5	151,1	37,4	124,0	100
DE0001R	antimony	precip	0,065	0,074	0,105	0,145	0,110	0,069	0,062	0,079	0,133	0,057	0,093	0,077	0,076	72
DE0002R	antimony	precip	0,051	0,055	0,102	0,091	0,108	0,071	0,105	0,060	0,193	0,107	0,119	0,096	0,088	85
DE0003R	antimony	precip	0,027	0,043	0,150	0,089	0,099	0,082	0,084	0,061	0,107	0,077	0,070	0,048	0,061	52
DE0007R	antimony	precip	0,051	0,063	0,101	0,131	0,125	0,136	0,064	0,047	0,093	0,096	0,072	0,062	0,075	82
DE0008R	antimony	precip	0,081	0,068	0,130	0,161	0,193	0,062	0,071	0,063	0,138	0,094	0,097	0,062	0,087	78
DE0009R	antimony	precip	0,065	0,094	0,070	0,119	0,124	0,159	0,071	0,051	0,090	0,068	0,087	0,088	0,079	75
GB0048R	antimony	precip	-	-	0,005	-	0,027	0,068	0,108	0,034	0,014	0,008	0,012	0,005	0,020	47
GB1055R	antimony	precip	-	0,052	-	-	0,035	-	-	0,042	0,054	0,019	0,049	-	-	-
BE0014R	arsenic	precip	0,038	0,038	0,071	0,148	0,074	0,060	0,057	0,049	0,026	0,030	0,035	0,034	0,047	100
DE0001R	arsenic	precip	0,033	0,047	0,040	0,129	0,058	0,067	0,035	0,041	0,031	0,030	0,074	0,032	0,045	99
DE0002R	arsenic	precip	0,037	0,050	0,053	0,069	0,076	0,073	0,037	0,037	0,110	0,036	0,113	0,038	0,057	93
DE0003R	arsenic	precip	0,009	0,031	0,034	0,046	0,019	0,032	0,022	0,032	0,034	0,028	0,028	0,015	0,023	97
DE0007R	arsenic	precip	0,037	0,041	0,059	0,134	0,127	0,092	0,046	0,029	0,051	0,121	0,062	0,045	0,062	82
DE0008R	arsenic	precip	0,041	0,064	0,062	0,094	0,049	0,058	0,053	0,029	0,056	0,042	0,045	0,022	0,047	97
DE0009R	arsenic	precip	0,044	0,056	0,041	0,153	0,081	0,138	0,023	0,026	0,059	0,054	-	0,046	0,053	97

Site	Comp	Matrix	jan	feb	mar	apr	may	june	july	aug	sept	oct	nov	dec	2021	capture
DK0005R	arsenic	precip	0,066	0,165	0,241	0,513	0,159	0,315	0,304	0,073	0,105	0,047	0,079	0,097	0,153	100
DK0008R	arsenic	precip	0,005	0,185	0,619	0,295	0,185	0,465	0,226	0,066	0,146	0,099	0,097	0,104	0,154	100
DK0012R	arsenic	precip	0,054	0,138	0,052	0,140	0,167	0,309	0,083	0,056	0,083	0,047	0,115	0,027	0,086	100
DK0022R	arsenic	precip	0,092	0,098	0,125	0,242	0,097	0,130	0,070	0,028	0,064	0,036	0,072	0,044	0,079	100
DK0031R	arsenic	precip	0,057	0,065	0,066	0,176	0,103	0,147	0,079	0,058	0,098	0,042	0,045	0,027	0,067	100
EE0009R	arsenic	precip	0,097	0,072	0,028	0,037	0,064	0,128	0,015	0,015	0,015	0,015	0,018	0,044	0,036	100
ES0008R	arsenic	precip	0,052	0,069	0,149	0,115	0,096	0,070	0,226	0,095	0,093	0,110	0,111	0,093	0,090	100
ES0009R	arsenic	precip	0,020	0,046	0,167	0,105	0,070	0,141	0,199	0,168	0,071	0,095	0,059	0,032	0,084	100
FI0018R	arsenic	precip	0,135	0,068	0,091	0,097	0,074	0,078	0,084	0,028	0,045	0,076	0,061	0,082	0,071	100
FI0036R	arsenic	precip	0,059	0,020	0,065	0,025	0,058	0,019	0,023	0,017	0,024	0,012	0,029	0,018	0,027	100
FI0050R	arsenic	precip	0,075	0,068	0,233	0,073	0,079	0,088	0,040	0,024	0,054	0,065	0,058	0,044	0,060	100
FI0053R	arsenic	precip	0,068	0,045	0,190	0,079	0,084	0,087	0,042	0,025	0,022	0,050	0,092	0,059	0,057	100
FI0092R	arsenic	precip	0,059	0,035	0,045	0,089	0,040	0,101	0,017	0,026	0,025	0,055	0,028	0,025	0,043	100
FI0093R	arsenic	precip	0,073	0,057	0,069	0,057	0,057	0,084	0,036	0,020	0,065	0,066	0,033	0,047	0,053	100
FR0008R	arsenic	precip_tot	0,041	0,041	0,049	0,047	0,037	0,041	0,037	0,559	0,465	0,085	0,061	0,020	0,105	90
FR0009R	arsenic	precip_tot	0,041	0,064	0,147	0,088	0,061	0,045	0,049	0,067	0,040	0,079	0,068	0,052	0,061	100
FR0013R	arsenic	precip_tot	0,025	0,088	0,145	0,087	0,061	0,074	0,076	0,118	0,074	0,115	0,063	0,052	0,071	100
FR0023R	arsenic	precip_tot	0,066	0,187	0,127	0,062	0,049	0,097	0,077	0,064	0,066	0,049	0,032	0,016	0,072	100
FR0025R	arsenic	precip_tot	0,053	0,089	0,096	0,379	0,428	0,082	0,067	0,251	0,052	0,060	0,078	0,032	0,115	100
FR0028R	arsenic	precip_tot	0,033	0,044	0,084	0,133	0,147	0,063	0,067	0,113	0,054	0,080	0,090	0,136	0,080	100
FR0090R	arsenic	precip	0,080	0,119	0,226	0,230	0,360	0,274	0,081	0,070	0,070	0,020	0,058	0,080	0,122	100
GB0006R	arsenic	precip	0,096	0,182	0,116	0,080	0,098	0,217	0,216	0,094	0,101	0,080	0,113	0,160	0,123	96
GB0013R	arsenic	precip	0,059	0,132	0,106	0,271	0,053	0,042	0,316	0,063	0,062	0,034	0,101	0,061	0,093	92
GB0017R	arsenic	precip	0,085	0,108	0,152	0,139	0,137	-	0,119	0,152	0,119	0,049	0,176	0,101	0,112	78

Site	Comp	Matrix	jan	feb	mar	apr	may	june	july	aug	sept	oct	nov	dec	2021	capture
GB0048R	arsenic	precip	-	-	-	-	0,052	0,101	0,142	0,035	0,036	0,015	0,011	-	0,038	37
GB1055R	arsenic	precip	-	0,088	-	-	0,045	-	-	0,044	0,129	0,010	0,010	-	-	-
IS0091R	arsenic	precip	0,050	0,068	0,066	0,110	0,080	0,080	0,096	0,081	0,026	0,050	0,026	0,025	0,054	100
LV0010R	arsenic	precip	0,223	0,189	0,100	0,100	0,100	0,100	0,181	0,100	0,100	0,100	0,163	0,100	0,127	99
NL0010R	arsenic	precip	0,046	0,072	0,131	0,165	0,242	0,200	0,129	0,152	0,128	0,070	0,116	0,060	0,112	100
NL0091R	arsenic	precip	0,025	0,034	0,087	0,144	0,069	0,057	0,067	0,071	0,034	0,016	0,037	0,046	0,049	100
NO0001R	arsenic	precip	0,030	0,083	0,053	0,026	0,047	0,134	0,146	0,034	0,084	0,030	0,048	0,045	0,056	100
NO0039R	arsenic	precip	0,025	0,025	0,026	0,029	0,025	0,060	0,121	0,026	0,063	0,025	0,025	0,025	0,036	100
NO0056R	arsenic	precip	0,033	0,100	0,218	0,144	0,097	0,157	0,093	0,100	0,083	0,048	0,038	0,038	0,087	100
PL0005R	arsenic	precip	0,150	0,200	0,216	0,200	0,293	0,208	0,230	0,203	0,250	0,259	0,268	0,240	0,229	100
SE0005R	arsenic	precip	0,020	0,039	0,049	0,040	0,135	0,031	0,040	0,021	0,022	0,040	0,021	0,020	0,038	100
SE0014R	arsenic	precip	0,052	0,210	0,099	0,250	0,163	0,285	0,020	0,040	0,050	0,086	0,061	0,090	0,100	100
SE0020R	arsenic	precip	0,060	0,118	0,092	0,240	0,082	0,100	0,100	0,044	0,090	0,072	0,100	0,058	0,083	100
SE0022R	arsenic	precip	0,060	0,101	0,133	0,068	0,060	0,069	0,060	0,023	0,060	0,111	0,062	0,030	0,063	100
SI0008R	arsenic	precip	0,026	0,025	0,058	0,044	0,025	0,025	0,037	0,029	0,028	0,027	0,046	0,025	0,033	100
SK0002R	arsenic	precip	0,889	0,116	0,071	-	-	0,405	-	-	0,392	0,584	0,879	0,578	0,524	57
SK0004R	arsenic	precip	0,024	0,023	0,736	0,208	0,022	0,117	0,683	0,414	0,283	-	-	0,024	0,302	93
SK0006R	arsenic	precip	0,180	0,347	0,606	0,707	0,368	0,534	0,138	0,441	0,607	0,290	0,292	-	0,395	71
SK0007R	arsenic	precip	0,048	0,562	-	0,045	0,591	-	0,073	-	-	-	-	0,633	-	-
GB0048R	barium	precip	0,030	0,030	0,030	-	0,187	0,487	0,551	0,102	0,051	0,030	0,038	0,030	0,083	65
GB1055R	barium	precip	-	1,102	-	-	0,280	-	-	0,181	0,414	0,442	1,311	0,030	0,375	28
GB0048R	beryllium	precip	0,002	0,002	0,002	0,002	0,002	0,002	0,002	0,002	0,002	0,002	0,002	0,002	0,002	66
GB1055R	beryllium	precip	-	-	-	-	0,002	-	-	-	-	-	-	-	-	-
BE0014R	cadmium	precip	0,016	0,020	0,023	0,050	0,028	0,015	0,022	0,027	0,005	0,009	0,014	0,013	0,017	100



Site	Comp	Matrix	jan	feb	mar	apr	may	june	july	aug	sept	oct	nov	dec	2021	capture
CZ0003R	cadmium	precip	0,029	0,033	0,039	0,060	0,025	0,029	0,025	0,040	0,059	0,022	0,028	0,027	0,032	97
CZ0005R	cadmium	precip	0,017	0,017	0,027	0,041	0,025	0,017	0,029	0,017	0,017	0,056	0,110	0,086	0,036	100
DE0001R	cadmium	precip	0,011	0,015	0,015	0,024	0,016	0,013	0,007	0,011	0,006	0,009	0,015	0,008	0,011	93
DE0002R	cadmium	precip	0,010	0,015	0,018	0,028	0,024	0,011	0,009	0,009	0,019	0,012	0,029	0,011	0,016	93
DE0003R	cadmium	precip	0,002	0,005	0,010	0,012	0,005	0,011	0,005	0,008	0,009	0,008	0,011	0,004	0,006	96
DE0007R	cadmium	precip	0,014	0,008	0,017	0,029	0,024	0,012	0,009	0,012	0,014	0,021	0,013	0,010	0,014	95
DE0008R	cadmium	precip	0,015	0,014	0,021	0,031	0,018	0,013	0,014	0,008	0,014	0,012	-	0,008	0,014	100
DE0009R	cadmium	precip	0,013	0,014	0,009	0,027	0,020	0,019	0,005	0,007	0,016	0,012	0,016	0,012	0,013	100
DK0005R	cadmium	precip	0,025	0,051	0,252	0,190	0,102	0,088	0,163	0,062	0,048	0,012	0,031	0,124	0,087	100
DK0008R	cadmium	precip	0,017	0,021	0,019	0,033	0,027	0,072	0,026	0,009	0,016	0,013	0,013	0,018	0,019	100
DK0012R	cadmium	precip	0,043	0,038	0,020	0,087	0,103	0,096	0,026	0,010	0,023	0,017	0,076	0,027	0,040	100
DK0022R	cadmium	precip	0,012	0,022	0,020	0,074	0,025	0,044	0,018	0,012	0,007	0,008	0,019	0,012	0,019	100
DK0031R	cadmium	precip	0,034	0,015	0,016	0,032	0,016	0,024	0,018	0,007	0,011	0,008	0,009	0,004	0,014	100
EE0009R	cadmium	precip	0,037	0,030	0,010	0,013	0,025	0,024	0,010	0,010	0,013	0,010	0,013	0,019	0,016	100
EE0011R	cadmium	precip	0,040	0,031	0,010	0,060	0,020	0,010	0,010	0,010	0,030	0,020	0,010	0,020	0,020	100
ES0008R	cadmium	precip	0,026	0,041	0,052	0,047	0,081	0,057	0,212	0,090	0,104	0,152	0,084	0,149	0,078	100
ES0009R	cadmium	precip	0,109	0,041	0,104	0,384	0,478	0,273	0,133	0,490	0,582	0,909	0,758	0,352	0,405	100
FI0018R	cadmium	precip	0,035	0,016	0,025	0,021	0,026	0,016	0,013	0,006	0,022	0,013	0,021	0,053	0,020	100
FI0036R	cadmium	precip	0,005	0,003	0,018	0,004	0,014	0,005	0,003	0,003	0,005	0,003	0,008	0,004	0,006	100
FI0050R	cadmium	precip	0,018	0,017	0,045	0,017	0,027	0,016	0,016	0,010	0,013	0,016	0,037	0,013	0,018	100
FI0053R	cadmium	precip	0,014	0,009	0,041	0,019	0,018	0,018	0,012	0,006	0,007	0,015	0,026	0,016	0,014	100
FI0092R	cadmium	precip	0,016	0,007	0,014	0,026	0,015	0,021	0,017	0,011	0,006	0,013	0,007	0,006	0,014	100
FI0093R	cadmium	precip	0,017	0,013	0,016	0,011	0,017	0,016	0,011	0,004	0,012	0,013	0,011	0,010	0,012	100
FR0008R	cadmium	precip_tot	0,003	0,004	0,023	0,022	0,019	0,024	0,020	0,404	0,429	0,055	0,017	0,012	0,071	90

Site	Comp	Matrix	jan	feb	mar	apr	may	june	july	aug	sept	oct	nov	dec	2021	capture
FR0009R	cadmium	precip_tot	0,004	0,012	0,079	0,098	0,045	0,058	0,054	0,051	0,041	0,035	0,030	0,018	0,038	100
FR0013R	cadmium	precip_tot	0,002	0,010	0,051	0,024	0,013	0,018	0,024	0,025	0,010	0,023	0,037	0,015	0,017	100
FR0023R	cadmium	precip_tot	0,006	0,023	0,066	0,019	0,016	0,033	0,030	0,024	0,063	0,038	0,021	0,016	0,030	100
FR0025R	cadmium	precip_tot	0,003	0,010	0,036	0,028	0,027	0,031	0,025	0,058	0,006	0,012	0,022	0,013	0,020	100
FR0028R	cadmium	precip_tot	0,001	0,005	0,035	0,017	0,015	0,014	0,017	0,033	0,017	0,007	0,032	0,016	0,014	100
FR0090R	cadmium	precip	0,022	0,100	0,071	0,070	0,077	0,071	0,010	0,045	0,012	0,004	0,009	0,011	0,037	100
GB0006R	cadmium	precip	0,003	0,004	0,004	0,003	0,001	0,004	0,004	0,002	0,001	0,003	0,001	0,001	0,002	96
GB0013R	cadmium	precip	0,009	0,008	0,005	0,013	0,002	0,001	0,034	0,001	0,006	0,003	0,013	0,009	0,008	92
GB0017R	cadmium	precip	0,012	0,011	0,007	0,008	0,008	-	0,004	0,010	0,005	0,008	0,011	0,005	0,008	78
GB0048R	cadmium	precip	0,001	0,001	0,001	0,001	0,001	0,002	0,005	0,001	0,001	0,002	0,002	0,001	0,001	77
GB1055R	cadmium	precip	0,001	0,001	0,001	-	0,002	-	-	0,001	0,002	0,001	0,003	0,001	0,001	47
HU0002R	cadmium	precip	0,156	0,060	0,216	0,062	0,060	0,198	0,200	0,162	0,060	0,060	0,060	0,060	0,101	100
IS0091R	cadmium	precip	0,007	0,042	0,039	0,041	0,019	0,060	0,040	0,031	0,007	0,010	0,009	0,011	0,021	100
LV0010R	cadmium	precip	0,045	0,078	0,013	0,019	0,011	0,011	0,010	0,010	0,011	0,012	0,013	0,026	0,016	99
NL0010R	cadmium	precip	0,056	0,036	0,056	0,048	0,111	0,090	0,040	0,067	0,080	0,029	0,033	0,020	0,054	100
NL0091R	cadmium	precip	0,004	0,020	0,021	0,025	0,019	0,019	0,011	0,019	0,014	0,010	0,013	0,008	0,014	97
NO0001R	cadmium	precip	0,008	0,022	0,017	0,012	0,013	0,033	0,035	0,013	0,022	0,009	0,012	0,013	0,015	100
NO0039R	cadmium	precip	0,002	0,005	0,007	0,003	0,005	0,012	0,017	0,011	0,010	0,002	0,002	0,003	0,006	100
NO0056R	cadmium	precip	0,011	0,037	0,029	0,013	0,021	0,025	0,014	0,018	0,014	0,011	0,008	0,012	0,017	100
PL0004R	cadmium	precip	0,010	0,013	0,016	0,032	0,012	0,022	0,011	0,011	0,029	0,007	0,014	0,006	0,013	100
PL0005R	cadmium	precip	0,010	0,010	0,046	0,070	0,069	0,026	0,040	0,030	0,020	0,037	0,029	0,020	0,037	100
SE0005R	cadmium	precip	0,010	0,029	0,020	0,020	0,030	0,012	0,040	0,002	0,001	0,010	0,010	0,010	0,014	100
SE0014R	cadmium	precip	0,013	0,020	0,022	0,040	0,176	0,055	0,010	0,057	0,020	0,020	0,010	0,020	0,057	100
SE0020R	cadmium	precip	0,020	0,014	0,022	0,180	0,022	0,140	0,140	0,013	0,010	0,019	0,020	0,014	0,034	100

Site	Comp	Matrix	jan	feb	mar	apr	may	june	july	aug	sept	oct	nov	dec	2021	capture
SE0022R	cadmium	precip	0,020	0,020	0,038	0,020	0,020	0,020	0,020	0,001	0,010	0,027	0,020	0,010	0,017	100
SI0008R	cadmium	precip	0,012	0,005	0,015	0,012	0,005	0,007	0,008	0,014	0,007	0,006	0,010	0,005	0,008	100
SK0002R	cadmium	precip	0,037	0,022	0,049	0,276	0,855	0,029	0,127	0,021	0,084	0,047	0,509	0,510	0,203	100
SK0004R	cadmium	precip	0,042	0,073	0,158	0,052	0,094	0,186	0,067	0,096	0,597	0,357	0,012	0,197	0,146	100
SK0006R	cadmium	precip	0,047	0,092	0,088	0,321	0,219	0,324	0,151	0,157	0,454	1,949	0,118	-	0,192	100
SK0007R	cadmium	precip	0,054	0,042	-	0,031	0,042	0,161	0,262	0,028	0,025	0,094	0,092	0,166	0,091	100
GB0048R	cesium	precip	0,001	0,001	0,001	0,001	0,001	0,001	0,002	0,001	0,001	0,001	0,001	0,001	0,001	82
GB1055R	cesium	precip	0,001	0,002	0,001	-	0,001	0,001	0,001	0,001	0,002	0,001	0,001	0,001	0,001	64
BE0014R	chromium	precip	0,067	0,081	0,128	0,172	0,136	0,177	0,146	0,161	0,039	0,059	0,018	0,052	0,093	100
CZ0003R	chromium	precip	0,090	0,206	0,148	0,300	0,125	0,106	0,147	0,083	0,167	0,796	0,160	0,242	0,160	97
CZ0005R	chromium	precip	0,038	0,042	0,068	0,078	0,023	0,108	0,080	0,102	0,077	0,058	0,019	0,019	0,051	100
DE0001R	chromium	precip	0,040	0,136	0,052	0,164	0,074	0,040	0,038	0,072	0,070	0,033	0,040	0,049	0,054	99
DE0002R	chromium	precip	0,052	0,078	0,090	0,106	0,081	0,106	0,050	0,061	0,140	0,087	0,058	0,043	0,074	91
DE0003R	chromium	precip	0,020	0,060	0,054	0,081	0,030	0,054	0,039	0,055	0,086	0,053	0,072	0,030	0,044	91
DE0007R	chromium	precip	0,041	0,063	0,066	0,096	0,134	0,035	0,035	0,062	0,061	0,065	0,026	0,034	0,060	100
DE0008R	chromium	precip	0,080	0,083	0,101	0,140	0,067	0,068	0,068	0,050	0,181	0,098	0,038	0,026	0,071	97
DE0009R	chromium	precip	0,056	0,075	0,070	0,127	0,098	0,130	0,037	0,035	0,090	0,042	0,055	0,059	0,063	100
DK0005R	chromium	precip	1,186	6,240	0,293	0,262	1,305	2,140	1,301	1,078	0,424	0,038	0,151	0,246	1,012	94
DK0008R	chromium	precip	0,286	0,104	0,580	0,466	0,265	1,027	0,219	0,052	0,089	0,027	-	0,061	0,177	100
DK0012R	chromium	precip	0,091	0,087	0,189	0,274	0,167	0,875	0,253	0,065	0,098	0,036	0,107	0,036	0,134	100
DK0022R	chromium	precip	0,153	0,131	0,171	0,346	0,116	0,205	0,090	0,041	0,034	0,017	0,025	0,035	0,094	100
DK0031R	chromium	precip	0,079	0,104	0,077	0,269	0,117	0,218	0,097	0,033	0,045	0,028	0,015	0,016	0,067	100
ES0008R	chromium	precip	0,851	0,469	1,428	0,751	1,353	0,329	4,383	1,812	0,578	0,535	0,555	0,691	0,765	100
ES0009R	chromium	precip	0,271	0,216	0,849	0,700	0,252	2,957	0,807	1,013	0,323	0,639	0,636	0,945	0,745	100

Site	Comp	Matrix	jan	feb	mar	apr	may	june	july	aug	sept	oct	nov	dec	2021	capture
FI0018R	chromium	precip	0,062	0,063	0,117	0,119	0,070	0,142	0,156	0,044	0,075	0,034	0,039	0,051	0,064	100
FI0036R	chromium	precip	0,026	0,030	0,065	0,048	0,061	0,055	0,054	0,038	0,033	0,018	0,054	0,035	0,041	100
FI0050R	chromium	precip	0,035	0,132	0,146	0,074	0,063	0,125	0,092	0,043	0,053	0,026	0,042	0,050	0,062	100
FI0053R	chromium	precip	0,110	0,095	0,404	0,113	0,121	0,174	0,092	0,029	0,080	0,037	0,144	0,196	0,091	100
FI0092R	chromium	precip	0,034	0,036	0,049	0,097	0,039	0,128	0,043	0,049	0,050	0,039	0,021	0,023	0,048	100
FI0093R	chromium	precip	0,037	0,074	0,068	0,062	0,048	0,128	0,084	0,033	0,074	0,026	0,036	0,044	0,054	100
FR0090R	chromium	precip	0,080	0,374	0,486	0,490	0,010	0,153	0,776	0,123	0,011	0,010	0,058	0,030	0,162	100
GB0006R	chromium	precip	0,010	0,010	0,010	0,010	0,010	1,326	1,311	0,012	0,099	0,043	0,099	0,070	0,118	96
GB0013R	chromium	precip	0,010	0,045	0,034	0,031	0,010	0,092	0,095	0,089	0,084	0,036	0,073	0,045	0,041	92
GB0017R	chromium	precip	0,012	0,010	0,100	0,025	0,010	-	0,052	0,047	0,075	0,070	0,108	0,072	0,056	80
GB0048R	chromium	precip	0,020	0,020	0,020	0,020	0,020	0,088	0,068	0,020	0,052	0,055	0,054	0,020	0,038	60
GB1055R	chromium	precip	0,020	0,037	0,020	0,020	0,020	-	-	0,069	0,091	0,020	0,020	0,020	0,024	48
IS0091R	chromium	precip	0,120	0,737	0,364	0,380	0,740	0,530	0,375	0,255	0,120	0,140	0,179	0,050	0,278	100
NL0010R	chromium	precip	0,054	0,117	0,170	0,189	0,317	0,310	0,144	0,179	0,196	0,087	0,129	0,050	0,143	100
NL0091R	chromium	precip	0,025	0,021	0,064	0,126	0,085	0,095	0,053	0,083	0,036	0,032	0,032	0,034	0,055	100
NO0001R	chromium	precip	0,148	0,127	0,080	0,137	0,076	0,150	0,092	0,142	0,134	0,150	0,095	0,066	0,114	100
NO0039R	chromium	precip	0,080	0,045	0,072	0,054	0,229	0,252	0,263	0,086	0,061	0,045	0,045	0,073	0,084	100
NO0056R	chromium	precip	0,314	0,858	0,570	0,458	0,343	0,355	0,144	0,564	0,155	0,045	0,088	0,185	0,266	100
PL0004R	chromium	precip	0,016	0,038	0,049	0,117	0,047	0,064	0,075	0,033	0,046	0,059	0,048	0,015	0,044	100
PL0005R	chromium	precip	0,030	0,250	0,148	0,140	0,093	0,065	0,050	0,052	0,110	0,187	0,039	0,030	0,079	100
SE0005R	chromium	precip	0,090	0,071	0,044	0,090	0,147	0,040	0,040	0,040	0,040	0,040	0,042	0,150	0,058	100
SE0014R	chromium	precip	0,040	0,050	0,104	0,300	0,116	0,229	0,040	0,040	0,040	0,040	0,040	0,040	0,076	100
SE0020R	chromium	precip	0,040	0,059	0,041	0,160	0,081	0,040	0,040	0,040	0,040	0,049	0,040	0,052	0,050	100
SE0022R	chromium	precip	0,040	0,243	0,118	0,092	0,100	0,153	0,070	0,041	0,040	0,074	0,060	0,040	0,074	100

Site	Comp	Matrix	jan	feb	mar	apr	may	june	july	aug	sept	oct	nov	dec	2021	capture
SI0008R	chromium	precip	0,075	0,075	0,084	0,075	0,075	0,075	0,102	0,087	0,080	0,075	0,104	0,075	0,084	100
SK0002R	chromium	precip	0,031	0,392	0,210	0,429	1,034	0,340	0,039	0,487	0,075	0,229	0,562	1,261	0,414	100
SK0004R	chromium	precip	0,026	0,119	0,140	0,017	0,057	0,292	0,159	0,140	0,791	0,657	0,088	0,221	0,201	100
SK0006R	chromium	precip	0,057	0,200	0,145	0,613	0,391	0,550	0,382	0,292	0,703	2,200	0,196	-	0,347	100
SK0007R	chromium	precip	0,171	0,108	-	0,203	0,347	0,769	0,036	1,974	0,450	0,469	0,116	0,126	0,419	100
CZ0003R	cobalt	precip	0,012	0,044	0,044	0,078	0,042	0,061	0,073	0,016	0,044	0,104	0,069	0,018	0,047	97
CZ0005R	cobalt	precip	0,007	0,021	0,018	0,019	0,016	0,044	0,024	0,021	0,023	0,012	0,009	0,006	0,016	100
DE0001R	cobalt	precip	0,016	0,014	0,020	0,055	0,046	0,026	0,024	0,034	0,064	0,018	0,018	0,030	0,025	74
DE0002R	cobalt	precip	0,009	0,028	0,040	0,032	0,034	0,045	0,049	0,024	0,088	0,038	0,033	0,029	0,032	83
DE0003R	cobalt	precip	0,010	0,031	0,069	0,028	0,033	0,027	0,055	0,025	0,059	0,035	0,026	0,016	0,026	52
DE0007R	cobalt	precip	0,006	0,023	0,030	0,056	0,052	0,052	0,031	0,021	0,025	0,028	0,026	0,023	0,028	84
DE0008R	cobalt	precip	0,011	0,020	0,034	0,052	0,068	0,027	0,023	0,019	0,050	0,028	0,022	0,015	0,024	75
DE0009R	cobalt	precip	0,018	0,032	0,022	0,050	0,056	0,075	0,051	0,019	0,042	0,023	0,026	0,034	0,030	73
FI0018R	cobalt	precip	0,012	0,029	0,032	0,057	0,042	0,075	0,075	0,007	0,017	0,012	0,010	0,015	0,024	100
FI0036R	cobalt	precip	0,003	0,009	0,020	0,009	0,015	0,010	0,018	0,004	0,004	0,003	0,004	0,004	0,008	100
FI0050R	cobalt	precip	0,005	0,104	0,075	0,023	0,033	0,060	0,033	0,007	0,024	0,010	0,009	0,008	0,025	100
FI0053R	cobalt	precip	0,011	0,022	0,136	0,018	0,043	0,069	0,030	0,005	0,008	0,015	0,039	0,031	0,025	100
FI0092R	cobalt	precip	0,005	0,012	0,030	0,026	0,015	0,065	0,013	0,009	0,011	0,006	0,004	0,004	0,014	100
FI0093R	cobalt	precip	0,005	0,047	0,023	0,020	0,022	0,082	0,025	0,004	0,019	0,010	0,008	0,007	0,021	100
FR0090R	cobalt	precip	0,030	0,058	0,105	0,106	0,082	0,079	0,057	0,061	0,011	0,002	0,001	0,031	0,042	100
GB0048R	cobalt	precip	0,003	0,003	0,003	0,003	0,003	0,014	0,003	0,003	0,003	0,003	0,003	0,003	0,003	94
GB1055R	cobalt	precip	0,003	0,008	0,003	-	0,003	0,003	0,003	0,004	0,005	0,003	0,003	0,003	0,004	68
IS0091R	cobalt	precip	0,030	0,214	0,118	0,050	0,090	0,230	0,116	0,033	0,050	0,050	0,089	0,023	0,078	100
NO0001R	cobalt	precip	0,016	0,022	0,011	0,034	0,016	0,051	0,023	0,021	0,024	0,008	0,012	0,008	0,017	100

Site	Comp	Matrix	jan	feb	mar	apr	may	june	july	aug	sept	oct	nov	dec	2021	capture
NO0039R	cobalt	precip	0,010	0,010	0,013	0,007	0,040	0,069	0,050	0,014	0,010	0,006	0,004	0,006	0,014	100
NO0056R	cobalt	precip	0,022	0,056	0,058	0,029	0,044	0,047	0,025	0,058	0,024	0,008	0,007	0,015	0,029	100
SE0005R	cobalt	precip	0,040	0,030	0,029	0,020	0,058	0,010	0,010	0,010	0,001	0,010	0,001	0,010	0,015	100
SE0014R	cobalt	precip	0,040	0,040	0,036	0,080	0,051	0,101	0,010	0,010	0,010	0,010	0,010	0,020	0,030	100
SE0020R	cobalt	precip	0,040	0,014	0,021	0,130	0,021	0,100	0,100	0,003	0,010	0,010	0,010	0,010	0,027	100
SE0022R	cobalt	precip	0,040	0,048	0,057	0,032	0,040	0,067	0,030	0,002	0,020	0,029	0,011	0,010	0,028	100
SI0008R	cobalt	precip	0,008	0,043	0,027	0,034	0,016	0,013	0,179	0,053	0,013	0,008	0,008	0,008	0,036	100
BE0014R	copper	precip	2,038	2,433	1,968	4,722	3,718	3,554	1,789	4,711	2,454	2,722	1,586	1,637	2,511	100
CZ0003R	copper	precip	0,716	0,661	1,017	2,235	0,797	1,097	0,720	0,663	1,140	0,853	0,733	0,595	0,864	97
CZ0005R	copper	precip	1,763	0,520	0,646	1,078	0,610	0,737	0,990	2,849	0,967	0,809	1,022	1,043	1,022	100
DE0001R	copper	precip	0,202	0,489	0,386	0,739	0,549	0,499	0,356	0,406	0,339	0,302	0,599	0,221	0,393	99
DE0002R	copper	precip	0,278	0,335	0,617	0,834	0,954	0,988	0,389	0,412	0,940	0,525	0,727	0,386	0,604	100
DE0003R	copper	precip	0,142	0,308	0,393	0,417	0,211	0,728	0,368	0,440	0,449	0,808	0,320	0,122	0,346	99
DE0007R	copper	precip	0,484	0,588	0,877	1,085	1,354	0,627	0,748	0,610	0,691	0,735	0,625	0,550	0,753	100
DE0008R	copper	precip	0,362	0,479	0,777	0,968	0,708	1,164	0,819	0,523	0,990	0,627	0,430	0,335	0,664	100
DE0009R	copper	precip	0,308	0,663	0,447	0,818	0,966	0,918	0,263	0,258	0,629	0,319	0,469	0,358	0,467	100
EE0009R	copper	precip	0,664	0,500	0,500	0,549	1,050	1,658	0,500	0,500	0,500	0,500	0,544	0,581	0,611	100
EE0011R	copper	precip	0,500	0,500	0,500	0,500	1,894	0,528	0,500	0,500	0,500	0,500	0,500	0,500	0,637	100
ES0008R	copper	precip	2,261	2,696	7,311	5,468	17,489	9,346	114,049	36,553	18,353	38,250	26,475	21,083	17,282	100
ES0009R	copper	precip	4,190	3,211	12,359	12,849	6,150	18,366	11,293	21,095	6,746	7,769	3,678	5,739	8,525	100
FI0018R	copper	precip	0,805	0,612	2,202	0,637	0,637	1,285	1,019	0,317	0,562	0,328	1,052	0,873	0,687	100
FI0036R	copper	precip	3,198	0,974	1,421	0,145	0,318	0,316	0,321	0,226	0,159	0,106	0,918	0,505	0,505	100
FI0050R	copper	precip	0,547	0,761	4,342	1,100	0,599	0,558	0,622	0,357	0,456	0,284	3,666	0,933	0,740	100
FI0053R	copper	precip	1,056	0,744	2,423	0,330	0,408	0,679	0,527	0,222	0,358	0,293	1,564	2,078	0,536	100

Site	Comp	Matrix	jan	feb	mar	apr	may	june	july	aug	sept	oct	nov	dec	2021	capture
FI0092R	copper	precip	0,510	0,832	1,136	0,532	0,236	0,620	0,272	0,278	0,213	0,239	0,663	0,344	0,410	100
FI0093R	copper	precip	0,605	0,528	1,322	0,305	0,506	0,506	0,635	0,235	0,537	0,297	0,799	0,516	0,492	100
FR0090R	copper	precip	0,960	3,230	3,493	3,500	2,910	2,366	1,357	2,812	0,662	0,371	0,360	1,153	1,640	100
GB0006R	copper	precip	0,023	0,086	0,058	0,171	0,161	0,410	0,408	0,212	0,108	0,271	0,107	0,449	0,197	96
GB0013R	copper	precip	0,138	0,161	0,095	0,341	0,152	0,156	1,450	1,180	0,696	0,107	0,397	0,201	0,351	92
GB0017R	copper	precip	0,162	0,196	0,379	0,462	0,473	-	0,655	1,046	0,593	0,475	0,682	0,239	0,471	78
GB0048R	copper	precip	-	-	-	-	0,174	0,443	0,313	1,537	0,061	0,224	1,143	-	0,468	38
GB1055R	copper	precip	-	0,114	-	-	0,136	-	-	0,178	0,590	0,129	0,129	-	0,165	15
IS0091R	copper	precip	1,170	2,569	1,619	2,400	9,440	4,090	3,822	3,571	0,866	1,120	1,228	1,134	2,484	100
NL0010R	copper	precip	0,825	1,089	2,117	2,715	4,411	3,560	1,760	2,624	2,456	1,457	1,851	0,640	1,917	100
NL0091R	copper	precip	0,274	0,366	0,734	1,125	1,202	0,850	0,773	1,187	3,814	0,815	0,460	0,409	0,802	100
NO0001R	copper	precip	2,559	0,949	1,874	0,834	3,202	3,815	2,801	2,728	1,506	0,957	1,096	1,911	1,948	100
NO0039R	copper	precip	1,194	1,105	2,107	0,623	0,810	2,425	3,540	0,974	1,291	0,152	0,292	0,365	1,068	100
NO0056R	copper	precip	1,797	4,661	13,969	16,118	1,625	3,135	3,336	4,981	2,022	0,444	1,412	1,933	3,261	100
PL0004R	copper	precip	0,404	0,400	0,748	1,419	0,791	0,848	0,471	0,510	0,558	0,261	0,537	0,412	0,532	100
PL0005R	copper	precip	0,250	1,200	0,861	1,500	2,418	1,182	1,400	1,267	0,350	1,221	0,729	1,200	1,199	100
SE0005R	copper	precip	3,100	3,537	4,203	2,760	3,130	7,799	4,300	0,578	4,364	1,470	1,092	5,190	3,395	100
SE0014R	copper	precip	3,283	8,080	3,617	15,530	5,766	7,558	12,830	2,953	2,560	6,056	1,115	1,950	5,321	100
SE0020R	copper	precip	1,270	5,882	3,772	6,870	1,714	3,120	3,120	2,164	2,100	3,834	0,800	3,299	2,794	100
SE0022R	copper	precip	3,760	3,760	7,288	3,119	3,650	13,173	4,200	1,073	3,300	8,504	1,198	2,050	4,355	99
SI0008R	copper	precip	0,347	0,428	0,760	0,409	2,967	0,513	0,815	0,741	0,492	0,218	0,287	0,075	0,808	97
SK0002R	copper	precip	0,420	0,905	0,754	1,541	0,909	0,136	0,972	0,474	0,365	1,464	2,152	0,363	0,750	100
SK0004R	copper	precip	0,390	0,601	0,906	0,063	0,097	0,068	0,459	0,290	2,039	1,225	0,515	0,843	0,539	100
SK0006R	copper	precip	0,217	0,622	0,928	1,188	1,653	0,901	2,158	0,961	4,272	3,098	0,867	-	1,403	100

Site	Comp	Matrix	jan	feb	mar	apr	may	june	july	aug	sept	oct	nov	dec	2021	capture
SK0007R	copper	precip	2,439	0,164	-	0,297	1,024	0,760	0,491	0,618	1,174	1,852	0,376	0,532	0,831	100
BE0014R	iron	precip	3,6	8,2	14,3	34,5	15,8	18,4	7,2	39,9	7,6	7,0	4,6	2,4	10,3	100
DE0001R	iron	precip	5,7	20,0	16,9	48,2	15,9	9,5	10,7	21,7	21,5	9,6	9,5	4,5	12,8	93
DE0002R	iron	precip	12,0	26,8	29,3	37,8	24,7	21,7	12,8	21,8	50,8	29,5	15,3	11,6	22,7	87
DE0003R	iron	precip	2,0	17,1	12,0	24,2	5,3	13,7	8,1	18,5	24,3	18,7	10,1	3,6	9,4	90
DE0007R	iron	precip	9,0	14,8	22,3	40,8	32,2	8,2	10,2	21,0	18,4	21,7	5,7	9,4	16,5	94
DE0008R	iron	precip	10,8	18,0	34,0	45,4	15,0	11,3	13,8	14,3	48,9	25,9	7,1	5,4	16,5	81
DE0009R	iron	precip	9,9	14,5	19,0	44,7	24,0	37,6	13,4	10,5	25,8	8,4	9,0	14,4	15,9	98
FI0018R	iron	precip	19,7	30,8	51,2	66,8	31,1	207,2	286,4	14,7	38,8	31,3	19,6	14,2	43,9	100
FI0036R	iron	precip	2,2	6,3	14,4	4,5	17,8	11,4	18,1	2,8	2,5	0,9	2,9	1,4	6,9	100
FI0050R	iron	precip	4,6	62,6	50,6	16,3	18,9	50,3	41,5	4,4	6,0	5,5	9,7	5,4	18,3	100
FI0053R	iron	precip	8,5	10,9	35,4	14,3	48,1	62,5	30,1	5,6	8,8	4,8	21,0	11,6	19,4	100
FI0092R	iron	precip	3,0	8,9	11,9	20,4	5,8	38,8	14,4	7,8	6,9	4,5	4,4	2,8	9,8	100
FI0093R	iron	precip	5,0	30,6	28,9	17,1	15,8	48,7	27,9	3,7	15,0	3,8	6,3	3,7	14,9	100
GB0048R	iron	precip	0,5	0,5	-	0,5	1,5	12,9	5,2	24,0	1,7	1,7	2,9	0,5	3,2	56
GB1055R	iron	precip	0,5	6,7	-	-	0,9	0,5	0,5	1,7	21,0	0,8	1,1	0,5	1,8	43
IS0091R	iron	precip	76,1	480,3	280,2	168,1	201,6	455,0	236,0	87,2	108,8	141,4	208,2	61,9	177,4	100
NL0010R	iron	precip	10,6	39,9	58,7	66,9	126,5	116,7	44,0	62,3	62,4	25,6	46,1	6,7	48,1	100
NL0091R	iron	precip	3,9	5,4	16,8	43,7	25,7	38,9	14,4	19,6	5,1	5,4	6,2	5,8	16,0	100
BE0014R	lead	precip	0,373	0,505	0,570	1,130	0,736	0,561	0,384	0,580	0,196	0,232	0,299	0,281	0,421	100
CZ0003R	lead	precip	0,777	2,348	0,859	1,408	0,798	1,202	0,656	0,368	1,055	0,632	0,669	1,625	0,927	97
CZ0005R	lead	precip	0,397	0,201	0,270	0,707	0,147	0,293	0,247	0,333	0,571	0,449	0,183	0,134	0,304	100
DE0001R	lead	precip	0,212	0,242	0,238	0,574	0,376	0,388	0,190	0,250	0,186	0,265	0,537	0,223	0,286	93
DE0002R	lead	precip	0,167	0,330	0,353	0,493	0,438	0,611	0,211	0,214	0,593	0,311	0,721	0,267	0,356	90



Site	Comp	Matrix	jan	feb	mar	apr	may	june	july	aug	sept	oct	nov	dec	2021	capture
DE0003R	lead	precip	0,079	0,163	0,226	0,309	0,116	0,289	0,175	0,186	0,307	0,157	0,351	0,109	0,176	100
DE0007R	lead	precip	0,292	0,536	0,325	0,545	0,934	0,398	0,307	0,294	0,438	0,832	0,249	0,246	0,450	100
DE0008R	lead	precip	0,454	0,543	0,487	0,669	0,425	0,562	0,393	0,291	0,466	0,398	0,391	0,237	0,422	100
DE0009R	lead	precip	0,239	0,345	0,179	0,555	0,615	0,733	0,142	0,131	0,327	0,362	0,242	0,272	0,310	100
EE0009R	lead	precip	0,519	0,224	0,209	0,175	0,374	0,157	0,133	0,216	0,152	0,152	0,100	0,385	0,234	100
EE0011R	lead	precip	0,647	0,282	0,191	0,051	0,239	0,054	0,279	0,052	0,352	0,241	0,161	0,376	0,247	100
ES0008R	lead	precip	0,413	0,690	1,538	14,775	20,423	6,483	69,691	8,400	2,867	13,229	4,992	7,307	6,713	100
ES0009R	lead	precip	3,444	0,872	4,111	4,300	1,201	4,069	1,837	3,397	0,822	2,368	0,724	9,996	2,794	100
FI0018R	lead	precip	1,199	0,563	0,775	0,674	0,470	0,595	0,749	0,258	0,382	0,536	0,778	1,569	0,624	100
FI0036R	lead	precip	0,218	0,151	0,535	0,189	0,298	0,103	0,087	0,151	0,220	0,175	0,211	0,135	0,185	100
FI0050R	lead	precip	0,484	0,595	1,046	0,289	0,489	0,424	0,478	0,206	0,242	0,407	0,757	0,454	0,422	100
FI0053R	lead	precip	0,582	0,311	1,146	0,442	0,466	0,423	0,298	0,123	0,276	0,302	1,556	0,741	0,395	100
FI0092R	lead	precip	0,514	0,241	0,384	0,594	0,225	0,596	0,160	0,196	0,189	0,385	0,287	0,192	0,310	100
FI0093R	lead	precip	0,558	0,491	0,495	0,197	0,319	0,461	0,313	0,091	0,549	0,340	0,285	0,303	0,335	100
FR0008R	lead	precip_tot	0,343	0,357	0,621	0,481	0,340	0,338	0,257	3,086	2,300	1,491	0,835	2,631	1,199	85
FR0009R	lead	precip_tot	0,630	0,808	3,032	1,250	0,935	0,487	0,424	0,764	0,541	0,544	1,201	0,472	0,778	100
FR0013R	lead	precip_tot	0,169	0,573	0,834	0,559	0,441	0,494	0,448	0,578	0,468	0,340	0,268	0,119	0,377	100
FR0023R	lead	precip_tot	0,606	1,354	0,801	0,550	0,506	0,866	0,683	0,595	0,701	0,438	0,396	0,187	0,639	100
FR0025R	lead	precip_tot	0,391	0,685	1,688	2,223	0,535	0,489	0,379	1,885	0,428	0,390	0,522	0,159	0,648	100
FR0028R	lead	precip_tot	0,297	0,329	0,550	0,509	0,482	0,228	0,196	0,210	0,262	0,218	1,250	0,230	0,337	98
FR0090R	lead	precip	0,620	0,972	1,899	1,930	1,060	0,573	0,461	0,617	0,137	0,030	0,298	0,231	0,588	100
GB0006R	lead	precip	0,015	0,015	0,015	0,015	0,015	0,015	0,015	0,015	0,015	0,015	0,015	0,015	0,015	96
GB0013R	lead	precip	0,015	0,108	0,023	0,159	0,024	0,015	0,028	0,015	0,015	0,015	0,015	0,118	0,043	92
GB0017R	lead	precip	0,060	0,051	0,112	0,281	0,306	-	0,103	0,110	0,196	0,081	0,102	0,092	0,112	80

Site	Comp	Matrix	jan	feb	mar	apr	may	june	july	aug	sept	oct	nov	dec	2021	capture
GB0048R	lead	precip	0,030	0,030	0,030	0,030	0,115	0,178	0,084	0,030	0,030	0,030	0,030	0,030	0,045	91
GB1055R	lead	precip	0,030	0,030	0,030	-	0,030	-	0,030	0,030	0,061	0,030	0,030	0,030	0,033	69
HU0002R	lead	precip	2,197	0,553	0,462	0,518	1,234	0,735	0,618	14,424	0,462	0,479	0,462	0,678	1,734	100
IS0091R	lead	precip	0,160	1,329	0,473	0,420	0,640	0,780	0,658	0,715	0,101	0,160	0,317	0,262	0,393	100
LV0010R	lead	precip	0,840	1,767	0,417	0,325	0,208	0,262	0,205	0,284	0,261	0,272	0,273	0,270	0,314	99
NL0010R	lead	precip	0,554	0,979	1,649	1,729	3,215	2,990	0,938	1,420	1,573	0,649	0,888	0,220	1,254	100
NL0091R	lead	precip	0,216	0,200	0,450	0,790	1,784	0,724	0,492	0,758	0,230	0,245	0,398	0,382	0,582	100
NO0001R	lead	precip	0,542	0,576	0,582	0,432	0,448	0,930	2,973	0,468	0,549	0,260	0,367	0,446	0,583	100
NO0039R	lead	precip	0,186	0,211	0,426	0,070	0,111	0,721	0,751	0,642	0,096	0,020	0,020	0,041	0,265	100
NO0056R	lead	precip	0,603	3,977	1,619	0,866	0,966	1,122	0,746	0,978	0,486	0,399	0,306	0,252	0,857	100
PL0004R	lead	precip	0,330	0,526	0,262	0,762	0,481	0,306	0,250	0,390	0,342	0,131	0,199	0,200	0,324	100
PL0005R	lead	precip	0,200	0,800	0,580	0,500	0,548	0,627	0,700	0,500	0,300	0,599	0,203	0,250	0,480	100
SE0005R	lead	precip	0,350	1,079	1,341	0,130	0,747	0,325	0,250	0,155	0,162	0,280	0,170	0,260	0,341	100
SE0014R	lead	precip	0,300	1,480	0,428	0,490	0,989	1,122	0,260	0,301	0,330	0,429	0,342	0,630	0,551	100
SE0020R	lead	precip	0,680	0,512	2,440	0,540	0,471	0,430	0,430	0,196	0,350	0,450	0,660	0,430	0,847	100
SE0022R	lead	precip	0,360	1,775	3,614	0,255	0,380	0,643	0,450	0,175	0,260	0,677	0,318	0,230	0,533	100
SI0008R	lead	precip	0,841	0,258	0,401	0,401	0,291	1,263	1,178	0,980	0,494	0,341	0,180	0,044	0,510	97
SK0002R	lead	precip	0,693	0,607	3,172	2,049	1,391	1,989	0,287	1,097	0,479	1,025	1,407	1,278	1,222	100
SK0004R	lead	precip	0,924	1,384	3,357	0,506	0,359	1,365	0,498	1,344	1,313	2,117	0,609	0,562	0,980	100
SK0006R	lead	precip	0,564	0,773	1,790	1,609	1,462	1,023	0,981	0,622	1,257	3,952	1,310	-	1,071	100
SK0007R	lead	precip	0,500	1,433	-	1,357	1,185	4,046	0,394	4,404	0,442	2,195	1,286	0,702	1,339	100
GB0048R	lithium	precip	0,002	-	-	-	0,011	0,030	0,014	0,005	0,009	0,004	0,009	-	0,007	44
GB1055R	lithium	precip	-	0,075	-	-	0,017	-	-	0,030	0,036	0,029	0,029	-	-	-
BE0014R	manganese	precip	1,937	1,802	4,360	4,988	6,288	3,483	1,616	10,563	1,434	0,894	1,203	1,546	2,742	100

Site	Comp	Matrix	jan	feb	mar	apr	may	june	july	aug	sept	oct	nov	dec	2021	capture
CZ0003R	manganese	precip	1,068	3,144	3,674	6,538	2,888	4,469	4,341	1,544	4,076	1,353	5,667	1,756	3,303	97
CZ0005R	manganese	precip	0,648	1,146	2,140	1,715	1,062	2,686	1,583	2,158	1,487	0,732	0,818	0,558	1,205	100
DE0001R	manganese	precip	0,435	1,027	0,880	3,853	1,426	1,556	1,193	1,028	1,329	0,625	0,673	0,356	0,981	93
DE0002R	manganese	precip	0,463	1,975	2,948	2,362	3,018	1,743	1,214	1,611	2,526	1,809	0,977	0,813	1,712	87
DE0003R	manganese	precip	0,272	0,986	1,178	1,479	0,540	1,248	0,759	0,823	1,294	1,992	0,604	0,381	0,758	88
DE0007R	manganese	precip	0,565	1,628	2,041	4,270	6,941	1,987	1,748	1,500	1,450	2,195	17,092	2,519	2,374	87
DE0008R	manganese	precip	0,466	0,798	2,550	2,730	1,814	1,575	0,880	0,810	1,956	1,703	0,552	0,358	1,063	85
DE0009R	manganese	precip	0,728	1,248	1,431	3,250	3,708	5,764	1,350	0,894	2,113	0,896	1,233	1,182	1,686	96
EE0011R	manganese	precip	0,741	9,293	2,457	3,193	0,711	2,562	0,709	0,878	2,554	4,688	0,478	0,223	1,675	100
FI0018R	manganese	precip	0,881	1,892	2,107	5,013	5,603	14,925	8,276	2,170	3,093	1,729	0,675	0,812	3,063	100
FI0036R	manganese	precip	0,149	0,649	1,917	0,685	1,344	2,515	1,283	0,677	0,636	0,154	0,336	0,167	0,845	100
FI0050R	manganese	precip	0,734	6,442	8,358	3,071	7,919	12,214	10,165	3,054	23,362	1,977	1,759	1,075	5,948	100
FI0053R	manganese	precip	1,424	1,612	4,167	1,241	4,141	6,634	3,113	0,739	0,900	0,728	1,902	1,424	1,990	100
FI0092R	manganese	precip	0,285	1,079	1,322	2,459	2,772	8,816	1,048	0,773	0,624	0,653	0,346	0,207	1,603	100
FI0093R	manganese	precip	0,621	3,036	3,398	2,046	3,570	11,916	4,314	0,968	3,187	6,726	0,626	0,435	3,522	100
GB0048R	manganese	precip	-	-	-	-	0,432	1,578	0,596	0,458	0,115	0,052	0,050	-	0,249	37
GB1055R	manganese	precip	-	3,635	-	-	0,464	-	-	1,102	1,277	0,311	0,311	-	-	-
IS0091R	manganese	precip	1,190	7,441	4,417	2,480	3,460	7,940	4,279	1,581	1,685	1,930	3,165	1,038	2,875	100
NO0001R	manganese	precip	0,792	1,661	0,661	1,675	1,281	6,257	2,876	2,049	2,848	0,961	0,781	0,622	1,540	100
NO0039R	manganese	precip	0,378	0,529	0,572	0,417	2,327	4,497	2,660	1,319	1,989	0,817	0,204	0,165	1,103	100
NO0056R	manganese	precip	0,896	2,523	2,212	2,343	3,896	10,556	2,747	6,213	1,904	0,456	1,853	1,019	2,697	100
SE0005R	manganese	precip	0,800	5,560	4,484	3,700	6,264	8,371	4,900	1,327	2,342	0,800	0,540	1,500	3,372	100
SE0014R	manganese	precip	0,737	4,600	3,700	6,100	6,191	19,552	1,700	5,198	3,100	1,935	0,724	1,300	3,997	100
SE0020R	manganese	precip	0,500	0,565	2,214	13,200	4,705	6,700	6,700	1,842	1,900	2,989	1,200	0,897	2,840	100

Site	Comp	Matrix	jan	feb	mar	apr	may	june	july	aug	sept	oct	nov	dec	2021	capture
SE0022R	manganese	precip	0,400	2,432	3,486	2,990	5,100	8,170	3,400	0,838	1,700	2,978	0,812	0,900	2,793	100
SI0008R	manganese	precip	1,156	2,713	2,395	2,711	2,185	2,365	10,884	4,391	1,602	1,053	0,447	0,230	2,738	100
CZ0003R	mercury	precip	3,012	12,780	4,193	4,338	14,478	70,113	7,378	2,832	6,231	16,981	1,921	2,200	15,260	85
DE0001R	mercury	precip	2,834	6,236	2,295	4,931	6,340	7,883	4,031	4,323	3,141	2,903	2,171	1,614	3,900	99
DE0002R	mercury	precip	2,168	3,567	3,419	5,492	9,059	8,260	5,222	5,523	3,423	3,800	5,468	4,013	5,274	100
DE0003R	mercury	precip	1,973	5,279	5,504	3,818	4,311	7,420	4,733	5,237	5,961	3,504	2,401	2,704	4,220	100
DE0008R	mercury	precip	4,153	5,117	6,439	5,857	7,677	8,578	6,263	3,933	3,757	3,300	3,362	2,319	5,280	100
DE0009R	mercury	precip	3,769	4,979	2,692	7,703	9,321	9,951	3,876	3,535	3,714	2,816	4,397	2,848	4,619	100
ES0008R	mercury	precip	3,644	2,865	3,919	3,323	2,946	2,715	3,713	2,765	4,455	8,916	5,426	-	3,885	100
FI0018R	mercury	precip	2,200	2,200	2,979	4,984	5,997	15,416	7,053	4,013	3,031	3,200	2,018	2,986	4,012	100
FI0036R	mercury	precip	2,215	2,100	4,215	2,790	5,299	4,999	6,049	2,715	2,798	1,069	1,123	1,646	3,184	100
FI0050R	mercury	precip	2,101	3,966	14,543	4,069	5,200	5,200	3,026	3,200	2,200	2,996	2,023	2,991	3,559	100
FI0093R	mercury	precip	2,200	1,017	2,973	2,175	5,200	2,036	4,943	5,200	2,107	2,200	2,200	2,987	3,146	100
GB0013R	mercury	precip	-	6,200	5,175	4,200	4,200	2,161	7,200	7,200	2,020	2,200	2,600	0,007	3,214	100
GB0017R	mercury	precip	2,831	4,260	7,200	4,281	6,800	6,479	6,200	5,200	4,284	3,055	3,200	3,200	4,418	100
GB0048R	mercury	precip	-	2,200	2,026	6,860	4,200	6,422	5,200	2,175	3,402	1,200	1,200	1,983	2,558	100
GB1055R	mercury	precip	3,200	3,200	3,200	5,200	4,661	2,036	4,168	7,759	3,234	2,051	3,200	2,197	3,347	100
LV0010R	mercury	precip	10,516	7,200	1,500	7,013	2,184	3,488	12,863	0,697	0,249	1,354	1,846	0,941	3,446	93
NL0091R	mercury	precip	4,491	8,297	10,727	14,995	15,712	19,643	14,131	14,410	11,825	7,039	7,023	8,247	11,216	100
NO0001R	mercury	precip	3,312	5,207	4,642	6,624	3,802	9,675	4,491	5,868	3,977	2,790	4,140	3,578	4,150	99
NO0039R	mercury	precip	-	6,632	2,336	2,393	16,121	4,858	7,212	3,071	2,520	0,483	1,483	2,468	2,760	100
NO0056R	mercury	precip	17,320	17,320	6,701	2,790	31,899	9,680	11,977	13,354	5,869	4,286	4,601	4,456	11,274	96
PL0005R	mercury	precip	19,700	13,200	13,997	12,600	3,679	2,328	2,100	2,297	2,400	4,066	1,169	3,100	5,208	100
SE0005R	mercury	precip	2,926	4,371	11,198	3,852	6,934	6,941	5,310	3,570	2,650	2,297	4,725	4,934	4,247	100

Site	Comp	Matrix	jan	feb	mar	apr	may	june	july	aug	sept	oct	nov	dec	2021	capture
SE0014R	mercury	precip	1,503	6,249	6,374	8,863	5,394	8,126	4,436	3,706	2,958	3,291	1,632	3,153	3,989	100
SE0020R	mercury	precip	3,986	7,106	5,184	5,415	4,682	10,064	4,536	4,276	3,870	3,514	2,862	1,500	4,117	100
SI0008R	mercury	precip	4,681	4,076	2,471	7,745	5,846	4,252	6,013	10,119	3,834	2,768	2,554	3,026	4,742	100
DE0001R	molybdenum	precip	0,020	0,050	0,036	0,047	0,029	0,031	0,023	0,024	0,033	0,028	0,032	0,022	0,028	99
DE0002R	molybdenum	precip	0,025	0,031	0,037	0,032	0,045	0,043	0,019	0,022	0,053	0,040	0,044	0,022	0,033	96
DE0003R	molybdenum	precip	0,006	0,016	0,024	0,025	0,013	0,030	0,022	0,033	0,020	0,019	0,033	0,016	0,019	94
DE0007R	molybdenum	precip	0,023	0,021	0,037	0,034	0,048	0,033	0,018	0,017	0,030	0,034	0,021	0,029	0,026	80
DE0008R	molybdenum	precip	0,049	0,034	0,044	0,066	0,052	0,032	0,032	0,025	0,052	0,060	0,064	0,022	0,041	95
DE0009R	molybdenum	precip	0,024	0,033	0,024	0,041	0,033	0,039	0,015	0,017	0,025	0,023	0,025	0,023	0,024	94
GB0048R	molybdenum	precip	0,015	0,015	0,015	0,015	0,015	0,045	0,015	0,015	0,015	0,015	0,015	0,015	0,015	96
GB1055R	molybdenum	precip	0,015	0,015	0,015	-	0,015	0,015	0,015	0,015	0,019	0,015	0,015	0,015	0,015	79
BE0014R	nickel	precip	0,156	0,159	0,253	0,536	0,270	0,316	0,323	0,703	0,006	0,155	0,440	0,141	0,275	100
CZ0003R	nickel	precip	0,226	0,136	0,383	0,487	0,207	0,212	0,148	0,070	0,143	1,943	0,212	0,120	0,235	97
CZ0005R	nickel	precip	0,048	0,053	0,070	0,090	0,032	0,153	0,104	0,110	0,111	0,068	0,042	0,031	0,065	100
DE0001R	nickel	precip	0,064	0,179	0,081	0,252	0,109	0,100	0,098	0,108	0,169	0,078	0,072	0,064	0,099	99
DE0002R	nickel	precip	0,049	0,068	0,098	0,133	0,117	0,167	0,066	0,069	0,135	0,088	0,079	0,058	0,091	100
DE0003R	nickel	precip	0,025	0,087	0,067	0,108	0,045	0,089	0,080	0,057	0,138	0,075	0,044	0,022	0,061	100
DE0007R	nickel	precip	0,046	0,156	0,110	0,152	0,161	0,103	0,093	0,083	0,079	0,093	0,141	0,069	0,105	100
DE0008R	nickel	precip	0,134	0,258	0,449	0,369	0,128	0,146	0,119	0,082	0,180	0,105	0,052	0,148	0,152	100
DE0009R	nickel	precip	0,314	0,468	2,170	0,892	0,141	0,454	0,475	0,495	0,459	0,102	0,397	0,315	0,364	71
DK0005R	nickel	precip	0,151	0,492	0,280	0,442	0,715	0,575	0,596	0,136	0,195	0,045	0,125	0,245	0,297	100
DK0008R	nickel	precip	0,226	0,141	0,260	0,686	0,255	1,142	0,216	0,097	0,164	0,109	-	0,176	0,199	100
DK0012R	nickel	precip	0,366	0,205	0,211	0,454	0,243	0,765	0,318	0,078	0,084	0,084	0,188	0,203	0,230	87
DK0022R	nickel	precip	0,135	0,199	0,137	0,282	0,099	0,218	0,099	0,048	0,040	0,044	0,064	0,048	0,096	100

Site	Comp	Matrix	jan	feb	mar	apr	may	june	july	aug	sept	oct	nov	dec	2021	capture
DK0031R	nickel	precip	0,324	0,186	0,192	0,462	0,137	0,279	0,175	0,136	0,257	0,082	0,122	0,090	0,164	100
EE0009R	nickel	precip	0,124	0,129	0,052	0,069	0,698	0,536	0,050	0,051	0,073	0,050	0,152	0,101	0,158	100
EE0011R	nickel	precip	0,050	0,267	0,052	0,377	4,283	0,135	0,050	0,050	0,050	0,050	0,050	0,050	0,483	100
ES0008R	nickel	precip	1,844	0,920	4,536	228,889	357,505	56,653	303,237	88,536	11,481	61,832	6,698	9,641	49,655	100
ES0009R	nickel	precip	0,510	0,510	0,525	0,681	0,510	0,621	0,597	1,270	0,713	0,510	0,629	2,084	0,704	100
FI0018R	nickel	precip	0,174	0,407	0,542	0,142	0,140	0,233	0,167	0,058	0,123	0,252	0,088	0,223	0,183	100
FI0036R	nickel	precip	0,138	0,409	0,096	0,043	0,096	0,058	0,054	0,055	0,055	0,267	0,258	0,174	0,138	100
FI0050R	nickel	precip	0,059	0,182	0,710	0,116	0,170	0,203	0,202	0,207	0,179	0,128	0,100	0,207	0,171	100
FI0053R	nickel	precip	0,312	0,844	0,306	0,084	0,181	0,147	0,085	0,059	0,071	0,195	0,333	0,166	0,169	100
FI0092R	nickel	precip	0,050	0,158	0,101	0,121	0,063	0,191	0,074	0,138	0,273	0,050	0,053	0,088	0,102	100
FI0093R	nickel	precip	0,079	0,177	0,183	0,085	0,108	0,202	0,115	0,041	0,091	0,076	0,302	0,088	0,115	100
FR0008R	nickel	precip_tot	0,198	0,195	0,186	0,143	0,107	0,126	0,113	0,291	0,346	0,166	0,109	0,039	0,154	90
FR0009R	nickel	precip_tot	0,281	0,264	0,331	0,327	0,219	0,160	0,750	1,123	0,217	0,294	0,202	0,090	0,343	100
FR0013R	nickel	precip_tot	0,201	0,507	0,561	0,364	0,290	0,311	0,274	0,438	0,340	0,438	0,174	0,105	0,296	100
FR0023R	nickel	precip_tot	0,374	0,986	0,302	0,209	0,204	0,543	0,377	0,314	0,364	0,295	0,288	0,130	0,363	100
FR0025R	nickel	precip_tot	0,299	0,555	0,392	0,586	0,488	0,315	0,206	0,639	0,187	0,242	0,247	0,279	0,336	100
FR0028R	nickel	precip_tot	0,165	0,163	0,291	0,288	0,267	0,174	0,177	0,279	0,151	0,132	0,258	0,141	0,186	100
FR0090R	nickel	precip	0,200	1,130	0,744	0,730	0,460	0,489	0,281	0,368	0,242	0,230	0,067	0,139	0,385	100
GB0006R	nickel	precip	0,003	0,024	0,015	0,030	0,019	0,696	0,688	0,018	0,024	0,018	0,021	0,021	0,061	96
GB0013R	nickel	precip	0,101	0,123	0,048	0,099	0,067	0,063	0,118	0,059	0,055	0,064	0,153	0,044	0,082	92
GB0017R	nickel	precip	0,067	0,075	0,063	0,084	0,088	-	0,033	0,083	0,070	0,037	0,100	0,061	0,063	78
GB0048R	nickel	precip	0,005	0,005	0,005	-	0,023	0,046	0,005	0,013	0,007	0,007	0,015	0,005	0,011	53
GB1055R	nickel	precip	-	0,049	-	-	0,041	-	-	0,033	0,043	0,023	0,023	-	0,037	15
IS0091R	nickel	precip	0,220	0,929	0,358	0,320	0,410	0,650	0,910	0,423	0,152	0,230	0,171	0,093	0,327	100

Site	Comp	Matrix	jan	feb	mar	apr	may	june	july	aug	sept	oct	nov	dec	2021	capture
LV0010R	nickel	precip	0,450	0,450	0,450	0,450	0,450	0,450	0,450	1,154	0,450	0,851	0,450	0,727	0,658	98
NL0010R	nickel	precip	0,298	0,360	0,462	0,541	0,609	0,890	0,260	0,528	0,508	0,219	0,151	0,380	0,391	100
NL0091R	nickel	precip	0,317	0,093	0,313	0,231	0,263	0,232	0,508	0,504	0,878	0,267	0,117	0,735	0,321	99
NO0001R	nickel	precip	0,124	0,192	0,154	0,219	0,204	0,408	0,131	0,217	0,213	0,149	0,207	0,325	0,199	100
NO0039R	nickel	precip	0,145	0,100	0,123	0,100	0,195	0,397	0,194	0,114	0,101	0,100	0,100	0,100	0,127	100
NO0056R	nickel	precip	0,353	1,079	0,912	0,489	0,286	0,294	0,128	0,497	0,363	0,105	0,175	0,304	0,327	100
PL0004R	nickel	precip	0,161	0,111	0,160	0,298	0,230	0,201	0,110	0,180	0,151	0,110	0,169	0,081	0,161	100
PL0005R	nickel	precip	0,050	0,300	0,230	0,150	0,295	0,405	0,150	0,294	0,300	0,274	0,248	0,220	0,233	100
SE0005R	nickel	precip	0,280	0,125	0,200	0,080	0,203	0,108	0,070	0,080	0,082	0,100	0,113	0,280	0,118	100
SE0014R	nickel	precip	0,084	0,160	0,228	0,450	0,170	0,433	0,070	0,135	0,070	0,187	0,171	0,200	0,166	100
SE0020R	nickel	precip	0,050	0,102	0,161	0,230	0,141	0,080	0,080	0,051	0,050	0,114	0,090	0,230	0,112	100
SE0022R	nickel	precip	0,050	0,668	0,195	0,117	0,140	0,186	0,140	0,101	0,070	0,147	0,178	0,120	0,132	100
SI0008R	nickel	precip	0,075	0,075	0,086	0,075	0,075	0,094	0,113	0,168	0,075	0,075	0,107	0,075	0,091	97
SK0002R	nickel	precip	0,189	0,199	0,344	0,203	0,655	0,748	1,608	0,202	0,526	0,547	0,741	0,877	0,502	100
SK0004R	nickel	precip	0,120	0,393	0,417	0,103	0,099	0,310	0,095	0,278	0,830	1,482	0,595	0,335	0,311	100
SK0006R	nickel	precip	0,256	0,635	0,528	0,476	0,883	0,985	0,769	0,568	1,363	1,941	0,337	-	0,671	100
SK0007R	nickel	precip	0,484	0,216	-	0,205	0,212	0,946	0,588	2,176	0,244	0,601	1,288	0,208	0,632	100
DE0001R	selenium	precip	0,069	0,106	0,091	0,120	0,090	0,089	0,073	0,087	0,074	0,079	0,106	0,071	0,083	93
DE0002R	selenium	precip	0,054	0,054	0,080	0,114	0,092	0,050	0,050	0,057	0,149	0,068	0,117	0,056	0,075	97
DE0003R	selenium	precip	0,012	0,026	0,045	0,053	0,044	0,051	0,026	0,077	0,043	0,040	0,061	0,024	0,036	92
DE0007R	selenium	precip	0,055	0,038	0,079	0,121	0,089	0,084	0,066	0,034	0,084	0,110	0,052	0,054	0,064	79
DE0008R	selenium	precip	0,074	0,059	0,109	0,124	0,095	0,076	0,071	0,062	0,110	0,075	0,106	0,052	0,078	97
DE0009R	selenium	precip	0,063	0,058	0,060	0,139	0,111	0,104	0,037	0,057	0,091	0,075	0,079	0,050	0,072	100
GB0048R	selenium	precip	-	0,015	-	0,015	0,030	0,165	0,133	0,053	0,021	0,074	0,110	0,015	0,054	50

Site	Comp	Matrix	jan	feb	mar	apr	may	june	july	aug	sept	oct	nov	dec	2021	capture
GB1055R	selenium	precip	0,015	0,055	-	-	0,015	-	-	0,206	0,089	0,062	0,160	-	0,062	24
GB0048R	strontium	precip	0,539	0,559	0,907	1,513	0,543	0,725	0,382	0,195	0,417	0,156	0,304	0,387	0,455	97
GB1055R	strontium	precip	0,820	1,758	2,660	1,396	1,247	0,549	0,824	0,961	1,132	0,744	1,234	0,898	1,112	87
DE0001R	thallium	precip	0,006	0,005	0,005	0,006	0,004	0,004	0,003	0,005	0,004	0,005	0,005	0,004	0,004	99
DE0002R	thallium	precip	0,002	0,003	0,003	0,005	0,004	0,006	0,002	0,002	0,006	0,003	0,008	0,004	0,004	100
DE0003R	thallium	precip	0,001	0,002	0,002	0,002	0,001	0,002	0,001	0,002	0,004	0,003	0,003	0,001	0,002	100
DE0007R	thallium	precip	0,003	0,003	0,003	0,005	0,004	0,003	0,002	0,001	0,002	0,006	0,005	0,003	0,003	96
DE0008R	thallium	precip	0,003	0,004	0,005	0,005	0,003	0,003	0,002	0,001	0,005	0,003	0,004	0,002	0,003	100
DE0009R	thallium	precip	0,005	0,005	0,004	0,008	0,005	0,005	0,002	0,003	0,005	0,006	0,005	0,004	0,004	100
GB0048R	tin	precip	0,003	0,003	0,003	0,003	0,007	0,120	0,008	0,003	0,003	0,003	0,003	0,003	0,005	75
GB1055R	tin	precip	0,003	0,007	0,003	-	0,017	-	0,003	0,025	0,006	0,005	0,007	0,003	0,007	51
DE0001R	titanium	precip	0,105	0,329	0,261	0,952	0,289	0,219	0,238	0,406	0,374	0,193	0,182	0,093	0,243	85
DE0002R	titanium	precip	0,279	0,543	0,618	0,892	0,491	0,477	0,281	0,466	0,947	0,733	0,258	0,238	0,479	87
DE0003R	titanium	precip	0,048	0,328	0,406	0,531	0,119	0,282	0,165	0,371	0,761	0,294	0,186	0,080	0,207	90
DE0007R	titanium	precip	0,176	0,397	0,477	0,962	0,675	0,181	0,211	0,391	0,347	0,433	0,106	0,175	0,340	94
DE0008R	titanium	precip	0,159	0,334	0,671	1,265	0,267	0,282	0,229	0,266	0,717	0,464	0,101	0,100	0,291	82
DE0009R	titanium	precip	0,126	0,302	0,388	1,019	0,675	0,793	0,267	0,251	0,577	0,168	0,181	0,277	0,350	100
GB0048R	titanium	precip	0,020	0,020	0,020	-	0,049	0,367	0,108	0,031	0,020	0,020	0,020	0,020	0,033	75
GB1055R	titanium	precip	0,020	0,195	-	-	0,039	-	0,020	0,161	0,063	0,031	0,042	0,020	0,057	43
GB0048R	tungsten	precip	0,005	0,005	0,005	0,005	0,005	0,032	0,005	0,005	0,005	0,005	0,005	0,005	0,005	91
GB1055R	tungsten	precip	0,005	0,006	0,005	0,005	0,006	0,005	0,005	0,005	0,007	0,005	0,005	0,005	0,006	83
GB0048R	uranium	precip	0,001	0,001	0,001	0,001	0,001	0,011	0,001	0,001	0,001	0,001	0,001	0,001	0,001	97
GB1055R	uranium	precip	0,001	0,001	0,001	0,001	0,001	0,001	0,001	0,001	0,001	0,001	0,001	0,001	0,001	86
CZ0003R	vanadium	precip	0,053	0,115	0,176	0,327	0,135	0,181	0,200	0,051	0,152	0,387	0,182	0,077	0,148	97



Site	Comp	Matrix	jan	feb	mar	apr	may	june	july	aug	sept	oct	nov	dec	2021	capture
CZ0005R	vanadium	precip	0,048	0,052	0,086	0,118	0,049	0,135	0,086	0,076	0,090	0,060	0,016	0,016	0,064	100
DE0001R	vanadium	precip	0,083	0,135	0,121	0,268	0,131	0,151	0,117	0,103	0,108	0,132	0,142	0,141	0,128	93
DE0002R	vanadium	precip	0,072	0,105	0,177	0,219	0,178	0,237	0,067	0,125	0,213	0,192	0,108	0,070	0,138	94
DE0003R	vanadium	precip	0,011	0,100	0,065	0,085	0,030	0,079	0,066	0,062	0,108	0,063	0,043	0,025	0,052	100
DE0007R	vanadium	precip	0,070	0,048	0,163	0,245	0,262	0,112	0,105	0,143	0,093	0,113	0,076	0,059	0,118	85
DE0008R	vanadium	precip	0,058	0,054	0,153	0,200	0,092	0,073	0,091	0,071	0,151	0,092	0,064	0,035	0,083	94
DE0009R	vanadium	precip	0,225	0,203	0,164	0,327	0,266	0,214	0,154	0,286	0,172	0,157	0,319	0,184	0,209	85
FI0018R	vanadium	precip	0,404	0,272	0,320	0,294	0,160	0,215	0,303	0,095	0,249	0,195	0,190	0,455	0,229	100
FI0036R	vanadium	precip	0,105	0,056	0,157	0,039	0,138	0,091	0,070	0,068	0,072	0,022	0,059	0,094	0,075	100
FI0050R	vanadium	precip	0,105	0,308	0,311	0,184	0,134	0,200	0,157	0,068	0,114	0,105	0,124	0,142	0,133	100
FI0053R	vanadium	precip	0,499	0,287	0,933	0,268	0,245	0,485	0,282	0,079	0,123	0,076	0,317	0,294	0,220	100
FI0092R	vanadium	precip	0,099	0,110	0,133	0,214	0,080	0,194	0,057	0,064	0,069	0,094	0,077	0,106	0,097	100
FI0093R	vanadium	precip	0,115	0,211	0,174	0,176	0,119	0,253	0,158	0,057	0,186	0,111	0,114	0,170	0,137	100
FR0090R	vanadium	precip	0,170	0,317	0,552	0,560	0,300	0,434	0,241	0,063	0,129	0,110	0,177	0,160	0,219	100
GB0048R	vanadium	precip	0,000	-	-	-	0,059	0,115	0,089	0,025	0,000	0,000	0,000	0,000	0,017	54
GB1055R	vanadium	precip	-	0,313	-	-	0,159	-	-	0,120	0,228	0,020	0,020	-	-	-
IS0091R	vanadium	precip	0,250	1,401	0,856	0,470	0,650	1,370	0,744	0,336	0,315	0,520	0,647	0,170	0,546	100
NL0010R	vanadium	precip	0,104	0,222	0,366	0,464	0,884	0,750	0,346	0,407	0,428	0,188	0,240	0,150	0,332	100
NL0091R	vanadium	precip	0,127	0,111	0,190	0,370	0,288	0,263	0,251	0,280	0,158	0,124	0,182	0,184	0,203	100
NO0001R	vanadium	precip	0,126	0,260	0,228	0,124	0,191	0,254	0,266	0,268	0,258	0,100	0,150	0,227	0,188	100
NO0039R	vanadium	precip	0,058	0,033	0,065	0,034	0,184	0,186	0,201	0,051	0,039	0,015	0,015	0,040	0,055	100
NO0056R	vanadium	precip	0,171	0,331	0,485	0,132	0,233	0,269	0,203	0,304	0,176	0,165	0,127	0,142	0,217	100
SE0005R	vanadium	precip	0,040	0,098	0,079	0,060	0,250	0,059	0,040	0,040	0,044	0,080	0,042	0,020	0,068	100
SE0014R	vanadium	precip	0,129	0,160	0,239	0,310	0,234	0,461	0,090	0,192	0,100	0,163	0,195	0,320	0,198	100

Site	Comp	Matrix	jan	feb	mar	apr	may	june	july	aug	sept	oct	nov	dec	2021	capture
SE0020R	vanadium	precip	0,160	0,095	0,241	0,310	0,221	0,120	0,120	0,480	0,150	0,159	0,170	0,267	0,225	100
SE0022R	vanadium	precip	0,080	0,202	0,191	0,120	0,190	0,213	0,140	0,401	0,120	0,154	0,084	0,090	0,182	100
SI0008R	vanadium	precip	0,106	0,201	0,151	0,168	0,154	0,116	0,518	0,254	0,111	0,070	0,050	0,027	0,162	100
BE0014R	zinc	precip	5,199	10,150	5,700	10,965	6,641	5,331	8,182	10,023	6,845	5,385	3,799	4,715	6,046	100
CZ0003R	zinc	precip	18,606	41,973	16,535	17,904	16,893	17,853	9,898	6,055	11,191	4,477	6,897	12,804	14,896	97
CZ0005R	zinc	precip	8,511	2,829	3,788	8,077	3,540	3,495	4,168	6,429	4,513	4,359	4,576	3,306	4,911	100
DE0001R	zinc	precip	1,631	3,819	2,381	6,713	3,276	2,707	1,897	1,827	2,922	1,356	2,466	1,450	2,296	99
DE0002R	zinc	precip	2,016	3,492	4,247	6,791	7,022	4,644	3,990	1,984	4,754	3,592	5,340	2,280	3,825	86
DE0003R	zinc	precip	0,696	0,956	1,807	4,633	2,029	3,252	1,260	1,277	1,630	2,614	4,112	1,015	1,773	95
DE0007R	zinc	precip	2,344	3,480	4,115	8,305	7,544	5,597	4,074	3,893	3,834	3,757	3,506	3,469	4,285	84
DE0008R	zinc	precip	5,523	12,390	15,050	9,587	8,660	4,341	5,563	3,710	6,997	11,318	6,028	4,327	6,614	100
DE0009R	zinc	precip	2,095	4,167	3,251	6,707	5,769	4,665	1,468	1,495	5,305	3,554	2,615	2,201	3,229	100
DK0005R	zinc	precip	10,795	45,609	56,714	52,000	51,493	22,386	26,601	27,678	15,509	4,750	9,472	88,456	31,872	100
DK0008R	zinc	precip	6,496	5,569	8,452	15,435	8,970	29,717	8,718	7,184	7,382	5,876	-	10,200	8,038	100
DK0012R	zinc	precip	7,845	6,867	7,401	15,294	10,714	20,228	7,390	2,827	6,738	3,863	14,685	5,198	7,195	100
DK0022R	zinc	precip	8,474	19,452	7,791	19,504	7,183	17,374	6,936	5,853	4,188	4,667	6,595	7,408	7,820	100
DK0031R	zinc	precip	8,462	5,418	5,702	9,090	3,670	13,212	5,975	5,952	6,123	4,216	4,888	2,994	5,500	100
EE0009R	zinc	precip	3,720	1,344	1,181	1,773	4,558	4,690	1,229	0,590	1,267	0,774	0,619	3,343	1,798	100
EE0011R	zinc	precip	5,487	0,780	3,477	18,873	5,757	2,760	0,510	2,681	3,284	3,101	0,529	2,173	3,385	100
ES0009R	zinc	precip	21,076	14,864	46,722	54,164	67,684	84,206	60,009	78,418	42,939	30,124	19,222	18,406	46,185	100
FI0018R	zinc	precip	4,328	3,593	5,881	3,973	3,089	6,144	5,197	1,829	3,219	2,140	3,196	4,541	3,276	100
FI0036R	zinc	precip	1,244	2,588	3,320	0,859	1,485	1,177	0,705	0,729	2,753	0,633	1,341	0,795	1,238	100
FI0050R	zinc	precip	2,262	2,330	9,489	4,300	-	-	-	-	-	-	-	14,401	-	-
FI0053R	zinc	precip	2,492	2,224	8,325	2,651	2,056	3,833	2,460	1,066	-	1,608	4,685	4,046	2,303	92

Site	Comp	Matrix	jan	feb	mar	apr	may	june	july	aug	sept	oct	nov	dec	2021	capture
FI0092R	zinc	precip	1,971	1,070	2,124	4,138	1,498	3,389	2,154	1,371	1,244	1,585	1,140	1,268	1,836	100
FI0093R	zinc	precip	2,585	1,932	3,573	2,338	2,295	3,220	2,732	0,795	3,140	2,196	1,528	2,195	2,153	100
FR0090R	zinc	precip	11,200	19,023	14,555	14,400	12,200	14,674	8,146	6,628	4,629	2,011	6,501	11,160	9,744	100
GB0006R	zinc	precip	0,256	0,250	0,250	0,250	0,250	1,628	1,612	0,250	0,250	0,250	0,250	0,250	0,337	96
GB0013R	zinc	precip	1,174	0,968	0,697	2,516	0,395	0,250	3,948	0,787	2,839	0,660	2,545	1,052	1,253	92
GB0017R	zinc	precip	1,703	1,979	3,255	3,363	3,364	-	2,573	3,109	2,961	1,228	4,495	1,593	2,427	78
GB0048R	zinc	precip	0,500	0,500	0,500	0,500	1,363	2,239	0,965	0,500	0,500	0,500	0,500	0,500	0,643	77
GB1055R	zinc	precip	-	0,500	0,500	-	0,500	-	-	0,500	0,666	0,500	0,500	0,500	0,524	51
IS0091R	zinc	precip	8,650	19,937	10,867	9,660	8,460	12,610	10,430	10,355	16,484	22,960	40,015	25,259	16,904	100
NL0010R	zinc	precip	6,136	6,187	10,949	11,436	19,837	16,940	8,967	13,097	14,685	8,166	8,586	5,360	10,125	100
NL0091R	zinc	precip	1,591	2,609	4,880	6,290	3,963	3,364	2,573	4,038	8,850	3,089	0,541	1,808	3,200	97
NO0001R	zinc	precip	3,668	6,770	7,118	3,969	2,342	7,125	28,196	6,085	3,667	2,163	4,750	5,023	5,256	100
NO0039R	zinc	precip	1,308	1,922	2,000	0,842	2,646	7,234	7,702	3,212	1,686	0,707	1,198	2,506	2,295	100
NO0056R	zinc	precip	3,547	24,944	9,448	9,783	4,719	10,858	7,294	7,340	4,339	3,780	2,716	4,422	6,414	100
PL0004R	zinc	precip	2,792	2,339	2,876	7,930	2,881	4,798	2,419	2,610	2,860	1,784	1,879	1,880	2,627	100
PL0005R	zinc	precip	2,600	1,500	3,504	7,500	7,886	4,091	7,200	4,150	5,200	4,573	4,057	5,200	5,315	100
SE0005R	zinc	precip	9,850	4,478	3,896	2,160	3,746	4,165	2,880	1,133	1,547	2,400	1,878	4,140	2,843	100
SE0014R	zinc	precip	2,991	11,860	5,714	5,020	13,475	11,410	1,780	7,307	4,600	5,228	2,895	3,970	6,768	100
SE0020R	zinc	precip	2,800	3,848	5,506	14,760	4,398	1,850	1,850	2,163	3,400	3,899	3,160	3,445	3,857	100
SE0022R	zinc	precip	3,020	12,141	12,281	3,186	4,210	4,566	3,630	2,612	2,840	3,998	2,649	2,580	3,832	100
SI0008R	zinc	precip	1,137	1,256	3,604	1,928	1,928	2,802	4,066	3,696	1,860	0,872	0,585	0,250	1,861	97
SK0002R	zinc	precip	10,180	14,550	48,620	22,030	16,960	146,560	55,810	15,500	17,920	138,200	38,680	81,010	33,199	100
SK0004R	zinc	precip	14,460	14,250	23,640	9,510	18,820	32,000	5,280	9,040	39,020	106,150	26,500	24,860	18,568	100
SK0006R	zinc	precip	16,146	19,802	27,230	16,434	54,954	26,628	25,572	16,076	105,030	110,304	25,668	-	32,018	100

Site	Comp	Matrix	jan	feb	mar	apr	may	june	july	aug	sept	oct	nov	dec	2021	capture
SK0007R	zinc	precip	164,590	31,440	-	6,970	382,040	48,820	826,740	20,400	160,440	852,780	16,480	14,960	252,405	100
BE0014R	mm	precip	123	39	31	16	68	108	86	44	38	85	131	92	860	100
CZ0003R	mm (Hg)	precip	49	40	25	33	91	65	104	70	23	28	23	45	596	99
CZ0003R	mm	precip	53	37	23	27	99	82	87	71	23	16	39	44	600	100
CZ0005R	mm	precip	19	9	6	11	21	6	16	3	2	9	1	16	119	85
DE0001R	mm (Hg)	precip	67	21	46	17	111	65	73	51	52	165	57	75	800	100
DE0001R	mm	precip	62	19	41	15	111	64	76	49	65	139	55	69	766	100
DE0002R	mm (Hg)	precip	61	56	33	44	86	48	57	71	30	34	37	35	592	99
DE0002R	mm	precip	60	52	33	43	85	47	56	71	29	34	38	47	593	100
DE0003R	mm (Hg)	precip	307	95	121	84	279	161	291	124	103	109	94	183	1951	100
DE0003R	mm	precip	296	90	119	57	267	152	273	113	96	101	92	179	1835	100
DE0007R	mm	precip	41	33	27	31	78	67	83	112	39	51	52	48	663	100
DE0008R	mm (Hg)	precip	142	73	53	49	107	156	154	182	32	57	48	116	1170	100
DE0008R	mm	precip	152	64	54	49	110	155	153	185	35	63	69	109	1199	100
DE0009R	mm (Hg)	precip	55	22	39	25	72	22	92	72	41	90	45	36	611	99
DE0009R	mm	precip	59	21	36	24	67	19	82	71	41	95	45	53	612	100
DK0005R	mm	precip	43	19	37	29	55	25	30	77	22	67	39	32	474	100
DK0008R	mm	precip	57	27	25	11	92	7	51	80	78	75	3	44	552	92
DK0012R	mm	precip	50	23	27	13	66	20	44	105	34	71	28	61	542	100
DK0022R	mm	precip	92	22	63	33	146	43	60	104	77	124	57	67	890	100
DK0031R	mm	precip	94	23	61	17	139	43	51	82	51	197	93	84	935	100

Site	Comp	Matrix	jan	feb	mar	apr	may	june	july	aug	sept	oct	nov	dec	2021	capture
EE0009R	mm	precip	54	40	43	46	82	17	76	155	31	78	73	53	746	71
EE0011R	mm	precip	71	14	20	27	69	38	90	112	45	85	82	56	709	100
ES0008R	mm (Hg)	precip	183	108	30	53	74	173	17	45	86	30	200	0	999	71
ES0008R	mm	precip	177	88	36	36	61	176	18	44	94	33	241	121	1124	76
ES0009R	mm	precip	28	47	18	53	86	45	9	10	50	37	22	31	437	62
FI0018R	mm (Hg)	precip	55	45	22	29	94	18	33	108	35	98	60	40	637	100
FI0018R	mm	precip	54	46	21	24	93	17	26	104	32	91	57	36	601	100
FI0036R	mm	precip	29	24	11	27	69	55	47	71	47	93	36	37	546	100
FI0036R	mm (Hg)	precip	15	14	10	23	55	53	57	77	64	104	25	10	508	100
FI0050R	mm (Hg)	precip	61	33	8	38	78	57	53	76	32	79	31	32	578	98
FI0050R	mm	precip	60	33	8	10	73	54	53	118	33	89	32	31	594	100
FI0053R	mm	precip	19	19	8	52	66	27	48	95	36	89	18	16	495	100
FI0092R	mm	precip	52	26	26	38	95	39	79	75	43	78	53	34	638	100
FI0093R	mm (Hg)	precip	75	39	29	44	97	68	36	118	33	68	46	35	689	100
FI0093R	mm	precip	69	44	29	39	100	65	32	125	29	88	46	36	703	100
FR0008R	mm	precip_tot	207	195	63	94	149	168	186	106	80	91	85	166	1590	99
FR0009R	mm	precip_tot	137	143	55	49	75	125	145	61	102	107	61	104	1164	99
FR0013R	mm	precip_tot	104	78	17	36	66	49	63	30	70	50	61	103	726	99
FR0023R	mm	precip_tot	70	89	30	94	142	77	112	38	153	90	31	96	1023	99
FR0025R	mm	precip_tot	77	78	32	41	58	75	108	47	116	62	62	86	843	99
FR0028R	mm	precip_tot	113	100	34	56	70	98	106	40	122	102	44	108	992	99
FR0090R	mm	precip	136	86	39	3	99	30	59	43	40	136	43	65	779	100
GB0006R	mm	precip	168	135	132	51	101	47	87	202	82	139	120	208	1471	100
GB0013R	mm (Hg)	precip	0	144	75	20	228	118	5	45	107	196	40	131	1109	75

Site	Comp	Matrix	jan	feb	mar	apr	may	june	july	aug	sept	oct	nov	dec	2021	capture
GB0013R	mm	precip	136	157	64	10	243	97	94	54	73	142	41	107	1215	99
GB0017R	mm (Hg)	precip	64	30	25	35	39	78	13	25	37	69	40	60	514	92
GB0017R	mm	precip	67	31	28	27	34	76	73	33	39	69	40	66	583	100
GB0048R	mm	precip	105	57	60	27	99	25	43	78	54	129	86	55	818	99
GB0048R	mm (Hg)	precip	0	54	65	21	111	29	42	79	49	170	74	57	751	90
GB1055R	mm	precip	62	45	27	13	94	81	69	22	46	89	16	66	630	95
GB1055R	mm (Hg)	precip	12	66	23	10	111	68	68	27	51	85	29	66	615	84
HU0002R	mm	precip	18	37	9	44	143	22	106	43	14	46	87	40	608	72
IS0091R	mm	precip	65	30	49	58	80	64	58	64	241	54	88	76	928	90
LV0010R	mm_off (Hg)	precip	66	8	65	54	67	34	116	206	60	104	180	119	1079	92
NL0010R	mm	precip	92	56	62	20	52	10	38	38	38	72	23	27	527	75
NL0091R	mm	precip	79	37	31	30	91	124	71	21	23	145	86	55	792	71
NL0091R	mm (Hg)	precip	75	38	27	24	86	98	40	42	24	110	74	53	690	94
NO0001R	mm (Hg)	precip	96	73	107	14	213	60	68	91	138	289	170	158	1477	100
NO0039R	mm (Hg)	precip	0	75	152	253	14	83	71	265	171	232	190	287	1793	89
NO0039R	mm	precip	47	47	196	211	19	86	75	258	174	235	153	135	1635	100
NO0039R	mm	precip	47	47	196	211	19	86	75	258	174	235	153	135	1635	100
NO0047R	mm	precip	11	10	20	19	58	51	52	41	32	80	24	29	428	98
NO0056R	mm (Hg)	precip	5	23	54	20	128	72	129	29	80	205	67	27	839	93
NO0056R	mm	precip	95	34	54	21	109	58	118	20	70	133	56	34	803	100
NO0056R	mm	precip	98	34	54	21	109	58	118	20	70	133	56	34	806	100
PL0004R	mm	precip	51	21	29	15	57	15	32	155	32	79	56	33	574	100
PL0005R	mm	precip	42	4	25	51	58	36	102	89	51	35	45	40	578	99
PL0005R	mm (Hg)	precip	30	0	17	74	61	36	89	88	50	40	43	23	551	99

Site	Comp	Matrix	jan	feb	mar	apr	may	june	july	aug	sept	oct	nov	dec	2021	capture
SE0005R	mm (Hg)	precip	32	43	18	29	35	60	59	137	76	104	15	19	628	99
SE0005R	mm	precip	13	15	19	18	35	56	54	71	63	60	31	21	457	99
SE0014R	mm (Hg)	precip	61	13	28	19	128	27	62	120	129	69	48	35	739	100
SE0014R	mm	precip	50	15	23	26	130	22	55	78	62	60	59	37	616	98
SE0020R	mm (Hg)	precip	72	31	63	23	112	7	130	122	114	142	66	62	946	99
SE0020R	mm	precip	60	17	131	13	74	6	62	76	61	66	43	43	653	92
SE0022R	mm	precip	21	4	21	33	55	35	44	69	55	49	37	28	451	100
SI0008R	mm	precip	128	37	48	87	176	37	148	71	108	138	188	83	1250	99
SI0008R	mm (Hg)	precip	168	57	46	107	214	41	18	85	134	46	197	127	1239	94
SK0002R	mm	precip	250	112	115	132	124	37	128	183	68	9	36	118	1312	100
SK0004R	mm	precip	30	41	18	45	81	37	111	122	61	12	30	35	623	100
SK0006R	mm	precip	64	60	40	49	61	35	95	113	56	3	58	0	633	90
SK0007R	mm	precip	34	33	0	47	37	5	66	48	64	25	37	41	438	92





## **Appendix F**

### **Monthly and annual mean values for heavy metals in air**

Site	Comp	Matrix	jan	feb	mar	apr	may	june	july	aug	sept	oct	nov	dec	2021	capture
CY0002R	aluminium	pm10	439,9	554,4	498,5	559,4	675,2	352,6	475,8	521,3	559,0	581,1	828,8	324,5	531,09	93,2
ES1778R	aluminium	pm10	37,2	700,6	338,6	139,0	103,0	216,3	299,4	852,2	166,5	97,4	73,7	59,8	254,34	29,0
ES1778R	aluminium	pm1	8,610	30,6	6,804	5,200	10,0	19,5	18,7	-	23,5	25,1	8,970	-	17,06	19,7
ES1778R	aluminium	pm25	56,9	215,8	68,8	40,3	30,2	73,0	75,4	5,200	44,7	32,6	34,5	34,7	64,91	26,6
FI0018R	aluminium	pm10	20,4	24,3	58,7	101,3	88,8	722,9	568,7	85,0	75,0	210,5	55,9	25,3	162,24	94,0
FI0036R	aluminium	pm10	9,679	13,8	16,5	51,5	17,8	35,5	57,0	11,5	14,4	10,4	4,259	4,702	20,61	99,5
FI0050R	aluminium	pm10	10,3	22,5	39,4	75,5	71,9	149,1	138,0	27,9	30,7	52,3	22,1	11,5	54,53	98,9
IS0091R	aluminium	aerosol	149,2	148,5	123,0	268,2	275,3	286,1	45,5	49,9	127,4	134,0	70,3	64,6	145,41	76,3
IT0019R	aluminium	pm10	15,0	813,6	128,6	197,7	69,6	1253,9	808,7	445,5	357,5	-	-	31,5	376,85	30,1
NO0002R	aluminium	pm10	17,1	21,7	20,3	32,2	22,4	30,3	35,2	14,1	25,1	13,6	6,242	4,756	19,29	92,1
NO0042G	aluminium	aerosol	174,2	35,0	40,2	52,2	53,4	74,0	52,5	16,5	28,6	32,3	218,8	33,3	69,79	29,3
NO0090R	aluminium	aerosol	11,8	47,2	25,2	88,7	44,4	42,5	66,0	4,968	35,3	18,7	33,5	19,4	35,61	28,5
DE0001R	antimony	pm10	0,162	0,305	0,229	0,154	0,114	0,195	0,145	0,128	0,242	0,309	0,362	0,313	0,22	100
DE0002R	antimony	pm10	0,280	0,350	0,339	0,212	0,174	0,304	0,228	0,232	0,445	0,496	0,541	0,461	0,34	100
DE0003R	antimony	pm10	0,166	0,070	0,115	0,224	0,110	0,276	0,214	0,144	0,235	0,163	0,076	0,043	0,15	100
DE0007R	antimony	pm10	0,271	0,394	0,361	0,201	0,166	0,213	0,187	0,143	0,300	0,476	0,432	0,449	0,30	100
DE0008R	antimony	pm10	0,088	0,216	0,236	0,198	0,143	0,286	0,198	0,175	0,345	0,221	0,112	0,077	0,19	100
DE0009R	antimony	pm10	0,185	0,271	0,243	0,168	0,124	0,238	0,142	0,100	0,224	0,350	0,249	0,277	0,21	100
ES1778R	antimony	pm10	0,199	0,240	0,334	0,195	0,206	0,258	0,268	0,252	0,193	0,244	0,211	0,152	0,24	29,0
ES1778R	antimony	pm1	0,149	0,155	0,188	0,160	0,094	0,320	0,181	-	0,190	0,260	0,305	-	0,19	19,7
ES1778R	antimony	pm25	0,187	0,180	0,260	0,150	0,141	0,248	0,249	0,110	0,154	0,234	0,203	0,192	0,21	26,6
IT0019R	antimony	pm10	0,089	0,118	0,210	0,205	0,185	0,210	0,163	0,163	0,237	-	-	0,057	0,15	30,1
BE0014R	arsenic	pm10	0,523	0,593	0,455	0,475	0,297	0,427	0,307	0,326	0,570	0,500	0,490	0,407	0,44	94,5

Site	Comp	Matrix	jan	feb	mar	apr	may	june	july	aug	sept	oct	nov	dec	2021	capture
CY0002R	arsenic	pm10	0,371	0,560	0,546	0,418	0,387	0,396	0,478	0,493	0,499	0,455	0,454	0,357	0,45	93,2
CZ0003R	arsenic	pm10	0,467	0,687	0,472	0,269	0,141	0,431	0,154	0,114	0,514	0,439	0,504	0,629	0,40	49,3
CZ0003R	arsenic	pm25	0,418	0,598	0,397	0,212	0,113	0,335	0,110	0,184	0,419	0,325	0,485	0,637	0,35	49,9
CZ0005R	arsenic	pm10	0,137	0,147	0,097	0,155	0,101	0,269	0,082	0,049	0,215	0,121	0,097	0,095	0,13	49,3
DE0001R	arsenic	pm10	0,166	0,298	0,210	0,202	0,127	0,256	0,158	0,120	0,238	0,276	0,229	0,440	0,23	100
DE0002R	arsenic	pm10	0,215	0,323	0,229	0,237	0,192	0,462	0,267	0,191	0,317	0,337	0,335	0,676	0,31	100
DE0003R	arsenic	pm10	0,180	0,080	0,087	0,132	0,062	0,158	0,086	0,083	0,111	0,096	0,034	0,020	0,09	100
DE0007R	arsenic	pm10	0,335	0,486	0,214	0,241	0,144	0,414	0,333	0,133	0,531	0,391	0,496	0,931	0,39	100
DE0008R	arsenic	pm10	0,084	0,226	0,130	0,177	0,108	0,209	0,126	0,087	0,195	0,197	0,094	0,083	0,14	100
DE0009R	arsenic	pm10	0,215	0,457	0,226	0,179	0,138	0,334	0,174	0,098	0,323	0,288	0,289	0,402	0,26	100
DK0008R	arsenic	aerosol	0,165	0,332	0,190	0,110	0,183	0,235	0,205	0,120	0,300	0,294	0,172	0,216	0,21	98,6
DK0010G	arsenic	aerosol	0,012	0,058	0,097	0,061	0,031	0,008	0,007	-	-	-	-	-	0,04	48,8
DK0012R	arsenic	aerosol	0,289	0,507	0,389	0,212	0,173	0,482	0,157	0,133	0,325	0,355	0,308	0,372	0,31	99,6
EE0009R	arsenic	pm10	0,333	0,125	0,123	0,100	0,100	0,169	0,083	0,065	0,158	0,250	0,088	0,100	0,14	85,8
ES0001R	arsenic	pm10	0,080	0,138	0,100	0,108	0,161	0,246	0,222	0,536	0,210	0,460	0,099	0,096	0,21	16,4
ES0007R	arsenic	pm10	0,076	0,196	0,098	0,092	0,112	0,139	0,374	0,287	0,239	0,224	0,154	0,126	0,18	16,4
ES0008R	arsenic	pm10	0,080	0,086	0,146	0,130	0,103	0,130	0,212	0,154	0,207	0,204	0,112	0,188	0,15	16,4
ES0009R	arsenic	pm10	0,080	0,104	0,126	0,086	0,088	0,146	0,134	0,314	0,130	0,132	0,106	0,064	0,13	16,4
ES0014R	arsenic	pm10	0,093	0,370	0,257	0,169	0,098	0,100	0,165	0,148	0,280	0,266	0,172	0,130	0,19	16,0
ES1778R	arsenic	pm10	0,050	0,252	0,243	0,111	0,121	0,158	0,148	0,223	0,124	0,150	0,090	0,066	0,14	29,0
ES1778R	arsenic	pm1	0,053	0,112	0,192	0,080	0,093	0,115	0,080	-	0,080	0,129	0,065	-	0,10	19,7
ES1778R	arsenic	pm25	0,048	0,165	0,225	0,088	0,095	0,123	0,098	0,090	0,113	0,133	0,091	0,066	0,11	26,6
FI0018R	arsenic	pm10	0,471	0,206	0,207	0,186	0,169	0,343	0,186	0,118	0,217	0,704	0,191	0,197	0,25	94,0
FI0036R	arsenic	pm10	0,325	0,098	0,096	0,041	0,050	0,053	0,038	0,032	0,111	0,122	0,038	0,067	0,09	99,5

Site	Comp	Matrix	jan	feb	mar	apr	may	june	july	aug	sept	oct	nov	dec	2021	capture
FI0050R	arsenic	pm10	0,349	0,243	0,222	0,177	0,179	0,225	0,135	0,138	0,192	0,391	0,178	0,157	0,22	98,9
FR0008R	arsenic	pm10	0,085	0,177	0,184	0,185	0,085	0,162	0,105	0,118	0,158	0,161	0,085	0,059	0,13	99,0
FR0009R	arsenic	pm10	0,242	0,239	0,296	0,349	0,213	0,184	0,133	0,105	0,204	0,225	0,243	0,126	0,22	91,1
FR0013R	arsenic	pm10	0,187	0,213	0,352	0,244	0,297	0,139	0,126	0,130	0,131	0,208	0,269	0,195	0,20	89,4
FR0023R	arsenic	pm10	0,130	0,167	0,174	0,146	0,082	0,138	0,078	0,125	0,131	0,137	0,106	0,059	0,13	91,3
FR0025R	arsenic	pm10	0,132	0,200	0,211	0,223	0,090	0,159	0,141	0,162	0,159	0,227	0,204	0,118	0,17	98,5
FR0028R	arsenic	pm10	0,091	0,165	0,246	0,162	0,220	0,121	0,161	0,091	0,131	0,121	0,102	0,030	0,14	95,0
GB0013R	arsenic	pm10	0,324	0,453	0,513	0,624	0,249	0,426	0,324	0,415	0,494	0,383	0,398	0,218	0,40	98,1
GB0017R	arsenic	pm10	0,748	0,753	0,527	0,385	0,332	0,349	0,393	0,357	0,417	0,845	0,815	0,597	0,54	100
GB0048R	arsenic	pm10	0,199	0,188	0,156	0,369	0,166	0,208	0,212	0,212	0,186	0,110	0,140	0,160	0,19	100
GB1055R	arsenic	pm10	0,848	0,767	1,014	0,915	0,404	0,492	0,443	0,378	0,421	0,593	0,660	0,443	0,61	99,9
IS0091R	arsenic	aerosol	0,023	0,030	0,025	0,069	0,060	0,076	0,026	0,060	0,030	0,030	0,020	0,010	0,04	76,3
IT0019R	arsenic	pm10	0,049	0,165	0,176	0,132	0,073	0,326	0,228	0,190	0,180	-	-	0,049	0,14	30,1
LV0010R	arsenic	pm10	1,075	0,464	0,161	0,401	0,108	0,127	0,122	0,233	0,292	0,756	0,296	0,116	0,36	48,2
NL0008R	arsenic	pm10	0,397	0,500	0,326	0,226	0,357	0,364	0,572	0,200	0,466	0,632	0,645	0,432	0,43	47,4
NL0644R	arsenic	pm25	0,293	0,265	0,285	0,196	0,235	0,598	0,213	0,462	0,582	0,580	0,722	0,350	0,39	23,6
NO0002R	arsenic	pm10	0,075	0,098	0,091	0,103	0,130	0,184	0,115	0,098	0,139	0,119	0,069	0,058	0,11	92,1
NO0042G	arsenic	aerosol	0,054	0,034	0,145	0,039	0,033	0,012	0,008	0,012	0,011	0,007	0,062	0,020	0,04	29,3
NO0090R	arsenic	aerosol	0,119	0,076	0,022	0,067	0,030	0,026	0,045	0,010	0,027	0,010	0,030	0,036	0,04	28,5
PL0005R	arsenic	pm10	0,436	0,400	0,155	0,160	0,100	0,123	0,119	0,210	0,133	0,436	0,247	0,240	0,23	99,7
PL0009R	arsenic	pm10	0,852	1,100	0,190	0,100	0,100	0,100	0,100	0,161	0,100	0,326	0,372	0,713	0,37	90,1
SE0005R	arsenic	aerosol	0,032	0,030	0,037	0,012	0,057	0,063	0,048	0,040	0,039	0,066	0,010	0,034	0,01	84,7
SE0014R	arsenic	aerosol	0,200	0,200	0,167	0,130	0,186	0,200	0,200	0,132	0,274	0,230	0,171	0,180	0,19	88,5
SE0020R	arsenic	aerosol	0,160	0,101	0,386	0,097	0,102	0,211	0,110	0,102	0,130	0,130	0,160	0,170	0,03	100

Site	Comp	Matrix	jan	feb	mar	apr	may	june	july	aug	sept	oct	nov	dec	2021	capture
SE0022R	arsenic	aerosol	0,130	0,130	0,131	0,140	0,131	0,138	0,099	0,076	0,144	0,290	0,108	0,110	0,14	100
SI0008R	arsenic	pm10	0,121	0,123	0,123	0,068	0,068	0,179	0,068	0,068	0,145	0,186	0,214	0,088	0,12	22,2
SK0002R	arsenic	aerosol	0,073	0,081	0,187	0,177	0,081	0,081	0,081	0,081	0,081	0,081	0,081	0,081	0,10	99,7
SK0004R	arsenic	pm10	0,202	0,081	0,350	0,214	0,081	0,174	0,281	0,081	0,138	0,142	0,109	0,185	0,17	72,9
SK0006R	arsenic	pm10	0,243	0,291	0,438	0,383	0,133	0,197	0,081	0,081	0,081	0,209	0,165	0,180	0,21	99,2
SK0007R	arsenic	pm10	0,191	0,358	0,325	0,405	0,231	0,309	0,307	0,205	0,200	0,417	0,416	0,844	0,33	67,1
ES1778R	barium	pm10	0,931	6,610	3,799	1,305	2,810	6,453	4,035	5,640	1,646	2,015	0,308	0,520	3,138	29,0
ES1778R	barium	pm1	0,334	0,540	0,441	0,705	1,252	2,775	0,802	-	0,015	0,400	0,015	-	0,83	19,7
ES1778R	barium	pm25	0,676	2,388	0,868	0,088	1,540	4,270	1,255	0,015	0,082	0,487	0,015	0,229	1,0957	26,6
IT0019R	barium	pm10	0,250	8,413	1,018	1,933	0,398	6,512	3,801	4,690	3,487	-	-	0,448	2,9591	30,1
ES1778R	bismuth	pm10	0,025	0,071	0,045	0,035	0,033	0,259	0,074	0,027	0,054	0,067	0,094	0,377	0,08	29,0
ES1778R	bismuth	pm1	0,021	0,058	0,045	0,048	0,026	0,136	0,062	-	0,028	0,046	0,015	-	0,05	19,7
ES1778R	bismuth	pm25	0,024	0,066	0,048	0,032	0,029	0,246	0,067	0,060	0,055	0,061	0,124	0,397	0,09	26,6
BE0014R	cadmium	pm10	0,094	0,157	0,081	0,032	0,090	0,073	0,086	0,036	0,100	0,104	0,097	0,113	0,09	94,5
CY0002R	cadmium	pm10	0,169	0,108	0,067	0,079	0,052	0,062	0,078	0,091	0,083	0,084	0,140	0,101	0,09	93,2
CZ0003R	cadmium	pm10	0,074	0,132	0,099	0,078	0,033	0,060	0,036	0,025	0,192	0,102	0,071	0,072	0,08	49,3
CZ0003R	cadmium	pm25	0,069	0,130	0,085	0,068	0,029	0,053	0,026	0,021	0,134	0,082	0,070	0,065	0,07	49,9
CZ0005R	cadmium	pm10	0,056	0,002	0,026	0,038	0,013	0,031	0,016	0,010	0,051	0,030	0,017	0,012	0,03	49,3
DE0001R	cadmium	pm10	0,043	0,072	0,042	0,039	0,024	0,035	0,028	0,022	0,039	0,062	0,050	0,082	0,04	100
DE0002R	cadmium	pm10	0,090	0,140	0,073	0,064	0,047	0,060	0,045	0,037	0,056	0,084	0,095	0,140	0,08	100
DE0003R	cadmium	pm10	0,028	0,011	0,018	0,036	0,012	0,020	0,021	0,016	0,024	0,027	0,016	0,006	0,02	100
DE0007R	cadmium	pm10	0,067	0,100	0,057	0,054	0,039	0,051	0,041	0,036	0,082	0,103	0,102	0,153	0,07	100
DE0008R	cadmium	pm10	0,026	0,049	0,038	0,040	0,021	0,034	0,022	0,019	0,040	0,044	0,024	0,030	0,03	100
DE0009R	cadmium	pm10	0,057	0,081	0,058	0,041	0,026	0,048	0,029	0,026	0,052	0,087	0,057	0,084	0,05	100

Site	Comp	Matrix	jan	feb	mar	apr	may	june	july	aug	sept	oct	nov	dec	2021	capture
DK0008R	cadmium	aerosol	0,026	0,060	0,028	0,021	0,024	0,038	0,020	0,017	0,026	0,053	0,024	0,038	0,03	98,6
DK0010G	cadmium	aerosol	0,002	0,010	0,014	0,009	0,004	0,001	0,001	-	-	-	-	-	0,01	48,8
DK0012R	cadmium	aerosol	0,051	0,083	0,030	0,017	0,008	0,048	0,019	0,008	0,025	0,060	0,046	0,064	0,04	99,6
EE0009R	cadmium	pm10	0,050	0,033	0,031	0,031	0,031	0,072	0,050	0,010	0,020	0,100	0,035	0,047	0,04	85,8
ES0001R	cadmium	pm10	0,020	0,046	0,042	0,024	0,015	0,021	0,010	0,030	0,022	0,032	0,023	0,018	0,03	16,4
ES0007R	cadmium	pm10	0,024	0,036	0,146	0,036	0,010	0,014	0,028	0,012	0,061	0,052	0,027	0,021	0,04	16,4
ES0008R	cadmium	pm10	0,048	0,068	0,094	0,112	0,049	0,058	0,092	0,076	0,087	0,068	0,053	0,094	0,08	16,4
ES0009R	cadmium	pm10	0,020	0,034	0,028	0,036	0,010	0,027	0,010	0,024	0,016	0,390	0,014	0,010	0,05	16,4
ES0014R	cadmium	pm10	0,015	0,058	0,063	0,032	0,018	0,012	0,023	0,020	0,028	0,054	0,104	0,018	0,04	16,0
ES1778R	cadmium	pm10	0,038	0,038	0,045	0,023	0,023	0,028	0,035	0,019	0,017	0,032	0,049	0,044	0,03	29,0
ES1778R	cadmium	pm1	0,038	0,033	0,040	0,015	0,019	0,020	0,027	-	0,015	0,029	0,028	-	0,03	19,7
ES1778R	cadmium	pm25	0,042	0,037	0,044	0,023	0,024	0,028	0,033	0,015	0,019	0,032	0,070	0,052	0,03	26,6
FI0018R	cadmium	pm10	0,106	0,069	0,041	0,038	0,050	0,052	0,042	0,019	0,036	0,147	0,056	0,078	0,06	94,0
FI0036R	cadmium	pm10	0,046	0,021	0,028	0,006	0,007	0,011	0,010	0,006	0,018	0,022	0,008	0,016	0,02	99,5
FI0050R	cadmium	pm10	0,064	0,062	0,043	0,032	0,042	0,031	0,023	0,020	0,034	0,080	0,045	0,043	0,04	98,9
FR0008R	cadmium	pm10	0,026	0,048	0,050	0,056	0,022	0,030	0,023	0,028	0,034	0,042	0,031	0,021	0,03	99,0
FR0009R	cadmium	pm10	0,087	0,087	0,181	0,181	0,116	0,075	0,048	0,035	0,074	0,080	0,152	0,050	0,10	91,1
FR0013R	cadmium	pm10	0,042	0,048	0,060	0,062	0,049	0,031	0,027	0,021	0,026	0,052	0,063	0,052	0,04	89,4
FR0023R	cadmium	pm10	0,023	0,043	0,049	0,053	0,020	0,052	0,016	0,026	0,028	0,034	0,043	0,018	0,03	91,3
FR0025R	cadmium	pm10	0,053	0,077	0,102	0,068	0,022	0,048	0,031	0,025	0,038	0,060	0,082	0,044	0,05	98,5
FR0028R	cadmium	pm10	0,041	0,056	0,062	0,044	0,053	0,021	0,038	0,019	0,027	0,033	0,046	0,010	0,04	95,0
GB0013R	cadmium	pm10	0,040	0,047	0,079	0,082	0,040	0,052	0,045	0,062	0,066	0,052	0,065	0,026	0,06	98,1
GB0017R	cadmium	pm10	0,164	0,120	0,082	0,076	0,059	0,044	0,054	0,061	0,065	0,111	0,102	0,079	0,08	100
GB0048R	cadmium	pm10	0,017	0,021	0,021	0,044	0,020	0,025	0,022	0,026	0,020	0,012	0,011	0,013	0,02	100

Site	Comp	Matrix	jan	feb	mar	apr	may	june	july	aug	sept	oct	nov	dec	2021	capture
GB1055R	cadmium	pm10	0,170	0,099	0,109	0,103	0,059	0,072	0,077	0,070	0,070	0,097	0,108	0,069	0,09	99,9
HU0002R	cadmium	aerosol	0,059	0,066	0,071	0,045	0,024	0,031	0,039	0,019	0,036	0,056	0,037	0,007	0,04	95,7
IS0091R	cadmium	aerosol	0,003	0,004	0,002	0,018	0,033	0,185	0,034	0,047	0,015	0,009	0,003	0,003	0,04	76,3
IT0019R	cadmium	pm10	0,021	0,045	0,046	0,032	0,015	0,043	0,037	0,027	0,043	-	-	0,026	0,03	30,1
LV0010R	cadmium	pm10	0,156	0,104	0,062	0,143	0,067	0,022	0,038	0,031	0,061	0,168	0,028	0,033	0,08	48,2
NL0008R	cadmium	pm10	0,088	0,141	0,091	0,057	0,110	0,067	0,065	0,043	0,144	0,118	0,147	0,106	0,10	49,3
NL0644R	cadmium	pm25	0,133	0,107	0,096	0,084	0,190	0,027	0,036	0,044	0,067	0,099	0,168	0,103	0,10	21,9
NO0002R	cadmium	pm10	0,019	0,023	0,014	0,008	0,018	0,021	0,016	0,013	0,018	0,031	0,016	0,016	0,02	92,1
NO0042G	cadmium	aerosol	0,035	0,011	0,027	0,013	0,011	0,006	0,075	0,027	0,009	0,002	0,029	0,019	0,02	28,8
NO0090R	cadmium	aerosol	0,015	0,015	0,006	0,026	0,004	0,003	0,005	0,002	0,004	0,001	0,006	0,007	0,01	28,5
PL0005R	cadmium	pm10	0,064	0,060	0,028	0,026	0,008	0,015	0,017	0,015	0,038	0,098	0,077	0,067	0,04	99,7
PL0009R	cadmium	pm10	0,155	0,263	0,133	0,095	0,034	0,030	0,030	0,044	0,227	0,070	0,167	0,149	0,12	90,1
SE0005R	cadmium	aerosol	0,008	0,010	0,010	0,002	0,007	0,008	0,008	0,004	0,007	0,012	0,004	0,007	0,17	84,7
SE0014R	cadmium	aerosol	0,036	0,036	0,023	0,017	0,017	0,028	0,020	0,011	0,024	0,033	0,019	0,031	0,02	88,5
SE0020R	cadmium	aerosol	0,032	0,019	0,055	0,018	0,016	0,032	0,019	0,015	0,019	0,021	0,028	0,039	0,39	100
SE0022R	cadmium	aerosol	0,024	0,029	0,026	0,013	0,024	0,017	0,014	0,010	0,016	0,048	0,023	0,022	0,02	100
SI0008R	cadmium	pm10	0,046	0,029	0,052	0,034	0,014	0,057	0,042	0,043	0,044	0,071	0,067	0,064	0,05	22,2
SK0002R	cadmium	aerosol	0,004	0,004	0,009	0,083	0,014	0,049	0,041	0,004	0,050	0,047	0,009	0,004	0,03	99,7
SK0004R	cadmium	pm10	0,004	0,004	0,066	0,092	0,038	0,065	0,084	0,024	0,097	0,108	0,111	0,089	0,07	72,9
SK0006R	cadmium	pm10	0,004	0,004	0,084	0,046	0,047	0,050	0,073	0,036	0,083	0,132	0,123	0,091	0,06	99,2
SK0007R	cadmium	pm10	0,004	0,004	0,109	0,083	0,057	0,065	0,077	0,021	0,096	0,171	0,268	0,178	0,09	67,1
ES1778R	cerium	pm10	0,078	1,062	0,619	0,205	0,211	0,395	0,362	1,195	0,203	0,123	0,093	0,106	0,35	29,0
ES1778R	cerium	pm1	0,032	0,157	0,198	0,028	0,134	0,155	0,063	-	0,060	0,062	0,023	-	0,09	19,7
ES1778R	cerium	pm25	0,036	0,438	0,348	0,099	0,153	0,210	0,125	0,015	0,069	0,064	0,050	0,060	0,14	26,6

Site	Comp	Matrix	jan	feb	mar	apr	may	june	july	aug	sept	oct	nov	dec	2021	capture
BE0014R	chromium	pm10	0,674	1,379	1,068	1,111	0,690	2,300	1,890	2,348	2,150	1,768	1,263	1,061	1,4484	94,5
CY0002R	chromium	pm10	1,583	1,422	0,763	0,993	1,159	0,792	1,230	1,152	1,265	1,550	1,869	0,739	1,2	93,2
CZ0003R	chromium	pm10	0,460	0,659	0,446	0,345	1,103	0,883	0,417	0,430	0,875	0,584	1,351	0,256	0,65	49,3
CZ0003R	chromium	pm25	0,453	0,196	0,208	0,204	1,146	0,418	0,191	0,228	0,293	0,298	0,260	0,213	0,34	49,9
CZ0005R	chromium	pm10	0,170	0,572	0,238	0,320	0,375	0,149	0,215	0,342	0,214	0,372	0,906	0,370	0,35	49,3
DE0001R	chromium	pm10	0,437	1,210	0,437	2,087	0,773	1,294	1,412	1,471	2,677	1,928	0,871	0,437	1,2478	100
DE0002R	chromium	pm10	1,619	1,391	1,194	1,059	0,437	0,761	0,893	0,589	0,437	0,531	0,878	0,822	0,86	100
DE0003R	chromium	pm10	1,669	0,792	0,437	0,437	0,437	1,191	1,027	0,437	0,437	0,437	0,437	0,437	0,68	100
DE0007R	chromium	pm10	0,515	1,043	0,458	1,023	0,437	0,437	0,437	0,601	0,696	0,437	0,766	0,437	0,60	100
DE0008R	chromium	pm10	0,437	0,437	0,437	0,437	0,437	0,976	0,785	0,693	1,289	1,245	0,485	0,437	0,68	100
DE0009R	chromium	pm10	0,985	0,843	0,596	0,815	0,908	0,800	0,437	0,437	0,546	0,565	0,437	0,437	0,65	100
ES0001R	chromium	pm10	0,288	1,694	0,806	0,434	0,320	0,418	0,590	1,956	1,188	0,470	0,910	0,249	0,77	16,4
ES0007R	chromium	pm10	0,366	1,850	0,476	0,572	0,327	0,429	1,756	1,464	1,058	0,582	0,234	0,423	0,79	16,4
ES0008R	chromium	pm10	0,358	0,666	0,772	0,924	0,169	0,158	0,322	0,609	0,658	0,406	0,324	0,763	0,51	16,4
ES0009R	chromium	pm10	0,292	0,938	1,406	0,886	0,125	0,520	0,230	2,244	0,446	0,090	0,164	0,114	0,62	16,4
ES0014R	chromium	pm10	0,130	1,255	0,721	0,609	0,362	0,248	0,495	0,374	0,374	0,308	0,332	0,130	0,44	16,0
ES1778R	chromium	pm10	0,110	3,201	2,569	0,701	0,750	1,557	0,753	3,481	0,550	0,487	0,474	0,614	1,10	29,0
ES1778R	chromium	pm1	0,058	1,206	2,074	0,015	1,470	1,047	0,373	-	1,645	0,579	0,128	-	0,75	19,7
ES1778R	chromium	pm25	0,036	1,370	3,560	0,525	1,156	1,532	0,329	0,210	0,266	0,202	0,239	0,201	0,70	26,6
FI0018R	chromium	pm10	0,506	0,353	0,130	0,200	0,329	0,629	0,362	0,171	0,322	0,635	0,118	0,300	0,33	94,0
FI0036R	chromium	pm10	0,329	0,209	0,328	0,136	0,061	0,150	0,126	0,073	0,461	0,153	0,078	0,108	0,18	99,5
FI0050R	chromium	pm10	0,281	0,252	0,248	0,151	0,239	0,407	0,258	0,148	0,212	0,291	0,127	0,290	0,24	98,9
GB0013R	chromium	pm10	0,250	0,250	0,250	0,250	0,315	0,510	0,250	0,405	0,705	0,467	0,250	0,992	0,40	98,1
GB0017R	chromium	pm10	0,250	0,250	0,250	0,250	0,250	0,250	0,559	0,949	0,515	0,250	0,250	0,250	0,36	100



Site	Comp	Matrix	jan	feb	mar	apr	may	june	july	aug	sept	oct	nov	dec	2021	capture
GB0048R	chromium	pm10	0,250	0,250	0,250	0,250	0,250	0,444	0,740	0,250	0,250	0,462	1,015	0,970	0,45	100
GB1055R	chromium	pm10	0,250	0,250	0,250	0,250	0,352	0,774	0,546	0,250	0,434	0,388	0,769	1,200	0,46	99,9
IS0091R	chromium	aerosol	0,384	0,515	0,376	0,497	0,434	0,398	0,169	0,186	0,273	0,290	0,175	0,240	0,33	76,3
IT0019R	chromium	pm10	0,374	1,399	0,484	1,703	1,518	2,629	2,029	1,693	1,473	-	-	0,447	1,2264	30,1
NO0002R	chromium	pm10	0,143	0,146	0,169	0,145	0,208	0,206	0,329	0,260	0,308	0,232	0,168	0,209	0,22	92,1
NO0042G	chromium	aerosol	0,544	0,092	0,146	0,106	0,089	0,122	0,121	0,027	0,155	0,097	0,276	0,096	0,16	29,3
NO0090R	chromium	aerosol	0,045	0,649	0,089	0,076	0,036	0,052	0,100	0,046	0,030	0,024	0,066	0,023	0,10	28,5
PL0005R	chromium	pm10	0,472	0,290	0,173	0,180	0,416	0,272	0,325	0,225	0,335	0,537	0,119	0,127	0,29	99,7
SE0005R	chromium	aerosol	0,130	0,158	0,173	0,046	0,281	0,310	0,310	0,209	0,164	0,210	0,106	0,140	0,00	84,7
SE0014R	chromium	aerosol	0,350	0,350	0,829	0,500	0,368	0,270	0,470	0,388	0,433	0,310	0,544	0,430	0,45	88,5
SE0020R	chromium	aerosol	0,300	0,300	0,924	0,280	0,267	0,568	0,440	0,280	0,296	0,270	0,388	0,390	0,02	100
SE0022R	chromium	aerosol	0,420	0,439	0,490	0,370	0,423	0,581	0,280	0,298	0,292	0,420	0,401	0,380	0,40	100
SI0008R	chromium	pm10	0,635	1,755	1,405	0,453	1,020	1,529	1,351	0,930	1,182	0,924	0,453	0,560	0,91	22,2
SK0002R	chromium	aerosol	0,012	0,183	0,158	0,328	0,131	1,578	0,894	1,309	1,467	0,065	0,007	0,007	0,51	99,7
SK0004R	chromium	pm10	0,066	0,014	0,150	0,360	0,362	1,262	0,242	0,037	0,895	0,292	0,018	0,189	0,36	72,9
SK0006R	chromium	pm10	0,014	0,046	0,192	0,159	0,129	1,307	0,734	0,109	1,395	0,228	0,007	0,132	0,37	99,2
SK0007R	chromium	pm10	0,143	0,160	0,297	0,372	0,265	1,685	0,418	1,375	4,647	0,478	0,100	0,297	0,96	67,1
CZ0003R	cobalt	pm10	0,013	0,091	0,044	0,056	0,029	0,064	0,031	0,023	0,051	0,095	0,022	0,020	0,05	49,3
CZ0003R	cobalt	pm25	0,011	0,037	0,016	0,018	0,019	0,019	0,012	0,009	0,015	0,037	0,014	0,010	0,02	49,9
CZ0005R	cobalt	pm10	0,005	0,126	0,018	0,025	0,011	0,046	0,017	0,012	0,024	0,023	0,011	0,006	0,03	49,3
DE0001R	cobalt	pm10	0,013	0,067	0,038	0,039	0,019	0,038	0,032	0,022	0,038	0,032	0,027	0,028	0,03	100
DE0002R	cobalt	pm10	0,020	0,083	0,043	0,042	0,022	0,055	0,024	0,016	0,036	0,041	0,028	0,032	0,04	100
DE0003R	cobalt	pm10	0,184	0,057	0,029	0,026	0,014	0,074	0,019	0,035	0,028	0,023	0,010	0,004	0,04	100
DE0007R	cobalt	pm10	0,016	0,065	0,029	0,037	0,024	0,058	0,023	0,011	0,025	0,031	0,029	0,026	0,03	100

Site	Comp	Matrix	jan	feb	mar	apr	may	june	july	aug	sept	oct	nov	dec	2021	capture
DE0008R	cobalt	pm10	0,004	0,097	0,084	0,039	0,035	0,048	0,018	0,012	0,031	0,018	0,005	0,004	0,03	100
DE0009R	cobalt	pm10	0,011	0,058	0,036	0,033	0,015	0,038	0,023	0,009	0,030	0,023	0,017	0,028	0,03	100
ES1778R	cobalt	pm10	0,015	0,178	0,121	0,068	0,051	0,075	0,109	0,215	0,051	0,045	0,031	0,015	0,08	29,0
ES1778R	cobalt	pm1	0,015	0,021	0,020	0,203	0,030	0,018	0,021	-	0,015	0,019	0,015	-	0,03	19,7
ES1778R	cobalt	pm25	0,015	0,061	0,087	0,082	0,032	0,043	0,033	0,015	0,029	0,019	0,015	0,015	0,04	26,6
FI0018R	cobalt	pm10	0,023	0,020	0,025	0,032	0,028	0,128	0,082	0,016	0,022	0,065	0,021	0,026	0,04	94,0
FI0036R	cobalt	pm10	0,013	0,009	0,012	0,017	0,011	0,018	0,027	0,007	0,012	0,011	0,006	0,010	0,01	99,5
FI0050R	cobalt	pm10	0,015	0,021	0,030	0,030	0,027	0,053	0,044	0,012	0,017	0,027	0,014	0,015	0,03	98,9
GB0048R	cobalt	pm10	0,003	0,007	0,012	0,053	0,024	0,030	0,028	0,028	0,016	0,006	0,005	0,002	0,02	100
GB1055R	cobalt	pm10	0,019	0,050	0,046	0,073	0,031	0,061	0,035	0,040	0,037	0,031	0,023	0,018	0,04	99,9
IS0091R	cobalt	aerosol	0,120	0,120	0,071	0,174	0,200	0,210	0,067	0,044	0,101	0,160	0,045	0,040	0,11	76,3
IT0019R	cobalt	pm10	0,020	0,181	0,054	0,062	0,028	0,248	0,161	0,123	0,093	-	-	0,022	0,09	30,1
NO0002R	cobalt	pm10	0,019	0,036	0,012	0,010	0,012	0,025	0,019	0,012	0,016	0,020	0,005	0,005	0,02	92,1
NO0042G	cobalt	aerosol	0,032	0,006	0,006	0,010	0,010	0,007	0,008	0,004	0,004	0,005	0,035	0,007	0,01	29,3
NO0090R	cobalt	aerosol	0,007	0,019	0,007	0,022	0,018	0,016	0,017	0,002	0,013	0,006	0,011	0,010	0,01	28,5
SE0005R	cobalt	aerosol	0,000	0,000	0,009	0,000	0,009	0,010	0,020	0,002	0,001	0,010	0,001	0,000	0,18	84,7
SE0014R	cobalt	aerosol	0,010	0,010	0,030	0,030	0,021	0,021	0,030	0,012	0,020	0,020	0,010	0,010	0,02	88,5
SE0020R	cobalt	aerosol	0,010	0,010	0,056	0,030	0,021	0,048	0,020	0,011	0,010	0,010	0,010	0,020	0,89	100
SE0022R	cobalt	aerosol	0,010	0,020	0,029	0,020	0,020	0,020	0,020	0,011	0,012	0,030	0,011	0,010	0,02	100
BE0014R	copper	pm10	2,065	3,543	2,610	1,919	1,845	2,953	2,459	1,679	6,110	3,956	3,550	3,181	2,8932	92,9
CY0002R	copper	pm10	1,807	3,653	1,171	1,353	1,460	1,440	1,474	1,595	1,684	1,894	2,325	1,431	1,7355	93,2
CZ0003R	copper	pm10	1,021	1,260	1,259	1,087	0,830	3,500	0,884	0,197	2,430	2,393	1,134	0,168	1,3629	49,3
CZ0003R	copper	pm25	0,570	0,715	0,486	0,433	0,420	2,986	0,375	0,065	1,139	1,310	0,847	0,168	0,79	49,9
CZ0005R	copper	pm10	1,777	0,837	0,682	0,532	0,436	0,951	0,562	0,633	1,132	0,872	0,335	0,248	0,75	49,0

Site	Comp	Matrix	jan	feb	mar	apr	may	june	july	aug	sept	oct	nov	dec	2021	capture
DE0001R	copper	pm10	1,590	1,915	0,917	1,062	0,403	1,206	1,276	0,753	1,625	1,550	1,294	2,536	1,3397	100
DE0002R	copper	pm10	1,785	2,793	3,705	0,891	0,770	1,544	0,894	0,502	1,518	1,814	2,183	2,045	1,6966	100
DE0003R	copper	pm10	1,074	0,224	0,524	0,913	0,304	1,242	1,362	0,812	1,483	0,694	0,122	0,113	0,74	100
DE0007R	copper	pm10	1,460	1,357	0,865	0,614	0,518	0,530	0,639	0,876	2,042	2,411	1,376	1,540	1,1846	100
DE0008R	copper	pm10	0,113	0,667	0,887	0,623	0,310	1,306	0,815	0,566	1,696	0,778	0,272	0,113	0,68	100
DE0009R	copper	pm10	1,013	1,297	0,995	0,662	0,359	0,598	0,347	0,133	0,748	0,990	0,635	1,077	0,73	100
ES0009R	copper	pm10	0,798	1,554	2,780	1,782	0,929	1,898	2,328	4,564	3,032	3,612	1,588	0,914	2,153	16,4
ES0014R	copper	pm10	7,578	8,515	7,296	6,343	6,423	4,870	4,063	4,180	4,788	5,322	6,860	3,072	5,758	16,0
ES1778R	copper	pm10	1,073	2,332	3,503	0,651	1,300	3,692	2,469	2,140	1,583	2,376	2,664	3,194	2,2218	29,0
ES1778R	copper	pm1	1,109	0,875	1,884	0,178	0,515	1,858	0,846	-	0,780	0,954	1,405	-	1,0043	19,7
ES1778R	copper	pm25	1,150	1,342	1,935	0,941	0,797	2,852	1,248	0,640	0,994	1,250	2,222	2,422	1,4123	26,6
FI0018R	copper	pm10	1,111	0,977	0,533	0,531	0,523	0,966	0,784	0,412	0,671	1,347	0,147	0,602	0,69	94,0
FI0036R	copper	pm10	1,363	0,523	0,311	0,066	0,053	0,277	0,222	0,095	0,263	0,242	0,089	0,163	0,31	99,5
FI0050R	copper	pm10	0,690	0,763	0,543	0,317	0,461	0,674	0,478	0,306	0,441	0,748	0,451	0,417	0,52	98,9
GB0013R	copper	pm10	0,367	1,014	1,053	1,734	0,736	1,721	1,202	1,432	1,417	0,817	0,815	0,800	1,0951	98,1
GB0017R	copper	pm10	1,363	1,737	1,136	1,194	0,943	1,174	1,143	1,692	1,760	2,503	2,071	1,587	1,5075	100
GB0048R	copper	pm10	0,317	0,410	0,533	1,267	0,616	1,202	1,067	1,101	0,841	0,541	0,633	1,143	0,79	100
GB1055R	copper	pm10	1,346	2,281	2,406	3,309	1,589	2,224	1,793	2,202	2,045	1,969	2,237	1,780	2,0763	99,9
IS0091R	copper	aerosol	0,634	0,401	0,443	1,041	0,673	1,197	0,485	0,460	0,419	0,540	0,253	0,200	0,57	76,3
IT0019R	copper	pm10	0,741	3,298	2,486	6,405	6,110	8,522	8,176	3,823	4,463	-	-	0,957	3,9353	30,1
NO0002R	copper	pm10	0,255	0,186	0,179	0,123	0,284	0,425	0,371	0,311	0,420	0,398	0,186	0,283	0,30	92,1
NO0042G	copper	aerosol	0,357	0,117	0,132	0,079	0,077	0,125	0,197	0,113	0,045	0,038	0,130	0,077	0,12	29,3
NO0090R	copper	aerosol	0,335	0,293	0,420	0,256	0,153	0,368	0,123	0,031	0,272	0,095	0,442	0,188	0,25	27,4
PL0005R	copper	pm10	1,145	1,233	0,594	0,613	0,559	0,505	0,628	0,563	0,944	1,324	0,962	0,838	0,82	99,7

Site	Comp	Matrix	jan	feb	mar	apr	may	june	july	aug	sept	oct	nov	dec	2021	capture
SE0005R	copper	aerosol	0,220	0,145	0,157	0,105	0,225	0,240	0,300	0,262	0,135	0,250	0,071	0,160	0,18	84,7
SE0014R	copper	aerosol	0,640	0,640	0,500	0,390	0,518	0,482	0,600	0,334	0,839	0,830	0,430	0,770	0,57	88,5
SE0020R	copper	aerosol	0,860	0,438	2,013	0,440	0,670	1,178	0,940	0,745	0,634	0,590	0,999	1,100	0,83	100
SE0022R	copper	aerosol	1,200	0,519	0,473	0,340	0,465	0,576	0,530	0,292	0,386	0,770	0,361	0,440	0,53	100
SI0008R	copper	pm10	0,539	0,816	0,866	0,572	0,736	2,111	1,110	0,737	1,210	1,096	2,045	1,188	1,0101	22,2
SK0002R	copper	aerosol	0,030	0,035	0,408	0,535	0,196	0,613	0,517	0,351	0,952	0,172	0,208	0,119	0,34	99,7
SK0004R	copper	pm10	2,053	0,485	0,845	0,841	3,819	0,573	1,162	0,596	1,048	1,264	1,454	1,110	1,2184	72,9
SK0006R	copper	pm10	0,661	0,729	0,929	0,492	0,231	0,510	0,349	0,241	0,286	0,839	0,971	0,824	0,59	99,2
SK0007R	copper	pm10	0,853	1,277	1,119	2,201	1,235	1,210	1,116	1,150	2,157	2,165	2,839	2,291	1,558	67,1
CY0002R	iron	pm10	376,2	417,1	368,1	437,2	534,2	423,1	426,4	448,5	472,9	484,6	671,2	266,8	445,20	93,2
DE0001R	iron	pm10	36,0	151,5	71,0	109,8	44,0	80,9	78,9	50,0	90,4	91,9	51,9	71,2	76,62	100
DE0002R	iron	pm10	53,0	211,2	118,1	109,7	60,9	131,7	75,3	56,3	105,9	111,7	87,2	63,6	97,69	100
DE0003R	iron	pm10	432,1	133,5	59,7	81,9	34,0	176,7	61,4	73,9	82,8	43,5	22,9	6,196	100,55	100
DE0007R	iron	pm10	28,0	147,0	71,4	76,3	48,9	98,2	64,6	37,0	71,4	82,5	59,8	44,6	68,44	100
DE0008R	iron	pm10	7,410	231,8	100,2	90,8	45,2	121,3	60,9	41,7	100,4	53,5	16,0	7,440	71,66	100
DE0009R	iron	pm10	24,1	129,8	59,7	71,1	34,7	73,8	53,7	25,5	50,0	60,6	32,2	29,3	53,04	100
ES1778R	iron	pm10	27,8	384,4	223,9	85,4	69,3	140,4	189,7	457,0	101,5	92,5	50,9	37,4	156,64	29,0
ES1778R	iron	pm1	8,151	26,1	20,7	9,840	12,3	12,1	15,6	-	15,3	11,9	5,200	-	14,46	19,7
ES1778R	iron	pm25	13,4	152,4	67,0	37,0	26,9	41,4	51,4	15,2	35,5	21,8	14,6	21,7	44,66	26,6
FI0018R	iron	pm10	37,9	31,4	49,9	85,0	76,0	555,3	431,0	67,2	65,0	177,7	48,6	28,2	131,88	94,0
FI0036R	iron	pm10	11,5	12,0	18,6	34,1	15,1	39,3	53,1	12,0	18,5	16,1	7,522	8,478	20,57	99,5
FI0050R	iron	pm10	17,0	22,6	35,0	56,8	56,8	121,4	112,1	26,9	30,2	53,3	22,6	14,9	47,68	98,9
GB0048R	iron	pm10	11,8	21,7	37,3	130,1	44,4	83,9	79,8	80,5	50,2	18,5	17,7	12,6	49,04	100
GB1055R	iron	pm10	50,1	135,4	116,7	193,4	65,4	115,1	93,4	111,1	104,7	72,5	66,7	59,3	98,11	99,9

Site	Comp	Matrix	jan	feb	mar	apr	may	june	july	aug	sept	oct	nov	dec	2021	capture
IS0002R	iron	aerosol	134,3	93,0	66,7	95,8	416,1	189,2	264,5	335,9	56,1	161,0	66,6	81,1	161,91	97,0
IS0091R	iron	aerosol	191,7	199,0	158,9	366,2	408,7	425,1	42,7	61,9	194,2	180,9	94,7	83,9	201,27	76,3
IT0019R	iron	pm10	32,0	478,7	97,6	147,6	62,4	679,9	371,8	268,4	228,4	-	-	18,410	219,70	30,1
NO0002R	iron	pm10	6,823	12,6	16,7	20,6	21,9	33,3	37,4	16,9	28,7	18,6	7,670	6,926	18,84	92,1
NO0042G	iron	aerosol	70,8	13,6	9,441	22,8	15,6	13,6	12,2	6,570	9,215	9,935	83,4	14,5	24,36	29,3
NO0090R	iron	aerosol	11,8	25,2	14,7	55,9	31,9	29,9	42,8	5,722	27,2	12,1	22,9	20,2	24,41	28,5
ES1778R	lanthanum	pm10	0,053	0,560	0,360	0,123	0,144	0,252	0,210	0,528	0,124	0,076	0,055	0,064	0,20	29,0
ES1778R	lanthanum	pm1	0,022	0,088	0,116	0,040	0,101	0,108	0,043	-	0,023	0,023	0,015	-	0,06	19,7
ES1778R	lanthanum	pm25	0,024	0,232	0,200	0,060	0,111	0,150	0,083	0,015	0,044	0,033	0,029	0,031	0,09	26,6
IT0019R	lanthanum	pm10	0,020	0,868	0,070	0,137	0,053	0,542	0,302	0,287	0,233	-	-	0,179	0,28	30,1
BE0014R	lead	pm10	3,671	5,079	2,900	1,696	2,129	3,133	2,021	1,574	4,550	3,784	3,673	3,910	3,1241	94,5
CY0002R	lead	pm10	0,013	0,007	0,002	0,003	0,001	0,002	0,002	0,002	0,002	0,004	0,012	0,012	0,00	93,2
CZ0003R	lead	pm10	1,575	3,317	1,970	2,200	0,927	2,065	1,203	0,802	2,572	2,997	2,338	2,301	1,9947	49,3
CZ0003R	lead	pm25	1,356	2,796	1,661	1,605	0,819	1,685	0,839	0,701	2,171	2,416	2,053	2,097	1,6764	49,9
CZ0005R	lead	pm10	0,506	0,834	0,760	0,924	0,488	1,285	0,603	0,428	1,101	0,956	0,566	0,370	0,73	49,3
DE0001R	lead	pm10	1,203	2,278	1,299	1,048	0,776	1,076	0,786	0,700	1,324	2,168	1,878	2,675	1,4284	100
DE0002R	lead	pm10	2,515	3,394	2,809	1,788	1,340	2,244	1,802	1,028	1,921	2,869	3,777	4,413	2,4849	100
DE0003R	lead	pm10	1,909	0,677	0,923	1,136	0,525	1,126	0,678	0,711	0,994	0,844	0,403	0,187	0,84	100
DE0007R	lead	pm10	2,330	3,236	1,950	1,573	1,170	1,723	1,220	0,782	2,382	3,490	3,365	4,691	2,3192	100
DE0008R	lead	pm10	0,888	1,878	1,431	1,426	0,975	1,424	0,830	0,754	1,702	1,495	0,760	0,739	1,1848	100
DE0009R	lead	pm10	1,689	2,508	1,424	1,091	0,810	1,278	0,773	0,586	1,585	2,654	1,989	2,795	1,5922	100
DK0008R	lead	aerosol	0,665	2,086	0,776	0,466	1,075	1,534	0,809	0,552	1,085	1,911	0,814	1,096	1,0678	98,6
DK0010G	lead	aerosol	0,050	0,326	0,389	0,262	0,198	0,029	0,011	-	-	-	-	-	0,21	48,8
DK0012R	lead	aerosol	1,141	1,988	0,719	0,692	0,660	1,443	0,843	0,548	1,149	2,032	1,445	1,827	1,2002	99,6

Site	Comp	Matrix	jan	feb	mar	apr	may	june	july	aug	sept	oct	nov	dec	2021	capture
EE0009R	lead	pm10	2,700	1,650	1,046	0,946	1,262	1,877	1,267	1,154	1,365	2,700	1,340	1,596	1,5818	85,8
ES0001R	lead	pm10	0,450	3,192	1,410	1,062	1,079	1,633	0,668	1,852	1,190	1,152	0,847	0,567	1,2598	16,4
ES0007R	lead	pm10	1,638	2,654	1,600	1,618	0,820	1,465	1,644	1,037	2,333	1,786	1,038	0,745	1,5395	16,4
ES0008R	lead	pm10	1,136	1,830	5,082	7,878	1,438	1,429	2,356	3,123	4,622	2,342	4,409	3,173	3,236	16,4
ES0009R	lead	pm10	0,452	1,830	1,332	1,526	0,474	1,468	0,498	1,350	0,780	2,330	1,036	0,248	1,1152	16,4
ES0014R	lead	pm10	0,604	2,188	1,968	0,918	0,632	0,544	0,773	0,576	0,652	1,944	1,106	0,286	1,0146	16,0
ES1778R	lead	pm10	0,945	1,762	1,464	1,018	0,943	1,522	1,664	1,413	2,059	1,671	1,557	1,124	1,4706	29,0
ES1778R	lead	pm1	0,823	1,383	1,132	1,435	0,796	1,122	1,199	-	0,940	1,413	1,330	-	1,1433	19,7
ES1778R	lead	pm25	1,086	1,690	1,650	1,113	0,921	1,475	1,419	0,690	1,227	1,621	2,010	1,160	1,3756	26,6
FI0018R	lead	pm10	3,190	1,850	1,189	1,067	1,165	2,338	2,262	1,098	1,630	5,478	1,540	1,659	1,9054	94,0
FI0036R	lead	pm10	1,712	0,719	0,754	0,136	0,175	0,207	0,180	0,093	0,583	0,659	0,215	0,381	0,48	99,5
FI0050R	lead	pm10	1,896	1,349	1,144	0,643	0,797	0,855	0,544	0,438	0,962	2,285	0,850	0,911	1,0555	98,9
FR0008R	lead	pm10	0,998	1,682	2,127	2,202	0,830	1,541	0,892	1,106	1,428	1,672	1,170	0,680	1,3458	99,0
FR0009R	lead	pm10	2,978	3,521	5,273	4,042	3,640	2,374	1,548	1,932	4,462	3,513	11,3	1,782	3,846	91,1
FR0013R	lead	pm10	1,113	1,560	1,781	1,800	1,457	1,189	1,130	0,865	1,109	1,845	1,692	1,321	1,4035	89,4
FR0023R	lead	pm10	0,841	1,561	1,766	1,825	0,771	1,453	0,480	0,990	1,086	1,191	0,980	1,255	1,2317	91,3
FR0025R	lead	pm10	1,320	1,945	1,908	2,187	0,730	1,318	0,932	0,894	1,126	1,781	2,329	1,050	1,4552	98,5
FR0028R	lead	pm10	0,884	1,736	1,818	1,176	1,599	0,700	1,111	0,682	0,935	0,919	1,203	0,192	1,1025	95,0
GB0013R	lead	pm10	1,256	2,029	2,320	2,807	1,196	1,747	1,263	1,869	1,893	1,232	1,418	0,955	1,6565	98,1
GB0017R	lead	pm10	4,890	4,227	2,721	2,136	2,273	1,797	1,900	2,185	2,377	3,945	3,685	2,396	2,8707	100
GB0048R	lead	pm10	0,698	0,746	0,675	1,672	0,839	0,982	0,803	0,877	0,780	0,509	0,511	0,572	0,80	100
GB1055R	lead	pm10	3,749	3,894	4,551	4,124	1,898	2,601	1,880	2,142	2,540	2,999	3,499	2,557	3,0281	99,9
HU0002R	lead	aerosol	2,169	2,426	2,687	2,054	1,336	1,531	2,713	0,891	1,110	1,608	1,670	2,474	1,9063	95,7
IS0091R	lead	aerosol	0,096	0,088	0,080	0,280	0,151	0,120	0,048	0,176	0,065	0,035	0,038	0,080	0,11	76,3

Site	Comp	Matrix	jan	feb	mar	apr	may	june	july	aug	sept	oct	nov	dec	2021	capture
IT0019R	lead	pm10	0,639	1,848	1,686	1,315	0,763	2,608	2,072	1,637	2,200	-	-	0,592	1,402	30,1
LV0010R	lead	pm10	3,977	3,349	1,901	2,782	1,390	0,923	1,226	1,275	2,829	4,605	0,860	0,825	2,2314	48,2
NL0008R	lead	pm10	3,619	5,377	4,205	2,271	2,885	2,695	2,614	2,201	5,017	4,661	6,981	4,994	3,9667	47,7
NL0644R	lead	pm25	4,997	4,407	5,636	5,804	2,558	1,575	1,800	3,842	4,178	5,440	8,532	4,263	4,4059	23,3
NO0002R	lead	pm10	0,285	0,719	0,426	0,173	0,438	0,576	0,404	0,349	0,549	0,720	0,377	0,290	0,46	92,1
NO0042G	lead	aerosol	0,198	0,173	0,593	0,188	0,145	0,064	0,042	0,055	0,307	0,070	0,247	0,107	0,19	29,3
NO0090R	lead	aerosol	0,509	0,477	0,223	0,415	0,120	0,083	0,161	0,029	0,092	0,036	0,205	0,148	0,21	28,5
PL0005R	lead	pm10	4,319	3,225	1,100	1,593	1,181	1,127	1,539	1,481	2,243	2,632	2,187	1,457	2,0008	99,7
PL0009R	lead	pm10	6,774	9,725	3,139	1,953	0,242	0,160	0,800	0,404	0,247	1,561	4,100	4,833	3,0188	90,1
SE0005R	lead	aerosol	0,250	0,269	0,261	0,060	0,211	0,230	0,140	0,103	0,090	0,330	0,047	0,150	0,44	84,7
SE0014R	lead	aerosol	0,800	0,800	0,638	0,410	0,506	0,637	0,400	0,263	0,728	0,930	0,554	0,790	0,59	88,5
SE0020R	lead	aerosol	0,870	0,595	1,844	0,510	0,503	1,148	0,580	0,494	0,526	0,790	1,090	0,980	1,6651	100
SI0008R	lead	pm10	0,989	1,146	1,406	1,211	0,820	1,499	0,863	1,259	1,648	1,758	2,059	0,778	1,1916	22,2
SK0002R	lead	aerosol	0,042	0,047	1,047	1,506	0,222	1,704	1,201	0,929	1,370	0,869	0,210	0,150	0,77	99,7
SK0004R	lead	pm10	7,118	2,872	2,247	2,064	1,219	2,142	2,703	1,462	2,813	2,511	3,621	4,195	2,6278	72,9
SK0006R	lead	pm10	1,593	2,369	2,797	0,819	1,321	1,429	1,431	1,601	1,940	3,103	3,135	2,302	1,9879	99,2
SK0007R	lead	pm10	2,735	2,442	18,8	2,390	2,480	3,297	4,215	1,924	4,049	7,345	13,6	10,1	5,3873	67,1
ES1778R	lithium	pm10	0,021	0,313	0,209	0,106	0,083	0,147	0,190	0,420	0,089	0,081	0,050	0,024	0,15	29,0
ES1778R	lithium	pm1	0,005	0,023	0,005	0,033	0,014	0,015	0,016	-	0,018	0,008	0,005	-	0,01	19,7
ES1778R	lithium	pm25	0,009	0,113	0,062	0,042	0,011	0,061	0,054	0,030	0,031	0,016	0,010	0,005	0,04	26,6
BE0014R	manganese	pm10	6,258	5,186	6,184	5,668	4,445	9,687	6,252	6,868	8,110	3,712	5,023	9,132	6,3797	94,5
CY0002R	manganese	pm10	7,902	7,484	6,345	8,223	10,1	9,409	9,676	9,685	9,422	9,458	13,3	4,645	8,8437	93,2
CZ0003R	manganese	pm10	1,194	4,801	3,709	4,049	1,898	4,653	2,413	2,219	3,872	7,748	1,986	1,717	3,3646	49,3
CZ0003R	manganese	pm25	0,545	1,956	1,465	1,336	0,851	1,569	1,064	0,994	1,415	3,319	1,036	0,869	1,3745	49,9

Site	Comp	Matrix	jan	feb	mar	apr	may	june	july	aug	sept	oct	nov	dec	2021	capture
CZ0005R	manganese	pm10	0,246	5,319	1,285	1,520	0,824	2,615	1,229	0,945	1,595	1,422	0,587	0,263	1,4422	49,3
DE0001R	manganese	pm10	0,932	3,160	1,630	2,378	1,104	2,108	2,432	1,731	2,311	2,288	7,674	1,436	2,4131	100
DE0002R	manganese	pm10	1,700	4,832	3,041	3,053	1,778	3,672	2,275	1,877	2,933	2,928	2,391	1,843	2,6724	100
DE0003R	manganese	pm10	7,851	2,413	1,426	2,038	0,888	3,657	1,526	1,614	1,853	1,109	0,473	0,173	2,0833	100
DE0007R	manganese	pm10	0,998	3,410	1,986	2,255	1,812	3,258	2,423	1,535	2,300	2,580	1,869	1,436	2,1418	100
DE0008R	manganese	pm10	0,314	4,404	2,357	2,324	1,280	2,979	1,574	1,147	2,431	1,395	0,478	0,253	1,7194	100
DE0009R	manganese	pm10	0,767	2,796	1,460	1,799	1,029	2,065	1,788	0,832	1,437	1,666	0,997	1,199	1,4583	100
ES1778R	manganese	pm10	1,446	7,833	4,481	1,973	1,958	3,283	4,472	8,043	2,251	2,513	2,031	1,646	3,6019	29,0
ES1778R	manganese	pm1	0,431	0,797	0,472	0,520	0,398	0,495	0,630	-	0,515	1,129	0,515	-	0,62	19,7
ES1778R	manganese	pm25	0,786	2,892	1,608	1,389	1,080	1,262	1,368	0,490	0,840	1,294	1,338	1,076	1,3365	26,6
FI0018R	manganese	pm10	1,877	1,588	1,143	1,759	1,920	9,535	6,371	1,508	1,570	4,417	1,129	1,183	2,7186	94,0
FI0036R	manganese	pm10	0,528	0,390	0,608	0,614	0,317	0,930	1,089	0,404	0,598	0,483	0,143	0,246	0,53	99,5
FI0050R	manganese	pm10	1,245	1,335	1,388	1,574	2,432	3,380	2,551	1,056	1,349	1,806	0,931	1,017	1,6761	98,9
GB0048R	manganese	pm10	0,888	0,994	0,873	2,931	0,999	1,959	1,970	1,956	1,288	0,542	0,454	0,361	1,488	3,0
GB1055R	manganese	pm10	1,523	2,906	2,606	4,428	1,656	2,639	2,579	3,455	2,830	1,512	1,304	1,160	2,3741	99,9
IS0091R	manganese	aerosol	3,907	4,097	2,400	5,865	6,594	6,878	1,725	1,462	3,427	3,930	1,625	1,490	3,6146	76,3
IT0019R	manganese	pm10	0,639	9,719	2,918	3,243	2,033	13,1	8,828	6,220	5,877	-	-	1,296	4,9535	30,1
NO0002R	manganese	pm10	0,395	0,522	0,552	0,584	0,739	1,080	1,145	0,686	0,896	0,587	0,462	0,801	0,71	92,1
NO0042G	manganese	aerosol	1,613	0,320	0,417	0,524	0,715	0,847	0,507	0,223	0,182	0,147	1,117	0,269	0,59	29,3
NO0090R	manganese	aerosol	0,287	1,158	0,309	1,085	0,542	0,539	0,809	0,094	0,609	0,216	0,331	0,301	0,51	28,5
NO0098R	manganese	pm10	0,779	0,471	0,811	0,601	0,369	1,875	0,812	0,496	0,273	0,099	0,147	0,197	0,59	94,2
SE0005R	manganese	aerosol	0,230	0,296	0,542	0,044	0,530	0,590	1,200	0,568	0,443	0,480	0,235	0,680	1,2093	11,5
SE0014R	manganese	aerosol	0,910	0,910	1,309	1,400	0,955	1,691	1,600	0,725	1,388	1,300	0,750	1,100	1,1875	88,5
SE0020R	manganese	aerosol	0,850	0,997	4,147	2,300	1,506	3,458	1,900	0,983	0,849	0,690	0,863	1,400	1,1767	11,8



Site	Comp	Matrix	jan	feb	mar	apr	may	june	july	aug	sept	oct	nov	dec	2021	capture
SE0022R	manganese	aerosol	0,760	0,874	1,363	1,200	1,378	1,779	1,500	0,717	0,787	1,600	0,791	0,860	1,1361	100
SE0005R	mercury	air+aerosol	1,367	1,500	1,300	1,250	1,202	1,175	1,200	1,167	1,225	1,138	1,058	1,150	0,04	84,7
SE0020R	mercury	air+aerosol	1,600	1,035	1,400	1,013	1,275	1,160	1,300	1,034	1,129	1,223	1,076	1,333	0,16	100
DK0010G	mercury_GEM	air	-	-	-	-	-	-	-	-	-	-	-	1,194	-	5,2
NO0002R	mercury_GEM	air	1,562	1,718	1,619	1,648	1,541	1,483	1,453	1,401	1,416	1,418	1,329	1,537	1,5085	93,9
NO0042G	mercury_GEM	air	1,537	1,649	1,492	1,367	1,301	1,455	1,628	1,508	1,447	1,427	1,434	1,580	1,4849	88,9
NO0090R	mercury_GEM	air	1,485	1,509	1,528	1,461	1,363	1,417	1,366	1,357	1,349	1,294	1,330	1,409	1,4015	95,5
SE0014R	mercury_GEM	air	1,217	1,345	1,274	1,248	1,344	1,216	1,056	1,200	1,021	1,120	0,998	1,036	1,1507	95,6
GB0048R	mercury_GOM	air	-	-	-	-	-	-	-	-	-	-	0,968	0,487	-	100
NO0042G	mercury_GOM	air	-	-	-	-	-	-	1,381	3,070	0,292	0,413	0,763	1,021	-	28,4
SE0014R	mercury_GOM	air	0,000	0,047	0,013	0,552	0,212	0,683	0,553	0,582	0,426	0,414	0,217	0,318	0,33	93,6
FI0036R	mercury_PBM	aerosol	0,361	0,264	0,637	1,012	1,200	1,718	1,813	1,500	1,779	1,301	0,761	0,969	1,1042	99,2
GB0048R	mercury_PBM	pm25	-	-	-	-	-	-	-	-	-	-	1,213	1,899	-	29,6
IS0091R	mercury_PBM	aerosol	1,234	1,352	11,2	2,857	0,843	1,493	2,216	3,733	1,603	1,810	1,231	1,740	2,4902	76,3
NO0042G	mercury_PBM	pm25	-	-	-	-	-	-	0,471	3,332	2,043	1,166	3,268	2,894	-	28,5
SE0014R	mercury_PBM	aerosol	-	-	1,049	2,028	2,139	0,447	0,831	1,214	1,225	1,669	0,054	0,041	1,0623	71,5
DE0002R	mercury_TGM	air	-	-	-	-	-	-	-	-	1,794	1,569	1,486	1,490	-	25,5
DE0003R	mercury_TGM	air	1,291	1,256	1,470	-	-	1,197	1,210	1,126	1,158	1,117	1,095	1,078	1,1608	60,0
DE0008R	mercury_TGM	air	1,476	1,512	1,421	1,460	1,308	1,272	1,250	1,224	1,259	1,224	1,371	1,382	1,344	96,4
DE0009R	mercury_TGM	air	1,249	1,343	1,352	1,340	1,328	1,324	1,254	1,276	1,270	1,186	1,283	1,302	1,2938	92,3
EE0009R	mercury_TGM	air	1,409	1,432	1,460	1,403	1,426	1,345	1,222	1,152	1,119	1,158	1,132	1,251	1,2906	97,7
ES0008R	mercury_TGM	air	0,549	0,454	0,367	0,351	-	0,361	0,514	0,426	0,380	0,278	0,367	0,300	0,39	63,7
FI0018R	mercury_TGM	air	1,397	1,376	1,345	-	-	1,142	1,131	1,061	1,196	1,151	1,163	1,240	1,1976	76,6
FI0036R	mercury_TGM	air	1,311	1,268	1,278	1,211	1,156	1,297	1,264	1,216	1,240	1,177	1,226	1,314	1,2466	97,1

Site	Comp	Matrix	jan	feb	mar	apr	may	june	july	aug	sept	oct	nov	dec	2021	capture
FI0050R	mercury_TGM	air	1,285	1,304	1,226	1,118	1,082	1,055	1,196	1,011	1,297	1,134	1,053	1,150	1,134	93,0
GB0048R	mercury_TGM	air	1,325	1,295	1,328	1,382	-	-	-	-	-	1,339	1,293	1,289		
<b>PL0005R</b>	mercury_TGM	air	0.456	1.450	1.478	1.423	1.307	1.288	1.239	1.26	1.162	1.2648	1.31	1.386	1.33	95.7
SI0008R	mercury_TGM	air	-	1,343	1,376	1,308	1,267	1,730	1,658	-	-	1,682	-	-	1,5373	32,3
DE0001R	molybdenum	pm10	0,124	0,216	0,103	0,099	0,068	0,126	0,111	0,097	0,186	0,235	0,177	0,182	0,14	100
DE0002R	molybdenum	pm10	0,212	0,262	0,214	0,113	0,106	0,152	0,162	0,108	0,243	0,284	0,363	0,314	0,21	100
DE0003R	molybdenum	pm10	0,181	0,046	0,070	0,096	0,046	0,146	0,096	0,064	0,129	0,103	0,037	0,038	0,09	100
DE0007R	molybdenum	pm10	0,123	0,201	0,153	0,071	0,087	0,100	0,102	0,081	0,181	0,207	0,224	0,211	0,14	100
DE0008R	molybdenum	pm10	0,067	0,109	0,138	0,114	0,116	0,185	0,132	0,113	0,204	0,133	0,126	0,053	0,12	100
DE0009R	molybdenum	pm10	0,110	0,240	0,144	0,085	0,096	0,083	0,091	0,055	0,118	0,174	0,132	0,131	0,12	100
IT0019R	molybdenum	pm10	0,317	0,449	0,250	0,407	0,323	0,494	0,534	0,250	0,430	-	-	0,250	0,36	30,1
BE0014R	nickel	pm10	2,239	1,350	1,461	1,454	1,897	3,433	2,931	1,342	2,110	2,004	2,297	1,510	1,9988	94,5
CY0002R	nickel	pm10	1,703	0,562	0,309	0,516	0,655	0,180	0,651	0,533	0,484	0,547	1,380	0,443	0,65	93,2
CZ0003R	nickel	pm10	0,128	0,366	0,227	0,323	0,388	0,328	0,068	0,114	0,324	0,598	0,074	0,149	0,26	49,3
CZ0003R	nickel	pm25	0,091	0,200	0,133	0,167	0,578	0,281	0,079	0,084	0,169	0,327	0,043	0,108	0,19	49,9
CZ0005R	nickel	pm10	0,145	0,313	0,351	0,098	0,060	0,593	0,061	0,079	0,166	0,112	0,068	0,053	0,17	49,0
DE0001R	nickel	pm10	0,269	0,680	0,569	0,503	0,378	0,642	0,463	0,420	0,493	0,554	0,442	0,291	0,47	100
DE0002R	nickel	pm10	0,187	0,365	0,448	0,304	0,178	0,345	0,143	0,138	0,328	0,330	0,234	0,188	0,26	100
DE0003R	nickel	pm10	0,520	0,212	0,118	0,137	0,043	0,216	0,303	0,120	0,085	0,043	0,043	0,043	0,16	100
DE0007R	nickel	pm10	0,120	1,248	0,314	0,273	0,183	0,337	0,412	0,181	0,155	0,101	0,177	0,212	0,30	100
DE0008R	nickel	pm10	0,055	0,321	0,207	0,109	0,196	0,296	0,109	0,086	0,118	0,061	0,072	0,043	0,14	100
DE0009R	nickel	pm10	0,181	0,911	0,509	0,591	0,499	0,914	0,381	0,237	0,505	0,174	0,113	0,138	0,42	100
DK0008R	nickel	aerosol	0,283	0,742	0,462	0,355	0,586	0,655	0,896	0,429	0,780	0,612	0,291	0,323	0,54	98,6
DK0010G	nickel	aerosol	0,008	0,042	0,047	0,062	0,049	0,029	-	-	-	-	-	-		

Site	Comp	Matrix	jan	feb	mar	apr	may	june	july	aug	sept	oct	nov	dec	2021	capture
DK0012R	nickel	aerosol	0,262	0,683	0,492	0,430	0,675	0,654	0,572	0,307	0,786	0,617	0,713	0,362	0,54	99,6
EE0009R	nickel	pm10	0,433	0,525	0,539	0,400	0,423	2,169	0,519	0,539	0,562	0,489	0,352	0,482	0,62	85,8
ES0001R	nickel	pm10	0,196	1,216	0,920	0,406	0,208	0,579	0,292	1,252	0,630	0,630	0,630	0,630	0,63	16,4
ES0007R	nickel	pm10	0,460	8,516	0,510	0,624	0,174	0,625	1,202	1,021	0,757	0,630	0,630	0,751	1,3098	16,4
ES0008R	nickel	pm10	0,150	0,454	0,726	0,686	0,157	0,563	0,194	0,630	0,768	0,630	0,630	0,630	0,52	16,4
ES0009R	nickel	pm10	0,352	0,574	1,062	0,574	0,100	0,463	1,015	1,088	0,630	0,630	0,630	0,630	0,64	16,2
ES0014R	nickel	pm10	0,191	0,818	0,511	0,443	0,349	0,576	0,828	0,682	0,510	0,510	0,696	0,510	0,55	16,0
ES1778R	nickel	pm10	0,163	0,483	0,022	1,319	1,691	1,448	0,538	1,826	0,769	0,258	0,566	0,726	0,75	29,0
ES1778R	nickel	pm1	0,080	0,167	0,015	0,015	1,426	1,468	0,704	-	0,710	0,986	0,015	-	0,68	19,7
ES1778R	nickel	pm25	0,160	0,193	1,088	1,686	1,340	1,698	0,563	0,400	0,366	0,801	0,210	0,376	0,75	26,6
FI0018R	nickel	pm10	0,474	0,537	0,390	0,188	0,310	0,632	0,328	0,175	0,317	0,616	0,188	0,415	0,37	94,0
FI0036R	nickel	pm10	0,451	0,184	0,146	0,057	0,196	0,098	0,087	0,077	0,146	0,229	0,171	0,251	0,17	99,5
FI0050R	nickel	pm10	0,231	0,295	0,221	0,137	0,159	0,255	0,171	0,107	0,158	0,276	0,146	0,286	0,20	98,9
FR0008R	nickel	pm10	0,064	0,385	0,446	0,391	0,174	0,356	0,245	0,197	0,333	0,412	0,251	0,130	0,28	99,0
FR0009R	nickel	pm10	0,266	0,465	0,622	0,727	0,561	0,444	0,249	0,549	0,694	0,832	0,493	0,274	0,52	87,3
FR0013R	nickel	pm10	0,072	0,387	0,451	0,398	0,362	0,287	0,206	0,179	0,230	0,357	0,113	0,168	0,26	89,4
FR0023R	nickel	pm10	0,170	0,507	0,422	0,243	0,192	0,413	0,141	0,302	0,284	0,198	0,839	0,059	0,33	91,3
FR0025R	nickel	pm10	0,098	0,437	0,347	0,309	0,159	0,289	0,218	0,201	0,356	0,439	0,226	0,196	0,27	98,5
FR0028R	nickel	pm10	1,236	0,717	1,085	0,676	1,719	0,917	0,874	0,478	0,520	1,293	0,588	5,306	1,1165	79,7
GB0013R	nickel	pm10	0,175	0,399	0,484	0,615	0,426	0,796	0,562	0,445	0,447	0,342	0,182	0,322	0,43	98,1
GB0017R	nickel	pm10	0,285	0,877	0,352	0,657	0,638	0,816	0,692	0,597	0,539	0,382	0,380	0,449	0,55	100
GB0048R	nickel	pm10	0,057	0,115	0,106	0,315	0,147	0,241	0,174	0,176	0,115	0,063	0,128	0,090	0,14	100
GB1055R	nickel	pm10	0,276	0,621	0,471	0,549	0,347	0,575	0,421	0,449	0,409	0,370	0,264	0,303	0,42	99,9
IS0091R	nickel	aerosol	2,293	1,851	0,324	0,639	0,995	0,656	2,353	1,358	0,892	5,860	0,365	0,510	1,2654	76,3

Site	Comp	Matrix	jan	feb	mar	apr	may	june	july	aug	sept	oct	nov	dec	2021	capture
IT0019R	nickel	pm10	0,250	1,120	0,340	0,583	0,423	1,983	1,314	1,110	0,623	-	-	0,395	0,76	30,1
LV0010R	nickel	pm10	0,341	0,443	0,383	0,579	2,195	0,659	0,428	0,323	0,124	0,452	0,103	0,069	0,50	48,2
NL0008R	nickel	pm10	0,444	0,761	0,628	0,491	0,590	0,989	0,712	0,578	0,671	0,627	0,835	0,570	0,66	49,0
NL0644R	nickel	pm25	0,319	0,430	0,568	0,673	0,451	0,501	0,503	0,536	0,452	0,878	0,993	0,443	0,56	23,8
NO0002R	nickel	pm10	0,143	0,319	0,056	0,031	0,142	0,220	0,282	0,192	0,222	0,202	0,103	0,086	0,18	92,1
NO0042G	nickel	aerosol	0,264	0,070	0,052	0,190	0,047	0,061	0,092	0,019	0,070	0,043	0,205	0,051	0,10	29,3
NO0090R	nickel	aerosol	0,079	0,489	0,077	0,097	0,120	0,064	0,121	0,037	0,061	0,031	0,049	0,029	0,10	28,5
PL0005R	nickel	pm10	0,153	0,295	0,215	0,164	0,160	0,261	0,196	0,323	0,272	0,639	0,559	0,587	0,32	99,7
PL0009R	nickel	pm10	0,266	0,450	0,315	0,927	0,267	0,419	1,235	1,479	0,510	0,507	0,804	0,200	0,57	90,1
SE0005R	nickel	aerosol	0,075	0,089	0,091	0,009	0,099	0,110	0,205	0,110	0,195	0,080	0,094	0,120	0,10	84,7
SE0014R	nickel	aerosol	0,190	0,190	0,433	0,250	0,435	0,441	0,350	0,230	0,412	0,140	0,112	0,230	0,30	88,5
SE0020R	nickel	aerosol	0,230	0,220	0,486	0,085	0,212	0,357	0,210	0,115	0,190	0,080	0,121	0,460	0,23	100
SE0022R	nickel	aerosol	0,200	0,219	1,098	0,210	0,219	0,249	0,600	0,143	0,120	0,280	0,212	0,090	0,31	100
SI0008R	nickel	pm10	0,583	0,318	0,318	0,318	0,318	0,318	0,318	0,318	0,318	0,318	0,318	0,318	0,37	22,2
SK0002R	nickel	aerosol	0,446	0,059	0,017	0,438	0,193	0,308	0,102	0,963	1,046	0,033	0,510	0,017	0,34	99,7
SK0004R	nickel	pm10	0,208	0,017	0,102	0,122	0,126	0,133	0,081	0,120	0,849	0,173	0,042	0,347	0,20	72,9
SK0006R	nickel	pm10	0,063	0,462	0,342	0,220	0,052	0,720	0,707	0,080	0,713	0,140	0,114	0,084	0,30	99,2
SK0007R	nickel	pm10	0,083	0,038	0,068	0,017	0,270	0,246	0,174	0,957	2,693	0,247	0,279	0,206	0,50	67,1
ES1778R	rubidium	pm10	0,126	0,892	0,587	0,275	0,235	0,437	0,521	1,062	0,270	0,268	0,180	0,120	0,43	29,0
ES1778R	rubidium	pm1	0,079	0,138	0,144	0,060	0,059	0,077	0,071	-	0,070	0,080	0,055	-	0,08	19,7
ES1778R	rubidium	pm25	0,096	0,345	0,285	0,123	0,094	0,180	0,169	0,070	0,116	0,108	0,090	0,088	0,15	26,6
DE0001R	selenium	pm10	0,212	0,423	0,363	0,270	0,356	0,510	0,440	0,284	0,471	0,433	0,304	0,389	0,37	100
DE0002R	selenium	pm10	0,329	0,372	0,432	0,307	0,301	0,541	0,441	0,332	0,531	0,530	0,515	0,545	0,43	100
DE0003R	selenium	pm10	0,131	0,070	0,091	0,169	0,114	0,257	0,165	0,166	0,218	0,140	0,054	0,036	0,13	100

Site	Comp	Matrix	jan	feb	mar	apr	may	june	july	aug	sept	oct	nov	dec	2021	capture
DE0007R	selenium	pm10	0,254	0,398	0,279	0,245	0,255	0,383	0,365	0,253	0,454	0,507	0,490	0,540	0,37	100
DE0008R	selenium	pm10	0,109	0,258	0,232	0,231	0,327	0,441	0,264	0,196	0,464	0,245	0,143	0,109	0,25	100
DE0009R	selenium	pm10	0,225	0,394	0,265	0,229	0,281	0,380	0,345	0,215	0,462	0,446	0,353	0,433	0,34	100
ES1778R	selenium	pm10	0,036	0,115	0,101	0,024	0,046	0,050	0,042	0,100	0,039	0,017	0,021	0,020	0,05	29,0
ES1778R	selenium	pm1	0,033	0,043	0,061	0,015	0,041	0,036	0,029	-	0,015	0,024	0,015	-	0,03	19,7
ES1778R	selenium	pm25	0,019	0,054	0,091	0,037	0,023	0,039	0,031	0,050	0,070	0,026	0,015	0,026	0,04	26,6
GB0048R	selenium	pm10	0,134	0,203	0,159	0,328	0,240	0,349	0,269	0,257	0,217	0,168	0,242	0,178	0,23	100
GB1055R	selenium	pm10	0,318	0,440	0,656	0,377	0,369	0,455	0,446	0,409	0,394	0,358	0,405	0,323	0,41	99,9
ES1778R	strontium	pm10	0,259	2,957	2,153	0,998	0,950	1,945	1,512	3,495	0,876	0,958	0,474	0,282	1,3866	29,0
ES1778R	strontium	pm1	0,043	0,226	0,248	0,165	0,218	0,685	0,163	-	0,110	0,116	0,050	-	0,20	19,7
ES1778R	strontium	pm25	0,056	0,980	0,715	0,354	0,351	1,257	0,457	0,120	0,224	0,216	0,176	0,140	0,44	26,6
IT0019R	strontium	pm10	0,500	5,119	1,072	1,913	0,970	6,516	3,449	3,380	2,233	-	-	0,500	2,3973	30,1
DE0001R	thallium	pm10	0,008	0,012	0,011	0,008	0,004	0,006	0,006	0,005	0,007	0,013	0,011	0,023	0,01	100
DE0002R	thallium	pm10	0,012	0,022	0,011	0,008	0,005	0,010	0,006	0,005	0,008	0,013	0,020	0,038	0,01	100
DE0003R	thallium	pm10	0,012	0,004	0,004	0,004	0,002	0,005	0,003	0,003	0,003	0,004	0,002	0,002	0,00	100
DE0007R	thallium	pm10	0,010	0,021	0,008	0,009	0,004	0,008	0,009	0,005	0,014	0,013	0,021	0,042	0,01	100
DE0008R	thallium	pm10	0,005	0,015	0,007	0,007	0,004	0,007	0,003	0,004	0,007	0,010	0,004	0,002	0,01	100
DE0009R	thallium	pm10	0,007	0,014	0,008	0,006	0,003	0,006	0,004	0,002	0,010	0,009	0,014	0,026	0,01	100
ES1778R	thallium	pm10	0,015	0,019	0,020	0,015	0,015	0,015	0,015	0,032	0,015	0,015	0,015	0,015	0,02	29,0
ES1778R	thallium	pm1	0,015	0,015	0,020	0,015	0,015	0,015	0,015	-	0,015	0,015	0,015	-	0,02	19,7
ES1778R	thallium	pm25	0,015	0,015	0,021	0,015	0,015	0,015	0,015	0,110	0,015	0,015	0,015	0,015	0,02	26,6
ES1778R	thorium	pm10	0,024	0,091	0,033	0,075	0,062	0,097	0,064	0,140	0,032	0,015	0,015	0,041	0,06	29,0
ES1778R	thorium	pm1	0,015	0,031	0,015	0,015	0,070	0,057	0,025	-	0,023	0,015	0,015	-	0,03	19,7
ES1778R	thorium	pm25	0,022	0,051	0,047	0,066	0,060	0,056	0,028	0,015	0,015	0,015	0,015	0,015	0,03	26,6

Site	Comp	Matrix	jan	feb	mar	apr	may	june	july	aug	sept	oct	nov	dec	2021	capture
ES1778R	tin	pm10	0,141	0,257	0,373	0,205	0,263	0,338	0,391	0,368	0,251	0,404	0,231	0,189	0,31	29,0
ES1778R	tin	pm1	0,099	0,148	0,204	0,370	0,199	0,195	0,205	-	0,175	0,254	0,170	-	0,20	19,7
ES1778R	tin	pm25	0,131	0,170	0,403	0,200	0,218	0,232	0,264	0,200	0,220	0,315	0,202	0,149	0,24	26,6
IT0019R	tin	pm10	0,709	1,216	0,724	1,508	1,518	1,699	1,426	1,247	0,890	-	-	0,420	1,0564	30,1
DE0001R	titanium	pm10	0,896	6,428	2,400	4,613	1,679	3,764	5,265	2,064	3,341	2,750	1,522	0,939	2,9396	100
DE0002R	titanium	pm10	0,726	10,1	4,469	5,510	2,159	5,664	3,039	1,593	3,327	2,711	1,068	0,959	3,3805	100
DE0003R	titanium	pm10	26,7	9,141	2,965	3,110	1,372	8,640	2,171	3,485	2,767	1,444	1,201	0,289	5,2383	100
DE0007R	titanium	pm10	0,591	8,230	2,768	4,129	1,991	4,956	2,946	1,391	2,275	2,254	1,059	0,888	2,7415	100
DE0008R	titanium	pm10	0,178	14,6	4,536	4,215	1,572	4,757	2,108	1,165	3,093	1,901	0,352	0,151	3,1279	100
DE0009R	titanium	pm10	0,512	6,792	2,669	4,154	1,520	3,818	3,417	0,958	1,815	1,799	0,728	0,780	2,3751	100
ES1778R	titanium	pm10	1,951	39,6	21,1	8,528	6,514	12,1	16,1	45,8	8,947	5,774	4,460	3,198	14,22	29,0
ES1778R	titanium	pm1	1,448	2,330	1,172	0,500	0,543	0,712	0,930	-	1,070	0,408	0,420	-	0,98	19,7
ES1778R	titanium	pm25	0,687	12,9	5,235	2,833	2,498	3,502	3,979	1,260	2,981	1,228	1,786	1,328	3,5492	26,6
IT0019R	titanium	pm10	1,106	20,0	3,984	5,987	2,228	22,6	13,9	11,8	9,887	-	-	0,298	8,4564	30,1
NO0002R	titanium	pm10	0,406	0,633	1,361	1,760	1,577	2,964	2,978	1,153	1,573	0,745	0,276	0,312	1,2735	92,1
NO0042G	titanium	aerosol	5,306	1,036	0,908	1,366	1,542	1,587	0,915	0,530	1,388	1,014	4,052	1,748	1,8364	29,3
NO0090R	titanium	aerosol	0,596	1,477	1,078	3,318	1,925	1,895	2,943	0,434	1,694	0,782	1,391	1,104	1,519	28,5
ES1778R	uranium	pm10	0,058	0,041	0,015	0,140	0,134	0,167	0,056	0,078	0,051	0,021	0,015	0,069	0,07	29,0
ES1778R	uranium	pm1	0,043	0,048	0,047	0,015	0,184	0,177	0,085	-	0,045	0,125	0,023	-	0,09	19,7
ES1778R	uranium	pm25	0,044	0,037	0,157	0,158	0,141	0,177	0,060	0,015	0,028	0,114	0,045	0,038	0,09	26,6
CY0002R	vanadium	pm10	2,879	1,880	1,444	1,702	2,195	1,560	1,580	1,569	1,627	1,678	3,241	1,546	1,8934	93,2
CZ0003R	vanadium	pm10	0,085	0,558	0,242	0,402	0,185	0,399	0,225	0,155	0,344	0,619	0,088	0,140	0,29	49,3
CZ0003R	vanadium	pm25	0,067	0,253	0,111	0,192	0,112	0,191	0,137	0,092	0,170	0,264	0,040	0,104	0,14	49,9
CZ0005R	vanadium	pm10	0,029	0,757	0,122	0,198	0,103	0,303	0,155	0,102	0,180	0,110	0,073	0,072	0,18	49,3

Site	Comp	Matrix	jan	feb	mar	apr	may	june	july	aug	sept	oct	nov	dec	2021	capture
DE0001R	vanadium	pm10	0,323	1,153	1,194	0,991	0,811	1,498	1,022	0,703	0,976	0,660	0,407	0,630	0,86	100
DE0002R	vanadium	pm10	0,272	0,698	0,547	0,836	0,405	0,723	0,421	0,434	0,617	0,322	0,288	0,264	0,48	100
DE0003R	vanadium	pm10	1,082	0,414	0,160	0,242	0,124	0,476	0,179	0,221	0,235	0,122	0,066	0,032	0,28	100
DE0007R	vanadium	pm10	0,313	0,637	0,525	0,694	0,429	0,713	0,439	0,372	0,518	0,288	0,238	0,308	0,45	100
DE0008R	vanadium	pm10	0,065	0,676	0,278	0,356	0,169	0,394	0,208	0,138	0,341	0,141	0,046	0,040	0,23	100
DE0009R	vanadium	pm10	0,701	1,371	2,342	2,675	2,033	3,607	2,139	1,339	1,919	0,533	0,534	0,629	1,6483	100
ES1778R	vanadium	pm10	0,291	1,322	0,984	0,446	0,498	0,763	1,020	1,827	0,653	0,651	0,337	0,378	0,80	29,0
ES1778R	vanadium	pm1	0,068	0,309	0,302	0,410	0,285	0,445	0,584	-	0,315	0,358	0,015	-	0,39	19,7
ES1778R	vanadium	pm25	0,166	0,585	0,563	0,274	0,364	0,572	0,711	0,720	0,546	0,484	0,200	0,150	0,50	26,6
FI0018R	vanadium	pm10	0,977	1,089	1,029	0,768	0,795	1,595	0,885	0,451	0,829	1,458	0,405	0,912	0,91	94,0
FI0036R	vanadium	pm10	1,078	0,412	0,242	0,103	0,312	0,169	0,210	0,102	0,169	0,455	0,328	0,556	0,35	99,5
FI0050R	vanadium	pm10	0,436	0,539	0,362	0,273	0,274	0,492	0,403	0,225	0,305	0,535	0,233	0,560	0,39	98,9
GB0048R	vanadium	pm10	0,067	0,178	0,184	0,425	0,243	0,426	0,290	0,340	0,259	0,141	0,117	0,120	0,23	100
GB1055R	vanadium	pm10	0,474	1,165	1,033	1,109	0,799	1,300	0,975	0,949	0,768	0,744	0,423	0,590	0,86	99,9
IS0091R	vanadium	aerosol	0,651	0,696	0,523	1,203	1,438	1,460	0,177	0,324	0,711	0,650	0,339	0,300	0,71	76,3
IT0019R	vanadium	pm10	0,250	1,205	0,430	0,718	2,838	2,517	1,474	1,327	0,880	-	-	0,250	1,0233	30,1
NO0002R	vanadium	pm10	0,110	0,342	0,153	0,087	0,337	0,456	0,624	0,307	0,442	0,279	0,125	0,122	0,29	92,1
NO0042G	vanadium	aerosol	0,218	0,098	0,070	0,076	0,048	0,035	0,036	0,031	0,019	0,032	0,218	0,041	0,08	29,3
NO0090R	vanadium	aerosol	0,198	0,134	0,098	0,174	0,265	0,118	0,169	0,019	0,098	0,042	0,088	0,100	0,13	28,5
SE0005R	vanadium	aerosol	0,087	0,109	0,086	0,009	0,135	0,150	0,150	0,054	0,081	0,160	0,043	0,051	0,09	84,7
SE0014R	vanadium	aerosol	0,360	0,360	1,246	0,680	1,439	1,491	1,400	0,639	1,256	0,940	0,635	0,720	0,98	88,5
SE0020R	vanadium	aerosol	0,470	0,195	1,472	0,450	0,750	1,083	0,890	0,640	0,540	0,320	0,486	0,450	0,65	100
SE0022R	vanadium	aerosol	0,180	0,313	0,278	0,190	0,421	0,408	0,350	0,187	0,325	0,590	0,143	0,180	0,30	100
BE0014R	zinc	pm10	10,5	18,8	11,6	6,575	8,632	12,7	9,617	5,874	17,5	13,2	11,2	13,6	11,431	94,5

Site	Comp	Matrix	jan	feb	mar	apr	may	june	july	aug	sept	oct	nov	dec	2021	capture
CY0002R	zinc	pm10	23,6	18,4	11,6	13,5	11,5	12,9	14,5	15,4	16,8	19,3	28,5	14,6	16,53	93,2
CZ0003R	zinc	pm10	7,234	13,8	9,729	9,837	4,535	7,377	4,098	2,761	9,137	11,0	6,940	7,301	7,8424	49,3
CZ0003R	zinc	pm25	6,239	12,0	7,786	7,573	3,839	5,363	3,042	2,209	6,365	7,947	5,943	6,586	6,2118	49,9
CZ0005R	zinc	pm10	2,964	3,822	4,659	4,986	2,379	5,035	2,899	2,023	5,661	4,535	3,028	2,178	3,6802	49,3
DE0001R	zinc	pm10	7,369	11,9	7,321	8,888	5,523	4,931	3,505	2,851	5,799	7,919	6,383	9,058	6,7521	100
DE0002R	zinc	pm10	12,8	17,0	11,9	6,987	5,129	8,460	5,886	3,237	8,230	11,5	12,8	13,7	9,7446	100
DE0003R	zinc	pm10	7,418	2,819	3,820	5,472	2,538	6,257	3,515	3,723	4,109	3,860	1,286	0,477	3,7766	100
DE0007R	zinc	pm10	10,7	15,3	9,213	6,721	6,082	6,598	3,656	2,933	7,518	14,3	12,4	14,5	9,1268	100
DE0008R	zinc	pm10	4,402	8,753	7,714	6,654	4,840	6,307	2,770	2,055	5,995	4,373	1,766	1,240	4,7012	100
DE0009R	zinc	pm10	6,705	9,993	6,174	5,201	4,375	5,710	2,748	1,758	4,789	8,750	5,884	9,479	5,937	100
ES0001R	zinc	pm10	6,036	8,412	10,3	5,108	5,746	7,634	5,214	9,420	12,0	11,3	5,449	3,134	7,4797	16,4
ES0007R	zinc	pm10	4,522	7,304	10,3	4,450	5,380	6,640	11,4	5,201	11,7	25,6	6,435	6,452	8,814	16,4
ES0008R	zinc	pm10	6,976	5,584	19,0	20,2	13,5	14,0	23,8	17,3	32,2	19,9	11,6	23,2	17,41	16,4
ES0009R	zinc	pm10	6,100	5,132	3,846	2,030	4,043	9,441	5,942	21,8	18,7	17,4	5,742	3,650	8,6698	16,4
ES0014R	zinc	pm10	6,711	19,1	13,3	10,5	9,189	9,424	9,993	13,9	13,8	18,6	12,6	6,992	11,9966	16,0
ES1778R	zinc	pm10	4,033	7,973	8,894	6,470	6,804	7,545	10,7	6,468	5,664	11,8	7,061	5,830	8,1738	29,0
ES1778R	zinc	pm1	3,915	4,280	5,812	3,565	4,865	3,943	13,1	-	8,650	14,6	10,8	-	8,8707	19,7
ES1778R	zinc	pm25	7,513	8,052	12,6	9,469	9,074	15,4	8,286	2,320	3,543	10,9	7,198	5,874	8,7086	26,6
FI0018R	zinc	pm10	12,3	9,046	4,722	5,745	5,145	8,319	5,404	3,401	6,068	14,9	6,191	8,258	7,2006	94,0
FI0036R	zinc	pm10	4,087	1,843	3,088	0,650	0,555	1,028	0,860	0,581	2,340	2,130	0,814	1,750	1,6465	99,5
FI0050R	zinc	pm10	8,525	7,451	5,629	4,075	4,850	5,104	2,881	2,658	4,488	8,262	4,539	6,097	5,3648	98,9
GB0013R	zinc	pm10	2,603	6,548	6,598	7,790	3,545	6,898	6,267	6,332	6,610	3,511	3,908	3,289	5,344	98,1
GB0017R	zinc	pm10	8,309	12,0	10,4	7,091	7,523	5,356	6,826	8,021	7,201	9,545	8,367	6,330	8,0593	100
GB0048R	zinc	pm10	1,576	2,696	5,415	4,738	3,052	3,396	3,197	4,704	3,490	1,588	2,318	2,550	3,212	100



Site	Comp	Matrix	jan	feb	mar	apr	may	june	july	aug	sept	oct	nov	dec	2021	capture
GB1055R	zinc	pm10	8,393	12,4	11,9	12,2	5,562	7,485	6,262	7,497	6,624	7,061	9,376	6,252	8,383	99,9
IS0091R	zinc	aerosol	1,468	1,270	0,626	1,382	1,363	1,647	3,572	1,685	2,627	2,180	1,406	2,050	1,813	76,3
IT0019R	zinc	pm10	5,200	5,900	5,200	5,200	5,200	13,4	12,9	5,200	6,667	-	-	7,980	7,1018	30,1
NL0008R	zinc	pm10	29,6	38,6	25,0	13,1	16,5	30,9	16,1	14,9	28,3	25,0	35,8	24,5	24,82	48,8
NL0644R	zinc	pm25	29,7	21,2	24,2	29,1	23,6	4,897	12,3	11,8	16,2	22,4	40,1	47,6	24,00	21,6
NO0002R	zinc	pm10	6,241	6,042	3,654	1,380	2,417	2,027	1,928	1,462	3,589	6,868	1,903	1,900	3,4213	92,1
NO0042G	zinc	aerosol	2,592	0,645	1,331	0,871	1,876	2,909	2,352	0,685	1,578	0,471	2,464	0,882	1,5643	29,3
NO0090R	zinc	aerosol	1,808	2,775	0,906	0,948	0,510	0,479	1,098	0,232	0,487	0,192	0,818	0,719	0,91	28,5
NO0098R	zinc	pm10	5,055	2,644	4,265	0,807	0,619	1,164	0,485	1,196	0,901	0,715	1,022	1,425	1,7366	94,2
PL0005R	zinc	pm10	18,0	16,0	7,307	6,630	5,139	4,083	4,536	3,661	8,227	13,3	10,3	13,0	9,1376	99,7
SE0005R	zinc	aerosol	1,200	1,377	1,188	0,700	1,323	1,400	0,800	0,828	0,901	1,500	0,454	1,700	1,0555	84,7
SE0014R	zinc	aerosol	5,100	5,100	3,504	2,500	3,245	3,402	2,400	1,481	3,836	4,800	3,341	5,800	3,5371	88,5
SE0020R	zinc	aerosol	5,200	3,333	12,0	3,600	3,270	5,442	3,700	2,683	3,164	2,900	4,683	7,200	4,7651	100
SI0008R	zinc	pm10	4,419	3,175	8,205	3,175	3,175	5,100	3,175	7,996	5,600	6,300	10,6	6,196	5,4706	21,9
SK0002R	zinc	aerosol	0,376	0,834	2,942	4,786	1,412	7,065	4,944	7,738	7,225	1,811	19,1	1,288	4,9421	99,7
SK0004R	zinc	pm10	23,0	7,422	8,366	9,080	7,319	8,523	12,9	7,240	12,6	11,1	16,0	16,0	11,0866	72,9
SK0006R	zinc	pm10	13,8	12,0	12,0	3,579	4,915	6,892	5,801	9,090	8,962	11,9	14,3	11,3	9,545	99,2
SK0007R	zinc	pm10	12,4	9,864	11,7	8,438	6,986	9,193	14,1	8,066	15,5	21,9	33,7	30,5	14,59	67,1



## **Appendix G**

### **Monthly and annual mean values for POPs in precipitation**

Site	Comp	Matrix	jan	feb	mar	apr	may	june	july	aug	sept	oct	nov	dec	2021	capture
BE0013R	anthracene	precip+dry_dep	5,679	11,257	14,656	2,685	5,030	5,030	2,502	5,556	8,380	41,920	4,570	15,188	10,242	85
BE0013R	benz_a_anthracene	precip+dry_dep	11,091	7,907	15,090	14,085	11,740	6,710	8,547	7,899	7,935	38,130	18,108	11,415	13,649	92
BE0013R	benzo_a_pyrene	precip+dry_dep	11,523	10,779	15,469	15,762	13,410	8,380	11,138	10,165	8,380	26,830	8,722	11,578	12,952	85
BE0013R	benzo_b_fluoranthene	precip+dry_dep	27,801	12,697	17,684	19,617	30,180	8,380	10,223	8,495	9,167	28,987	25,988	18,332	18,239	92
BE0013R	benzo_ghi_perylene	precip+dry_dep	14,658	11,979	13,033	13,249	16,770	6,710	7,626	6,219	9,951	13,087	23,976	10,655	12,424	92
BE0013R	benzo_k_fluoranthene	precip+dry_dep	11,091	6,949	8,380	10,393	15,090	5,030	5,951	4,542	4,582	14,498	13,746	8,435	9,060	92
BE0013R	chrysene	precip+dry_dep	40,345	19,639	26,830	25,822	23,470	8,380	12,060	14,006	14,642	57,009	33,869	32,448	26,726	92
BE0013R	dibenzo_ah_anthracene	precip+dry_dep	5,247	6,710	5,459	2,328	5,030	8,380	5,622	3,350	8,271	6,194	15,596	5,625	6,401	92
BE0013R	fluoranthene	precip+dry_dep	77,348	38,321	60,255	38,900	43,590	16,770	19,528	14,226	21,126	80,594	53,157	49,925	44,183	92
BE0013R	fluorene	precip+dry_dep	15,904	9,101	2,973	1,680	1,680	5,030	3,193	1,680	1,680	12,495	16,602	11,361	7,216	92
BE0013R	inden_123cd_pyrene	precip+dry_dep	10,874	5,749	8,924	7,043	11,740	8,380	7,464	4,542	9,503	11,740	19,282	10,060	9,608	92
BE0013R	naphthalene	precip+dry_dep	33,480	20,123	10,060	11,569	15,090	18,440	11,086	6,114	10,399	23,909	38,899	26,830	18,962	92
BE0013R	pyrene	precip+dry_dep	46,406	22,754	36,668	29,175	26,830	11,740	13,577	16,174	16,770	97,899	52,480	32,719	35,047	92
CZ0003R	HCB	precip	0,038	0,070	0,024	0,021	0,018	0,016	0,017	0,014	0,013	0,008	0,038	0,013	0,021	73
CZ0003R	PCB_101	precip	0,043	0,043	0,032	0,036	0,030	0,028	0,030	0,026	0,018	0,015	0,021	0,016	0,028	73
CZ0003R	PCB_118	precip	0,036	0,035	0,027	0,030	0,025	0,023	0,025	0,022	0,015	0,013	0,018	0,015	0,023	73
CZ0003R	PCB_138	precip	0,045	0,045	0,034	0,037	0,032	0,029	0,032	0,026	0,016	0,017	0,018	0,016	0,028	73
CZ0003R	PCB_153	precip	0,039	0,039	0,030	0,033	0,028	0,026	0,027	0,023	0,015	0,014	0,020	0,018	0,026	73
CZ0003R	PCB_180	precip	0,052	0,052	0,040	0,043	0,037	0,034	0,037	0,028	0,011	0,011	0,012	0,012	0,031	73
CZ0003R	PCB_28	precip	0,015	0,014	0,011	0,012	0,011	0,010	0,010	0,009	0,008	0,008	0,008	0,009	0,010	73
CZ0003R	PCB_52	precip	0,018	0,018	0,014	0,015	0,013	0,012	0,013	0,011	0,008	0,008	0,012	0,008	0,012	73
CZ0003R	acenaphthene	precip	1,035	0,974	0,561	0,322	0,408	0,254	0,269	0,333	0,492	0,483	1,198	0,679	0,477	73
CZ0003R	acenaphthylene	precip	5,741	1,656	4,083	2,907	1,058	0,233	0,246	0,253	0,172	0,581	2,507	2,035	1,192	73

Site	Comp	Matrix	jan	feb	mar	apr	may	june	july	aug	sept	oct	nov	dec	2021	capture
CZ0003R	alpha_HCH	precip	0,042	0,042	0,041	0,026	0,057	0,072	0,048	0,058	0,095	0,081	0,072	0,052	0,057	73
CZ0003R	anthracene	precip	1,585	1,212	2,129	1,706	1,891	0,366	0,387	0,378	0,383	0,697	1,207	0,915	0,973	73
CZ0003R	benz_a_anthracene	precip	7,490	5,085	15,320	10,068	6,862	0,214	0,128	0,334	0,667	2,968	4,252	4,936	3,624	73
CZ0003R	benzo_a_pyrene	precip	3,144	3,404	9,882	6,050	6,451	0,791	0,836	0,940	1,106	3,521	4,446	3,689	3,229	73
CZ0003R	benzo_b_fluoranthene	precip	8,776	7,862	25,253	13,101	14,363	0,614	0,651	0,873	1,390	4,674	9,070	10,702	6,857	73
CZ0003R	benzo_ghi_perylene	precip	3,517	3,738	11,289	6,286	7,566	0,519	0,550	0,624	1,154	3,052	6,030	4,855	3,608	73
CZ0003R	benzo_k_fluoranthene	precip	3,977	3,333	9,647	5,499	5,365	0,671	0,709	0,840	0,918	2,501	3,434	3,621	2,845	73
CZ0003R	beta_HCH	precip	0,018	0,021	0,014	0,017	0,031	0,025	0,034	0,029	0,045	0,044	0,049	0,049	0,033	73
CZ0003R	delta_HCH	precip	0,039	0,040	0,030	0,034	0,028	0,026	0,028	0,038	0,063	0,062	0,068	0,069	0,040	73
CZ0003R	dibenzo_ah_anthracene	precip	0,644	0,746	1,261	0,697	1,079	0,549	0,581	0,530	0,457	0,450	0,495	0,498	0,683	73
CZ0003R	fluoranthene	precip	50,666	34,503	86,702	41,292	36,260	4,524	3,109	2,730	4,363	9,631	25,904	36,207	21,547	73
CZ0003R	fluorene	precip	7,519	4,158	7,041	2,727	4,438	0,220	0,232	0,266	0,241	1,000	5,304	6,036	2,681	73
CZ0003R	gamma_HCH	precip	0,163	0,197	0,133	0,061	0,254	0,267	0,182	0,239	0,339	0,213	0,183	0,211	0,218	73
CZ0003R	inden_123cd_pyrene	precip	4,577	4,415	12,556	6,159	8,503	0,456	0,482	0,522	0,856	2,955	6,339	5,275	3,908	73
CZ0003R	naphthalene	precip	11,438	6,201	9,250	2,904	5,653	4,834	0,927	4,997	0,606	2,997	18,931	14,192	6,214	73
CZ0003R	phe-threne	precip	40,810	24,118	62,530	28,843	26,433	5,088	2,350	1,160	1,907	4,679	21,537	29,761	16,120	73
CZ0003R	pp_DDD	precip	0,038	0,046	0,043	0,036	0,031	0,025	0,027	0,028	0,032	0,043	0,225	0,072	0,049	73
CZ0003R	pp_DDE	precip	0,046	0,059	0,034	0,032	0,028	0,021	0,014	0,013	0,011	0,022	0,325	0,072	0,049	73
CZ0003R	pp_DDT	precip	0,024	0,024	0,018	0,020	0,017	0,016	0,017	0,017	0,018	0,018	0,021	0,020	0,018	73
CZ0003R	pyrene	precip	32,490	21,208	60,389	32,251	24,884	3,603	2,365	2,264	2,920	7,638	18,355	21,692	14,707	73
DE0001R	HCB	precip_tot	-	-	-	0,140	0,138	0,120	0,108	0,120	0,115	0,155	0,143	0,102	0,132	82
DE0001R	PCB_101	precip_tot	-	-	-	0,028	0,032	0,026	0,025	0,018	0,028	0,059	0,027	0,012	0,034	82
DE0001R	PCB_118	precip_tot	-	-	-	0,011	0,011	0,011	0,011	0,011	0,011	0,011	0,011	0,012	0,011	82
DE0001R	PCB_138	precip_tot	-	-	-	0,039	0,061	0,033	0,025	0,017	0,013	0,052	0,001	0,000	0,034	82

Site	Comp	Matrix	jan	feb	mar	apr	may	june	july	aug	sept	oct	nov	dec	2021	capture
DE0001R	PCB_153	precip_tot	-	-	-	0,041	0,039	0,008	0,017	0,008	0,010	0,045	0,009	0,009	0,025	82
DE0001R	PCB_180	precip_tot	-	-	-	0,027	0,043	0,022	0,015	0,014	0,016	0,028	0,015	0,015	0,025	82
DE0001R	PCB_28	precip_tot	-	-	-	0,027	0,037	0,053	0,038	0,036	0,032	0,050	0,011	0,010	0,036	82
DE0001R	PCB_52	precip_tot	-	-	-	0,011	0,011	0,063	0,011	0,010	0,012	0,031	0,011	0,011	0,022	82
DE0001R	aldrin	precip_tot	-	-	-	0,024	0,023	0,024	0,023	0,022	0,023	0,022	0,023	0,024	0,023	82
DE0001R	alpha_HCH	precip_tot	-	-	-	0,095	0,090	0,093	0,092	0,087	0,101	0,261	0,097	0,096	0,134	82
DE0001R	anthracene	precip_tot	2,086	2,447	2,221	2,343	2,221	2,294	2,273	2,155	2,287	2,151	2,291	2,372	2,231	100
DE0001R	benz_a_anthracene	precip_tot	2,368	2,362	1,756	3,551	3,679	1,886	1,913	1,869	2,283	3,449	2,827	4,410	2,884	100
DE0001R	benzo_a_pyrene	precip_tot	1,983	2,165	2,368	3,963	4,347	2,759	1,294	1,091	1,268	1,899	1,481	3,918	2,475	100
DE0001R	benzo_bjk_fluoranthenes	precip_tot	16,284	14,175	7,760	15,823	13,966	8,779	4,424	3,397	4,924	8,529	8,144	28,212	11,086	100
DE0001R	benzo_ghi_perylene	precip_tot	5,229	4,386	2,935	5,192	5,293	3,667	1,702	1,470	2,021	3,024	2,867	9,583	3,990	100
DE0001R	chrysene_triphenylene	precip_tot	15,920	21,920	6,827	10,402	10,663	7,193	2,981	2,371	3,154	7,737	6,122	16,554	8,937	100
DE0001R	dibenzo_ah_anthracene	precip_tot	1,020	0,627	0,570	0,978	1,201	0,558	0,399	0,330	0,345	0,629	0,633	1,816	0,760	100
DE0001R	dieldrin	precip_tot	-	-	-	0,058	0,208	0,025	0,024	0,023	0,031	0,156	0,028	0,025	0,096	82
DE0001R	endrin	precip_tot	-	-	-	0,023	0,022	0,023	0,023	0,022	0,023	0,021	0,023	0,024	0,022	82
DE0001R	fluoranthene	precip_tot	36,485	41,812	16,595	21,704	21,769	10,706	6,777	5,402	7,185	15,611	8,242	16,451	16,759	100
DE0001R	gamma_HCH	precip_tot	-	-	-	0,303	1,297	0,405	0,432	0,422	0,506	1,136	0,046	0,278	0,731	82
DE0001R	heptachlor	precip_tot	-	-	-	0,011	0,011	0,011	0,011	0,010	0,011	0,010	0,011	0,011	0,011	82
DE0001R	inden_123cd_pyrene	precip_tot	4,849	4,626	2,747	5,294	5,112	3,616	2,391	2,066	2,915	3,792	3,865	12,631	4,517	100
DE0001R	op_DDD	precip_tot	-	-	-	0,007	0,006	0,006	0,006	0,006	0,006	0,006	0,006	0,007	0,006	82
DE0001R	op_DDE	precip_tot	-	-	-	0,022	0,021	0,022	0,022	0,020	0,022	0,020	0,022	0,022	0,021	82
DE0001R	op_DDT	precip_tot	-	-	-	0,021	0,020	0,021	0,020	0,019	0,021	0,019	0,021	0,021	0,020	82
DE0001R	phe-threne	precip_tot	18,054	102,145	11,422	16,512	37,679	14,334	7,161	11,502	6,833	23,340	38,737	15,572	23,748	100
DE0001R	pp_DDD	precip_tot	-	-	-	0,013	0,030	0,009	0,009	0,009	0,009	0,009	0,009	0,010	0,013	82

Site	Comp	Matrix	jan	feb	mar	apr	may	june	july	aug	sept	oct	nov	dec	2021	capture
DE0001R	pp_DDE	precip_tot	-	-	-	0,052	0,049	0,051	0,051	0,048	0,051	0,048	0,112	0,053	0,056	82
DE0001R	pp_DDT	precip_tot	-	-	-	0,074	0,153	0,070	0,007	0,007	0,026	0,031	0,040	0,027	0,059	82
DE0001R	pyrene	precip_tot	20,202	23,784	8,318	17,041	18,347	7,607	3,562	3,612	4,556	13,125	8,847	14,577	12,312	100
DE0002R	HCB	precip_tot	-	-	-	0,666	0,130	0,093	0,358	0,127	0,130	0,196	0,106	0,132	0,227	75
DE0002R	PCB_101	precip_tot	-	-	-	0,105	0,153	0,034	0,042	0,059	0,019	0,024	0,026	0,034	0,066	75
DE0002R	PCB_118	precip_tot	-	-	-	0,012	0,035	0,011	0,011	0,011	0,011	0,011	0,011	0,012	0,016	75
DE0002R	PCB_138	precip_tot	-	-	-	0,096	0,096	0,033	0,026	0,024	0,011	0,017	0,033	0,034	0,047	75
DE0002R	PCB_153	precip_tot	-	-	-	0,118	0,103	0,018	0,025	0,017	0,008	0,008	0,008	0,009	0,044	75
DE0002R	PCB_180	precip_tot	-	-	-	0,061	0,064	0,023	0,029	0,014	0,015	0,014	0,022	0,023	0,033	75
DE0002R	PCB_28	precip_tot	-	-	-	0,145	0,087	0,042	0,142	0,029	0,024	0,050	0,010	0,010	0,069	75
DE0002R	PCB_52	precip_tot	-	-	-	0,107	0,195	0,035	0,075	0,038	0,011	0,024	0,011	0,027	0,073	75
DE0002R	aldrin	precip_tot	-	-	-	0,024	0,023	0,024	0,023	0,022	0,023	0,022	0,023	0,024	0,023	75
DE0002R	alpha_HCH	precip_tot	-	-	-	0,096	0,090	0,093	0,092	0,087	0,093	0,087	0,093	0,096	0,092	75
DE0002R	anthracene	precip_tot	2,086	2,454	2,224	7,929	2,221	2,294	2,286	2,152	2,291	2,151	2,293	2,372	2,778	100
DE0002R	benz_a_anthracene	precip_tot	10,920	13,321	3,587	10,472	6,196	1,603	2,030	2,660	2,315	2,872	11,943	5,413	6,392	100
DE0002R	benzo_a_pyrene	precip_tot	11,141	12,246	3,821	12,243	7,643	2,803	1,131	1,949	1,398	2,906	16,890	6,731	6,991	100
DE0002R	benzo_bjk_fluoranthenes	precip_tot	71,840	74,953	14,707	43,930	25,301	8,754	5,382	6,918	5,709	9,293	65,119	30,163	31,731	100
DE0002R	benzo_ghi_perylene	precip_tot	24,980	23,111	4,979	13,268	8,390	3,195	2,714	2,464	2,026	2,892	21,926	9,957	10,520	100
DE0002R	chrysene_triphenylene	precip_tot	44,539	52,095	12,721	29,460	18,932	5,694	3,340	4,471	3,663	5,799	36,612	16,154	20,684	100
DE0002R	dibenzo_ah_anthracene	precip_tot	4,407	4,267	0,946	2,597	1,623	0,442	0,277	0,502	0,367	0,656	4,956	2,011	1,996	100
DE0002R	dieldrin	precip_tot	-	-	-	0,138	0,258	0,025	0,027	0,058	0,062	0,058	0,025	0,025	0,091	75
DE0002R	endrin	precip_tot	-	-	-	0,024	0,022	0,023	0,023	0,021	0,023	0,021	0,023	0,024	0,023	75
DE0002R	fluoranthene	precip_tot	55,542	90,486	23,509	63,881	38,907	10,046	7,642	9,194	6,584	9,708	47,036	21,308	34,559	100
DE0002R	gamma_HCH	precip_tot	-	-	-	1,145	1,754	0,634	1,045	0,870	0,614	0,421	0,574	0,352	0,949	75

Site	Comp	Matrix	jan	feb	mar	apr	may	june	july	aug	sept	oct	nov	dec	2021	capture
DE0002R	heptachlor	precip_tot	-	-	-	0,011	0,011	0,011	0,011	0,010	0,011	0,010	0,011	0,011	0,011	75
DE0002R	inden_123cd_pyrene	precip_tot	27,407	25,575	4,858	14,307	8,535	3,140	2,554	3,562	2,871	4,181	26,204	13,268	11,809	100
DE0002R	op_DDD	precip_tot	-	-	-	0,007	0,006	0,006	0,006	0,006	0,006	0,006	0,006	0,007	0,006	75
DE0002R	op_DDE	precip_tot	-	-	-	0,022	0,021	0,022	0,022	0,020	0,022	0,020	0,022	0,022	0,021	75
DE0002R	op_DDT	precip_tot	-	-	-	0,056	0,114	0,021	0,021	0,019	0,021	0,019	0,021	0,021	0,042	75
DE0002R	phe-threne	precip_tot	41,421	103,947	21,805	53,094	37,599	5,950	14,703	11,618	6,478	10,354	38,902	30,840	33,788	100
DE0002R	pp_DDD	precip_tot	-	-	-	0,033	0,044	0,009	0,009	0,009	0,009	0,009	0,009	0,010	0,018	75
DE0002R	pp_DDE	precip_tot	-	-	-	0,120	0,187	0,054	0,144	0,048	0,051	0,048	0,142	0,054	0,105	75
DE0002R	pp_DDT	precip_tot	-	-	-	0,249	0,465	0,142	0,100	0,217	0,114	0,080	0,063	0,035	0,197	75
DE0002R	pyrene	precip_tot	40,067	58,927	16,970	45,201	29,386	6,109	5,149	7,673	4,451	9,583	44,035	20,150	25,522	100
DE0003R	HCB	precip_tot	-	-	-	0,193	0,564	0,131	0,221	0,218	0,171	0,136	0,140	0,148	0,251	73
DE0003R	PCB_101	precip_tot	-	-	-	0,035	0,059	0,046	0,031	0,059	0,077	0,044	0,020	0,034	0,045	73
DE0003R	PCB_118	precip_tot	-	-	-	0,012	0,011	0,009	0,010	0,012	0,011	0,010	0,012	0,012	0,011	73
DE0003R	PCB_138	precip_tot	-	-	-	0,039	0,052	0,065	0,045	0,039	0,027	0,051	0,021	0,034	0,044	73
DE0003R	PCB_153	precip_tot	-	-	-	0,030	0,038	0,065	0,034	0,032	0,026	0,050	0,011	0,019	0,036	73
DE0003R	PCB_180	precip_tot	-	-	-	0,025	0,028	0,043	0,023	0,020	0,015	0,034	0,024	0,023	0,027	73
DE0003R	PCB_28	precip_tot	-	-	-	0,046	0,063	0,038	0,034	0,047	0,053	0,028	0,032	0,040	0,044	73
DE0003R	PCB_52	precip_tot	-	-	-	0,021	0,052	0,022	0,011	0,030	0,047	0,024	0,012	0,011	0,026	73
DE0003R	aldrin	precip_tot	-	-	-	0,024	0,022	0,020	0,020	0,026	0,023	0,021	0,024	0,024	0,022	73
DE0003R	alpha_HCH	precip_tot	-	-	-	0,184	0,469	0,472	0,685	0,471	0,095	0,185	0,100	0,310	0,398	73
DE0003R	anthracene	precip_tot	2,024	2,362	2,297	2,386	2,147	1,912	1,959	2,506	2,289	2,086	2,359	2,373	2,172	100
DE0003R	benz_a_anthracene	precip_tot	15,109	4,333	10,257	2,668	3,321	1,417	2,366	2,529	1,542	2,765	8,886	11,726	6,377	100
DE0003R	benzo_a_pyrene	precip_tot	15,912	5,063	14,967	4,669	4,511	2,398	1,505	1,624	1,881	3,337	13,741	18,943	8,107	100
DE0003R	benzo_bjk_fluoranthenes	precip_tot	107,635	29,510	68,593	20,680	23,446	9,557	6,385	7,782	9,062	13,119	54,299	61,880	39,844	100



Site	Comp	Matrix	jan	feb	mar	apr	may	june	july	aug	sept	oct	nov	dec	2021	capture
DE0003R	benzo_ghi_perylene	precip_tot	37,905	10,767	27,440	8,603	10,242	3,867	2,346	3,094	3,082	5,121	22,094	29,014	15,654	100
DE0003R	chrysene_triphenylene	precip_tot	68,328	19,406	42,363	11,098	11,270	6,383	4,646	5,263	5,666	7,772	34,928	42,764	25,128	100
DE0003R	dibenzo_ah_anthracene	precip_tot	5,814	1,449	3,820	1,187	1,311	0,534	0,378	0,501	0,414	0,785	3,530	4,033	2,278	100
DE0003R	dieldrin	precip_tot	-	-	-	0,167	0,341	0,181	0,180	0,119	0,026	0,063	0,144	0,225	0,192	73
DE0003R	endrin	precip_tot	-	-	-	0,024	0,021	0,019	0,020	0,025	0,023	0,021	0,024	0,024	0,022	73
DE0003R	fluoranthene	precip_tot	95,085	29,557	56,184	26,430	34,245	18,259	12,503	11,599	15,389	9,886	37,173	51,274	38,850	100
DE0003R	gamma_HCH	precip_tot	-	-	-	2,145	4,581	5,016	4,448	3,347	2,154	1,667	1,587	3,545	3,662	73
DE0003R	heptachlor	precip_tot	-	-	-	0,012	0,010	0,009	0,009	0,012	0,011	0,010	0,011	0,011	0,011	73
DE0003R	inden_123cd_pyrene	precip_tot	38,954	11,101	27,237	8,487	10,104	3,556	2,973	4,119	4,284	6,801	24,729	29,181	16,197	100
DE0003R	op_DDD	precip_tot	-	-	-	0,007	0,006	0,005	0,006	0,007	0,006	0,006	0,007	0,007	0,006	73
DE0003R	op_DDE	precip_tot	-	-	-	0,023	0,020	0,018	0,019	0,024	0,022	0,020	0,022	0,022	0,021	73
DE0003R	op_DDT	precip_tot	-	-	-	0,021	0,019	0,017	0,018	0,023	0,021	0,019	0,021	0,021	0,020	73
DE0003R	phe-threne	precip_tot	86,150	35,233	43,687	23,242	35,971	18,093	16,740	16,166	13,595	12,061	26,819	46,368	36,814	100
DE0003R	pp_DDD	precip_tot	-	-	-	0,010	0,009	0,008	0,008	0,010	0,009	0,008	0,009	0,010	0,009	73
DE0003R	pp_DDE	precip_tot	-	-	-	0,053	0,048	0,043	0,044	0,056	0,051	0,046	0,053	0,053	0,049	73
DE0003R	pp_DDT	precip_tot	-	-	-	0,031	0,045	0,083	0,036	0,027	0,033	0,017	0,026	0,042	0,042	73
DE0003R	pyrene	precip_tot	70,719	26,872	48,097	17,248	21,358	10,741	8,610	8,300	10,075	4,727	33,290	47,000	29,499	100
DE0008R	HCB	precip_tot	-	-	-	0,178	0,170	0,281	0,178	0,148	0,120	0,120	0,157	0,155	0,180	74
DE0008R	PCB_101	precip_tot	-	-	-	0,049	0,036	0,170	0,036	0,073	0,034	0,038	0,026	0,012	0,062	77
DE0008R	PCB_118	precip_tot	-	-	-	0,012	0,011	0,011	0,011	0,011	0,011	0,011	0,011	0,012	0,011	77
DE0008R	PCB_138	precip_tot	-	-	-	0,028	0,046	0,041	0,041	0,052	0,019	0,038	0,026	0,001	0,038	77
DE0008R	PCB_153	precip_tot	-	-	-	0,027	0,040	0,061	0,020	0,052	0,019	0,038	0,009	0,009	0,035	77
DE0008R	PCB_180	precip_tot	-	-	-	0,024	0,043	0,037	0,022	0,021	0,016	0,042	0,022	0,015	0,028	77
DE0008R	PCB_28	precip_tot	-	-	-	0,057	0,088	0,103	0,042	0,098	0,065	0,009	0,010	0,032	0,065	77

Site	Comp	Matrix	jan	feb	mar	apr	may	june	july	aug	sept	oct	nov	dec	2021	capture
DE0008R	PCB_52	precip_tot	-	-	-	0,034	0,037	0,213	0,014	0,059	0,011	0,010	0,011	0,011	0,058	77
DE0008R	aldrin	precip_tot	-	-	-	0,024	0,023	0,024	0,023	0,022	0,023	0,022	0,023	0,024	0,023	77
DE0008R	alpha_HCH	precip_tot	-	-	-	0,116	0,441	0,431	0,631	0,820	0,098	0,205	0,093	0,096	0,446	77
DE0008R	anthracene	precip_tot	9,055	2,598	2,223	2,363	2,222	2,294	2,286	2,151	2,288	2,151	5,664	2,417	3,396	100
DE0008R	benz_a_anthracene	precip_tot	52,603	22,645	11,465	10,760	7,210	3,162	2,860	5,519	2,588	8,622	16,923	10,218	13,702	100
DE0008R	benzo_a_pyrene	precip_tot	62,859	27,468	16,995	12,304	9,090	7,286	1,893	5,557	1,867	10,517	20,489	13,010	16,681	100
DE0008R	benzo_bjk_fluoranthenes	precip_tot	383,624	122,073	58,677	54,609	36,241	17,480	7,973	20,762	7,319	40,613	82,465	76,469	83,738	100
DE0008R	benzo_ghi_perylene	precip_tot	117,101	41,007	26,460	21,085	14,072	7,213	3,256	7,753	2,844	12,566	34,231	30,546	28,355	100
DE0008R	chrysene_triphenylene	precip_tot	217,199	71,129	37,175	34,369	22,794	11,338	5,509	12,907	4,063	24,056	46,703	40,802	48,499	100
DE0008R	dibenzo_ah_anthracene	precip_tot	22,293	7,763	3,938	2,958	2,080	0,968	0,505	1,167	0,443	2,365	6,474	5,459	5,097	100
DE0008R	dieldrin	precip_tot	-	-	-	0,110	0,221	0,080	0,183	0,100	0,024	0,023	0,062	0,026	0,113	77
DE0008R	endrin	precip_tot	-	-	-	0,024	0,022	0,023	0,023	0,021	0,023	0,021	0,023	0,024	0,022	77
DE0008R	fluoranthene	precip_tot	310,761	121,150	63,287	67,365	49,757	24,754	13,309	28,511	7,457	27,486	58,016	43,781	75,040	100
DE0008R	gamma_HCH	precip_tot	-	-	-	0,515	2,062	2,833	2,264	2,268	0,476	0,733	0,686	0,883	1,820	77
DE0008R	heptachlor	precip_tot	-	-	-	0,011	0,011	0,011	0,011	0,010	0,011	0,010	0,011	0,011	0,011	77
DE0008R	inden_123cd_pyrene	precip_tot	124,512	45,907	26,167	21,739	14,275	6,899	4,146	9,905	3,983	15,764	39,039	36,284	30,896	100
DE0008R	op_DDD	precip_tot	-	-	-	0,007	0,006	0,006	0,006	0,006	0,006	0,006	0,006	0,007	0,006	77
DE0008R	op_DDE	precip_tot	-	-	-	0,022	0,021	0,022	0,022	0,020	0,022	0,020	0,022	0,022	0,021	77
DE0008R	op_DDT	precip_tot	-	-	-	0,021	0,020	0,021	0,021	0,019	0,021	0,019	0,021	0,021	0,020	77
DE0008R	phe-threne	precip_tot	232,195	93,330	57,535	55,572	51,216	31,536	23,923	46,202	15,495	38,965	119,354	73,279	74,941	100
DE0008R	pp_DDD	precip_tot	-	-	-	0,032	0,023	0,009	0,009	0,009	0,009	0,009	0,009	0,010	0,012	77
DE0008R	pp_DDE	precip_tot	-	-	-	0,053	0,050	0,051	0,051	0,048	0,051	0,048	0,142	0,163	0,067	77
DE0008R	pp_DDT	precip_tot	-	-	-	0,227	0,357	0,194	0,115	0,128	0,008	0,031	0,048	0,027	0,147	77
DE0008R	pyrene	precip_tot	233,131	89,768	54,652	56,865	37,558	19,259	9,042	17,381	5,283	17,917	38,537	38,697	56,013	100

Site	Comp	Matrix	jan	feb	mar	apr	may	june	july	aug	sept	oct	nov	dec	2021	capture
DE0009R	HCB	precip_tot	-	-	-	0,141	0,152	0,106	0,169	0,106	0,106	0,106	0,149	0,178	0,138	74
DE0009R	PCB_101	precip_tot	-	-	-	0,106	0,139	0,016	0,057	0,080	0,054	0,010	0,026	0,026	0,062	75
DE0009R	PCB_118	precip_tot	-	-	-	0,012	0,011	0,011	0,011	0,011	0,011	0,011	0,011	0,012	0,011	81
DE0009R	PCB_138	precip_tot	-	-	-	0,050	0,046	0,019	0,028	0,059	0,033	0,017	0,033	0,042	0,036	81
DE0009R	PCB_153	precip_tot	-	-	-	0,049	0,039	0,011	0,034	0,051	0,025	0,008	0,018	0,018	0,030	75
DE0009R	PCB_180	precip_tot	-	-	-	0,023	0,029	0,015	0,015	0,014	0,015	0,014	0,022	0,015	0,018	81
DE0009R	PCB_28	precip_tot	-	-	-	0,048	0,051	0,033	0,109	0,044	0,080	0,009	0,010	0,070	0,053	81
DE0009R	PCB_52	precip_tot	-	-	-	0,051	0,075	0,012	0,027	0,045	0,054	0,010	0,011	0,011	0,036	75
DE0009R	aldrin	precip_tot	-	-	-	0,024	0,023	0,024	0,023	0,022	0,023	0,022	0,023	0,024	0,023	81
DE0009R	alpha_HCH	precip_tot	-	-	-	0,096	0,090	0,093	0,093	0,087	0,093	0,087	0,093	0,096	0,091	81
DE0009R	anthracene	precip_tot	2,086	2,449	2,222	2,362	2,221	2,294	2,287	2,153	2,288	2,151	2,292	2,372	2,236	100
DE0009R	benz_a_anthracene	precip_tot	10,987	8,567	2,201	10,415	5,782	1,143	2,833	2,284	3,881	2,713	7,701	9,570	5,122	100
DE0009R	benzo_a_pyrene	precip_tot	10,872	8,122	2,546	15,654	8,454	2,263	2,184	1,840	3,984	3,510	11,521	11,227	6,050	100
DE0009R	benzo_bjk_fluoranthenes	precip_tot	69,146	50,852	9,484	57,854	25,606	6,094	5,711	7,341	16,533	13,668	41,275	63,255	26,256	100
DE0009R	benzo_ghi_perylene	precip_tot	22,152	13,859	3,164	20,160	9,275	2,441	1,974	2,580	6,452	5,309	15,592	18,205	8,863	100
DE0009R	chrysene_triphenylene	precip_tot	43,664	35,094	8,221	28,151	15,229	3,711	3,850	4,272	8,822	10,029	24,514	30,537	15,694	100
DE0009R	dibenzo_ah_anthracene	precip_tot	3,707	2,495	0,517	3,676	1,680	0,359	0,419	0,439	1,255	1,066	3,028	3,993	1,656	100
DE0009R	dieldrin	precip_tot	-	-	-	0,030	0,103	0,025	0,026	0,051	0,024	0,023	0,025	0,025	0,040	81
DE0009R	endrin	precip_tot	-	-	-	0,024	0,022	0,023	0,023	0,021	0,023	0,021	0,023	0,024	0,022	81
DE0009R	fluoranthene	precip_tot	54,869	55,213	15,569	61,915	29,241	7,146	11,891	11,559	14,725	14,708	23,678	32,752	24,338	100
DE0009R	gamma_HCH	precip_tot	-	-	-	0,320	0,940	0,344	0,702	0,587	0,545	0,719	0,323	0,425	0,614	81
DE0009R	heptachlor	precip_tot	-	-	-	0,011	0,011	0,011	0,011	0,010	0,011	0,010	0,011	0,011	0,011	81
DE0009R	inden_123cd_pyrene	precip_tot	24,108	16,234	3,154	23,129	10,062	2,487	2,871	3,427	8,018	6,681	18,822	24,154	10,503	100
DE0009R	op_DDD	precip_tot	-	-	-	0,007	0,018	0,006	0,006	0,006	0,006	0,006	0,018	0,007	0,009	81

Site	Comp	Matrix	jan	feb	mar	apr	may	june	july	aug	sept	oct	nov	dec	2021	capture
DE0009R	op_DDE	precip_tot	-	-	-	0,022	0,021	0,022	0,022	0,020	0,022	0,020	0,022	0,022	0,021	81
DE0009R	op_DDT	precip_tot	-	-	-	0,026	0,094	0,021	0,021	0,020	0,044	0,019	0,088	0,022	0,039	81
DE0009R	phe-threne	precip_tot	39,064	42,074	16,294	41,446	22,054	6,285	19,466	13,617	22,877	10,076	14,885	35,624	21,592	100
DE0009R	pp_DDD	precip_tot	-	-	-	0,029	0,087	0,012	0,031	0,029	0,024	0,023	0,075	0,026	0,039	81
DE0009R	pp_DDE	precip_tot	-	-	-	0,117	0,238	0,062	0,145	0,049	0,118	0,048	0,170	0,054	0,114	81
DE0009R	pp_DDT	precip_tot	-	-	-	0,212	0,596	0,207	0,242	0,282	0,316	0,177	0,632	0,268	0,328	81
DE0009R	pyrene	precip_tot	42,088	41,290	10,368	48,422	22,188	4,770	7,539	7,268	10,386	7,222	14,901	20,623	16,947	100
ES0001R	acenaphthene	precip+dry_dep	-	-	-	-	-	-	-	-	-	-	-	-	-	-
ES0001R	acenaphthylene	precip+dry_dep	-	-	-	-	-	0,620	-	-	-	0,600	-	-	-	-
ES0001R	anthracene	precip+dry_dep	-	-	-	-	-	0,370	-	-	-	0,360	-	-	-	-
ES0001R	benz_a_anthracene	precip+dry_dep	-	-	-	-	-	0,440	-	-	-	0,425	-	-	-	-
ES0001R	benzo_a_pyrene	precip+dry_dep	-	-	-	-	-	0,465	-	-	-	0,450	-	-	-	-
ES0001R	benzo_b_fluoranthene	precip+dry_dep	-	-	-	-	-	0,780	-	-	-	0,755	-	-	-	-
ES0001R	benzo_ghi_perylene	precip+dry_dep	-	-	-	-	-	0,565	-	-	-	0,545	-	-	-	-
ES0001R	benzo_k_fluoranthene	precip+dry_dep	-	-	-	-	-	-	-	-	-	-	-	-	-	-
ES0001R	chrysene	precip+dry_dep	-	-	-	-	-	0,460	-	-	-	0,445	-	-	-	-
ES0001R	dibenzo_ah_anthracene	precip+dry_dep	-	-	-	-	-	0,450	-	-	-	0,440	-	-	-	-
ES0001R	fluoranthene	precip+dry_dep	-	-	-	0,205	-	0,830	-	-	-	0,800	-	-	-	-
ES0001R	fluorene	precip+dry_dep	-	0,370	-	0,145	-	1,870	-	-	-	1,810	-	-	-	-
ES0001R	naphthalene	precip+dry_dep	-	0,710	-	0,670	-	-	-	-	-	-	-	-	-	-
ES0001R	perylene	precip+dry_dep	-	-	-	-	-	0,440	-	-	-	0,425	-	-	-	-
ES0001R	phe-threne	precip+dry_dep	-	0,350	-	0,350	-	4,595	-	-	-	4,450	-	-	-	-
ES0007R	acenaphthene	precip+dry_dep	-	-	-	-	-	-	-	-	-	-	-	-	-	-
ES0007R	acenaphthylene	precip+dry_dep	-	-	-	-	-	0,620	-	-	-	0,600	-	-	-	-

Site	Comp	Matrix	jan	feb	mar	apr	may	june	july	aug	sept	oct	nov	dec	2021	capture
ES0007R	anthracene	precip+dry_dep	-	-	-	-	-	0,370	-	-	-	0,360	-	-	-	-
ES0007R	benz_a_anthracene	precip+dry_dep	-	0,120	-	-	-	0,440	-	-	-	0,425	-	-	-	-
ES0007R	benzo_a_pyrene	precip+dry_dep	-	-	-	-	-	0,465	-	-	-	1,243	-	-	-	-
ES0007R	benzo_b_fluoranthene	precip+dry_dep	-	-	-	-	-	0,780	-	-	-	0,755	-	-	-	-
ES0007R	benzo_ghi_perylene	precip+dry_dep	-	-	-	-	-	0,565	-	-	-	2,698	-	-	-	-
ES0007R	benzo_k_fluoranthene	precip+dry_dep	-	-	-	-	-	-	-	-	-	-	-	-	-	-
ES0007R	chrysene	precip+dry_dep	-	0,320	-	-	-	0,460	-	-	-	0,894	-	-	-	-
ES0007R	dibenzo_ah_anthracene	precip+dry_dep	-	-	-	-	-	0,450	-	-	-	0,440	-	-	-	-
ES0007R	fluoranthene	precip+dry_dep	-	0,365	-	0,365	-	0,830	-	-	-	1,951	-	-	-	-
ES0007R	fluorene	precip+dry_dep	-	0,320	-	-	-	1,870	-	-	-	1,810	-	-	-	-
ES0007R	inden_123cd_pyrene	precip+dry_dep	-	-	-	-	-	0,440	-	-	-	1,590	-	-	-	-
ES0007R	naphthalene	precip+dry_dep	-	0,915	-	0,550	-	-	-	-	-	-	-	-	-	-
ES0007R	perylene	precip+dry_dep	-	-	-	-	-	0,440	-	-	-	0,425	-	-	-	-
ES0007R	phe-threne	precip+dry_dep	-	0,458	-	0,215	-	4,595	-	-	-	29,328	-	-	-	-
ES0007R	pyrene	precip+dry_dep	-	0,450	-	0,635	-	0,890	-	-	-	0,860	-	-	-	-
ES0008R	acenaphthene	precip+dry_dep	-	-	-	-	-	-	-	-	-	-	-	-	-	-
ES0008R	acenaphthylene	precip+dry_dep	-	-	-	-	-	0,620	-	-	-	0,600	-	-	-	-
ES0008R	anthracene	precip+dry_dep	-	-	-	0,610	-	0,370	-	-	-	0,360	-	-	-	-
ES0008R	benz_a_anthracene	precip+dry_dep	-	0,355	-	-	-	0,440	-	-	-	1,570	-	-	-	-
ES0008R	benzo_b_fluoranthene	precip+dry_dep	-	-	-	-	-	0,780	-	-	-	2,360	-	-	-	-
ES0008R	benzo_ghi_perylene	precip+dry_dep	-	0,000	-	-	-	1,220	-	-	-	2,266	-	-	-	-
ES0008R	benzo_k_fluoranthene	precip+dry_dep	-	0,340	-	-	-	-	-	-	-	-	-	-	-	-
ES0008R	chrysene	precip+dry_dep	-	0,695	-	-	-	0,460	-	-	-	2,128	-	-	-	-
ES0008R	dibenzo_ah_anthracene	precip+dry_dep	-	-	-	-	-	0,450	-	-	-	0,440	-	-	-	-

Site	Comp	Matrix	jan	feb	mar	apr	may	june	july	aug	sept	oct	nov	dec	2021	capture
ES0008R	fluoranthene	precip+dry_dep	-	0,490	-	0,365	-	0,830	-	-	-	3,667	-	-	-	-
ES0008R	fluorene	precip+dry_dep	-	1,675	-	0,000	-	1,870	-	-	-	1,810	-	-	-	-
ES0008R	naphthalene	precip+dry_dep	-	1,120	-	0,555	-	-	-	-	-	-	-	-	-	-
ES0008R	perylene	precip+dry_dep	-	-	-	-	-	0,440	-	-	-	0,425	-	-	-	-
ES0008R	pyrene	precip+dry_dep	-	0,475	-	0,365	-	0,890	-	-	-	2,644	-	-	-	-
ES0012R	anthracene	precip+dry_dep	-	-	-	-	-	0,370	-	-	-	0,360	-	-	-	-
ES0012R	benz_a_anthracene	precip+dry_dep	-	-	-	-	-	0,440	-	-	-	0,425	-	-	-	-
ES0012R	benzo_a_pyrene	precip+dry_dep	-	-	-	-	-	0,465	-	-	-	0,450	-	-	-	-
ES0012R	benzo_b_fluoranthene	precip+dry_dep	-	-	-	-	-	0,780	-	-	-	0,755	-	-	-	-
ES0012R	benzo_k_fluoranthene	precip+dry_dep	-	-	-	-	-	-	-	-	-	-	-	-	-	-
ES0012R	chrysene	precip+dry_dep	-	0,025	-	-	-	0,460	-	-	-	0,445	-	-	-	-
ES0012R	dibenzo_ah_anthracene	precip+dry_dep	-	-	-	-	-	0,450	-	-	-	0,440	-	-	-	-
ES0012R	fluoranthene	precip+dry_dep	-	0,025	-	0,180	-	0,830	-	-	-	0,800	-	-	-	-
ES0012R	fluorene	precip+dry_dep	-	0,105	-	0,145	-	1,870	-	-	-	1,810	-	-	-	-
ES0012R	inden_123cd_pyrene	precip+dry_dep	-	-	-	0,000	-	0,440	-	-	-	0,425	-	-	-	-
ES0012R	naphthalene	precip+dry_dep	-	0,170	-	0,590	-	-	-	-	-	-	-	-	-	-
ES0012R	perylene	precip+dry_dep	-	-	-	-	-	0,440	-	-	-	0,425	-	-	-	-
ES0012R	phe-threne	precip+dry_dep	-	0,090	-	0,180	-	4,595	-	-	-	4,450	-	-	-	-
ES0012R	pyrene	precip+dry_dep	-	-	-	0,305	-	0,890	-	-	-	0,860	-	-	-	-
ES0014R	acenaphthene	precip+dry_dep	-	-	-	2,645	-	-	-	-	-	-	-	-	-	-
ES0014R	acenaphthylene	precip+dry_dep	-	-	-	0,125	-	0,620	-	-	-	0,600	-	-	-	-
ES0014R	anthracene	precip+dry_dep	-	-	-	0,950	-	0,370	-	-	-	0,360	-	-	-	-
ES0014R	benz_a_anthracene	precip+dry_dep	-	-	-	-	-	0,440	-	-	-	0,425	-	-	-	-
ES0014R	benzo_b_fluoranthene	precip+dry_dep	-	-	-	-	-	0,780	-	-	-	0,755	-	-	-	-

Site	Comp	Matrix	jan	feb	mar	apr	may	june	july	aug	sept	oct	nov	dec	2021	capture
ES0014R	benzo_ghi_perylene	precip+dry_dep	-	-	-	-	-	0,565	-	-	-	0,545	-	-	-	-
ES0014R	benzo_k_fluoranthene	precip+dry_dep	-	-	-	-	-	-	-	-	-	-	-	-	-	-
ES0014R	chrysene	precip+dry_dep	-	-	-	-	-	0,460	-	-	-	0,445	-	-	-	-
ES0014R	dibenzo_ah_anthracene	precip+dry_dep	-	-	-	-	-	0,450	-	-	-	0,440	-	-	-	-
ES0014R	fluoranthene	precip+dry_dep	-	-	-	0,545	-	0,830	-	-	-	0,800	-	-	-	-
ES0014R	fluorene	precip+dry_dep	-	2,365	-	0,000	-	1,870	-	-	-	1,810	-	-	-	-
ES0014R	inden_123cd_pyrene	precip+dry_dep	-	-	-	0,000	-	0,440	-	-	-	0,425	-	-	-	-
ES0014R	naphthalene	precip+dry_dep	-	0,190	-	0,450	-	-	-	-	-	-	-	-	-	-
ES0014R	perylene	precip+dry_dep	-	-	-	-	-	0,440	-	-	-	0,425	-	-	-	-
ES0014R	phe-threne	precip+dry_dep	-	-	-	0,795	-	4,595	-	-	-	4,450	-	-	-	-
ES0014R	pyrene	precip+dry_dep	-	-	-	0,425	-	0,890	-	-	-	0,860	-	-	-	-
FI0018R	acenaphthene	precip+dry_dep	7,318	1,040	1,739	0,818	1,471	0,359	0,479	0,624	0,356	0,402	0,484	1,467	1,392	100
FI0018R	acenaphthylene	precip+dry_dep	86,890	1,836	1,789	0,742	1,571	0,116	0,357	0,419	0,440	1,687	1,314	5,534	8,700	100
FI0018R	anthracene	precip+dry_dep	6,762	1,551	2,173	0,855	3,432	0,098	0,483	0,400	0,143	1,358	1,130	5,959	2,049	100
FI0018R	benz_a_anthracene	precip+dry_dep	32,529	4,977	8,668	2,796	2,634	0,595	0,898	2,162	1,617	7,133	7,129	36,878	9,100	100
FI0018R	benzo_a_pyrene	precip+dry_dep	31,981	5,400	9,283	4,508	4,378	1,264	1,804	2,913	2,277	8,795	6,639	32,527	9,408	100
FI0018R	benzo_bjk_fluoranthenes	precip+dry_dep	140,442	30,309	26,450	10,290	11,602	2,869	3,670	7,582	7,956	29,795	31,521	139,024	37,105	100
FI0018R	benzo_ghi_perylene	precip+dry_dep	50,188	7,177	7,344	5,914	4,235	1,325	1,619	2,591	3,137	10,205	9,209	38,890	11,934	100
FI0018R	chrysene_triphenylene	precip+dry_dep	90,982	23,345	22,841	8,840	8,060	2,723	3,194	5,935	5,730	19,355	19,639	88,097	25,063	100
FI0018R	dibenzo_ac_ah_anthracenes	precip+dry_dep	6,130	0,975	1,630	0,645	1,202	0,323	0,302	0,551	0,544	1,571	1,873	4,623	1,713	100
FI0018R	fluoranthene	precip+dry_dep	141,545	49,213	29,120	13,308	11,721	2,625	3,472	8,199	7,344	28,492	29,608	91,873	34,810	100
FI0018R	fluorene	precip+dry_dep	13,037	6,063	3,467	2,513	1,828	1,769	1,313	1,733	1,802	2,052	2,471	6,456	3,707	100
FI0018R	inden_123cd_pyrene	precip+dry_dep	47,724	8,371	9,253	3,242	3,284	0,750	0,916	2,992	3,738	10,757	13,861	34,642	11,722	100
FI0018R	naphthalene	precip+dry_dep	22,188	10,553	6,671	3,100	2,229	2,161	1,606	2,114	2,199	2,507	3,024	12,082	5,867	100

Site	Comp	Matrix	jan	feb	mar	apr	may	june	july	aug	sept	oct	nov	dec	2021	capture
FI0018R	phe-threne	precip+dry_dep	88,250	36,552	21,815	3,211	7,297	1,329	0,937	1,236	1,286	13,685	13,852	56,863	20,565	100
FI0018R	pyrene	precip+dry_dep	123,915	34,645	25,355	13,301	10,195	2,881	4,062	8,537	10,997	22,500	23,752	76,403	29,841	100
FI0036R	BDE_100	precip+dry_dep	0,012	0,020	0,020	0,020	0,011	0,010	0,010	0,010	0,010	0,010	0,019	0,010	0,014	100
FI0036R	BDE_47	precip+dry_dep	0,033	0,029	0,019	0,022	0,011	0,010	0,010	0,010	0,010	0,037	0,033	0,025	0,021	100
FI0036R	BDE_99	precip+dry_dep	0,021	0,020	0,020	0,020	0,011	0,010	0,010	0,010	0,010	0,026	0,020	0,017	0,016	100
FI0036R	HCB	precip+dry_dep	0,054	0,042	0,049	0,060	0,034	0,027	0,022	0,025	0,036	0,048	0,062	0,047	0,042	100
FI0036R	PCB_101	precip+dry_dep	0,032	0,040	0,040	0,040	0,031	0,030	0,030	0,030	0,030	0,030	0,039	0,030	0,034	100
FI0036R	PCB_118	precip+dry_dep	0,022	0,030	0,030	0,030	0,021	0,020	0,020	0,020	0,020	0,020	0,029	0,020	0,024	100
FI0036R	PCB_138	precip+dry_dep	0,022	0,030	0,030	0,030	0,021	0,020	0,020	0,020	0,020	0,020	0,029	0,020	0,024	100
FI0036R	PCB_153	precip+dry_dep	0,022	0,030	0,030	0,030	0,021	0,020	0,020	0,020	0,020	0,020	0,029	0,020	0,024	100
FI0036R	PCB_180	precip+dry_dep	0,022	0,030	0,030	0,030	0,021	0,020	0,020	0,020	0,020	0,020	0,029	0,020	0,024	100
FI0036R	PCB_28	precip+dry_dep	-	-	0,040	0,040	0,031	0,031	0,040	0,030	0,030	0,039	0,049	0,030	0,036	76
FI0036R	PCB_52	precip+dry_dep	-	-	0,200	0,200	0,069	0,048	0,030	0,030	0,030	0,048	0,130	0,130	0,080	76
FI0036R	alpha_HCH	precip+dry_dep	0,018	0,020	0,020	0,020	0,012	0,039	0,010	0,016	0,010	0,042	0,021	0,019	0,021	100
FI0036R	anthracene	precip+dry_dep	-	-	0,299	0,200	0,152	0,111	0,030	0,075	0,160	0,305	0,392	0,700	0,243	84
FI0036R	benz_a_anthracene	precip+dry_dep	4,432	0,770	1,146	0,730	1,162	0,632	0,200	0,399	0,900	1,017	1,903	2,790	1,348	100
FI0036R	benzo_a_pyrene	precip+dry_dep	3,521	0,300	0,921	0,280	1,630	0,393	0,150	0,271	1,190	0,648	1,349	2,040	1,067	100
FI0036R	benzo_b_fluoranthene	precip+dry_dep	8,306	1,160	2,321	0,740	2,391	0,633	0,300	0,523	1,800	1,574	3,481	5,030	2,372	100
FI0036R	benzo_ghi_perylene	precip+dry_dep	4,827	0,530	1,087	0,400	1,135	0,481	0,400	0,252	0,480	0,607	1,992	3,200	1,277	100
FI0036R	benzo_k_fluoranthene	precip+dry_dep	3,166	0,410	0,910	0,260	1,065	0,274	0,130	0,210	0,810	0,620	1,325	1,820	0,924	100
FI0036R	chrysene	precip+dry_dep	7,022	0,960	1,985	0,630	2,370	0,760	0,310	0,578	1,940	1,678	3,209	4,450	2,173	100
FI0036R	dibenzo_ah_anthracene	precip+dry_dep	0,874	0,100	0,227	0,100	0,254	0,100	0,100	0,110	0,250	0,169	0,423	0,600	0,278	100
FI0036R	fluoranthene	precip+dry_dep	17,772	3,550	5,779	2,130	4,980	1,631	0,830	1,391	4,760	4,426	6,274	11,650	5,466	100
FI0036R	gamma_HCH	precip+dry_dep	0,012	0,020	0,020	0,021	0,036	0,047	0,010	0,031	0,042	0,028	0,019	0,010	0,025	100



Site	Comp	Matrix	jan	feb	mar	apr	may	june	july	aug	sept	oct	nov	dec	2021	capture
FI0036R	inden_123cd_pyrene	precip+dry_dep	5,920	0,710	1,675	0,600	1,760	0,436	0,400	0,469	1,470	1,064	2,617	3,550	1,736	100
FI0036R	phe-threne	precip+dry_dep	21,160	12,450	8,586	6,120	5,278	2,292	1,140	2,073	4,680	7,643	9,095	11,260	7,632	100
FI0036R	pp_DDD	precip+dry_dep	0,015	0,009	0,017	0,012	0,033	0,009	0,023	0,014	0,099	0,021	0,008	0,010	0,022	100
FI0036R	pp_DDE	precip+dry_dep	0,012	0,020	0,020	0,020	0,034	0,011	0,017	0,010	0,010	0,010	0,020	0,025	0,018	100
FI0036R	pp_DDT	precip+dry_dep	0,012	0,020	0,020	0,020	0,011	0,010	0,010	0,010	0,010	0,010	0,019	0,010	0,014	100
FI0036R	pyrene	precip+dry_dep	13,928	2,400	3,590	1,260	3,490	1,153	0,550	0,940	3,660	2,974	4,251	9,450	3,999	100
FI0050R	acenaphthene	precip+dry_dep	5,696	4,525	10,474	4,832	5,509	2,446	2,995	2,966	3,708	6,370	0,919	1,273	4,322	100
FI0050R	acenaphthylene	precip+dry_dep	15,475	1,311	1,502	1,157	2,773	0,826	0,759	1,304	0,413	2,542	0,361	1,213	2,499	100
FI0050R	anthracene	precip+dry_dep	4,769	2,702	3,024	1,741	5,274	1,159	1,160	1,648	0,728	3,678	0,962	1,601	2,381	100
FI0050R	benz_a_anthracene	precip+dry_dep	15,972	3,066	2,715	2,276	2,230	1,211	0,673	1,615	1,038	8,327	2,852	5,430	3,981	100
FI0050R	benzo_a_pyrene	precip+dry_dep	14,505	3,380	2,888	5,437	5,614	1,762	1,207	1,224	0,900	13,091	4,120	8,435	5,252	100
FI0050R	benzo_bjk_fluoranthenes	precip+dry_dep	61,204	16,898	9,858	4,372	11,878	3,708	2,967	6,558	4,092	43,621	15,128	30,863	17,719	100
FI0050R	benzo_ghi_ptylene	precip+dry_dep	20,859	3,818	2,641	3,756	2,165	1,785	1,265	1,505	1,330	14,961	3,769	6,028	5,365	100
FI0050R	chrysene_triphenylene	precip+dry_dep	46,193	12,658	6,817	5,843	5,325	2,397	2,157	3,485	3,358	16,295	5,929	14,405	10,453	100
FI0050R	dibenzo_ac_ah_anthracenes	precip+dry_dep	2,995	0,877	0,883	0,429	2,485	0,445	0,276	0,696	0,405	2,274	0,911	0,740	1,126	100
FI0050R	fluoranthene	precip+dry_dep	93,279	41,657	19,824	14,048	16,996	7,457	7,308	12,040	6,736	37,691	12,389	22,563	24,345	100
FI0050R	fluorene	precip+dry_dep	22,437	15,019	9,683	5,816	18,539	8,765	6,852	6,612	2,786	11,095	4,471	5,832	9,831	100
FI0050R	inden_123cd_pyrene	precip+dry_dep	20,488	4,626	3,638	2,806	0,912	1,159	0,774	1,864	1,404	11,316	5,134	5,114	4,964	100
FI0050R	naphthalene	precip+dry_dep	39,267	23,933	16,275	4,415	5,153	3,752	4,245	4,945	4,699	5,862	4,430	4,328	10,059	100
FI0050R	phe-threne	precip+dry_dep	119,981	87,081	82,187	45,018	99,269	34,778	32,272	36,207	18,589	82,625	28,752	28,267	57,966	100
FI0050R	pyrene	precip+dry_dep	66,801	23,709	12,737	9,784	14,192	6,679	5,240	9,281	6,818	30,871	9,568	17,420	17,814	100
FR0008R	benz_a_anthracene	precip	1,128	0,871	3,643	2,201	0,907	0,360	0,272	0,453	0,812	0,740	2,888	2,258	1,174	100
FR0008R	benzo_a_pyrene	precip	1,785	1,359	5,628	4,420	1,735	0,647	0,503	1,242	1,482	1,336	4,144	3,951	2,039	100
FR0008R	benzo_b_fluoranthene	precip	6,320	4,428	9,567	6,907	2,960	1,417	0,904	1,902	2,532	3,164	10,335	9,783	4,692	100

Site	Comp	Matrix	jan	feb	mar	apr	may	june	july	aug	sept	oct	nov	dec	2021	capture
FR0008R	benzo_j_fluoranthene	precip	2,239	1,695	3,359	2,450	1,146	0,511	0,284	0,609	0,917	1,309	5,295	4,703	1,906	100
FR0008R	benzo_k_fluoranthene	precip	1,978	1,676	5,168	3,202	1,469	0,316	0,307	0,664	1,165	1,187	3,980	3,763	1,827	100
FR0008R	dibenzo_ah_anthracene	precip	0,466	0,455	1,475	1,110	0,343	0,102	0,095	0,167	0,212	0,193	0,862	0,771	0,453	100
FR0008R	inden_123cd_pyrene	precip	4,581	3,705	9,476	6,367	2,832	1,165	0,794	1,313	2,183	2,711	8,224	7,149	3,820	100
FR0009R	benz_a_anthracene	precip	2,834	1,389	6,734	6,485	3,310	0,680	0,905	2,058	0,959	1,439	3,985	2,181	2,225	100
FR0009R	benzo_a_pyrene	precip	3,408	2,187	12,601	17,198	8,101	1,366	1,673	3,925	1,791	2,320	5,029	3,286	4,196	100
FR0009R	benzo_b_fluoranthene	precip	12,237	5,846	19,636	23,796	12,256	2,300	2,378	4,959	3,386	5,345	13,861	12,247	8,301	100
FR0009R	benzo_j_fluoranthene	precip	4,251	2,026	5,978	7,411	4,044	0,891	0,914	1,937	1,201	2,424	6,288	5,974	3,111	100
FR0009R	benzo_k_fluoranthene	precip	4,068	2,075	7,271	8,504	4,639	0,832	0,929	2,388	1,503	2,012	4,893	4,481	3,042	100
FR0009R	dibenzo_ah_anthracene	precip	0,825	0,739	2,519	3,406	2,170	0,538	0,389	0,518	0,168	0,166	1,179	0,687	0,878	100
FR0009R	inden_123cd_pyrene	precip	9,459	4,426	16,485	18,114	9,464	2,288	2,359	3,815	2,635	4,957	10,796	8,663	6,583	100
FR0013R	benz_a_anthracene	precip	0,665	0,565	3,040	2,120	1,475	0,449	0,309	0,294	0,562	0,682	2,188	0,936	0,954	100
FR0013R	benzo_a_pyrene	precip	0,943	0,884	3,886	2,814	1,776	0,350	0,281	0,587	0,779	1,093	2,822	0,815	1,198	100
FR0013R	benzo_b_fluoranthene	precip	2,780	3,151	8,114	5,367	4,268	1,907	0,979	1,516	1,349	2,247	6,895	3,018	3,149	100
FR0013R	benzo_j_fluoranthene	precip	0,943	1,121	2,216	2,544	2,444	0,786	0,281	0,587	0,588	0,923	3,617	1,388	1,378	100
FR0013R	benzo_k_fluoranthene	precip	0,974	1,334	3,108	1,341	1,052	0,350	0,281	0,587	0,817	0,500	2,496	1,117	1,071	100
FR0013R	dibenzo_ah_anthracene	precip	0,170	0,205	1,028	0,739	0,510	0,350	0,281	0,587	0,243	0,351	0,278	0,151	0,318	100
FR0013R	inden_123cd_pyrene	precip	2,087	2,726	7,369	2,302	1,653	0,992	0,946	1,552	1,234	1,734	4,999	1,509	2,115	100
FR0023R	benz_a_anthracene	precip	2,441	0,992	2,850	0,929	0,392	0,904	0,677	0,581	0,485	0,863	2,230	1,556	1,195	100
FR0023R	benzo_a_pyrene	precip	2,938	1,163	3,510	1,533	0,755	1,185	1,088	1,049	0,811	0,829	1,865	0,908	1,237	100
FR0023R	benzo_b_fluoranthene	precip	6,542	2,599	6,018	2,451	1,671	1,500	1,421	1,639	1,511	1,529	4,912	3,177	2,450	100
FR0023R	benzo_j_fluoranthene	precip	2,732	1,073	1,605	0,599	0,377	0,727	0,608	0,713	0,601	1,133	2,656	1,297	0,976	100
FR0023R	benzo_k_fluoranthene	precip	2,888	1,078	2,382	1,049	0,586	0,474	0,581	0,881	0,601	0,694	2,065	1,037	0,984	100
FR0023R	dibenzo_ah_anthracene	precip	0,497	0,178	0,585	0,270	0,222	0,222	0,158	0,460	0,111	0,197	0,543	0,162	0,240	100

Site	Comp	Matrix	jan	feb	mar	apr	may	june	july	aug	sept	oct	nov	dec	2021	capture
FR0023R	inden_123cd_pyrene	precip	5,819	3,266	5,583	2,468	1,505	1,759	1,511	1,471	1,038	0,768	2,793	1,523	2,089	100
FR0025R	benz_a_anthracene	precip	4,554	2,809	3,612	2,741	1,167	0,745	0,452	0,425	0,339	0,645	2,559	0,579	1,322	100
FR0025R	benzo_a_pyrene	precip	5,387	5,524	6,779	5,423	2,564	1,214	0,956	1,368	0,556	0,742	2,216	1,049	2,044	100
FR0025R	benzo_b_fluoranthene	precip	16,699	10,860	12,237	7,861	4,486	2,304	1,559	2,594	1,128	1,879	5,828	3,472	4,518	100
FR0025R	benzo_j_fluoranthene	precip	5,730	3,089	3,118	1,537	1,243	0,746	0,563	0,668	0,401	0,758	2,441	1,592	1,492	100
FR0025R	benzo_k_fluoranthene	precip	5,093	4,119	4,392	2,501	1,524	0,631	0,609	0,781	0,470	0,734	1,959	1,013	1,485	100
FR0025R	dibenzo_ah_anthracene	precip	1,175	1,217	1,525	1,243	0,579	0,226	0,164	0,373	0,147	0,282	0,275	0,181	0,438	100
FR0025R	inden_123cd_pyrene	precip	11,165	9,268	10,485	6,368	3,187	1,834	1,251	1,566	0,688	0,790	2,454	2,134	3,071	100
FR0028R	benz_a_anthracene	precip	0,671	0,708	1,847	1,572	0,848	0,273	0,311	2,175	0,450	0,472	1,995	0,928	0,799	100
FR0028R	benzo_a_pyrene	precip	1,019	1,059	2,733	2,776	1,896	0,505	0,760	3,216	0,812	0,512	3,173	1,276	1,297	100
FR0028R	benzo_b_fluoranthene	precip	3,012	3,443	4,986	4,062	3,312	0,966	1,150	5,174	1,380	1,166	6,605	2,870	2,640	100
FR0028R	benzo_j_fluoranthene	precip	1,078	1,175	1,640	1,152	0,797	0,299	0,437	2,489	0,468	0,620	2,839	1,392	0,992	100
FR0028R	benzo_k_fluoranthene	precip	1,197	1,213	1,930	1,523	1,181	0,290	0,423	2,536	0,814	0,286	2,406	1,131	1,195	100
FR0028R	dibenzo_ah_anthracene	precip	0,348	0,382	1,033	0,306	0,254	0,173	0,165	0,446	0,140	0,172	0,391	0,145	0,270	100
FR0028R	inden_123cd_pyrene	precip	2,033	2,351	3,292	3,149	2,249	0,646	0,985	3,929	1,014	0,311	4,497	2,174	1,834	100
GB0048R	anthanthrene	wetdep	-	4,600	4,612	4,634	4,600	4,600	4,600	4,600	4,600	4,600	4,600	4,645	4,609	85
GB0048R	anthracene	wetdep	-	4,500	4,500	4,500	4,500	4,500	4,500	62,565	26,193	4,500	4,500	4,500	12,393	85
GB0048R	benz_a_anthracene	wetdep	-	4,500	4,500	4,500	4,500	4,500	4,500	30,712	14,293	4,500	4,500	4,500	8,063	85
GB0048R	benzo_a_pyrene	wetdep	-	4,500	4,500	8,822	12,540	4,500	4,500	16,113	8,839	4,500	4,500	4,500	7,299	85
GB0048R	benzo_b_fluoranthene	wetdep	-	18,455	18,916	22,678	18,307	4,617	4,613	40,712	18,103	29,679	7,110	4,622	17,007	85
GB0048R	benzo_e_pyrene	wetdep	-	4,500	4,500	10,743	16,113	4,500	13,300	79,060	30,407	28,030	6,845	4,500	19,664	85
GB0048R	benzo_ghi_perylene	wetdep	-	4,500	4,500	11,384	17,304	4,500	4,500	27,394	13,053	37,111	7,751	4,500	13,125	85
GB0048R	benzo_j_fluoranthene	wetdep	-	4,614	4,617	4,618	4,606	4,617	4,613	16,236	8,959	22,081	6,352	4,622	8,107	85
GB0048R	benzo_k_fluoranthene	wetdep	-	4,500	4,500	4,500	4,500	4,500	4,500	14,786	8,343	23,902	6,434	4,500	8,022	85

Site	Comp	Matrix	jan	feb	mar	apr	may	june	july	aug	sept	oct	nov	dec	2021	capture
GB0048R	chrysene	wetdep	-	4,500	8,258	21,281	16,113	4,500	4,500	101,717	40,820	4,500	4,500	4,500	20,871	85
GB0048R	coronene	wetdep	-	4,500	4,500	9,463	13,731	4,500	4,500	17,440	9,334	58,577	9,890	4,500	13,580	85
GB0048R	cyclopenta_cd_pyrene	wetdep	-	4,500	4,500	4,500	4,500	4,500	4,500	4,500	4,500	4,500	4,500	4,500	4,500	85
GB0048R	dibenzo_ac_anthracene	wetdep	-	4,614	4,617	4,618	4,606	4,617	4,613	4,609	4,615	22,081	6,352	4,622	6,526	85
GB0048R	dibenzo_ae_pyrene	wetdep	-	4,600	4,612	4,634	4,600	4,600	4,600	4,600	4,600	20,534	6,188	4,645	6,353	85
GB0048R	dibenzo_ah_anthracene	wetdep	-	4,614	4,617	4,618	4,606	4,617	4,613	13,788	8,044	28,160	6,958	4,622	8,439	85
GB0048R	dibenzo_ah_pyrene	wetdep	-	4,600	4,612	4,634	4,600	4,600	4,600	4,600	4,600	4,600	4,600	4,645	4,609	85
GB0048R	dibenzo_ai_pyrene	wetdep	-	4,600	4,612	4,634	4,600	4,600	4,600	4,600	4,600	4,600	4,600	4,645	4,609	85
GB0048R	fluoranthene	wetdep	-	44,000	41,818	38,522	50,449	41,000	25,136	98,996	50,263	26,954	6,434	22,063	40,298	85
GB0048R	inden_123cd_pyrene	wetdep	-	4,500	4,500	10,743	16,113	4,500	4,500	17,440	9,334	35,460	7,586	4,500	11,411	85
GB0048R	perylene	wetdep	-	4,500	4,500	4,500	4,500	4,500	4,500	32,039	14,789	4,500	4,500	4,500	8,244	85
GB0048R	phe-threne	wetdep	-	240,000	215,995	127,553	208,204	226,943	94,736	2973,751	1159,702	135,839	88,267	84,923	529,046	85
GB0048R	pyrene	wetdep	-	37,000	36,030	33,000	36,236	30,818	20,000	141,438	53,712	17,297	5,776	17,559	39,263	85
GB0048R	retene	wetdep	-	20,000	16,242	4,500	4,500	4,500	4,500	122,952	48,753	4,500	4,500	4,500	21,999	85
GB1055R	anthanthrene	wetdep	-	-	-	4,600	4,600	4,624	4,622	4,600	4,600	4,600	4,646	4,605	4,611	70
GB1055R	anthracene	wetdep	-	-	-	4,500	4,500	4,500	4,500	4,500	4,500	4,500	4,500	4,500	4,500	70
GB1055R	benz_a_anthracene	wetdep	-	-	-	4,500	4,500	4,500	4,500	4,500	4,500	4,500	4,500	4,500	4,500	70
GB1055R	benzo_a_pyrene	wetdep	-	-	-	30,000	29,594	25,624	20,866	27,278	11,070	4,500	4,500	4,500	16,545	70
GB1055R	benzo_b_fluoranthene	wetdep	-	-	-	29,543	29,477	28,608	25,596	31,331	12,178	4,592	4,628	4,590	18,102	70
GB1055R	benzo_e_pyrene	wetdep	-	-	-	22,000	23,625	26,964	26,866	34,601	13,053	4,500	4,500	4,500	17,531	70
GB1055R	benzo_ghi_perylene	wetdep	-	-	-	28,000	27,187	25,036	21,733	29,924	12,062	4,500	4,500	4,500	16,652	70
GB1055R	benzo_j_fluoranthene	wetdep	-	-	-	4,616	4,606	4,609	4,614	4,614	4,618	4,592	4,628	4,590	4,609	70
GB1055R	benzo_k_fluoranthene	wetdep	-	-	-	4,500	4,500	11,974	11,214	13,432	7,847	4,500	4,500	4,500	7,680	70
GB1055R	chrysene	wetdep	-	-	-	26,000	26,000	25,036	12,946	16,079	8,839	4,500	4,500	4,500	13,296	70

Site	Comp	Matrix	jan	feb	mar	apr	may	june	july	aug	sept	oct	nov	dec	2021	capture
GB1055R	coronene	wetdep	-	-	-	4,500	4,500	4,500	4,500	22,033	11,070	4,500	4,500	4,500	7,409	70
GB1055R	cyclopenta_cd_pyrene	wetdep	-	-	-	4,500	4,500	4,500	4,500	4,500	4,500	4,500	4,500	4,500	4,500	70
GB1055R	dibenzo_ac_anthracene	wetdep	-	-	-	4,616	4,606	4,609	4,614	4,614	4,618	4,592	4,628	4,590	4,609	70
GB1055R	dibenzo_ae_pyrene	wetdep	-	-	-	4,600	4,600	4,624	4,622	4,600	4,600	4,600	4,646	4,605	4,611	70
GB1055R	dibenzo_ah_anthracene	wetdep	-	-	-	4,616	4,606	4,609	4,614	4,614	4,618	4,592	4,628	4,590	4,609	70
GB1055R	dibenzo_ah_pyrene	wetdep	-	-	-	4,600	4,600	4,624	4,622	4,600	4,600	4,600	4,646	4,605	4,611	70
GB1055R	dibenzo_ai_pyrene	wetdep	-	-	-	4,600	4,600	4,624	4,622	4,600	4,600	4,600	4,646	4,605	4,611	70
GB1055R	fluoranthene	wetdep	-	-	-	79,000	79,813	71,356	56,465	51,015	35,710	29,349	24,427	28,156	48,276	70
GB1055R	inden_123cd_pyrene	wetdep	-	-	-	28,000	25,562	22,000	20,866	28,601	11,566	4,500	4,500	4,500	15,771	70
GB1055R	perylene	wetdep	-	-	-	4,500	4,500	4,500	4,500	4,500	4,500	4,500	4,500	4,500	4,500	70
GB1055R	phe-threne	wetdep	-	-	-	142,000	211,082	259,920	265,789	240,221	121,023	87,396	71,367	97,967	168,536	70
GB1055R	pyrene	wetdep	-	-	-	55,000	56,625	51,767	41,733	39,338	27,719	22,349	20,171	20,619	35,812	70
GB1055R	retene	wetdep	-	-	-	4,500	4,500	4,500	4,500	4,500	4,500	4,500	4,500	4,500	4,500	70
IS0091R	BDE_100	precip	0,006	0,008	0,005	0,005	0,004	0,006	0,008	0,007	0,002	0,003	0,003	0,005	0,005	100
IS0091R	BDE_47	precip	0,006	0,008	0,005	0,005	0,004	0,006	0,007	0,004	0,002	0,005	0,007	0,008	0,005	100
IS0091R	BDE_99	precip	0,005	0,005	0,005	0,005	0,004	0,004	0,007	0,004	0,002	0,005	0,006	0,006	0,005	100
IS0091R	HCB	precip	0,019	0,018	0,011	0,022	0,037	0,019	0,020	0,004	0,005	0,007	0,005	0,006	0,013	100
IS0091R	PCB_101	precip	0,013	0,017	0,012	0,018	0,017	0,010	0,027	0,016	0,006	0,008	0,008	0,007	0,011	100
IS0091R	PCB_105	precip	0,005	0,005	0,005	0,005	0,004	0,004	0,007	0,004	0,002	0,003	0,003	0,003	0,004	100
IS0091R	PCB_118	precip	0,005	0,005	0,005	0,005	0,004	0,004	0,014	0,008	0,002	0,003	0,003	0,003	0,004	100
IS0091R	PCB_138	precip	0,005	0,005	0,005	0,005	0,004	0,004	0,011	0,004	0,002	0,003	0,003	0,006	0,004	100
IS0091R	PCB_153	precip	0,005	0,005	0,005	0,005	0,004	0,004	0,013	0,007	0,002	0,003	0,003	0,006	0,005	100
IS0091R	PCB_156	precip	0,005	0,005	0,005	0,005	0,004	0,004	0,007	0,004	0,002	0,003	0,003	0,003	0,004	100
IS0091R	PCB_180	precip	0,005	0,005	0,005	0,005	0,004	0,004	0,007	0,009	0,002	0,003	0,003	0,003	0,004	100

Site	Comp	Matrix	jan	feb	mar	apr	may	june	july	aug	sept	oct	nov	dec	2021	capture
IS0091R	PCB_28	precip	0,020	0,012	0,012	0,021	0,030	0,010	0,029	0,010	0,006	0,008	0,008	0,007	0,012	100
IS0091R	PCB_31	precip	0,019	0,012	0,012	0,018	0,026	0,010	0,028	0,010	0,006	0,008	0,008	0,007	0,012	100
IS0091R	PCB_52	precip	0,008	0,008	0,005	0,010	0,012	0,005	0,019	0,004	0,002	0,003	0,003	0,003	0,006	100
IS0091R	alpha_HCH	precip	0,034	0,042	0,019	0,041	0,048	0,045	0,049	0,023	0,026	0,020	0,023	0,017	0,030	100
IS0091R	beta_HCH	precip	0,005	0,005	0,005	0,005	0,004	0,004	0,007	0,004	0,002	0,003	0,003	0,003	0,004	100
IS0091R	cis_CD	precip	0,005	0,005	0,005	0,005	0,004	0,004	0,007	0,004	0,002	0,003	0,003	0,003	0,004	100
IS0091R	dieldrin	precip	0,006	0,015	0,007	0,016	0,008	0,006	0,015	0,014	0,015	0,011	0,016	0,017	0,013	100
IS0091R	gamma_HCH	precip	0,011	0,016	0,008	0,057	0,015	0,013	0,019	0,011	0,008	0,006	0,013	0,011	0,014	100
IS0091R	op_DDT	precip	0,005	0,005	0,005	0,005	0,004	0,004	0,007	0,004	0,002	0,003	0,003	0,003	0,004	100
IS0091R	pp_DDD	precip	0,005	0,005	0,005	0,005	0,004	0,004	0,007	0,004	0,002	0,003	0,003	0,003	0,004	100
IS0091R	pp_DDE	precip	0,005	0,005	0,005	0,005	0,004	0,004	0,007	0,004	0,002	0,003	0,003	0,003	0,004	100
IS0091R	pp_DDT	precip	0,009	0,010	0,009	0,012	0,021	0,007	0,015	0,008	0,002	0,003	0,003	0,003	0,007	100
IS0091R	trans_CD	precip	0,005	0,005	0,005	0,005	0,004	0,004	0,007	0,004	0,002	0,003	0,003	0,003	0,004	100
IS0091R	trans_NO	precip	0,005	0,005	0,005	0,005	0,004	0,004	0,007	0,004	0,002	0,003	0,003	0,003	0,004	100
LV0010R	benz_a_anthracene	precip	-	-	0,004	0,001	0,001	0,001	0,001	0,001	0,001	0,001	0,004	0,036	0,005	85
LV0010R	benzo_a_pyrene	precip	-	-	0,008	0,001	0,001	0,001	0,001	0,001	0,001	0,002	0,003	0,027	0,005	85
LV0010R	benzo_b_fluoranthene	precip	-	-	0,019	0,003	0,002	0,001	0,001	0,001	0,001	0,002	0,005	0,040	0,007	85
LV0010R	benzo_k_fluoranthene	precip	-	-	0,008	0,001	0,001	0,001	0,001	0,001	0,001	0,001	0,002	0,021	0,004	85
LV0010R	dibenzo_ah_anthracene	precip	-	-	0,003	0,001	0,001	0,001	0,001	0,001	0,001	0,001	0,001	0,004	0,002	85
LV0010R	inden_123cd_pyrene	precip	-	-	0,015	0,002	0,002	0,002	0,002	0,002	0,002	0,002	0,005	0,036	0,007	85
NL0091R	gamma_HCH	precip	0,214	0,456	0,344	0,521	0,572	0,628	0,519	0,411	0,428	0,136	0,136	0,110	0,327	100
NL0091R	acenaphthene	precip	0,991	1,574	1,783	1,753	1,331	1,230	1,255	2,765	5,207	0,954	1,301	1,140	1,374	100
NL0091R	acenaphthylene	precip	1,021	1,028	0,784	1,196	0,729	0,407	0,434	0,830	0,937	0,619	1,572	1,200	0,872	100
NL0091R	anthracene	precip	0,721	1,052	1,079	1,421	1,101	0,725	0,606	0,799	1,435	0,509	0,878	0,640	0,809	100

Site	Comp	Matrix	jan	feb	mar	apr	may	june	july	aug	sept	oct	nov	dec	2021	capture
NL0091R	benz_a_anthracene	precip	1,528	1,755	2,079	3,613	2,313	1,077	1,126	1,197	2,324	0,786	1,611	1,540	1,558	100
NL0091R	benzo_a_pyrene	precip	1,700	1,932	2,600	5,356	3,335	1,908	2,126	2,091	3,796	1,094	2,217	2,050	2,186	100
NL0091R	benzo_bjk_fluoranthenes	precip	8,642	8,974	8,050	15,590	9,503	5,025	5,469	5,176	10,323	3,130	7,329	7,400	7,179	100
NL0091R	benzo_ghi_perylene	precip	4,728	4,774	4,376	7,401	4,692	2,620	2,880	2,956	5,664	1,794	4,210	4,480	3,871	100
NL0091R	chrysene	precip	8,382	9,548	8,347	12,908	8,598	4,087	4,312	4,508	10,275	3,023	6,780	7,390	6,689	100
NL0091R	dibenzo_ah_anthracene	precip	0,963	1,445	0,899	1,234	0,760	0,668	0,844	1,174	2,207	0,490	0,873	0,860	0,885	100
NL0091R	fluoranthene	precip	12,132	14,969	10,826	19,454	12,555	6,703	6,901	6,909	13,049	4,598	9,861	10,490	9,894	100
NL0091R	fluorene	precip	2,266	3,865	2,576	2,324	2,131	1,932	1,806	1,812	3,827	1,380	2,387	2,560	2,210	100
NL0091R	inden_123cd_pyrene	precip	2,504	1,541	2,938	5,382	3,200	2,068	2,354	2,360	3,595	1,468	3,917	4,630	2,800	100
NL0091R	naphthalene	precip	4,843	8,479	4,302	4,898	4,124	3,873	5,283	6,641	15,908	3,201	6,426	6,490	5,234	100
NL0091R	phe-threne	precip	8,619	15,453	9,623	14,602	10,194	6,494	6,546	7,333	13,108	4,948	9,730	10,430	8,927	100
NL0091R	pyrene	precip	7,508	9,388	7,512	12,832	8,127	4,439	4,603	4,633	8,945	3,102	6,844	7,210	6,513	100
NO0001R	HCB	precip	0,014	0,019	0,043	0,102	0,055	0,050	0,048	0,043	0,048	0,144	0,148	0,035	0,070	98
NO0001R	PCB_101	precip	0,002	0,006	0,006	0,015	0,005	0,008	0,008	0,007	0,003	0,003	0,006	0,004	0,005	98
NO0001R	PCB_118	precip	0,001	0,003	0,003	0,008	0,002	0,003	0,004	0,003	0,002	0,002	0,003	0,003	0,003	98
NO0001R	PCB_138	precip	0,002	0,005	0,005	0,010	0,003	0,006	0,005	0,004	0,003	0,003	0,005	0,005	0,004	98
NO0001R	PCB_153	precip	0,002	0,008	0,006	0,014	0,004	0,007	0,007	0,006	0,004	0,004	0,006	0,005	0,005	98
NO0001R	PCB_180	precip	0,001	0,003	0,003	0,005	0,002	0,004	0,092	0,016	0,002	0,002	0,002	0,003	0,008	88
NO0001R	PCB_28	precip	0,005	0,007	0,015	0,037	0,010	0,018	0,018	0,017	0,009	0,015	0,025	0,009	0,014	98
NO0001R	PCB_52	precip	0,007	0,008	0,007	0,016	0,004	0,008	0,008	0,007	0,004	0,005	0,010	0,005	0,006	98
NO0001R	PCB_99	precip	0,000	0,001	0,002	0,003	0,001	0,002	0,002	0,001	0,001	0,001	0,002	0,001	0,001	98
NO0001R	alpha_HCH	precip	0,026	0,038	0,072	0,175	0,074	0,089	0,110	0,087	0,095	0,088	0,082	0,061	0,077	98
NO0001R	gamma_HCH	precip	0,016	0,127	0,137	0,109	0,181	0,210	0,215	0,131	0,209	0,181	0,165	0,075	0,153	98
PL0005R	benz_a_anthracene	precip	43,300	34,500	38,751	16,800	9,872	3,753	3,200	4,490	3,300	22,379	16,042	18,600	12,581	100

Site	Comp	Matrix	jan	feb	mar	apr	may	june	july	aug	sept	oct	nov	dec	2021	capture
PL0005R	benzo_a_pyrene	precip	42,800	16,500	49,249	23,300	16,447	8,455	5,900	8,073	5,200	33,575	13,952	16,700	16,179	100
PL0005R	benzo_b_fluoranthene	precip	65,100	48,200	66,696	28,100	18,161	8,467	7,500	8,376	6,300	38,414	26,746	34,800	21,808	100
PL0005R	benzo_k_fluoranthene	precip	24,100	19,300	26,628	11,800	7,857	3,622	3,200	3,629	2,600	15,895	9,778	13,000	8,699	100
PL0005R	dibenzo_ah_anthracene	precip	7,500	3,700	6,788	1,700	1,594	0,707	0,500	0,871	0,600	4,916	2,642	3,400	2,094	100
PL0005R	inden_123cd_pyrene	precip	65,300	33,400	64,096	25,500	18,304	6,053	2,600	10,470	4,200	32,084	28,294	35,400	20,103	100
SE0014R	BDE_100	precip+dry_dep	0,060	0,072	0,280	0,026	0,043	0,038	0,026	0,033	0,079	0,044	0,032	0,202	0,078	100
SE0014R	BDE_209	precip+dry_dep	0,430	-	0,874	0,067	0,199	0,174	0,233	0,333	0,198	0,071	0,078	0,055	0,244	90
SE0014R	BDE_47	precip+dry_dep	0,039	0,033	0,032	0,029	0,026	0,029	0,024	0,031	0,024	0,019	0,033	0,020	0,028	100
SE0014R	BDE_99	precip+dry_dep	0,040	0,018	0,047	0,020	0,020	0,020	0,020	0,020	0,019	0,020	0,021	0,039	0,026	100
SE0014R	HCB	precip+dry_dep	0,055	0,045	0,051	0,040	0,067	0,037	0,036	0,052	0,048	0,039	0,045	0,041	0,046	100
SE0014R	PCB_101	precip+dry_dep	0,050	0,050	0,096	0,060	0,060	0,052	0,070	0,071	0,090	0,063	0,050	0,050	0,064	100
SE0014R	PCB_118	precip+dry_dep	0,033	0,030	0,083	0,020	0,038	0,030	0,030	0,040	0,050	0,023	0,021	0,030	0,036	100
SE0014R	PCB_138	precip+dry_dep	0,089	0,100	0,367	0,060	0,116	0,102	0,120	0,104	0,150	0,078	0,054	0,110	0,121	100
SE0014R	PCB_153	precip+dry_dep	0,063	0,070	0,249	0,050	0,106	0,100	0,100	0,092	0,120	0,066	0,043	0,080	0,095	100
SE0014R	PCB_180	precip+dry_dep	0,057	0,070	0,319	0,030	0,077	0,081	0,090	0,073	0,110	0,056	0,043	0,080	0,091	100
SE0014R	PCB_28	precip+dry_dep	0,030	0,030	0,030	0,030	0,040	0,062	0,080	0,059	0,040	0,049	0,039	0,030	0,043	100
SE0014R	PCB_52	precip+dry_dep	0,030	0,030	0,031	0,040	0,059	0,081	0,090	0,090	0,090	0,072	0,049	0,030	0,058	100
SE0014R	alpha_HCH	precip+dry_dep	0,042	0,020	0,020	0,020	0,077	0,023	0,054	0,068	0,020	0,040	0,019	0,017	0,035	100
SE0014R	anthracene	precip+dry_dep	1,239	1,100	0,518	0,500	0,843	0,216	0,180	0,199	0,330	0,240	0,371	1,780	0,625	100
SE0014R	benz_a_anthracene	precip+dry_dep	6,784	5,890	4,382	3,560	5,918	1,585	1,180	1,216	1,730	1,531	2,311	11,430	3,962	100
SE0014R	benzo_a_pyrene	precip+dry_dep	7,611	4,530	2,924	3,990	6,512	1,750	1,210	1,121	1,790	1,393	1,791	8,800	3,625	100
SE0014R	benzo_b_fluoranthene	precip+dry_dep	12,841	6,540	3,011	3,670	4,627	1,118	0,830	0,918	1,630	1,449	2,227	13,390	4,360	100
SE0014R	benzo_ghi_perylene	precip+dry_dep	9,713	5,570	2,642	3,310	4,335	1,682	0,980	0,754	1,540	1,242	2,205	11,940	3,830	100
SE0014R	benzo_k_fluoranthene	precip+dry_dep	6,879	4,880	2,381	3,040	4,709	1,257	0,870	0,838	1,350	1,160	1,661	9,380	3,202	100



Site	Comp	Matrix	jan	feb	mar	apr	may	june	july	aug	sept	oct	nov	dec	2021	capture
SE0014R	chrysene	precip+dry_dep	17,891	13,260	7,325	6,160	9,465	2,700	1,980	2,170	3,660	3,227	5,051	29,700	8,556	100
SE0014R	dibenzo_ah_anthracene	precip+dry_dep	2,407	1,580	0,755	0,990	1,149	0,319	0,220	0,230	0,380	0,317	0,526	2,990	0,989	100
SE0014R	fluoranthene	precip+dry_dep	37,752	39,640	17,058	12,370	21,413	5,872	4,900	4,940	8,740	7,539	9,762	51,650	18,397	100
SE0014R	gamma_HCH	precip+dry_dep	0,177	0,072	0,048	0,020	0,204	0,094	0,162	0,165	0,037	0,105	0,075	0,098	0,105	100
SE0014R	inden_123cd_pyrene	precip+dry_dep	13,409	9,020	3,663	5,370	6,747	1,810	1,270	1,240	2,200	1,983	3,101	17,120	5,576	100
SE0014R	phe-threne	precip+dry_dep	31,083	36,190	12,190	8,740	16,072	6,131	5,960	7,096	8,870	6,955	8,776	6,200	12,715	100
SE0014R	pp_DDD	precip+dry_dep	0,020	0,021	0,020	0,020	0,020	0,020	0,020	0,020	0,020	0,020	0,020	0,020	0,020	100
SE0014R	pp_DDE	precip+dry_dep	0,058	0,080	0,060	0,034	0,088	0,020	0,020	0,026	0,056	0,042	0,020	0,025	0,044	100
SE0014R	pp_DDT	precip+dry_dep	0,044	0,020	0,060	0,027	0,191	0,049	0,020	0,029	0,040	0,035	0,020	0,020	0,047	100
SE0014R	pyrene	precip+dry_dep	24,460	20,000	10,840	10,090	16,101	4,506	3,480	3,528	6,050	5,129	6,755	34,550	12,117	100
SE0020R	anthracene	precip+dry_dep	0,600	0,600	1,415	1,550	0,928	0,220	0,400	0,364	0,540	0,432	2,163	2,200	0,952	100
SE0020R	benz_a_anthracene	precip+dry_dep	2,380	2,380	5,716	3,810	3,567	2,473	2,860	2,914	3,270	2,538	17,866	9,690	4,956	100
SE0020R	benzo_a_pyrene	precip+dry_dep	3,250	3,250	6,451	6,460	4,742	1,812	3,270	2,980	3,250	2,726	20,739	9,950	5,735	100
SE0020R	benzo_b_fluoranthene	precip+dry_dep	3,500	3,500	6,506	4,040	3,530	1,202	2,030	1,846	2,540	2,305	20,902	10,850	5,222	100
SE0020R	benzo_ghi_perylene	precip+dry_dep	4,830	4,830	5,716	5,120	4,581	1,656	2,520	2,892	1,980	1,637	22,671	12,880	5,931	100
SE0020R	benzo_k_fluoranthene	precip+dry_dep	2,880	2,880	4,885	3,620	3,096	1,193	2,120	1,814	2,280	1,973	16,297	9,110	4,341	100
SE0020R	chrysene	precip+dry_dep	8,070	8,070	15,458	9,280	9,081	3,732	4,200	4,514	7,240	6,581	37,172	30,900	12,032	100
SE0020R	fluoranthene	precip+dry_dep	16,580	16,580	38,211	25,060	20,057	5,428	10,090	7,776	12,860	13,203	48,164	48,080	21,873	100
SE0020R	inden_123cd_pyrene	precip+dry_dep	5,360	5,360	7,976	6,260	4,828	2,025	3,150	2,913	3,670	3,227	30,773	15,560	7,576	100
SE0020R	phe-threne	precip+dry_dep	14,410	14,410	28,051	22,370	18,779	4,823	7,100	5,474	9,330	9,854	27,281	62,720	18,783	100
SE0020R	pyrene	precip+dry_dep	9,620	9,620	22,878	21,090	13,872	4,286	7,220	6,233	8,580	8,481	41,408	47,960	16,807	100
SE0022R	BDE_100	precip+dry_dep	0,010	0,010	0,010	0,010	0,010	0,010	0,010	0,010	0,010	0,010	0,019	0,010	0,011	100
SE0022R	BDE_47	precip+dry_dep	0,010	0,010	0,010	0,010	0,010	0,010	0,010	0,010	0,010	0,010	0,019	0,010	0,011	100
SE0022R	BDE_99	precip+dry_dep	0,010	0,010	0,010	0,010	0,010	0,010	0,010	0,010	0,010	0,010	0,019	0,010	0,011	100

Site	Comp	Matrix	jan	feb	mar	apr	may	june	july	aug	sept	oct	nov	dec	2021	capture
SE0022R	HCB	precip+dry_dep	0,024	0,024	0,040	0,072	0,078	0,036	0,053	0,049	0,076	0,125	0,039	0,028	0,054	100
SE0022R	PCB_101	precip+dry_dep	0,030	0,030	0,030	0,030	0,030	0,030	0,030	0,030	0,030	0,030	0,039	0,030	0,031	100
SE0022R	PCB_118	precip+dry_dep	0,020	0,020	0,020	0,020	0,020	0,020	0,020	0,020	0,020	0,020	0,029	0,020	0,021	100
SE0022R	PCB_138	precip+dry_dep	0,020	0,020	0,020	0,020	0,020	0,020	0,020	0,020	0,020	0,020	0,029	0,020	0,021	100
SE0022R	PCB_153	precip+dry_dep	0,020	0,020	0,020	0,020	0,020	0,020	0,020	0,020	0,020	0,020	0,029	0,020	0,021	100
SE0022R	PCB_180	precip+dry_dep	0,020	0,020	0,020	0,020	0,020	0,020	0,020	0,020	0,020	0,020	0,029	0,020	0,021	100
SE0022R	PCB_28	precip+dry_dep	0,030	0,030	0,030	0,030	0,030	0,030	0,030	0,030	0,030	0,030	0,039	0,030	0,031	100
SE0022R	PCB_52	precip+dry_dep	0,030	0,030	0,030	0,030	0,030	0,030	0,030	0,030	0,030	0,030	0,039	0,030	0,031	100
SE0022R	alpha_HCH	precip+dry_dep	0,010	0,010	0,010	0,010	0,057	0,033	0,045	0,012	0,010	0,010	0,019	0,010	0,020	100
SE0022R	anthracene	precip+dry_dep	0,550	0,550	0,618	-	-	0,169	0,160	0,197	0,302	0,590	0,335	0,510	0,417	75
SE0022R	benz_a_anthracene	precip+dry_dep	3,930	3,930	3,527	1,610	1,691	0,897	1,140	0,919	1,870	4,480	2,799	2,200	2,411	100
SE0022R	benzo_a_pyrene	precip+dry_dep	3,230	3,230	3,731	1,750	1,931	1,017	0,970	0,941	2,308	4,810	2,021	2,070	2,333	100
SE0022R	benzo_b_fluoranthene	precip+dry_dep	9,370	9,370	10,553	3,340	2,789	1,601	2,180	1,744	4,158	10,080	9,522	7,330	5,990	100
SE0022R	benzo_ghi_perylene	precip+dry_dep	5,190	5,190	4,787	1,750	1,732	1,077	1,320	1,162	1,770	4,470	4,279	4,350	3,082	100
SE0022R	benzo_k_fluoranthene	precip+dry_dep	3,270	3,270	3,615	1,340	1,187	0,695	0,770	0,738	1,701	3,780	2,846	2,350	2,126	100
SE0022R	chrysene	precip+dry_dep	9,340	9,340	9,537	3,160	2,853	1,467	1,420	2,147	3,844	6,940	8,256	7,220	5,442	100
SE0022R	dibenzo_ah_anthracene	precip+dry_dep	1,010	1,010	1,097	0,400	0,337	0,183	0,220	0,181	0,464	1,040	0,751	0,780	0,621	100
SE0022R	fluoranthene	precip+dry_dep	28,210	28,210	31,515	9,850	7,077	3,632	3,240	4,081	6,751	12,880	17,397	14,830	13,906	100
SE0022R	gamma_HCH	precip+dry_dep	0,010	0,010	0,010	0,010	0,100	0,052	0,085	0,015	0,024	0,010	0,019	0,010	0,030	100
SE0022R	inden_123cd_pyrene	precip+dry_dep	5,870	5,870	6,425	2,290	2,028	1,035	1,250	1,308	2,813	5,630	4,849	5,150	3,703	100
SE0022R	phe-threne	precip+dry_dep	20,900	20,900	29,994	8,420	7,399	3,467	3,150	4,792	5,222	6,680	12,268	13,880	11,390	100
SE0022R	pp_DDD	precip+dry_dep	0,006	0,006	0,009	0,003	0,005	0,002	0,002	0,002	0,003	0,015	0,007	0,004	0,005	100
SE0022R	pp_DDE	precip+dry_dep	0,010	0,010	0,024	0,031	0,041	0,010	0,010	0,033	0,039	0,133	0,025	0,018	0,032	100
SE0022R	pp_DDT	precip+dry_dep	0,010	0,010	0,010	0,010	0,027	0,017	0,010	0,010	0,019	0,057	0,021	0,010	0,018	100

Site	Comp	Matrix	jan	feb	mar	apr	may	june	july	aug	sept	oct	nov	dec	2021	capture
SE0022R	pyrene	precip+dry_dep	13,980	13,980	13,091	5,660	4,784	2,589	2,430	2,774	4,918	9,580	10,980	9,300	7,808	100
SI0008R	benz_a_anthracene	precip+dry_dep	33,687	25,155	9,377	7,067	4,462	4,267	4,342	0,899	1,283	15,254	22,851	16,806	12,049	100
SI0008R	benzo_a_pyrene	precip+dry_dep	36,833	23,080	13,578	8,263	3,295	3,521	6,147	1,705	1,259	20,665	31,691	22,225	14,318	100
SI0008R	benzo_bjk_fluoranthenes	precip+dry_dep	177,683	111,123	62,934	43,366	21,329	21,018	26,513	22,559	17,417	73,093	147,077	101,103	68,546	100
SI0008R	dibenzo_ah_anthracene	precip+dry_dep	14,788	10,487	8,056	6,893	4,554	5,327	2,209	3,689	2,856	9,078	12,375	6,755	7,233	100
SI0008R	inden_123cd_pyrene	precip+dry_dep	61,886	35,929	15,600	13,481	7,265	4,849	7,044	3,373	2,458	27,809	58,201	32,209	22,429	100
<b>CZ0003R</b>	precipitation_amount	precip	53	37	23	27	99	82	87	71	23	16	39	44	600	100
DE0001R	precipitation_amount	precip_tot	60	20	43	16	117	66	18	47	62	140	54	52	694	100
DE0002R	precipitation_amount	precip_tot	60	54	31	54	77	41	61	66	29	32	40	32	578	100
DE0003R	precipitation_amount	precip_tot	285	85	125	67	269	179	221	119	86	101	84	200	1820	100
DE0008R	precipitation_amount	precip_tot	150	67	57	48	123	143	169	176	30	59	89	66	1176	100
DE0009R	precipitation_amount	precip_tot	56	21	35	27	68	19	87	79	47	83	45	37	604	100
FR0008R	precipitation_amount	precip	207	195	63	94	149	168	186	106	80	91	85	166	1590	99
FR0009R	precipitation_amount	precip	137	143	55	49	75	125	145	61	102	107	61	104	1164	99
FR0013R	precipitation_amount	precip	104	78	17	36	66	49	63	30	70	50	61	103	726	99
FR0023R	precipitation_amount	precip	70	89	30	94	142	77	112	38	153	89	31	96	1023	99
FR0025R	precipitation_amount	precip	59	7	32	41	58	75	108	47	116	62	62	86	754	91
FR0028R	precipitation_amount	precip	113	100	34	56	70	98	106	40	122	102	44	108	992	99
IS0091R	precipitation_amount	precip	47	35	47	43	41	57	29	47	100	59	65	67	636	100
LV0010R	precipitation_amount_off	precip	66	8	65	54	67	34	116	206	60	104	180	119	1079	92
NL0091R	precipitation_amount	precip	99	51	30	41	61	67	54	31	14	128	66	72	712	97
NO0001R	precipitation_amount	precip	86	73	105	16	213	61	63	94	162	197	185	147	1401	73
PL0005R	precipitation_amount	precip	37	3	24	67	58	39	124	89	48	35	41	33	598	99



## **Appendix H**

### **Monthly and annual mean values for POPs in air**

Site	Comp	Matrix	jan	feb	mar	apr	may	june	july	aug	sept	oct	nov	dec	2021	capture
BE0013R	benz_a_anthracene	pm10	0,114	0,123	0,025	0,022	0,006	0,005	0,003	0,008	0,008	0,011	0,094	0,039	0,038	32
BE0013R	benzo_a_pyrene	pm10	0,156	0,155	0,045	0,035	0,011	0,006	0,007	0,010	0,015	0,032	0,171	0,081	0,061	32
BE0013R	benzo_ghi_perylene	pm10	0,272	0,219	0,082	0,057	0,027	0,011	0,017	0,020	0,032	0,067	0,236	0,169	0,102	32
BE0013R	chrysene	pm10	0,285	0,263	0,076	0,048	0,019	0,016	0,015	0,023	0,029	0,040	0,202	0,106	0,094	32
BE0013R	fluoranthene	pm10	0,158	0,301	0,060	0,040	0,014	0,013	0,012	0,017	0,024	0,021	0,104	0,045	0,067	32
BE0013R	inden_123cd_pyrene	pm10	0,219	0,177	0,072	0,054	0,020	0,007	0,018	0,019	0,032	0,053	0,192	0,129	0,084	32
BE0013R	pyrene	pm10	0,144	0,270	0,047	0,032	0,012	0,010	0,010	0,016	0,024	0,023	0,103	0,051	0,061	32
CZ0003R	HCB	air+pm10	52,950	72,800	88,140	67,025	30,675	30,660	32,675	50,950	75,680	82,425	66,475	62,680	59,547	14
CZ0003R	PCB_101	air+pm10	0,465	0,645	0,731	0,583	0,682	3,694	7,998	21,933	669,554	145,000	8,468	3,758	81,003	14
CZ0003R	PCB_118	air+pm10	0,110	0,172	0,185	0,149	0,116	3,300	8,035	20,500	626,950	137,425	16,075	6,056	76,718	14
CZ0003R	PCB_138	air+pm10	0,411	0,693	0,792	0,567	0,479	0,949	1,362	3,845	155,106	32,175	4,915	2,072	19,053	14
CZ0003R	PCB_153	air+pm10	0,210	0,338	0,386	0,298	0,301	0,695	1,065	2,881	104,986	28,150	5,055	2,122	13,604	14
CZ0003R	PCB_180	air+pm10	0,116	0,175	0,258	0,165	0,156	0,286	0,314	0,786	35,756	15,233	3,973	1,839	5,376	14
CZ0003R	PCB_28	air+pm10	1,013	1,168	1,548	1,285	1,405	6,345	114,850	309,025	7020,300	2674,000	52,450	20,240	938,466	14
CZ0003R	PCB_52	air+pm10	0,698	0,778	1,195	0,745	0,764	4,888	31,874	112,828	3042,374	798,875	19,575	9,098	375,502	14
CZ0003R	acenaphthene	air+pm10	0,489	0,383	0,343	0,172	0,124	0,072	0,055	0,053	0,048	0,105	0,133	0,237	0,180	14
CZ0003R	acenaphthylene	air+pm10	0,988	0,773	0,649	0,179	0,064	0,020	0,019	0,020	0,032	0,354	0,229	0,476	0,306	14
CZ0003R	alpha_HCH	air+pm10	1,678	1,997	2,014	2,708	1,580	2,263	2,475	2,845	4,706	2,895	2,763	1,790	2,503	14
CZ0003R	anthracene	air+pm10	0,277	0,410	0,164	0,060	0,024	0,041	0,014	0,012	0,020	0,085	0,069	0,123	0,101	14
CZ0003R	benz_a_anthracene	air+pm10	0,010	0,055	0,016	0,002	0,003	0,001	0,004	0,003	0,004	0,025	0,014	0,016	0,012	14
CZ0003R	benzo_a_pyrene	air+pm10	0,001	0,001	0,001	0,001	0,001	0,001	0,002	0,001	0,001	0,001	0,001	0,001	0,001	14
CZ0003R	benzo_b_fluoranthene	air+pm10	0,004	0,013	0,007	0,004	0,006	0,004	0,010	0,007	0,012	0,007	0,013	0,010	0,008	14
CZ0003R	benzo_ghi_perylene	air+pm10	0,000	0,000	0,001	0,000	0,000	0,000	0,000	0,000	0,003	0,003	0,000	0,000	0,001	14
CZ0003R	benzo_k_fluoranthene	air+pm10	0,001	0,002	0,001	0,001	0,002	0,001	0,002	0,001	0,001	0,002	0,003	0,002	0,002	14
CZ0003R	beta_HCH	air+pm10	0,050	0,060	0,174	0,114	0,054	0,120	0,100	0,142	0,251	0,175	0,144	0,077	0,126	14
CZ0003R	delta_HCH	air+pm10	0,072	0,084	0,107	0,073	0,058	0,116	0,100	0,123	0,139	0,107	0,083	0,083	0,097	14
CZ0003R	dibenzo_ah_anthracene	air+pm10	0,001	0,001	0,001	0,001	0,001	0,001	0,001	0,001	0,001	0,001	0,001	0,001	0,001	14

Site	Comp	Matrix	jan	feb	mar	apr	may	june	july	aug	sept	oct	nov	dec	2021	capture
CZ0003R	fluoranthene	air+pm10	2,445	2,927	1,892	0,857	0,456	0,218	0,200	0,160	0,241	0,697	0,908	1,400	0,989	14
CZ0003R	fluorene	air+pm10	3,465	4,333	3,034	1,142	0,630	1,294	0,342	0,287	0,372	0,917	1,458	1,979	1,556	14
CZ0003R	gamma_HCH	air+pm10	2,195	2,867	3,220	3,083	2,773	3,168	3,803	5,053	5,668	4,265	2,988	2,792	3,504	14
CZ0003R	inden_123cd_pyrene	air+pm10	0,001	0,001	0,001	0,001	0,001	0,001	0,001	0,001	0,001	0,001	0,001	0,001	0,001	14
CZ0003R	naphthalene	air+pm10	2,883	2,227	2,020	0,989	0,306	0,072	0,083	0,105	0,099	0,429	1,099	1,497	0,955	14
CZ0003R	phe-threne	air+pm10	7,138	9,353	5,840	2,455	1,424	0,936	0,608	0,489	0,702	1,981	2,780	4,310	3,029	14
CZ0003R	pp_DDD	air+pm10	0,147	0,264	0,329	0,277	0,330	0,521	0,560	0,373	0,346	0,189	0,127	0,113	0,301	14
CZ0003R	pp_DDE	air+pm10	4,195	11,563	12,516	10,025	11,728	13,430	10,328	10,198	15,640	11,933	11,083	7,416	10,905	14
CZ0003R	pp_DDT	air+pm10	0,539	1,187	1,525	1,246	1,839	2,904	2,560	2,080	2,970	1,818	1,234	0,902	1,771	14
CZ0003R	pyrene	air+pm10	1,295	1,579	0,933	0,568	0,203	0,108	0,103	0,090	0,145	0,455	0,491	0,749	0,534	14
CZ0003R	anthracene	air+aerosol	0,378	0,419	0,190	0,114	0,042	0,030	0,030	0,030	0,030	0,114	0,251	0,296	0,160	33
CZ0003R	benz_a_anthracene	air+aerosol	0,880	1,054	0,408	0,217	0,061	0,034	0,030	0,030	0,050	0,192	0,249	0,388	0,298	33
CZ0003R	benzo_a_pyrene	air+aerosol	0,643	0,752	0,328	0,203	0,060	0,034	0,030	0,030	0,062	0,248	0,272	0,354	0,250	33
CZ0003R	benzo_b_fluoranthene	air+aerosol	0,983	1,236	0,573	0,302	0,100	0,045	0,030	0,036	0,108	0,370	0,451	0,552	0,397	33
CZ0003R	benzo_ghi_perylene	air+aerosol	0,580	0,749	0,349	0,207	0,073	0,036	0,030	0,030	0,088	0,278	0,329	0,383	0,260	33
CZ0003R	benzo_k_fluoranthene	air+aerosol	0,494	0,605	0,291	0,155	0,044	0,033	0,030	0,030	0,052	0,184	0,221	0,281	0,201	33
CZ0003R	dibenzo_ah_anthracene	air+aerosol	0,169	0,199	0,092	0,040	0,030	0,030	0,030	0,030	0,030	0,070	0,086	0,101	0,075	33
CZ0003R	fluoranthene	air+aerosol	3,109	3,984	2,091	1,463	0,582	0,406	0,267	0,270	0,424	1,138	1,747	2,469	1,494	33
CZ0003R	inden_123cd_pyrene	air+aerosol	0,771	1,195	0,475	0,257	0,110	0,048	0,030	0,038	0,098	0,330	0,465	0,579	0,350	33
CZ0003R	phe-threne	air+aerosol	9,394	11,549	5,298	3,276	1,642	1,322	0,681	0,812	1,362	3,136	6,027	7,313	4,312	33
CZ0003R	pyrene	air+aerosol	2,139	2,597	1,262	0,826	0,344	0,228	0,154	0,165	0,267	0,794	1,101	1,494	0,946	33
DE0001R	HCB	air+pm10	-	-	22,410	22,401	15,809	12,705	9,496	10,900	12,945	19,268	25,257	28,013	17,408	75
DE0001R	PCB_101	air+pm10	-	-	0,677	0,678	1,726	1,759	2,198	1,205	1,609	1,549	1,117	0,690	1,394	75
DE0001R	PCB_118	air+pm10	-	-	0,208	0,208	0,383	0,431	0,526	0,349	0,449	0,408	0,279	0,183	0,357	75
DE0001R	PCB_138	air+pm10	-	-	0,418	0,419	0,630	0,810	1,197	0,686	0,861	0,641	0,558	0,374	0,687	75
DE0001R	PCB_153	air+pm10	-	-	0,550	0,551	1,160	1,325	1,575	0,756	1,035	1,183	0,829	0,510	0,992	75
DE0001R	PCB_180	air+pm10	-	-	0,157	0,157	0,250	0,344	0,404	0,206	0,245	0,174	0,180	0,148	0,234	75

Site	Comp	Matrix	jan	feb	mar	apr	may	june	july	aug	sept	oct	nov	dec	2021	capture
DE0001R	PCB_28	air+pm10	-	-	0,910	0,911	1,767	1,385	0,727	0,555	1,161	1,672	1,151	0,930	1,140	75
DE0001R	PCB_52	air+pm10	-	-	0,826	0,827	2,058	1,811	1,940	1,380	2,035	1,956	1,422	0,965	1,601	75
DE0001R	aldrin	air+pm10	-	-	0,001	0,001	0,001	0,001	0,017	0,181	0,142	0,001	0,001	0,001	0,038	75
DE0001R	alpha_HCH	air+pm10	-	-	2,025	2,025	2,458	2,530	1,941	2,230	2,622	3,626	2,626	1,092	2,349	75
DE0001R	anthracene	air+pm10	0,050	0,118	0,034	0,045	0,014	0,023	0,033	0,009	0,019	0,025	0,031	0,104	0,041	100
DE0001R	benz_a_anthracene	air+pm10	0,037	0,130	0,012	0,020	0,004	0,004	0,005	0,003	0,004	0,025	0,054	0,478	0,065	100
DE0001R	benzo_a_pyrene	air+pm10	0,034	0,167	0,009	0,029	0,003	0,006	0,004	0,003	0,004	0,031	0,068	0,530	0,074	100
DE0001R	benzo_bjk_fluoranthenes	air+pm10	0,167	0,518	0,055	0,103	0,020	0,020	0,018	0,015	0,025	0,121	0,301	1,744	0,258	100
DE0001R	benzo_ghi_perylene	air+pm10	0,068	0,177	0,019	0,034	0,007	0,007	0,006	0,004	0,009	0,037	0,086	0,420	0,072	100
DE0001R	chrysene_triphenylene	air+pm10	0,101	0,310	0,046	0,069	0,023	0,017	0,022	0,012	0,021	0,063	0,116	0,634	0,119	100
DE0001R	dibenzo_ah_anthracene	air+pm10	0,011	0,034	0,003	0,006	0,001	0,001	0,001	0,001	0,002	0,007	0,019	0,084	0,014	100
DE0001R	dieldrin	air+pm10	-	-	0,924	0,927	2,803	3,191	3,035	3,262	3,901	2,611	1,656	1,434	2,537	75
DE0001R	endrin	air+pm10	-	-	0,031	0,031	0,100	0,053	0,140	0,346	0,373	0,051	0,054	0,035	0,131	75
DE0001R	fluoranthene	air+pm10	0,435	0,934	0,229	0,303	0,171	0,283	0,701	0,152	0,249	0,220	0,652	1,912	0,518	100
DE0001R	gamma_HCH	air+pm10	-	-	3,195	3,013	8,659	11,334	8,463	7,331	8,445	6,520	4,531	3,708	6,890	75
DE0001R	heptachlor	air+pm10	-	-	0,017	0,017	0,064	0,025	0,084	0,246	0,390	0,070	0,057	0,052	0,111	75
DE0001R	inden_123cd_pyrene	air+pm10	0,071	0,198	0,020	0,033	0,007	0,008	0,006	0,005	0,010	0,045	0,108	0,527	0,086	100
DE0001R	op_DDD	air+pm10	-	-	0,059	0,059	0,142	0,227	0,270	0,206	0,231	0,166	0,106	0,165	0,175	75
DE0001R	op_DDE	air+pm10	-	-	0,067	0,068	0,144	0,246	0,142	0,112	0,181	0,138	0,128	0,246	0,156	75
DE0001R	op_DDT	air+pm10	-	-	0,177	0,177	0,223	1,068	0,184	0,120	0,254	0,503	0,291	0,133	0,326	75
DE0001R	phe-threne	air+pm10	1,614	2,962	0,782	1,055	0,575	1,084	1,769	0,602	0,939	0,826	2,332	4,896	1,611	100
DE0001R	pp_DDD	air+pm10	-	-	0,051	0,051	0,103	0,272	0,225	0,165	0,198	0,135	0,089	0,214	0,161	75
DE0001R	pp_DDE	air+pm10	-	-	0,786	0,788	2,201	6,655	1,267	1,633	3,652	3,233	2,718	1,871	2,635	75
DE0001R	pp_DDT	air+pm10	-	-	0,250	0,250	0,485	2,195	0,454	0,316	0,780	0,526	0,453	0,498	0,658	75
DE0001R	pyrene	air+pm10	0,284	0,646	0,125	0,154	0,076	0,109	0,195	0,063	0,100	0,134	0,321	1,411	0,300	100
DE0002R	HCB	air+pm10	-	-	23,904	23,896	18,226	13,693	13,963	15,335	17,891	32,958	26,379	33,731	21,803	75
DE0002R	PCB_101	air+pm10	-	-	0,671	0,673	1,758	2,540	2,625	1,985	2,149	1,308	1,270	1,032	1,705	75



Site	Comp	Matrix	jan	feb	mar	apr	may	june	july	aug	sept	oct	nov	dec	2021	capture
DE0002R	PCB_118	air+pm10	-	-	0,187	0,188	0,383	0,487	0,534	0,446	0,443	0,277	0,287	0,217	0,363	75
DE0002R	PCB_138	air+pm10	-	-	0,352	0,353	0,678	1,084	1,126	0,726	0,864	0,495	0,523	0,469	0,702	75
DE0002R	PCB_153	air+pm10	-	-	0,487	0,487	1,061	1,734	1,480	1,035	1,104	0,726	0,759	0,546	0,992	75
DE0002R	PCB_180	air+pm10	-	-	0,134	0,134	0,289	0,414	0,373	0,268	0,261	0,165	0,188	0,200	0,255	75
DE0002R	PCB_28	air+pm10	-	-	1,096	1,097	1,834	1,899	1,142	1,072	2,098	1,783	2,192	1,998	1,677	75
DE0002R	PCB_52	air+pm10	-	-	0,956	0,958	1,995	2,526	2,636	2,278	2,516	2,137	1,788	1,812	2,074	75
DE0002R	aldrin	air+pm10	-	-	0,001	0,001	0,001	0,001	0,041	0,022	0,039	0,011	0,020	0,014	0,017	75
DE0002R	alpha_HCH	air+pm10	-	-	2,329	2,329	2,746	2,472	2,427	2,679	3,800	3,715	3,259	1,950	2,818	75
DE0002R	anthracene	air+pm10	0,045	0,131	0,016	0,014	0,006	0,007	0,006	0,006	0,007	0,021	0,044	0,297	0,050	100
DE0002R	benz_a_anthracene	air+pm10	0,091	0,346	0,021	0,055	0,013	0,007	0,003	0,004	0,010	0,053	0,119	0,941	0,138	100
DE0002R	benzo_a_pyrene	air+pm10	0,110	0,386	0,027	0,062	0,013	0,009	0,002	0,004	0,007	0,088	0,170	1,021	0,157	100
DE0002R	benzo_bjk_fluoranthenes	air+pm10	0,406	1,134	0,124	0,225	0,061	0,034	0,012	0,020	0,036	0,353	0,747	4,431	0,632	100
DE0002R	benzo_ghi_perylene	air+pm10	0,162	0,360	0,051	0,077	0,022	0,011	0,005	0,008	0,013	0,103	0,189	1,061	0,171	100
DE0002R	chrysene_triphenylene	air+pm10	0,224	0,669	0,083	0,137	0,045	0,028	0,012	0,015	0,024	0,129	0,236	1,398	0,248	100
DE0002R	dibenzo_ah_anthracene	air+pm10	0,030	0,074	0,008	0,013	0,004	0,002	0,001	0,001	0,002	0,020	0,039	0,161	0,029	100
DE0002R	dieldrin	air+pm10	-	-	1,205	1,211	5,369	4,303	5,617	5,394	5,669	3,603	2,523	1,692	3,938	75
DE0002R	endrin	air+pm10	-	-	0,002	0,002	0,002	0,002	0,112	0,049	0,002	0,028	0,039	0,017	0,028	75
DE0002R	fluoranthene	air+pm10	0,910	2,099	0,415	0,402	0,303	0,272	0,286	0,240	0,311	0,426	1,223	7,146	1,168	100
DE0002R	gamma_HCH	air+pm10	-	-	5,955	5,965	12,975	15,624	14,585	12,214	14,779	9,667	9,892	7,689	11,486	75
DE0002R	heptachlor	air+pm10	-	-	0,034	0,034	0,107	0,001	0,139	0,055	0,146	0,098	0,132	0,152	0,096	75
DE0002R	inden_123cd_pyrene	air+pm10	0,185	0,423	0,054	0,086	0,024	0,012	0,006	0,009	0,015	0,129	0,235	1,238	0,201	100
DE0002R	op_DDD	air+pm10	-	-	0,081	0,081	0,207	0,329	0,245	0,192	0,512	0,162	0,099	0,280	0,234	75
DE0002R	op_DDE	air+pm10	-	-	0,154	0,154	0,350	0,441	0,292	0,228	0,545	0,383	0,284	0,526	0,356	75
DE0002R	op_DDT	air+pm10	-	-	0,584	0,586	1,813	4,216	1,523	0,666	0,864	0,752	1,362	0,280	1,334	75
DE0002R	phe-threne	air+pm10	4,363	8,678	1,525	1,057	1,112	0,708	0,908	0,918	1,318	2,544	5,909	10,176	3,234	100
DE0002R	pp_DDD	air+pm10	-	-	0,103	0,104	0,237	0,387	0,341	0,242	1,114	0,187	0,122	0,609	0,370	75
DE0002R	pp_DDE	air+pm10	-	-	3,914	3,925	11,849	16,402	7,413	4,711	6,145	9,502	11,825	4,545	8,464	75

Site	Comp	Matrix	jan	feb	mar	apr	may	june	july	aug	sept	oct	nov	dec	2021	capture
DE0002R	pp_DDT	air+pm10	-	-	1,040	1,043	3,281	5,849	3,080	2,024	2,673	1,936	1,939	1,486	2,586	75
DE0002R	pyrene	air+pm10	0,539	1,438	0,206	0,257	0,151	0,173	0,182	0,154	0,187	0,288	0,633	5,231	0,786	100
DE0003R	HCB	air+pm10	-	-	21,422	21,419	19,504	12,406	12,026	12,824	14,872	25,905	29,521	36,113	20,522	75
DE0003R	PCB_101	air+pm10	-	-	1,348	1,348	1,083	3,713	3,287	2,848	2,495	0,901	0,622	0,407	1,853	75
DE0003R	PCB_118	air+pm10	-	-	0,342	0,342	0,308	0,767	0,619	0,567	0,502	0,197	0,138	0,108	0,394	75
DE0003R	PCB_138	air+pm10	-	-	0,472	0,472	0,457	1,258	1,265	1,080	0,975	0,297	0,188	0,136	0,680	75
DE0003R	PCB_153	air+pm10	-	-	0,811	0,811	0,720	2,136	1,476	1,397	1,201	0,494	0,318	0,244	0,954	75
DE0003R	PCB_180	air+pm10	-	-	0,187	0,187	0,152	0,448	0,331	0,309	0,264	0,105	0,071	0,055	0,213	75
DE0003R	PCB_28	air+pm10	-	-	1,761	1,760	1,221	2,687	2,202	2,016	2,142	1,117	1,169	0,920	1,689	75
DE0003R	PCB_52	air+pm10	-	-	2,137	2,136	1,471	4,319	3,842	3,513	2,929	1,249	0,870	0,594	2,322	75
DE0003R	aldrin	air+pm10	-	-	0,000	0,000	0,000	0,000	0,000	0,000	0,000	0,000	0,000	0,000	0,000	75
DE0003R	alpha_HCH	air+pm10	-	-	4,067	4,066	3,632	3,971	5,130	6,440	5,604	3,365	2,040	1,539	3,978	75
DE0003R	anthracene	air+pm10	0,040	0,014	0,014	0,017	0,018	0,008	0,029	0,014	0,011	0,009	0,023	0,023	0,018	100
DE0003R	benz_a_anthracene	air+pm10	0,023	0,012	0,010	0,016	0,005	0,003	0,007	0,002	0,004	0,011	0,016	0,017	0,011	100
DE0003R	benzo_a_pyrene	air+pm10	0,030	0,021	0,014	0,037	0,010	0,006	0,004	0,002	0,006	0,022	0,017	0,020	0,016	100
DE0003R	benzo_bjk_fluoranthenes	air+pm10	0,126	0,075	0,058	0,092	0,025	0,014	0,018	0,006	0,022	0,077	0,071	0,074	0,055	100
DE0003R	benzo_ghi_perylene	air+pm10	0,053	0,033	0,023	0,037	0,014	0,006	0,006	0,003	0,009	0,025	0,029	0,030	0,022	100
DE0003R	chrysene_triphenylene	air+pm10	0,072	0,042	0,039	0,053	0,016	0,011	0,014	0,006	0,013	0,040	0,038	0,039	0,032	100
DE0003R	dibenzo_ah_anthracene	air+pm10	0,007	0,005	0,003	0,005	0,002	0,001	0,001	0,001	0,001	0,004	0,004	0,005	0,003	100
DE0003R	dieldrin	air+pm10	-	-	0,734	0,736	1,706	2,010	2,710	2,169	1,791	1,098	0,856	0,632	1,526	75
DE0003R	endrin	air+pm10	-	-	0,001	0,001	0,034	0,055	0,001	0,075	0,001	0,001	0,026	0,015	0,023	75
DE0003R	fluoranthene	air+pm10	0,474	0,250	0,266	0,244	0,155	0,134	0,137	0,131	0,110	0,142	0,238	0,246	0,211	100
DE0003R	gamma_HCH	air+pm10	-	-	19,629	19,634	23,242	36,142	36,053	39,425	30,824	15,458	14,462	10,863	25,122	75
DE0003R	heptachlor	air+pm10	-	-	0,019	0,019	0,027	0,024	0,393	0,001	0,094	0,022	0,030	0,028	0,071	75
DE0003R	inden_123cd_pyrene	air+pm10	0,054	0,032	0,024	0,036	0,012	0,006	0,008	0,004	0,011	0,030	0,032	0,031	0,023	100
DE0003R	op_DDD	air+pm10	-	-	0,021	0,021	0,027	0,079	0,032	0,032	0,058	0,044	0,035	0,013	0,038	75
DE0003R	op_DDE	air+pm10	-	-	0,067	0,067	0,060	0,126	0,090	0,085	0,145	0,086	0,106	0,047	0,090	75

Site	Comp	Matrix	jan	feb	mar	apr	may	june	july	aug	sept	oct	nov	dec	2021	capture
DE0003R	op_DDT	air+pm10	-	-	0,271	0,271	0,263	0,493	0,349	0,261	0,291	0,109	0,056	0,091	0,242	75
DE0003R	phe-threne	air+pm10	2,386	1,115	1,324	0,786	0,699	0,423	0,816	0,789	0,716	0,645	1,703	1,303	1,060	100
DE0003R	pp_DDD	air+pm10	-	-	0,018	0,018	0,023	0,062	0,045	0,043	0,063	0,046	0,023	0,015	0,037	75
DE0003R	pp_DDE	air+pm10	-	-	1,061	1,061	1,138	2,689	2,409	2,362	1,893	0,778	0,482	0,519	1,480	75
DE0003R	pp_DDT	air+pm10	-	-	0,341	0,341	0,355	0,970	0,820	0,763	0,747	0,248	0,148	0,110	0,499	75
DE0003R	pyrene	air+pm10	0,254	0,113	0,109	0,124	0,073	0,056	0,068	0,039	0,056	0,080	0,135	0,132	0,103	100
DE0008R	HCB	air+pm10	-	-	25,464	25,455	18,873	13,411	14,492	15,751	16,482	26,250	29,441	32,805	21,442	75
DE0008R	PCB_101	air+pm10	-	-	0,632	0,633	0,937	2,260	1,727	2,128	1,643	0,748	0,706	0,571	1,261	75
DE0008R	PCB_118	air+pm10	-	-	0,193	0,193	0,264	0,529	0,430	0,492	0,390	0,172	0,146	0,128	0,305	75
DE0008R	PCB_138	air+pm10	-	-	0,360	0,360	0,513	0,790	0,770	0,907	0,732	0,265	0,243	0,192	0,530	75
DE0008R	PCB_153	air+pm10	-	-	0,508	0,508	0,617	1,468	0,909	1,054	0,794	0,468	0,383	0,316	0,723	75
DE0008R	PCB_180	air+pm10	-	-	0,133	0,133	0,157	0,313	0,224	0,225	0,203	0,119	0,089	0,067	0,170	75
DE0008R	PCB_28	air+pm10	-	-	1,058	1,058	1,111	2,462	1,438	1,369	1,404	1,075	0,854	0,624	1,264	75
DE0008R	PCB_52	air+pm10	-	-	0,939	0,939	1,260	2,681	2,364	2,671	2,314	0,996	1,109	0,826	1,683	75
DE0008R	aldrin	air+pm10	-	-	0,001	0,001	0,001	0,001	0,001	0,001	0,001	0,001	0,001	0,001	0,001	75
DE0008R	alpha_HCH	air+pm10	-	-	4,480	4,493	13,636	8,843	12,402	25,420	15,384	17,032	6,908	1,341	11,759	75
DE0008R	anthracene	air+pm10	0,537	0,204	0,118	0,249	0,108	0,069	0,030	0,086	0,065	0,290	0,095	0,461	0,194	100
DE0008R	benz_a_anthracene	air+pm10	0,257	0,214	0,043	0,120	0,025	0,015	0,008	0,024	0,018	0,080	0,046	0,131	0,081	100
DE0008R	benzo_a_pyrene	air+pm10	0,257	0,226	0,046	0,136	0,022	0,011	0,005	0,012	0,010	0,107	0,050	0,127	0,083	100
DE0008R	benzo_bjk_fluoranthenes	air+pm10	0,684	0,709	0,160	0,334	0,082	0,044	0,029	0,064	0,061	0,389	0,259	0,511	0,275	100
DE0008R	benzo_ghi_perylene	air+pm10	0,233	0,211	0,066	0,135	0,031	0,016	0,009	0,020	0,019	0,110	0,070	0,137	0,087	100
DE0008R	chrysene_triphenylene	air+pm10	0,458	0,434	0,107	0,214	0,062	0,035	0,025	0,044	0,053	0,152	0,111	0,208	0,157	100
DE0008R	dibenzo_ah_anthracene	air+pm10	0,046	0,042	0,010	0,022	0,005	0,002	0,002	0,003	0,003	0,018	0,015	0,026	0,016	100
DE0008R	dieldrin	air+pm10	-	-	0,723	0,724	1,485	1,630	2,230	1,962	1,835	1,143	0,974	0,794	1,422	75
DE0008R	endrin	air+pm10	-	-	0,002	0,002	0,002	0,039	0,050	0,070	0,002	0,002	0,014	0,018	0,022	75
DE0008R	fluoranthene	air+pm10	2,659	1,772	0,593	0,941	0,344	0,262	0,175	0,465	0,355	0,945	0,682	1,631	0,898	100
DE0008R	gamma_HCH	air+pm10	-	-	4,962	4,966	7,879	13,437	13,519	12,326	11,555	5,051	4,771	3,419	8,545	75

Site	Comp	Matrix	jan	feb	mar	apr	may	june	july	aug	sept	oct	nov	dec	2021	capture
DE0008R	heptachlor	air+pm10	-	-	0,017	0,017	0,031	0,014	0,122	0,242	0,001	0,040	0,060	0,050	0,065	75
DE0008R	inden_123cd_pyrene	air+pm10	0,256	0,245	0,072	0,144	0,034	0,017	0,011	0,023	0,023	0,127	0,086	0,164	0,099	100
DE0008R	op_DDD	air+pm10	-	-	0,048	0,048	0,059	0,186	0,136	0,245	0,281	0,119	0,100	0,028	0,133	75
DE0008R	op_DDE	air+pm10	-	-	0,111	0,111	0,104	0,291	0,166	0,259	0,418	0,212	0,263	0,067	0,209	75
DE0008R	op_DDT	air+pm10	-	-	0,508	0,507	0,361	2,393	1,854	0,487	0,713	0,254	0,209	0,266	0,780	75
DE0008R	phe-threne	air+pm10	9,978	6,635	2,487	2,947	1,355	0,912	1,200	1,791	1,194	3,699	5,092	8,299	3,757	100
DE0008R	pp_DDD	air+pm10	-	-	0,060	0,060	0,067	0,199	0,178	0,390	0,376	0,155	0,143	0,039	0,178	75
DE0008R	pp_DDE	air+pm10	-	-	2,725	2,725	2,948	7,864	4,542	3,094	6,876	1,821	2,064	0,231	3,555	75
DE0008R	pp_DDT	air+pm10	-	-	0,542	0,542	0,757	3,351	2,163	1,673	2,286	0,703	0,577	0,330	1,371	75
DE0008R	pyrene	air+pm10	1,713	1,157	0,421	0,705	0,240	0,180	0,109	0,292	0,229	0,790	0,401	1,146	0,613	100
DE0009R	HCB	air+pm10	-	-	21,536	21,530	16,707	12,555	9,306	10,212	14,433	20,290	24,622	31,405	17,888	75
DE0009R	PCB_101	air+pm10	-	-	0,445	0,445	0,823	0,911	1,399	0,747	1,131	0,723	0,578	0,443	0,800	75
DE0009R	PCB_118	air+pm10	-	-	0,118	0,118	0,217	0,244	0,331	0,219	0,286	0,174	0,155	0,109	0,206	75
DE0009R	PCB_138	air+pm10	-	-	0,163	0,164	0,461	0,468	0,566	0,374	0,456	0,293	0,268	0,220	0,363	75
DE0009R	PCB_153	air+pm10	-	-	0,287	0,288	0,567	0,625	0,690	0,280	0,534	0,456	0,361	0,274	0,453	75
DE0009R	PCB_180	air+pm10	-	-	0,070	0,071	0,138	0,147	0,188	0,111	0,142	0,082	0,085	0,077	0,115	75
DE0009R	PCB_28	air+pm10	-	-	0,724	0,724	1,316	1,339	1,307	0,239	1,012	0,934	0,998	0,962	0,981	75
DE0009R	PCB_52	air+pm10	-	-	0,541	0,542	1,272	1,362	1,796	0,938	1,500	1,159	0,953	0,799	1,148	75
DE0009R	aldrin	air+pm10	-	-	0,001	0,001	0,001	0,001	0,001	0,001	0,001	0,001	0,001	0,001	0,001	75
DE0009R	alpha_HCH	air+pm10	-	-	1,821	1,823	2,599	2,142	2,432	1,937	2,919	3,572	2,586	0,837	2,316	75
DE0009R	anthracene	air+pm10	0,048	0,061	0,025	0,019	0,014	0,034	0,012	0,006	0,015	0,017	0,037	0,202	0,041	100
DE0009R	benz_a_anthracene	air+pm10	0,027	0,194	0,032	0,028	0,010	0,009	0,003	0,003	0,013	0,045	0,084	0,759	0,101	100
DE0009R	benzo_a_pyrene	air+pm10	0,029	0,243	0,033	0,035	0,011	0,013	0,002	0,002	0,013	0,068	0,127	0,782	0,113	100
DE0009R	benzo_bjk_fluoranthenes	air+pm10	0,139	0,750	0,155	0,150	0,049	0,039	0,014	0,011	0,054	0,256	0,514	3,340	0,456	100
DE0009R	benzo_ghi_perylene	air+pm10	0,058	0,238	0,059	0,049	0,019	0,017	0,005	0,005	0,021	0,076	0,147	0,797	0,124	100
DE0009R	chrysene_triphenylene	air+pm10	0,099	0,427	0,109	0,090	0,040	0,029	0,016	0,010	0,035	0,099	0,178	1,173	0,191	100
DE0009R	dibenzo_ah_anthracene	air+pm10	0,010	0,047	0,010	0,008	0,003	0,002	0,001	0,001	0,004	0,016	0,029	0,141	0,023	100

Site	Comp	Matrix	jan	feb	mar	apr	may	june	july	aug	sept	oct	nov	dec	2021	capture
DE0009R	dieldrin	air+pm10	-	-	0,684	0,686	1,828	2,221	1,811	1,938	1,578	1,381	1,012	0,905	1,486	75
DE0009R	endrin	air+pm10	-	-	0,002	0,002	0,044	0,002	0,022	0,086	0,056	0,028	0,002	0,002	0,027	75
DE0009R	fluoranthene	air+pm10	0,476	1,423	0,376	0,284	0,177	0,215	0,135	0,086	0,167	0,299	0,719	4,797	0,761	100
DE0009R	gamma_HCH	air+pm10	-	-	6,447	6,453	11,162	11,484	14,186	9,988	12,196	8,691	6,764	4,854	9,536	75
DE0009R	heptachlor	air+pm10	-	-	0,001	0,001	0,029	0,001	0,025	0,058	0,039	0,045	0,051	0,057	0,034	75
DE0009R	inden_123cd_pyrene	air+pm10	0,061	0,268	0,064	0,054	0,021	0,016	0,006	0,006	0,023	0,092	0,182	0,942	0,144	100
DE0009R	op_DDD	air+pm10	-	-	0,206	0,206	0,464	0,477	1,377	0,503	0,364	0,307	0,260	0,391	0,485	75
DE0009R	op_DDE	air+pm10	-	-	0,183	0,183	0,426	0,294	1,123	0,335	0,395	0,422	0,477	0,651	0,480	75
DE0009R	op_DDT	air+pm10	-	-	0,932	0,935	3,465	2,877	2,670	2,934	4,526	1,474	1,149	0,440	2,273	75
DE0009R	phe-threne	air+pm10	2,053	4,036	1,239	0,810	0,564	0,741	0,643	0,427	0,851	1,386	2,791	12,905	2,368	100
DE0009R	pp_DDD	air+pm10	-	-	0,439	0,440	0,767	0,901	2,125	1,316	0,572	0,498	0,384	0,817	0,873	75
DE0009R	pp_DDE	air+pm10	-	-	3,040	3,054	12,593	7,029	8,971	7,367	14,679	17,635	14,000	5,539	10,102	75
DE0009R	pp_DDT	air+pm10	-	-	2,669	2,674	6,580	7,142	10,487	6,943	7,251	4,725	3,579	2,244	5,745	75
DE0009R	pyrene	air+pm10	0,289	0,890	0,259	0,166	0,104	0,129	0,106	0,059	0,119	0,207	0,410	3,112	0,487	100
DK0010G	HCB	air	102,200	94,400	113,600	91,300	93,200	98,500	-	-	-	-	-	-	-	-
DK0010G	PCB_101	air	4,070	6,120	2,730	3,040	3,530	9,670	-	-	-	-	-	-	-	-
DK0010G	PCB_114	air	0,001	0,150	0,001	0,001	0,001	0,160	-	-	-	-	-	-	-	-
DK0010G	PCB_118	air	0,870	0,930	0,560	0,550	0,850	4,560	-	-	-	-	-	-	-	-
DK0010G	PCB_138	air	0,560	0,760	0,400	0,450	0,720	3,250	-	-	-	-	-	-	-	-
DK0010G	PCB_153	air	1,120	1,810	0,800	0,890	1,430	4,680	-	-	-	-	-	-	-	-
DK0010G	PCB_170	air	0,001	0,001	0,001	0,001	0,001	0,001	-	-	-	-	-	-	-	-
DK0010G	PCB_180	air	0,001	0,330	0,001	0,270	0,290	0,720	-	-	-	-	-	-	-	-
DK0010G	PCB_194	air	0,001	0,001	0,001	0,001	0,001	0,001	-	-	-	-	-	-	-	-
DK0010G	PCB_206	air	0,001	0,001	0,001	0,001	0,001	0,001	-	-	-	-	-	-	-	-
DK0010G	PCB_209	air	0,001	0,001	0,001	0,001	0,001	0,001	-	-	-	-	-	-	-	-
DK0010G	PCB_28	air	8,110	8,660	6,110	5,860	4,470	7,360	-	-	-	-	-	-	-	-
DK0010G	PCB_3	air	1,210	0,750	0,740	0,610	0,250	0,460	-	-	-	-	-	-	-	-

Site	Comp	Matrix	jan	feb	mar	apr	may	june	july	aug	sept	oct	nov	dec	2021	capture
DK0010G	PCB_52	air	10,140	11,160	6,450	6,370	4,300	12,220	-	-	-	-	-	-	-	-
DK0010G	aldrin	air	0,001	0,001	0,001	0,001	0,001	0,001	-	-	-	-	-	-	-	-
DK0010G	alpha_HCH	air	6,340	5,130	6,340	5,040	5,440	6,820	-	-	-	-	-	-	-	-
DK0010G	beta_HCH	air	0,001	0,001	0,001	0,001	0,001	0,001	-	-	-	-	-	-	-	-
DK0010G	cis_CD	air	0,840	1,490	0,840	1,460	0,600	1,140	-	-	-	-	-	-	-	-
DK0010G	cis_NO	air	0,001	0,001	0,001	0,001	0,001	0,001	-	-	-	-	-	-	-	-
DK0010G	dieldrin	air	0,001	0,001	0,001	0,001	0,001	0,001	-	-	-	-	-	-	-	-
DK0010G	endosulfan	air	0,002	0,002	0,002	0,002	0,002	0,002	-	-	-	-	-	-	-	-
DK0010G	endrin	air	0,002	0,002	0,002	0,002	0,002	0,002	-	-	-	-	-	-	-	-
DK0010G	gamma_HCH	air	3,070	2,130	4,230	2,020	1,850	2,140	-	-	-	-	-	-	-	-
DK0010G	heptachlor	air	0,220	0,680	0,850	1,020	0,880	0,550	-	-	-	-	-	-	-	-
DK0010G	heptachlorepoxyde	air	0,840	1,110	0,840	1,090	0,630	0,930	-	-	-	-	-	-	-	-
DK0010G	op_DDE	air	0,380	0,410	0,380	0,400	0,190	0,120	-	-	-	-	-	-	-	-
DK0010G	op_DDT	air	0,620	0,770	0,620	0,750	0,450	0,450	-	-	-	-	-	-	-	-
DK0010G	pp_DDD	air	0,004	0,300	0,004	0,260	0,004	0,004	-	-	-	-	-	-	-	-
DK0010G	pp_DDE	air	0,970	1,540	0,970	1,510	0,740	0,550	-	-	-	-	-	-	-	-
DK0010G	pp_DDT	air	0,620	0,770	0,620	0,750	0,450	0,450	-	-	-	-	-	-	-	-
DK0010G	trans_CD	air	0,430	0,940	0,430	0,920	0,380	0,310	-	-	-	-	-	-	-	-
DK0010G	trans_NO	air	0,450	0,990	0,450	0,970	0,001	0,400	-	-	-	-	-	-	-	-
EE0009R	benz_a_anthracene	pm10	0,236	0,125	0,040	0,044	0,012	0,001	0,001	0,007	0,021	0,060	0,062	0,174	0,065	86
EE0009R	benzo_a_pyrene	pm10	0,381	0,221	0,070	0,071	0,020	0,017	0,003	0,017	0,034	0,081	0,084	0,193	0,099	86
EE0009R	benzo_bjk_fluoranthenes	pm10	1,216	1,351	0,237	0,117	0,067	0,017	0,009	0,041	0,093	0,291	0,170	0,697	0,356	86
EE0009R	dibenzo_ah_anthracene	pm10	0,079	0,045	0,012	0,012	0,004	0,000	0,000	0,002	0,007	0,022	0,010	0,033	0,019	86
EE0009R	indeno_123cd_perylene	pm10	0,590	0,431	0,107	0,084	0,037	0,013	0,006	0,021	0,044	0,132	0,098	0,290	0,154	86
ES0001R	acenaphthene	pm10	-	0,180	-	-	-	-	-	-	-	-	-	-	-	-
ES0001R	acenaphthylene	pm10	0,000	0,000	0,045	0,045	0,045	0,045	0,045	0,045	0,045	0,045	0,045	0,045	0,038	97
ES0001R	anthracene	pm10	0,024	0,033	0,030	0,030	0,030	0,030	0,030	0,030	0,030	0,030	0,030	0,030	0,030	97

Site	Comp	Matrix	jan	feb	mar	apr	may	june	july	aug	sept	oct	nov	dec	2021	capture
ES0001R	benz_a_anthracene	pm10	0,002	0,002	0,035	0,035	0,035	0,035	0,035	0,035	0,035	0,035	0,035	0,035	0,030	97
ES0001R	benzo_a_pyrene	pm10	0,053	0,054	0,035	0,035	0,035	0,035	0,035	0,035	0,035	0,035	0,035	0,035	0,038	97
ES0001R	benzo_b_fluoranthene	pm10	-	-	0,060	0,060	0,060	0,060	0,060	0,060	0,060	0,060	0,060	0,060	0,060	81
ES0001R	benzo_ghi_perylene	pm10	0,106	0,073	0,045	0,045	0,045	0,045	0,045	0,045	0,045	0,045	0,045	0,045	0,052	97
ES0001R	benzo_j_fluoranthene	pm10	-	-	0,030	0,030	0,030	0,030	0,030	0,030	0,030	0,030	0,030	0,030	0,030	81
ES0001R	benzo_k_fluoranthene	pm10	0,085	0,067	0,025	0,025	0,025	0,025	0,025	0,025	0,025	0,025	0,025	0,025	0,033	97
ES0001R	chrysene	pm10	0,008	0,004	0,035	0,035	0,035	0,035	0,035	0,035	0,035	0,035	0,035	0,035	0,030	97
ES0001R	dibenzo_ah_anthracene	pm10	0,014	0,010	0,035	0,035	0,035	0,035	0,035	0,035	0,035	0,035	0,035	0,035	0,031	97
ES0001R	fluoranthene	pm10	0,170	0,045	0,065	0,065	0,065	0,065	0,065	0,065	0,065	0,065	0,065	0,065	0,072	97
ES0001R	fluorene	pm10	0,000	0,000	0,140	0,140	0,140	0,140	0,140	0,140	0,140	0,140	0,140	0,140	0,117	97
ES0001R	inden_123cd_pyrene	pm10	0,129	0,113	0,035	0,035	0,035	0,035	0,035	0,035	0,035	0,035	0,035	0,035	0,049	97
ES0001R	naphthalene	pm10	0,009	-	-	-	-	-	-	-	-	-	-	-	-	-
ES0001R	perylene	pm10	-	-	0,035	0,035	0,035	0,035	0,035	0,035	0,035	0,035	0,035	0,035	0,035	81
ES0001R	phe-threne	pm10	0,105	0,026	0,350	0,350	0,350	0,350	0,350	0,350	0,350	0,350	0,350	0,350	0,304	97
ES0007R	acenaphthene	pm10	-	0,199	-	-	-	-	-	-	-	-	-	-	-	-
ES0007R	acenaphthylene	pm10	0,000	0,000	0,045	0,045	0,045	0,045	0,045	0,045	0,045	0,045	0,045	0,045	0,038	97
ES0007R	anthracene	pm10	0,006	0,014	0,030	0,030	0,030	0,030	0,030	0,030	0,030	0,030	0,030	0,030	0,027	97
ES0007R	benz_a_anthracene	pm10	0,002	0,002	0,035	0,035	0,035	0,035	0,035	0,035	0,035	0,035	0,035	0,035	0,030	97
ES0007R	benzo_a_pyrene	pm10	0,009	0,026	0,035	0,035	0,035	0,035	0,035	0,035	0,035	0,035	0,035	0,035	0,032	97
ES0007R	benzo_b_fluoranthene	pm10	-	-	0,060	0,060	0,060	0,060	0,060	0,060	0,060	0,060	0,060	0,060	0,060	81
ES0007R	benzo_ghi_perylene	pm10	0,020	0,037	0,045	0,045	0,045	0,045	0,045	0,045	0,045	0,100	0,045	0,045	0,047	97
ES0007R	benzo_j_fluoranthene	pm10	-	-	0,030	0,030	0,030	0,030	0,030	0,030	0,030	0,030	0,030	0,030	0,030	81
ES0007R	benzo_k_fluoranthene	pm10	0,010	0,042	0,025	0,025	0,025	0,025	0,025	0,025	0,025	0,025	0,025	0,025	0,025	97
ES0007R	chrysene	pm10	0,002	0,003	0,035	0,035	0,035	0,035	0,035	0,035	0,035	0,035	0,035	0,035	0,030	97
ES0007R	dibenzo_ah_anthracene	pm10	0,002	0,005	0,035	0,035	0,035	0,035	0,035	0,035	0,035	0,035	0,035	0,035	0,030	97
ES0007R	fluoranthene	pm10	0,043	0,031	0,065	0,065	0,065	0,065	0,065	0,065	0,065	0,065	0,065	0,065	0,061	97
ES0007R	fluorene	pm10	0,000	0,000	0,140	0,140	0,140	0,140	0,140	0,140	0,140	0,140	0,140	0,140	0,117	97

Site	Comp	Matrix	jan	feb	mar	apr	may	june	july	aug	sept	oct	nov	dec	2021	capture
ES0007R	inden_123cd_pyrene	pm10	0,024	0,058	0,035	0,035	0,035	0,035	0,035	0,035	0,035	0,035	0,080	0,035	0,040	97
ES0007R	naphthalene	pm10	-	-	-	-	-	-	-	-	-	-	-	-	-	-
ES0007R	perylene	pm10	-	-	0,035	0,035	0,035	0,035	0,035	0,035	0,035	0,035	0,035	0,035	0,035	81
ES0007R	phe-threne	pm10	0,018	0,016	0,350	0,350	0,350	0,350	0,350	0,350	0,350	0,350	0,350	0,350	0,296	97
ES0007R	pyrene	pm10	0,024	0,026	0,070	0,070	0,070	0,070	0,070	0,070	0,070	0,070	0,070	0,070	0,063	97
ES0008R	acenaphthene	pm10	-	0,201	-	-	-	-	-	-	-	-	-	-	-	-
ES0008R	acenaphthylene	pm10	0,000	0,000	0,045	0,045	0,045	0,045	0,045	0,045	0,045	0,045	0,045	0,045	0,038	97
ES0008R	anthracene	pm10	0,034	0,036	0,030	0,030	0,030	0,030	0,030	0,030	0,030	0,030	0,030	0,030	0,031	97
ES0008R	benzo_a_pyrene	pm10	0,063	0,123	0,035	0,035	0,035	0,035	0,035	0,035	0,035	0,035	0,035	0,035	0,044	97
ES0008R	benzo_b_fluoranthene	pm10	-	-	0,060	0,060	0,060	0,060	0,060	0,060	0,060	0,060	0,060	0,060	0,060	81
ES0008R	benzo_ghi_perylene	pm10	0,126	0,145	0,045	0,045	0,045	0,045	0,045	0,045	0,045	0,045	0,045	0,045	0,060	97
ES0008R	benzo_j_fluoranthene	pm10	-	-	0,030	0,030	0,030	0,030	0,030	0,030	0,030	0,030	0,030	0,030	0,030	81
ES0008R	benzo_k_fluoranthene	pm10	0,089	0,180	0,025	0,025	0,025	0,025	0,025	0,025	0,025	0,025	0,025	0,025	0,042	97
ES0008R	chrysene	pm10	0,009	0,010	0,035	0,035	0,035	0,035	0,035	0,035	0,035	0,035	0,035	0,035	0,031	97
ES0008R	dibenzo_ah_anthracene	pm10	0,023	0,034	0,035	0,035	0,035	0,035	0,035	0,035	0,035	0,035	0,035	0,035	0,034	97
ES0008R	fluoranthene	pm10	0,156	0,101	0,065	0,065	0,065	0,065	0,065	0,065	0,065	0,065	0,065	0,065	0,076	97
ES0008R	fluorene	pm10	0,000	0,000	0,140	0,140	0,140	0,140	0,140	0,140	0,140	0,140	0,140	0,140	0,117	97
ES0008R	inden_123cd_pyrene	pm10	0,163	0,255	0,035	0,035	0,035	0,035	0,035	0,035	0,035	0,035	0,035	0,035	0,063	97
ES0008R	naphthalene	pm10	-	-	-	-	-	-	-	-	-	-	-	-	-	-
ES0008R	perylene	pm10	-	-	0,035	0,035	0,035	0,035	0,035	0,035	0,035	0,035	0,035	0,035	0,035	81
ES0008R	phe-threne	pm10	0,119	0,071	0,350	0,350	0,350	0,350	0,350	0,350	0,350	0,350	0,350	0,350	0,309	97
ES0008R	pyrene	pm10	0,116	0,076	0,070	0,070	0,070	0,070	0,070	0,070	0,070	0,070	0,070	0,070	0,074	97
ES0012R	acenaphthene	pm10	-	0,025	-	-	-	-	-	-	-	-	-	-	-	-
ES0012R	acenaphthylene	pm10	0,000	0,000	0,045	0,045	0,045	0,045	0,045	0,045	0,045	0,045	0,045	0,045	0,038	97
ES0012R	anthracene	pm10	0,015	0,000	0,030	0,030	0,030	0,030	0,030	0,030	0,030	0,030	0,030	0,030	0,026	97
ES0012R	benz_a_anthracene	pm10	0,002	0,002	0,035	0,035	0,035	0,035	0,035	0,035	0,035	0,035	0,035	0,035	0,030	97
ES0012R	benzo_a_pyrene	pm10	0,025	0,018	0,035	0,035	0,035	0,035	0,035	0,035	0,035	0,035	0,035	0,035	0,033	97



Site	Comp	Matrix	jan	feb	mar	apr	may	june	july	aug	sept	oct	nov	dec	2021	capture
ES0012R	benzo_b_fluoranthene	pm10	-	-	0,060	0,060	0,060	0,060	0,060	0,060	0,060	0,060	0,060	0,060	0,060	81
ES0012R	benzo_ghi_perylene	pm10	0,071	0,022	0,045	0,045	0,045	0,045	0,045	0,045	0,045	0,045	0,045	0,045	0,046	97
ES0012R	benzo_j_fluoranthene	pm10	-	-	0,030	0,030	0,030	0,030	0,030	0,030	0,030	0,030	0,030	0,030	0,030	81
ES0012R	benzo_k_fluoranthene	pm10	0,048	0,027	0,025	0,025	0,025	0,025	0,025	0,025	0,025	0,025	0,025	0,025	0,027	97
ES0012R	chrysene	pm10	0,004	0,002	0,035	0,035	0,035	0,035	0,035	0,035	0,035	0,035	0,035	0,035	0,030	97
ES0012R	dibenzo_ah_anthracene	pm10	0,013	0,005	0,035	0,035	0,035	0,035	0,035	0,035	0,035	0,035	0,035	0,035	0,031	97
ES0012R	fluoranthene	pm10	0,082	0,030	0,065	0,065	0,065	0,065	0,065	0,065	0,065	0,065	0,065	0,065	0,064	97
ES0012R	fluorene	pm10	0,000	0,000	0,140	0,140	0,140	0,140	0,140	0,140	0,140	0,140	0,140	0,140	0,117	97
ES0012R	naphthalene	pm10	0,009	-	-	-	-	-	-	-	-	-	-	-	-	-
ES0012R	perylene	pm10	-	-	0,035	0,035	0,035	0,035	0,035	0,035	0,035	0,035	0,035	0,035	0,035	81
ES0012R	phe-threne	pm10	0,073	0,020	0,350	0,350	0,350	0,350	0,350	0,350	0,350	0,350	0,350	0,350	0,301	97
ES0012R	pyrene	pm10	0,064	0,023	0,070	0,070	0,070	0,070	0,070	0,070	0,070	0,070	0,070	0,070	0,066	97
ES0014R	acenaphthene	pm10	-	0,166	-	-	-	-	-	-	-	-	-	-	-	-
ES0014R	acenaphthylene	pm10	0,000	0,000	0,045	0,045	0,045	0,045	0,045	0,045	0,045	0,045	0,045	0,045	0,038	97
ES0014R	anthracene	pm10	0,049	0,000	0,030	0,030	0,030	0,030	0,030	0,030	0,030	0,030	0,030	0,030	0,029	97
ES0014R	benzo_a_pyrene	pm10	0,054	0,082	0,035	0,035	0,035	0,035	0,035	0,035	0,035	0,035	0,035	0,035	0,040	97
ES0014R	benzo_b_fluoranthene	pm10	-	-	0,060	0,060	0,060	0,060	0,060	0,060	0,060	0,060	0,060	0,060	0,060	81
ES0014R	benzo_ghi_perylene	pm10	0,077	0,071	0,045	0,045	0,045	0,045	0,045	0,045	0,045	0,045	0,045	0,045	0,050	97
ES0014R	benzo_j_fluoranthene	pm10	-	-	0,030	0,030	0,030	0,030	0,030	0,030	0,030	0,030	0,030	0,030	0,030	81
ES0014R	benzo_k_fluoranthene	pm10	0,058	0,097	0,025	0,025	0,025	0,025	0,025	0,025	0,025	0,025	0,025	0,025	0,033	97
ES0014R	chrysene	pm10	0,011	0,010	0,035	0,035	0,035	0,035	0,035	0,035	0,035	0,035	0,035	0,035	0,031	97
ES0014R	dibenzo_ah_anthracene	pm10	0,011	0,016	0,035	0,035	0,035	0,035	0,035	0,035	0,035	0,035	0,035	0,035	0,032	97
ES0014R	fluoranthene	pm10	0,101	0,047	0,065	0,065	0,065	0,065	0,065	0,065	0,065	0,065	0,065	0,065	0,067	97
ES0014R	fluorene	pm10	0,000	0,000	0,140	0,140	0,140	0,140	0,140	0,140	0,140	0,140	0,140	0,140	0,117	97
ES0014R	inden_123cd_pyrene	pm10	0,084	0,119	0,035	0,035	0,035	0,035	0,035	0,035	0,035	0,035	0,070	0,035	0,049	97
ES0014R	naphthalene	pm10	0,011	-	-	-	-	-	-	-	-	-	-	-	-	-
ES0014R	perylene	pm10	-	-	0,035	0,035	0,035	0,035	0,035	0,035	0,035	0,035	0,035	0,035	0,035	81

Site	Comp	Matrix	jan	feb	mar	apr	may	june	july	aug	sept	oct	nov	dec	2021	capture
ES0014R	phe-threne	pm10	0,054	0,035	0,350	0,350	0,350	0,350	0,350	0,350	0,350	0,350	0,350	0,350	0,301	97
ES0014R	pyrene	pm10	0,097	0,050	0,070	0,070	0,070	0,070	0,070	0,070	0,070	0,070	0,070	0,070	0,071	97
FI0018R	anthracene	pm10	0,085	0,088	0,046	0,014	0,004	0,002	0,002	0,002	0,006	0,011	0,024	0,127	0,034	100
FI0018R	benz_a_anthracene	pm10	0,294	0,213	0,123	0,079	0,037	0,016	0,018	0,024	0,051	0,076	0,120	0,288	0,111	100
FI0018R	benzo_a_pyrene	pm10	0,335	0,236	0,131	0,098	0,030	0,029	0,029	0,029	0,070	0,103	0,164	0,410	0,138	100
FI0018R	benzo_bjk_fluoranthenes	pm10	0,922	0,607	0,316	0,196	0,133	0,059	0,053	0,070	0,144	0,261	0,391	0,906	0,337	100
FI0018R	benzo_ghi_perylene	pm10	0,378	0,246	0,133	0,090	0,051	0,018	0,018	0,018	0,070	0,122	0,173	0,386	0,142	100
FI0018R	chrysene	pm10	0,471	0,347	0,184	0,119	0,063	0,034	0,030	0,040	0,076	0,143	0,191	0,389	0,173	100
FI0018R	dibenzo_ac_ah_anthracenes	pm10	0,042	0,024	0,012	0,012	0,012	0,012	0,012	0,012	0,012	0,012	0,012	0,030	0,017	100
FI0018R	fluoranthene	pm10	1,215	0,995	0,484	0,302	0,134	0,051	0,041	0,078	0,150	0,270	0,417	1,062	0,431	100
FI0018R	inden_123cd_pyrene	pm10	0,313	0,205	0,103	0,077	0,043	0,027	0,023	0,024	0,056	0,090	0,136	0,225	0,110	100
FI0018R	phe-threne	pm10	1,042	1,135	0,445	0,131	0,035	0,034	0,034	0,034	0,034	0,137	0,324	1,033	0,364	100
FI0018R	pyrene	pm10	1,012	0,833	0,411	0,276	0,139	0,070	0,060	0,097	0,172	0,263	0,450	0,986	0,395	100
FI0036R	anthracene	pm10	0,035	0,006	0,003	0,001	0,002	0,001	0,001	0,001	0,001	0,001	0,001	0,006	0,005	100
FI0036R	benz_a_anthracene	pm10	0,144	0,028	0,016	0,012	0,012	0,002	0,002	0,002	0,005	0,013	0,012	0,032	0,024	100
FI0036R	benzo_a_pyrene	pm10	0,181	0,036	0,022	0,018	0,017	0,008	0,008	0,008	0,008	0,008	0,008	0,051	0,031	100
FI0036R	benzo_bjk_fluoranthenes	pm10	0,415	0,097	0,058	0,033	0,046	0,003	0,006	0,009	0,018	0,034	0,033	0,106	0,072	100
FI0036R	benzo_ghi_perylene	pm10	0,167	0,048	0,047	0,047	0,047	0,047	0,047	0,047	0,047	0,047	0,047	0,047	0,057	100
FI0036R	chrysene	pm10	0,235	0,063	0,036	0,022	0,022	0,012	0,008	0,007	0,011	0,020	0,020	0,049	0,042	100
FI0036R	dibenzo_ac_ah_anthracenes	pm10	0,020	0,007	0,007	0,007	0,007	0,007	0,007	0,007	0,007	0,007	0,007	0,007	0,008	100
FI0036R	fluoranthene	pm10	0,583	0,178	0,094	0,058	0,061	0,014	0,013	0,013	0,013	0,047	0,046	0,136	0,105	100
FI0036R	inden_123cd_pyrene	pm10	0,152	0,033	0,021	0,008	0,008	0,008	0,008	0,008	0,008	0,008	0,008	0,028	0,025	100
FI0036R	phe-threne	pm10	0,424	0,113	0,068	0,009	0,008	0,008	0,008	0,008	0,008	0,026	0,037	0,045	0,064	100
FI0036R	pyrene	pm10	0,516	0,136	0,044	0,043	0,043	0,043	0,043	0,043	0,043	0,043	0,043	0,127	0,098	100
FI0036R	BDE_100	air+aerosol	0,020	0,020	0,020	0,020	0,020	0,020	0,020	0,020	0,020	0,020	0,020	0,020	0,020	100
FI0036R	BDE_153	air+aerosol	0,030	0,030	0,030	0,030	0,030	0,030	0,030	0,030	0,030	0,030	0,030	0,030	0,030	100
FI0036R	BDE_154	air+aerosol	0,030	0,030	0,030	0,030	0,030	0,030	0,030	0,030	0,030	0,030	0,030	0,030	0,030	100

Site	Comp	Matrix	jan	feb	mar	apr	may	june	july	aug	sept	oct	nov	dec	2021	capture
FI0036R	BDE_209	air+aerosol	0,080	0,060	0,059	0,050	0,051	0,083	0,110	0,053	0,070	0,061	0,073	0,120	0,073	100
FI0036R	BDE_47	air+aerosol	0,020	0,020	0,020	0,022	0,022	0,065	0,070	0,055	0,026	0,021	0,020	0,020	0,032	100
FI0036R	BDE_85	air+aerosol	0,030	0,030	0,030	0,030	0,030	0,030	0,030	0,030	0,030	0,030	0,030	0,030	0,030	100
FI0036R	BDE_99	air+aerosol	0,022	0,020	0,020	0,020	0,020	0,020	0,020	0,020	0,020	0,020	0,020	0,020	0,020	100
FI0036R	FTS_6-2	air+aerosol	0,050	0,050	0,050	0,050	0,050	0,050	0,050	0,050	0,050	0,050	0,050	0,050	0,050	99
FI0036R	HCB	air+aerosol	20,000	20,000	20,000	20,000	20,000	20,000	20,000	20,000	20,000	20,000	20,000	20,000	20,000	100
FI0036R	PCB_101	air+aerosol	0,162	0,133	0,154	0,186	0,260	0,590	0,723	0,490	0,282	0,138	0,145	0,137	0,284	100
FI0036R	PCB_118	air+aerosol	0,043	0,030	0,033	0,061	0,034	0,091	0,195	0,126	0,063	0,033	0,031	0,046	0,066	100
FI0036R	PCB_138	air+aerosol	0,109	0,103	0,064	0,130	0,109	0,163	0,235	0,154	0,077	0,079	0,096	0,049	0,114	100
FI0036R	PCB_153	air+aerosol	0,088	0,087	0,076	0,080	0,124	0,216	0,194	0,132	0,090	0,057	0,076	0,068	0,107	100
FI0036R	PCB_180	air+aerosol	0,030	0,030	0,030	0,030	0,030	0,030	0,030	0,030	0,030	0,030	0,030	0,030	0,030	100
FI0036R	PCB_28	air+aerosol	0,492	0,410	0,436	0,409	0,516	0,776	0,897	0,704	0,590	0,332	0,459	0,498	0,544	100
FI0036R	PCB_52	air+aerosol	0,460	0,378	0,432	0,614	0,657	1,283	1,486	1,028	0,701	0,378	0,419	0,338	0,683	100
FI0036R	PFBA	air+aerosol	0,408	0,584	0,740	1,067	1,405	2,461	3,160	3,167	2,700	1,357	0,971	0,675	1,573	99
FI0036R	PFBS	air+aerosol	0,050	0,050	0,050	0,050	0,050	0,050	0,050	0,050	0,050	0,050	0,050	0,050	0,050	99
FI0036R	PFDA	air+aerosol	0,050	0,050	0,050	0,050	0,050	0,050	0,050	0,050	0,050	0,050	0,050	0,050	0,050	99
FI0036R	PFDAcS	air+aerosol	0,050	0,050	0,050	0,050	0,050	0,050	0,050	0,050	0,050	0,050	0,050	0,050	0,050	99
FI0036R	PFHpA	air+aerosol	0,050	0,050	0,050	0,050	0,050	0,050	0,050	0,050	0,050	0,050	0,050	0,050	0,050	99
FI0036R	PFHxA	air+aerosol	0,118	0,081	0,080	0,093	0,112	0,170	0,165	0,092	0,090	0,094	0,082	0,074	0,104	99
FI0036R	PFHxS	air+aerosol	0,050	0,050	0,050	0,050	0,050	0,050	0,050	0,050	0,050	0,050	0,050	0,050	0,050	99
FI0036R	PFNA	air+aerosol	0,050	0,050	0,050	0,050	0,050	0,056	0,050	0,050	0,050	0,050	0,050	0,050	0,051	99
FI0036R	PFOA	air+aerosol	0,064	0,091	0,100	0,102	0,113	0,112	0,098	0,090	0,090	0,092	0,077	0,092	0,094	99
FI0036R	PFOS	air+aerosol	0,050	0,050	0,050	0,050	0,050	0,050	0,050	0,050	0,050	0,050	0,050	0,050	0,050	99
FI0036R	PFOSA	air+aerosol	0,050	0,050	0,050	0,050	0,050	0,050	0,050	0,050	0,050	0,050	0,050	0,050	0,050	99
FI0036R	PFUnA	air+aerosol	0,050	0,050	0,050	0,050	0,050	0,050	0,050	0,050	0,050	0,050	0,050	0,050	0,050	99
FI0036R	alpha_HCH	air+aerosol	1,400	1,410	1,432	1,640	2,381	1,738	2,620	3,194	3,400	1,458	2,012	1,900	2,052	100
FI0036R	alpha_endosulfan	air+aerosol	0,170	0,170	0,297	0,360	0,454	0,990	0,720	0,997	0,540	0,323	0,267	0,230	0,461	100

Site	Comp	Matrix	jan	feb	mar	apr	may	june	july	aug	sept	oct	nov	dec	2021	capture
FI0036R	anthracene	air+aerosol	0,009	0,005	0,004	0,002	0,002	0,004	0,003	0,003	0,003	0,002	0,005	0,009	0,004	100
FI0036R	benz_a_anthracene	air+aerosol	0,020	0,010	0,008	0,002	0,002	0,004	0,003	0,004	0,005	0,003	0,006	0,016	0,007	100
FI0036R	benzo_a_pyrene	air+aerosol	0,021	0,012	0,008	0,002	0,001	0,001	0,001	0,001	0,004	0,001	0,004	0,013	0,006	100
FI0036R	benzo_b_fluoranthene	air+aerosol	0,041	0,023	0,018	0,004	0,002	0,003	0,002	0,004	0,009	0,004	0,011	0,031	0,013	100
FI0036R	benzo_ghi_perylene	air+aerosol	0,029	0,013	0,009	0,002	0,001	0,001	0,001	0,001	0,005	0,002	0,005	0,016	0,007	100
FI0036R	benzo_k_fluoranthene	air+aerosol	0,017	0,009	0,007	0,002	0,001	0,001	0,001	0,002	0,003	0,002	0,004	0,012	0,005	100
FI0036R	beta_endosulfan	air+aerosol	0,100	0,100	0,100	0,100	0,100	0,100	0,100	0,100	0,100	0,100	0,100	0,100	0,100	100
FI0036R	chrysene	air+aerosol	0,044	0,023	0,018	0,006	0,003	0,004	0,002	0,004	0,010	0,007	0,013	0,034	0,014	100
FI0036R	dibenzo_ah_anthracene	air+aerosol	0,005	0,002	0,002	0,000	0,000	0,000	0,000	0,000	0,001	0,000	0,001	0,003	0,001	100
FI0036R	fluoranthene	air+aerosol	0,195	0,109	0,082	0,034	0,029	0,039	0,025	0,030	0,046	0,038	0,069	0,165	0,072	100
FI0036R	gamma_HCH	air+aerosol	0,400	0,280	0,369	0,450	0,719	1,198	1,440	0,967	0,680	0,292	0,424	0,340	0,617	100
FI0036R	inden_123cd_pyrene	air+aerosol	0,032	0,016	0,012	0,002	0,001	0,001	0,001	0,002	0,006	0,002	0,007	0,021	0,009	100
FI0036R	phe-threne	air+aerosol	0,452	0,262	0,201	0,121	0,135	0,169	0,118	0,119	0,139	0,120	0,204	0,369	0,201	100
FI0036R	pp_DDD	air+aerosol	0,090	0,040	0,093	0,030	0,039	0,042	0,060	0,059	0,040	0,031	0,064	0,540	0,095	100
FI0036R	pp_DDE	air+aerosol	0,580	0,280	0,219	0,120	0,167	0,161	0,080	0,068	0,180	0,126	0,369	0,490	0,237	100
FI0036R	pp_DDT	air+aerosol	0,170	0,120	0,052	0,160	0,112	0,073	0,100	0,070	0,050	0,041	0,069	0,050	0,089	100
FI0036R	pyrene	air+aerosol	0,119	0,067	0,053	0,022	0,015	0,022	0,016	0,020	0,032	0,024	0,043	0,091	0,044	100
FI0050R	anthracene	pm10	0,022	0,046	0,014	0,004	0,002	0,002	0,002	0,002	0,002	0,006	0,018	0,079	0,017	100
FI0050R	benz_a_anthracene	pm10	0,128	0,197	0,079	0,035	0,017	0,007	0,057	0,023	0,007	0,096	0,068	0,198	0,076	100
FI0050R	benzo_a_pyrene	pm10	0,157	0,238	0,100	0,030	0,029	0,029	0,083	0,030	0,029	0,132	0,106	0,317	0,106	100
FI0050R	benzo_bjk_fluoranthenes	pm10	0,408	0,549	0,211	0,089	0,089	0,049	0,118	0,061	0,009	0,281	0,218	0,622	0,224	100
FI0050R	benzo_ghi_perylene	pm10	0,159	0,226	0,095	0,042	0,018	0,018	0,079	0,019	0,018	0,145	0,107	0,275	0,100	100
FI0050R	chrysene	pm10	0,223	0,315	0,121	0,054	0,037	0,030	0,082	0,033	0,002	0,171	0,104	0,265	0,119	100
FI0050R	dibenzo_ac_ah_anthracenes	pm10	0,012	0,024	0,012	0,012	0,012	0,012	0,012	0,012	0,012	0,012	0,012	0,012	0,013	100
FI0050R	fluoranthene	pm10	0,540	0,851	0,310	0,151	0,064	0,038	0,144	0,056	0,014	0,267	0,251	0,701	0,280	100
FI0050R	inden_123cd_pyrene	pm10	0,141	0,196	0,077	0,035	0,027	0,025	0,076	0,030	0,008	0,115	0,076	0,160	0,080	100
FI0050R	phe-threne	pm10	0,317	0,669	0,193	0,036	0,034	0,034	0,034	0,034	0,034	0,034	0,227	0,563	0,181	100

Site	Comp	Matrix	jan	feb	mar	apr	may	june	july	aug	sept	oct	nov	dec	2021	capture
FI0050R	pyrene	pm10	0,431	0,735	0,253	0,121	0,044	0,023	0,133	0,058	0,009	0,222	0,299	0,698	0,250	100
FR0008R	benz_a_anthracene	pm10	0,027	0,079	0,031	0,022	0,005	0,002	0,002	0,002	0,003	0,019	0,037	0,040	0,021	17
FR0008R	benzo_a_pyrene	pm10	0,048	0,130	0,055	0,037	0,008	0,004	0,004	0,005	0,006	0,035	0,070	0,070	0,038	17
FR0008R	benzo_b_fluoranthene	pm10	0,080	0,221	0,095	0,062	0,016	0,006	0,006	0,008	0,013	0,054	0,103	0,106	0,061	17
FR0008R	benzo_j_fluoranthene	pm10	0,033	0,094	0,039	0,025	0,006	0,004	0,004	0,004	0,007	0,026	0,059	0,055	0,028	17
FR0008R	benzo_k_fluoranthene	pm10	0,032	0,084	0,036	0,024	0,006	0,004	0,004	0,004	0,005	0,024	0,045	0,043	0,025	17
FR0008R	dibenzo_ah_anthracene	pm10	0,010	0,026	0,011	0,008	0,004	0,004	0,004	0,004	0,004	0,009	0,017	0,015	0,009	17
FR0008R	inden_123cd_pyrene	pm10	0,063	0,146	0,058	0,045	0,014	0,004	0,005	0,008	0,009	0,044	0,094	0,077	0,046	17
FR0009R	benz_a_anthracene	pm10	0,048	0,039	0,038	0,027	0,008	0,003	0,002	0,005	0,006	0,019	0,036	0,033	0,022	17
FR0009R	benzo_a_pyrene	pm10	0,086	0,078	0,068	0,045	0,015	0,006	0,005	0,009	0,010	0,044	0,066	0,065	0,041	17
FR0009R	benzo_b_fluoranthene	pm10	0,172	0,129	0,128	0,084	0,027	0,012	0,011	0,017	0,023	0,071	0,126	0,131	0,078	17
FR0009R	benzo_j_fluoranthene	pm10	0,070	0,055	0,050	0,032	0,009	0,004	0,004	0,006	0,010	0,034	0,062	0,064	0,033	17
FR0009R	benzo_k_fluoranthene	pm10	0,062	0,049	0,045	0,032	0,010	0,005	0,004	0,007	0,008	0,028	0,050	0,050	0,029	17
FR0009R	dibenzo_ah_anthracene	pm10	0,025	0,017	0,014	0,012	0,004	0,004	0,004	0,004	0,004	0,012	0,019	0,020	0,011	17
FR0009R	inden_123cd_pyrene	pm10	0,128	0,097	0,085	0,054	0,020	0,007	0,004	0,008	0,015	0,052	0,095	0,089	0,054	17
FR0013R	benz_a_anthracene	pm10	0,023	0,014	0,010	0,015	0,002	0,002	0,002	0,002	0,003	0,004	0,012	0,027	0,010	17
FR0013R	benzo_a_pyrene	pm10	0,061	0,041	0,023	0,028	0,005	0,004	0,005	0,004	0,006	0,012	0,037	0,069	0,024	17
FR0013R	benzo_b_fluoranthene	pm10	0,133	0,081	0,050	0,077	0,011	0,007	0,006	0,004	0,013	0,024	0,070	0,155	0,052	17
FR0013R	benzo_j_fluoranthene	pm10	0,057	0,034	0,024	0,028	0,004	0,004	0,004	0,004	0,006	0,012	0,039	0,080	0,024	17
FR0013R	benzo_k_fluoranthene	pm10	0,048	0,030	0,016	0,024	0,004	0,004	0,004	0,004	0,005	0,008	0,029	0,060	0,019	17
FR0013R	dibenzo_ah_anthracene	pm10	0,016	0,014	0,008	0,009	0,004	0,004	0,004	0,004	0,004	0,005	0,012	0,027	0,009	17
FR0013R	inden_123cd_pyrene	pm10	0,081	0,073	0,048	0,049	0,008	0,005	0,005	0,004	0,010	0,024	0,066	0,112	0,040	17
FR0023R	benz_a_anthracene	pm10	0,112	0,128	0,052	0,013	0,007	0,002	0,002	0,002	0,007	0,017	0,092	0,117	0,045	17
FR0023R	benzo_a_pyrene	pm10	0,192	0,221	0,088	0,026	0,015	0,004	0,004	0,004	0,023	0,037	0,146	0,199	0,078	17
FR0023R	benzo_b_fluoranthene	pm10	0,262	0,288	0,147	0,051	0,028	0,005	0,008	0,004	0,042	0,052	0,166	0,239	0,105	17
FR0023R	benzo_j_fluoranthene	pm10	0,119	0,134	0,063	0,020	0,012	0,004	0,005	0,004	0,028	0,029	0,108	0,134	0,054	17
FR0023R	benzo_k_fluoranthene	pm10	0,103	0,113	0,055	0,020	0,011	0,004	0,004	0,004	0,022	0,023	0,084	0,106	0,045	17

Site	Comp	Matrix	jan	feb	mar	apr	may	june	july	aug	sept	oct	nov	dec	2021	capture
FR0023R	dibenzo_ah_anthracene	pm10	0,033	0,038	0,018	0,007	0,005	0,004	0,004	0,004	0,009	0,010	0,024	0,030	0,015	17
FR0023R	inden_123cd_pyrene	pm10	0,192	0,208	0,101	0,035	0,025	0,005	0,006	0,004	0,048	0,051	0,150	0,186	0,083	17
FR0025R	benz_a_anthracene	pm10	0,090	0,089	0,158	0,043	0,006	0,002	0,002	0,003	0,002	0,021	0,254	0,045	0,060	17
FR0025R	benzo_a_pyrene	pm10	0,158	0,174	0,246	0,085	0,015	0,005	0,004	0,013	0,005	0,058	0,300	0,093	0,096	17
FR0025R	benzo_b_fluoranthene	pm10	0,211	0,281	0,413	0,180	0,029	0,012	0,007	0,037	0,009	0,087	0,465	0,199	0,161	17
FR0025R	benzo_j_fluoranthene	pm10	0,097	0,121	0,201	0,071	0,012	0,005	0,004	0,019	0,005	0,048	0,279	0,102	0,081	17
FR0025R	benzo_k_fluoranthene	pm10	0,081	0,102	0,165	0,063	0,011	0,005	0,004	0,014	0,004	0,034	0,210	0,077	0,064	17
FR0025R	dibenzo_ah_anthracene	pm10	0,032	0,035	0,042	0,020	0,005	0,004	0,004	0,010	0,004	0,018	0,061	0,033	0,022	17
FR0025R	inden_123cd_pyrene	pm10	0,168	0,195	0,274	0,123	0,024	0,008	0,006	0,034	0,010	0,081	0,352	0,148	0,119	17
FR0028R	benz_a_anthracene	pm10	0,010	0,016	0,015	0,009	0,002	0,002	0,002	0,002	0,002	0,002	0,004	0,007	0,006	16
FR0028R	benzo_a_pyrene	pm10	0,016	0,029	0,033	0,015	0,006	0,004	0,005	0,004	0,006	0,004	0,009	0,013	0,012	16
FR0028R	benzo_b_fluoranthene	pm10	0,051	0,094	0,079	0,033	0,011	0,004	0,008	0,004	0,010	0,007	0,027	0,039	0,030	16
FR0028R	benzo_j_fluoranthene	pm10	0,019	0,033	0,029	0,011	0,005	0,004	0,005	0,004	0,004	0,004	0,009	0,015	0,011	16
FR0028R	benzo_k_fluoranthene	pm10	0,017	0,029	0,027	0,012	0,006	0,004	0,005	0,004	0,004	0,004	0,008	0,011	0,011	16
FR0028R	dibenzo_ah_anthracene	pm10	0,006	0,009	0,009	0,004	0,004	0,004	0,004	0,004	0,004	0,004	0,004	0,007	0,005	16
FR0028R	inden_123cd_pyrene	pm10	0,035	0,054	0,050	0,022	0,006	0,004	0,005	0,004	0,007	0,006	0,020	0,028	0,020	16
GB0014R	anthanthrene	aerosol	0,010	0,010	0,010	0,010	0,010	0,010	0,010	0,010	0,010	0,010	0,010	0,300	0,035	100
GB0014R	benz_a_anthracene	aerosol	0,010	0,010	0,010	0,010	0,010	0,010	0,010	0,010	0,010	0,010	0,010	0,010	0,010	100
GB0014R	benzo_a_pyrene	aerosol	0,010	0,010	0,040	0,010	0,010	0,010	0,010	0,010	0,010	0,010	0,010	0,010	0,013	100
GB0014R	benzo_b_fluoranthene	aerosol	0,070	0,073	0,072	0,010	0,010	0,010	0,010	0,010	0,010	0,010	0,076	0,098	0,038	100
GB0014R	benzo_e_pyrene	aerosol	0,073	0,062	0,071	0,010	0,010	0,010	0,010	0,010	0,010	0,010	0,063	0,098	0,036	100
GB0014R	benzo_ghi_perylene	aerosol	0,081	0,070	0,086	0,010	0,040	0,010	0,010	0,010	0,010	0,042	0,070	0,097	0,045	100
GB0014R	benzo_j_fluoranthene	aerosol	0,010	0,010	0,010	0,010	0,010	0,010	0,010	0,010	0,010	0,010	0,010	0,044	0,013	100
GB0014R	benzo_k_fluoranthene	aerosol	0,010	0,010	0,010	0,010	0,010	0,010	0,010	0,010	0,010	0,010	0,010	0,010	0,010	100
GB0014R	chrysene	aerosol	0,042	0,010	0,049	0,010	0,010	0,010	0,010	0,010	0,010	0,010	0,010	0,045	0,019	100
GB0014R	coronene	aerosol	0,010	0,010	0,010	0,010	0,010	0,010	0,010	0,010	0,010	0,010	0,010	0,010	0,010	100
GB0014R	cyclopenta_cd_pyrene	aerosol	0,010	0,010	0,010	0,010	0,010	0,010	0,010	0,010	0,010	0,010	0,010	0,010	0,010	100

Site	Comp	Matrix	jan	feb	mar	apr	may	june	july	aug	sept	oct	nov	dec	2021	capture
GB0014R	dibenzo_ac_anthracene	aerosol	0,010	0,010	0,010	0,010	0,010	0,010	0,010	0,010	0,010	0,010	0,010	0,010	0,010	100
GB0014R	dibenzo_ah_anthracene	aerosol	0,010	0,010	0,010	0,010	0,010	0,010	0,010	0,010	0,010	0,010	0,010	0,010	0,010	100
GB0014R	dibenzo_ai_pyrene	aerosol	0,010	0,010	0,010	0,010	0,010	0,010	0,010	0,010	0,010	0,010	0,010	0,010	0,010	100
GB0014R	inden_123cd_pyrene	aerosol	0,043	0,056	0,062	0,010	0,010	0,010	0,010	0,010	0,010	0,010	0,048	0,067	0,029	100
GB0014R	perylene	aerosol	0,010	0,010	0,010	0,010	0,010	0,010	0,010	0,010	0,010	0,010	0,010	0,010	0,010	100
GB0048R	anthanthrene	pm10	0,010	0,010	0,010	0,092	0,010	0,010	0,010	0,010	0,010	0,010	0,010	0,010	0,017	100
GB0048R	benz_a_anthracene	pm10	0,010	0,010	0,010	0,087	0,010	0,010	0,010	0,010	0,010	0,010	0,010	0,010	0,016	100
GB0048R	benzo_a_pyrene	pm10	0,010	0,010	0,010	0,120	0,010	0,010	0,010	0,010	0,010	0,010	0,010	0,010	0,019	100
GB0048R	benzo_b_fluoranthene	pm10	0,089	0,041	0,056	0,170	0,010	0,010	0,010	0,010	0,010	0,010	0,010	0,054	0,040	100
GB0048R	benzo_e_pyrene	pm10	0,079	0,010	0,044	0,140	0,010	0,010	0,010	0,010	0,010	0,010	0,010	0,052	0,033	100
GB0048R	benzo_ghi_perylene	pm10	0,088	0,046	0,067	0,160	0,010	0,010	0,010	0,010	0,010	0,010	0,010	0,066	0,041	100
GB0048R	benzo_j_fluoranthene	pm10	0,049	0,010	0,010	0,099	0,010	0,010	0,010	0,010	0,010	0,010	0,010	0,010	0,021	100
GB0048R	benzo_k_fluoranthene	pm10	0,010	0,010	0,010	0,078	0,010	0,010	0,010	0,010	0,010	0,010	0,010	0,010	0,016	100
GB0048R	chrysene	pm10	0,057	0,010	0,041	0,110	0,010	0,010	0,010	0,010	0,010	0,010	0,010	0,010	0,025	100
GB0048R	coronene	pm10	0,010	0,010	0,010	0,060	0,010	0,010	0,010	0,010	0,010	0,010	0,010	0,010	0,014	100
GB0048R	cyclopenta_cd_pyrene	pm10	0,010	0,010	0,010	0,150	0,010	0,010	0,010	0,010	0,010	0,010	0,010	0,010	0,022	100
GB0048R	dibenzo_ac_anthracene	pm10	0,010	0,010	0,010	0,010	0,010	0,010	0,010	0,010	0,010	0,010	0,010	0,010	0,010	100
GB0048R	dibenzo_ae_pyrene	pm10	0,010	0,010	0,010	0,010	0,010	0,010	0,010	0,010	0,010	0,010	0,010	0,010	0,010	100
GB0048R	dibenzo_ah_anthracene	pm10	0,010	0,010	0,010	0,010	0,010	0,010	0,010	0,010	0,010	0,010	0,010	0,010	0,010	100
GB0048R	dibenzo_ah_pyrene	pm10	0,010	0,010	0,010	0,010	0,010	0,010	0,010	0,010	0,010	0,010	0,010	0,010	0,010	100
GB0048R	dibenzo_ai_pyrene	pm10	0,010	0,010	0,010	0,010	0,010	0,010	0,010	0,010	0,010	0,010	0,010	0,010	0,010	100
GB0048R	inden_123cd_pyrene	pm10	0,056	0,010	0,051	0,140	0,010	0,010	0,010	0,010	0,010	0,010	0,010	0,049	0,031	100
GB0048R	perylene	pm10	0,010	0,010	0,010	0,010	0,010	0,010	0,010	0,010	0,010	0,010	0,010	0,010	0,010	100
GB1055R	anthanthrene	pm10	0,010	0,010	0,041	0,150	0,010	0,010	0,010	0,010	0,010	0,010	0,072	0,010	0,029	100
GB1055R	benz_a_anthracene	pm10	0,120	0,044	0,085	0,140	0,010	0,010	0,010	0,010	0,010	0,010	0,130	0,057	0,053	100
GB1055R	benzo_a_pyrene	pm10	0,150	0,077	0,130	0,190	0,010	0,010	0,010	0,010	0,010	0,010	0,170	0,063	0,070	100
GB1055R	benzo_b_fluoranthene	pm10	0,260	0,160	0,200	0,250	0,064	0,010	0,010	0,010	0,010	0,010	0,240	0,130	0,112	100

Site	Comp	Matrix	jan	feb	mar	apr	may	june	july	aug	sept	oct	nov	dec	2021	capture
GB1055R	benzo_e_pyrene	pm10	0,210	0,120	0,150	0,200	0,047	0,010	0,010	0,010	0,010	0,010	0,180	0,096	0,087	100
GB1055R	benzo_ghi_perylene	pm10	0,220	0,130	0,170	0,230	0,010	0,010	0,010	0,010	0,010	0,047	0,200	0,110	0,096	100
GB1055R	benzo_j_fluoranthene	pm10	0,130	0,088	0,110	0,140	0,010	0,010	0,010	0,010	0,010	0,010	0,130	0,068	0,060	100
GB1055R	benzo_k_fluoranthene	pm10	0,110	0,063	0,089	0,110	0,010	0,010	0,010	0,010	0,010	0,010	0,110	0,052	0,049	100
GB1055R	chrysene	pm10	0,200	0,092	0,120	0,170	0,010	0,010	0,010	0,010	0,010	0,010	0,130	0,062	0,069	100
GB1055R	coronene	pm10	0,076	0,045	0,062	0,083	0,010	0,010	0,010	0,010	0,010	0,010	0,071	0,042	0,036	100
GB1055R	cyclopenta_cd_pyrene	pm10	0,080	0,010	0,062	0,230	0,010	0,010	0,010	0,010	0,010	0,010	0,084	0,010	0,045	100
GB1055R	dibenzo_ac_anthracene	pm10	0,010	0,010	0,010	0,010	0,010	0,010	0,010	0,010	0,010	0,010	0,010	0,010	0,010	100
GB1055R	dibenzo_ae_pyrene	pm10	0,010	0,010	0,010	0,010	0,010	0,010	0,010	0,010	0,010	0,010	0,010	0,010	0,010	100
GB1055R	dibenzo_ah_anthracene	pm10	0,010	0,010	0,010	0,010	0,010	0,010	0,010	0,010	0,010	0,010	0,010	0,010	0,010	100
GB1055R	dibenzo_ah_pyrene	pm10	0,010	0,010	0,010	0,010	0,010	0,010	0,010	0,010	0,010	0,010	0,010	0,010	0,010	100
GB1055R	dibenzo_ai_pyrene	pm10	0,010	0,010	0,010	0,010	0,010	0,010	0,010	0,010	0,010	0,010	0,010	0,010	0,010	100
GB1055R	inden_123cd_pyrene	pm10	0,160	0,120	0,150	0,190	0,010	0,010	0,010	0,010	0,010	0,010	0,180	0,095	0,079	100
GB1055R	perylene	pm10	0,010	0,010	0,010	0,010	0,010	0,010	0,010	0,010	0,010	0,010	0,010	0,010	0,010	100
HR0002R	benz_a_anthracene	pm10	0,142	0,158	0,140	0,081	0,025	0,011	0,011	0,010	0,018	0,060	0,070	0,117	0,070	95
HR0002R	benzo_a_pyrene	pm10	0,100	0,100	0,107	0,054	0,017	0,010	0,011	0,011	0,015	0,050	0,059	0,055	0,049	95
HR0002R	benzo_bjk_fluoranthenes	pm10	0,252	0,295	0,282	0,141	0,068	0,028	0,027	0,026	0,047	0,144	0,142	0,219	0,138	95
HR0002R	benzo_ghi_perylene	pm10	0,103	0,115	0,116	0,064	0,020	0,012	0,010	0,011	0,017	0,068	0,080	0,114	0,060	95
HR0002R	chrysene	pm10	0,198	0,221	0,181	0,091	0,027	0,018	0,012	0,013	0,029	0,082	0,075	0,151	0,091	95
HR0002R	dibenzo_ah_anthracene	pm10	0,077	0,028	0,015	0,011	0,010	0,010	0,010	0,010	0,010	0,011	0,012	0,014	0,018	95
HR0002R	inden_123cd_pyrene	pm10	0,177	0,184	0,220	0,125	0,039	0,018	0,015	0,016	0,032	0,139	0,151	0,217	0,110	95
IS0091R	BDE_100	air+aerosol	0,108	0,090	0,110	0,106	0,090	0,196	0,162	0,105	0,254	0,088	0,096	0,080	0,118	96
IS0091R	BDE_47	air+aerosol	0,108	0,090	0,110	0,118	0,150	0,196	0,162	0,105	0,220	0,148	0,102	0,184	0,138	96
IS0091R	BDE_99	air+aerosol	0,108	0,090	0,110	0,106	0,090	0,196	0,162	0,103	0,110	0,088	0,096	0,080	0,112	96
IS0091R	HCB	air+aerosol	6,784	4,316	4,718	5,399	5,515	4,117	5,115	1,335	3,975	7,640	6,527	6,881	5,252	96
IS0091R	PCB_101	air+aerosol	1,070	0,895	1,098	1,069	0,892	1,123	1,622	0,526	2,177	1,212	0,230	0,276	0,969	96
IS0091R	PCB_105	air+aerosol	0,108	0,090	0,119	0,391	0,413	0,812	0,853	0,336	0,508	0,088	0,096	0,151	0,324	96



Site	Comp	Matrix	jan	feb	mar	apr	may	june	july	aug	sept	oct	nov	dec	2021	capture
IS0091R	PCB_118	air+aerosol	0,267	0,225	0,303	0,336	0,445	0,609	0,812	0,294	1,284	0,310	0,102	0,195	0,398	96
IS0091R	PCB_138	air+aerosol	0,121	0,229	0,185	0,193	0,376	1,105	1,025	0,469	0,869	0,228	0,104	0,299	0,416	96
IS0091R	PCB_153	air+aerosol	0,135	0,292	0,481	0,497	0,610	1,105	1,117	0,474	0,808	0,262	0,178	0,245	0,506	96
IS0091R	PCB_156	air+aerosol	0,108	0,090	0,110	0,106	0,043	0,193	0,162	0,103	0,110	0,088	0,096	0,080	0,107	96
IS0091R	PCB_180	air+aerosol	0,108	0,090	0,110	0,106	0,051	0,194	0,162	0,103	0,110	0,088	0,096	0,080	0,108	96
IS0091R	PCB_28	air+aerosol	12,321	10,054	9,546	4,669	2,901	2,686	2,317	0,646	2,313	1,337	0,608	0,428	4,193	96
IS0091R	PCB_31	air+aerosol	12,126	10,572	10,124	5,188	3,328	3,029	2,646	0,685	2,492	1,422	0,438	0,397	4,411	96
IS0091R	PCB_52	air+aerosol	2,676	2,241	2,745	2,668	2,231	2,670	4,055	1,219	4,508	1,812	0,522	0,338	2,216	96
IS0091R	alpha_HCH	air+aerosol	1,816	1,333	1,811	1,664	1,408	1,057	1,212	0,462	1,318	1,828	1,878	1,549	1,450	96
IS0091R	beta_HCH	air+aerosol	0,108	0,090	0,117	0,243	0,090	0,669	1,041	0,309	0,466	0,204	0,107	0,134	0,292	96
IS0091R	cis_CD	air+aerosol	0,534	0,632	0,591	0,705	0,596	1,125	1,209	0,511	1,221	0,698	0,629	0,762	0,749	96
IS0091R	dieldrin	air+aerosol	0,356	0,440	0,378	0,537	0,455	1,109	1,156	0,507	1,398	0,770	0,776	0,789	0,695	96
IS0091R	gamma_HCH	air+aerosol	2,629	3,176	4,646	3,710	3,108	3,085	2,403	0,594	1,958	0,915	0,502	0,341	2,259	96
IS0091R	op_DDT	air+aerosol	0,108	0,090	0,110	0,106	0,090	0,196	0,162	0,103	0,110	0,088	0,096	0,139	0,117	96
IS0091R	pp_DDD	air+aerosol	0,108	0,090	0,110	0,106	0,090	0,196	0,162	0,103	0,110	0,088	0,096	0,080	0,112	96
IS0091R	pp_DDE	air+aerosol	0,108	0,090	0,110	0,106	0,090	0,312	0,185	0,195	0,364	0,305	0,642	0,782	0,271	96
IS0091R	pp_DDT	air+aerosol	0,213	0,178	0,220	0,214	0,177	0,391	0,325	0,148	0,224	0,173	0,192	0,161	0,218	96
IS0091R	trans_CD	air+aerosol	0,773	1,182	1,275	1,469	1,609	4,220	5,352	2,322	4,146	0,809	0,361	0,385	1,906	96
IS0091R	trans_NO	air+aerosol	0,540	0,574	0,628	0,703	0,613	0,754	0,804	0,378	0,865	0,601	0,601	0,726	0,640	96
LV0010R	benz_a_anthracene	pm10	2,141	1,775	0,353	0,266	0,257	0,100	0,063	0,081	0,227	0,554	0,476	1,719	0,631	48
LV0010R	benzo_a_pyrene	pm10	1,667	1,062	0,225	0,163	0,165	0,046	0,031	0,046	0,206	0,495	0,390	0,947	0,431	48
LV0010R	benzo_b_fluoranthene	pm10	2,245	1,485	0,271	0,220	0,283	0,106	0,060	0,086	0,331	0,736	0,592	1,438	0,623	48
LV0010R	benzo_k_fluoranthene	pm10	1,163	0,832	0,185	0,133	0,178	0,061	0,040	0,049	0,223	0,473	0,387	0,946	0,370	48
LV0010R	dibenzo_ah_anthracene	pm10	0,219	0,182	0,016	0,013	0,040	0,007	0,007	0,007	0,059	0,150	0,218	0,462	0,108	48
LV0010R	inden_123cd_pyrene	pm10	1,884	1,241	0,223	0,180	0,239	0,039	0,024	0,060	0,262	0,616	0,667	1,200	0,527	48
NL0091R	benz_a_anthracene	pm10	0,023	0,042	0,010	0,008	0,003	0,010	0,004	0,004	0,006	0,012	0,030	0,047	0,016	49
NL0091R	benzo_a_pyrene	pm10	0,034	0,072	0,014	0,009	0,004	0,014	0,005	0,007	0,009	0,020	0,045	0,075	0,025	49

Site	Comp	Matrix	jan	feb	mar	apr	may	june	july	aug	sept	oct	nov	dec	2021	capture
NL0091R	benzo_bjk_fluoranthenes	pm10	0,186	0,312	0,081	0,056	0,021	0,051	0,026	0,024	0,036	0,099	0,212	0,329	0,115	49
NL0091R	benzo_ghi_perylene	pm10	0,077	0,130	0,033	0,021	0,009	0,019	0,012	0,016	0,017	0,044	0,090	0,132	0,048	49
NL0091R	chrysene	pm10	0,047	0,084	0,023	0,016	0,006	0,018	0,007	0,007	0,012	0,022	0,050	0,091	0,031	49
NL0091R	dibenzo_ah_anthracene	pm10	0,011	0,018	0,005	0,004	0,001	0,005	0,003	0,005	0,004	0,007	0,018	0,021	0,008	49
NL0091R	indeno_123cd_perylene	pm10	0,071	0,118	0,029	0,020	0,008	0,018	0,010	0,010	0,015	0,037	0,078	0,114	0,042	49
NO0002R	a_HBCD	air+aerosol	0,009	0,011	0,009	0,009	0,009	0,009	0,009	0,009	0,009	0,009	0,009	0,016	0,010	48
NO0002R	b_HBCD	air+aerosol	0,007	0,007	0,007	0,007	0,007	0,007	0,007	0,007	0,007	0,007	0,007	0,007	0,007	48
NO0002R	g_HBCD	air+aerosol	0,009	0,009	0,009	0,009	0,009	0,009	0,009	0,009	0,009	0,009	0,009	0,009	0,009	48
NO0002R	1-methylnaphthalene	air+aerosol	0,298	0,137	0,074	0,019	0,017	0,017	0,013	0,014	0,025	0,065	0,093	0,167	0,076	14
NO0002R	1-methylphe-threne	air+aerosol	0,076	0,070	0,104	0,033	0,025	0,021	0,026	0,016	0,026	0,035	0,077	0,119	0,053	13
NO0002R	2-methylanthracene	air+aerosol	0,004	0,004	0,004	0,004	0,004	0,005	0,004	0,004	0,004	0,006	0,008	0,004	0,005	13
NO0002R	2-methylnaphthalene	air+aerosol	0,320	0,153	0,095	0,028	0,028	0,025	0,022	0,022	0,034	0,086	0,126	0,185	0,092	14
NO0002R	2-methylphe-threne	air+aerosol	0,081	0,113	0,093	0,039	0,037	0,048	0,054	0,032	0,051	0,056	0,097	0,129	0,069	14
NO0002R	3-methylphe-threne	air+aerosol	0,066	0,090	0,065	0,034	0,030	0,043	0,050	0,030	0,045	0,050	0,085	0,102	0,058	14
NO0002R	9-methylphe-threne	air+aerosol	0,025	0,027	0,024	0,013	0,011	0,014	0,016	0,011	0,016	0,018	0,034	0,044	0,021	14
NO0002R	BDE_100	air+aerosol	0,076	0,019	0,005	0,011	0,005	0,019	0,007	0,006	0,005	0,011	0,006	0,007	0,015	53
NO0002R	BDE_119	air+aerosol	0,120	0,010	0,002	0,002	0,002	0,002	0,002	0,002	0,002	0,002	0,002	0,002	0,013	53
NO0002R	BDE_138	air+aerosol	0,268	0,041	0,002	0,002	0,002	0,002	0,002	0,002	0,002	0,002	0,002	0,002	0,027	53
NO0002R	BDE_153	air+aerosol	0,242	-	0,002	0,004	0,003	0,006	0,003	0,002	0,003	0,012	0,002	0,005	0,026	48
NO0002R	BDE_154	air+aerosol	0,171	0,029	0,002	0,003	0,003	0,008	0,003	0,002	0,002	0,006	0,002	0,004	0,020	53
NO0002R	BDE_183	air+aerosol	0,062	0,052	0,003	0,008	0,004	0,013	0,009	0,003	0,008	0,013	-	0,009	0,016	48
NO0002R	BDE_196	air+aerosol	0,044	0,028	0,009	0,004	0,006	0,004	0,004	0,004	0,004	0,004	0,004	0,004	0,010	53
NO0002R	BDE_206	air+aerosol	0,128	0,104	0,148	0,079	0,237	0,054	0,053	0,053	0,053	0,053	0,053	0,053	0,089	53
NO0002R	BDE_209	air+aerosol	0,883	1,160	4,676	1,280	4,310	0,563	0,562	0,562	0,556	0,560	0,556	0,553	1,362	53
NO0002R	BDE_28	air+aerosol	0,007	-	0,005	0,010	0,014	0,019	0,009	0,006	0,008	0,013	0,006	0,006	0,009	48
NO0002R	BDE_47	air+aerosol	0,086	-	0,076	0,189	0,147	0,221	0,080	0,076	0,061	0,092	0,062	0,053	0,103	48
NO0002R	BDE_49	air+aerosol	0,129	0,005	0,005	0,010	0,015	0,026	0,009	0,006	0,006	0,021	0,005	0,006	0,020	53

Site	Comp	Matrix	jan	feb	mar	apr	may	june	july	aug	sept	oct	nov	dec	2021	capture
NO0002R	BDE_66	air+aerosol	0,133	0,007	0,002	0,004	0,009	0,015	0,005	0,004	0,003	0,013	0,003	0,004	0,017	53
NO0002R	BDE_71	air+aerosol	0,126	0,002	0,001	0,002	0,003	0,002	0,001	0,001	0,001	0,002	0,001	0,001	0,012	53
NO0002R	BDE_77	air+aerosol	0,033	0,006	0,001	0,001	0,001	0,002	0,001	0,001	0,001	0,001	0,001	0,001	0,004	53
NO0002R	BDE_85	air+aerosol	0,152	-	0,001	0,001	0,001	0,001	0,001	0,001	0,001	0,003	0,001	0,001	0,015	48
NO0002R	BDE_99	air+aerosol	0,106	0,071	0,015	0,031	0,027	0,068	0,022	0,020	0,017	0,064	0,019	0,029	0,041	53
NO0002R	HCB	air+aerosol	50,968	62,286	56,971	49,930	40,208	24,570	20,068	23,451	27,384	35,083	37,975	46,733	39,411	14
NO0002R	PCB_101	air+aerosol	0,161	0,339	0,320	0,188	0,379	0,593	0,610	0,445	0,476	0,807	0,238	0,226	0,406	14
NO0002R	PCB_105	air+aerosol	0,012	0,028	0,021	0,012	0,028	0,043	0,047	0,038	0,033	0,050	0,016	0,018	0,030	13
NO0002R	PCB_114	air+aerosol	0,002	0,002	0,002	0,002	0,002	0,005	0,005	0,005	0,003	0,004	0,002	0,002	0,003	13
NO0002R	PCB_118	air+aerosol	0,039	0,075	0,074	0,045	0,095	0,146	0,164	0,132	0,113	0,191	0,059	0,063	0,102	14
NO0002R	PCB_122	air+aerosol	0,002	0,003	0,003	0,002	0,002	0,005	0,006	0,005	0,005	0,007	0,002	0,002	0,004	14
NO0002R	PCB_123	air+aerosol	0,002	0,003	0,003	0,002	0,003	0,003	0,004	0,004	0,004	0,005	0,002	0,002	0,003	14
NO0002R	PCB_128	air+aerosol	0,005	0,009	0,010	0,006	0,017	0,029	0,032	0,023	0,022	0,035	0,010	0,011	0,018	13
NO0002R	PCB_138	air+aerosol	0,046	0,091	0,094	0,056	0,141	0,235	0,265	0,179	0,180	0,277	0,082	0,079	0,147	14
NO0002R	PCB_141	air+aerosol	0,016	0,027	0,023	0,016	0,040	0,067	0,072	0,047	0,052	0,071	0,023	0,022	0,040	14
NO0002R	PCB_149	air+aerosol	0,095	0,174	0,192	0,114	0,276	0,460	0,480	0,301	0,356	0,569	0,145	0,133	0,280	14
NO0002R	PCB_153	air+aerosol	0,080	0,175	0,174	0,098	0,227	0,355	0,385	0,258	0,288	0,476	0,137	0,128	0,236	14
NO0002R	PCB_156	air+aerosol	0,003	0,004	0,004	0,003	0,007	0,011	0,010	0,007	0,007	0,010	0,003	0,004	0,006	13
NO0002R	PCB_157	air+aerosol	0,001	0,001	0,001	0,001	0,001	0,002	0,002	0,001	0,001	0,002	0,001	0,001	0,001	13
NO0002R	PCB_167	air+aerosol	0,002	0,002	0,003	0,001	0,003	0,004	0,006	0,004	0,004	0,006	0,002	0,002	0,003	13
NO0002R	PCB_170	air+aerosol	0,009	0,012	0,011	0,010	0,013	0,020	0,020	0,015	0,017	0,022	0,010	0,010	0,014	13
NO0002R	PCB_18	air+aerosol	1,226	1,521	0,947	0,500	0,667	1,236	0,768	0,866	0,998	1,758	0,715	1,093	1,040	14
NO0002R	PCB_180	air+aerosol	0,027	0,034	0,031	0,028	0,044	0,074	0,075	0,049	0,057	0,075	0,029	0,030	0,047	14
NO0002R	PCB_183	air+aerosol	0,010	0,014	0,013	0,009	0,020	0,031	0,034	0,022	0,024	0,033	0,011	0,011	0,019	14
NO0002R	PCB_187	air+aerosol	0,022	0,042	0,041	0,022	0,056	0,088	0,098	0,060	0,067	0,114	0,033	0,031	0,057	14
NO0002R	PCB_189	air+aerosol	0,001	0,001	0,001	0,001	0,002	0,003	0,001	0,001	0,001	0,001	0,001	0,001	0,001	14
NO0002R	PCB_194	air+aerosol	0,003	0,003	0,004	0,003	0,003	0,009	0,005	0,004	0,004	0,005	0,003	0,003	0,004	14

Site	Comp	Matrix	jan	feb	mar	apr	may	june	july	aug	sept	oct	nov	dec	2021	capture
NO0002R	PCB_206	air+aerosol	0,003	0,003	0,003	0,003	0,004	0,004	0,004	0,003	0,003	0,003	0,003	0,003	0,003	13
NO0002R	PCB_209	air+aerosol	0,002	0,002	0,002	0,002	0,002	0,003	0,002	0,003	0,002	0,003	0,002	0,002	0,002	13
NO0002R	PCB_28	air+aerosol	0,459	0,664	0,499	0,297	0,481	0,788	0,630	0,632	0,700	1,040	0,362	0,504	0,596	14
NO0002R	PCB_31	air+aerosol	0,430	0,633	0,468	0,278	0,432	0,721	0,563	0,548	0,634	0,982	0,338	0,457	0,548	14
NO0002R	PCB_33	air+aerosol	0,232	0,348	0,249	0,142	0,221	0,384	0,304	0,297	0,356	0,543	0,194	0,268	0,300	14
NO0002R	PCB_37	air+aerosol	0,030	0,045	0,040	0,021	0,038	0,064	0,066	0,062	0,061	0,098	0,032	0,044	0,051	14
NO0002R	PCB_47	air+aerosol	0,222	0,386	0,377	0,307	0,653	1,198	1,198	0,773	0,768	0,844	0,332	0,303	0,603	14
NO0002R	PCB_52	air+aerosol	0,420	0,730	0,650	0,392	0,594	0,930	0,795	0,637	0,749	1,260	0,417	0,454	0,679	14
NO0002R	PCB_66	air+aerosol	0,071	0,125	0,123	0,072	0,126	0,190	0,191	0,166	0,194	0,302	0,086	0,094	0,148	14
NO0002R	PCB_74	air+aerosol	0,056	0,100	0,092	0,062	0,096	0,141	0,137	0,127	0,149	0,225	0,068	0,075	0,113	14
NO0002R	PCB_99	air+aerosol	0,060	0,119	0,120	0,072	0,128	0,184	0,188	0,158	0,148	0,283	0,089	0,089	0,139	14
NO0002R	TBA	air+aerosol	12,300	5,740	2,876	2,400	3,320	4,340	4,100	3,700	3,750	6,610	4,310	7,280	5,055	53
NO0002R	acenaphthene	air+aerosol	0,134	0,061	0,144	0,050	0,041	0,072	0,033	0,043	0,138	0,072	0,075	0,109	0,082	14
NO0002R	acenaphthylene	air+aerosol	0,140	0,027	0,140	0,067	0,008	0,003	0,002	0,003	0,004	0,023	0,102	0,093	0,052	14
NO0002R	alpha_HCH	air+aerosol	1,970	2,210	2,450	2,240	-	3,470	2,900	4,110	5,650	4,410	2,410	2,600	3,129	3
NO0002R	anthanthrene	air+aerosol	0,006	0,003	0,003	0,002	0,001	0,001	0,001	0,001	0,001	0,003	0,004	0,015	0,003	14
NO0002R	anthracene	air+aerosol	0,044	0,013	0,049	0,041	0,006	0,004	0,002	0,003	0,007	0,015	0,055	0,033	0,024	13
NO0002R	benz_a_anthracene	air+aerosol	0,026	0,024	0,017	0,008	0,004	0,005	0,003	0,002	0,004	0,008	0,035	0,083	0,018	14
NO0002R	benzo_a_fluoranthene	air+aerosol	0,009	0,007	0,005	0,003	0,001	0,002	0,001	0,001	0,001	0,002	0,006	0,024	0,005	14
NO0002R	benzo_a_fluorene	air+aerosol	0,016	0,016	0,011	0,005	0,004	0,003	0,004	0,002	0,005	0,009	0,024	0,056	0,013	14
NO0002R	benzo_a_pyrene	air+aerosol	0,032	0,024	0,023	0,011	0,004	0,008	0,004	0,004	0,003	0,005	0,024	0,091	0,019	14
NO0002R	benzo_b_fluoranthene	air+aerosol	0,061	0,075	0,066	0,028	0,015	0,043	0,012	0,026	0,022	0,030	0,086	0,186	0,055	14
NO0002R	benzo_b_fluorene	air+aerosol	0,011	0,007	0,006	0,003	0,002	0,002	0,002	0,001	0,002	0,005	0,016	0,038	0,008	14
NO0002R	benzo_e_pyrene	air+aerosol	0,040	0,056	0,051	0,021	0,010	0,039	0,011	0,015	0,014	0,019	0,052	0,102	0,037	14
NO0002R	benzo_ghi_ptylene	air+aerosol	0,049	0,050	0,038	0,016	0,008	0,021	0,007	0,010	0,010	0,015	0,055	0,121	0,033	14
NO0002R	benzo_j_fluoranthene	air+aerosol	0,035	0,029	0,024	0,011	0,004	0,007	0,003	0,005	0,004	0,009	0,036	0,094	0,022	14
NO0002R	benzo_k_fluoranthene	air+aerosol	0,025	0,023	0,019	0,008	0,003	0,007	0,003	0,006	0,005	0,008	0,030	0,073	0,018	14

Site	Comp	Matrix	jan	feb	mar	apr	may	june	july	aug	sept	oct	nov	dec	2021	capture
NO0002R	biphenyl	air+aerosol	0,839	0,558	0,278	0,102	0,063	0,034	0,025	0,029	0,043	0,102	0,288	0,497	0,233	14
NO0002R	chrysene	air+aerosol	0,071	0,108	0,089	0,037	0,035	0,048	0,021	0,013	0,031	0,036	0,085	0,170	0,062	14
NO0002R	coronene	air+aerosol	0,022	0,022	0,012	0,006	0,003	0,004	0,003	0,003	0,004	0,007	0,021	0,053	0,013	14
NO0002R	cyclopenta_cd_pyrene	air+aerosol	0,002	0,002	0,002	0,002	0,002	0,002	0,002	0,002	0,002	0,002	-	-	0,002	5
NO0002R	dibenzo_ac_anthracene	air+aerosol	0,004	0,005	0,004	0,002	0,002	0,003	0,001	0,001	0,001	0,003	0,004	0,009	0,003	14
NO0002R	dibenzo_ae_pyrene	air+aerosol	0,008	0,009	0,008	0,003	0,003	0,007	0,003	0,003	0,003	0,008	0,008	0,019	0,007	14
NO0002R	dibenzo_ah_anthracene	air+aerosol	0,006	0,008	0,007	0,003	0,002	0,005	0,002	0,001	0,002	0,004	0,007	0,017	0,005	14
NO0002R	dibenzo_ah_pyrene	air+aerosol	0,003	0,003	0,004	0,003	0,003	0,004	0,004	0,002	0,002	0,007	0,003	0,003	0,003	14
NO0002R	dibenzo_ai_pyrene	air+aerosol	0,003	0,003	0,003	0,003	0,003	0,004	0,002	0,002	0,002	0,007	0,002	0,005	0,003	14
NO0002R	dibenzofuran	air+aerosol	2,020	1,685	0,788	0,436	0,315	0,226	0,143	0,159	0,249	0,375	0,804	1,865	0,741	14
NO0002R	dibenzothiophene	air+aerosol	0,009	0,027	0,016	0,014	0,021	0,051	0,036	0,019	0,019	0,016	0,028	0,029	0,024	14
NO0002R	fluoranthene	air+aerosol	0,338	0,349	0,231	0,133	0,108	0,099	0,114	0,098	0,139	0,155	0,350	0,693	0,233	14
NO0002R	fluorene	air+aerosol	1,220	1,024	0,507	0,241	0,206	0,238	0,162	0,185	0,282	0,321	0,708	1,471	0,541	14
NO0002R	gamma_HCH	air+aerosol	0,492	0,455	1,190	0,486	-	4,680	4,510	3,960	7,450	4,190	1,670	0,947	2,729	3
NO0002R	inden_123cd_pyrene	air+aerosol	0,050	0,046	0,035	0,015	0,008	0,012	0,005	0,010	0,008	0,013	0,055	0,135	0,033	14
NO0002R	naphthalene	air+aerosol	0,825	0,414	0,145	0,040	0,039	0,029	0,030	0,030	0,032	0,063	0,218	0,467	0,189	14
NO0002R	op_DDD	air+aerosol	0,007	0,007	0,013	0,007	-	0,028	-	0,025	0,046	0,043	0,019	-	0,022	2
NO0002R	op_DDE	air+aerosol	0,095	0,064	0,097	0,041	-	0,064	0,038	0,069	0,191	0,090	0,043	0,125	0,083	3
NO0002R	op_DDT	air+aerosol	0,117	0,056	0,109	0,038	-	0,200	0,209	0,179	1,060	0,253	0,114	0,184	0,229	3
NO0002R	perylene	air+aerosol	0,006	0,003	0,003	0,002	0,001	0,002	0,001	0,001	0,001	0,002	0,004	0,013	0,003	14
NO0002R	phe-threne	air+aerosol	1,378	1,315	1,089	0,585	0,565	0,669	0,643	0,602	0,681	0,716	1,416	1,755	0,953	14
NO0002R	pp_DDD	air+aerosol	0,007	0,007	0,013	0,007	-	0,021	0,007	-	0,034	0,030	0,007	-	0,015	2
NO0002R	pp_DDE	air+aerosol	1,500	0,519	1,020	0,330	-	0,852	0,681	0,835	2,870	1,780	1,020	1,870	1,207	3
NO0002R	pp_DDT	air+aerosol	0,049	0,020	0,105	0,021	-	0,247	0,268	0,194	1,180	0,354	0,162	0,169	0,252	3
NO0002R	pyrene	air+aerosol	0,187	0,176	0,125	0,076	0,052	0,042	0,055	0,037	0,068	0,092	0,226	0,404	0,128	14
NO0002R	retene	air+aerosol	0,085	0,048	0,177	0,016	0,021	0,012	0,018	0,014	0,031	0,046	0,103	0,140	0,063	13
NO0002R	sum_DDT	air+aerosol	1,775	0,673	1,357	0,443	-	1,411	1,233	1,325	5,382	2,549	1,365	2,393	1,809	3

Site	Comp	Matrix	jan	feb	mar	apr	may	june	july	aug	sept	oct	nov	dec	2021	capture
NO0002R	sum_PCB	air+aerosol	5,034	8,600	7,098	4,095	7,494	12,097	11,187	9,243	10,276	16,271	5,291	6,232	8,718	14
NO0002R	sum_heptachlor_PCB	air+aerosol	-	0,201	0,175	-	0,208	0,329	0,363	0,230	0,243	0,536	0,115	0,129	0,269	8
NO0002R	sum_hexachlor_PCB	air+aerosol	0,438	0,587	0,646	0,351	0,923	1,486	1,563	0,994	1,144	1,888	0,495	0,522	0,967	13
NO0002R	sum_pentachlor_PCB	air+aerosol	0,531	0,890	0,895	0,527	1,140	1,758	1,883	1,449	1,405	2,303	0,708	0,686	1,215	13
NO0002R	sum_tetrachlor_PCB	air+aerosol	2,264	2,555	2,357	1,522	2,643	4,033	4,038	3,120	3,598	5,341	1,723	2,119	3,038	13
NO0002R	sum_trichlor_PCB	air+aerosol	3,279	4,459	3,102	1,688	2,588	4,476	3,330	3,498	3,876	6,405	2,271	3,372	3,586	14
NO0002R	triphenylene	air+aerosol	0,012	0,019	0,021	0,011	0,008	0,017	0,007	0,005	0,007	0,009	0,017	0,034	0,014	14
NO0042G	BDE_100	air+aerosol	0,011	0,011	0,010	0,010	0,020	0,041	0,020	0,013	0,022	0,008	0,010	0,015	0,016	42
NO0042G	BDE_119	air+aerosol	0,003	0,003	0,003	0,003	0,003	0,003	0,004	0,003	0,002	0,003	0,002	0,003	0,003	42
NO0042G	BDE_138	air+aerosol	0,003	0,003	0,003	0,003	0,006	0,008	0,007	0,004	0,003	0,003	0,003	0,003	0,004	42
NO0042G	BDE_153	air+aerosol	0,006	0,003	0,004	0,004	0,006	0,007	0,008	0,004	0,003	0,003	0,003	0,004	0,004	42
NO0042G	BDE_154	air+aerosol	0,004	0,003	0,002	0,003	0,004	0,005	0,008	0,003	0,003	0,002	0,003	0,003	0,004	42
NO0042G	BDE_183	air+aerosol	0,010	0,004	0,006	0,005	0,005	0,005	0,009	0,003	0,003	0,004	0,003	0,004	0,005	39
NO0042G	BDE_196	air+aerosol	0,020	0,007	0,005	0,013	0,013	0,017	0,013	0,009	0,006	0,011	0,007	0,006	0,010	41
NO0042G	BDE_206	air+aerosol	1,370	0,161	0,558	0,330	0,080	0,112	0,266	0,139	0,176	0,362	0,201	0,406	0,325	41
NO0042G	BDE_209	air+aerosol	59,310	6,225	22,005	12,994	2,960	7,543	8,164	5,129	7,773	15,223	11,505	22,719	14,145	42
NO0042G	BDE_28	air+aerosol	0,010	0,009	0,009	0,010	0,012	0,027	0,013	0,012	0,016	0,007	0,011	0,011	0,013	40
NO0042G	BDE_47	air+aerosol	0,126	0,128	0,138	0,141	0,233	0,554	0,173	0,185	0,405	0,113	0,171	0,211	0,221	42
NO0042G	BDE_49	air+aerosol	0,007	0,006	0,007	0,006	0,010	0,020	0,010	0,008	0,015	0,005	0,007	0,009	0,009	42
NO0042G	BDE_66	air+aerosol	0,004	0,003	0,003	0,003	0,004	0,006	0,006	0,003	0,007	0,033	0,004	0,005	0,007	41
NO0042G	BDE_71	air+aerosol	0,001	0,001	0,001	0,001	0,002	0,003	0,004	0,001	0,002	0,001	0,001	0,001	0,002	42
NO0042G	BDE_77	air+aerosol	0,001	0,001	0,001	0,001	0,002	0,002	0,004	0,001	0,001	0,001	0,001	0,001	0,001	42
NO0042G	BDE_85	air+aerosol	0,001	0,001	0,001	0,001	0,003	0,003	0,005	0,002	0,001	0,001	0,001	0,001	0,002	41
NO0042G	BDE_99	air+aerosol	0,030	0,035	0,030	0,027	0,047	0,095	0,062	0,037	0,050	0,025	0,026	0,038	0,042	42
NO0042G	TBA	air+aerosol	5,803	3,150	2,272	1,254	2,714	7,291	10,789	11,313	9,085	9,462	7,453	7,643	6,583	42
NO0042G	a_HBCD	air+aerosol	0,014	0,018	0,032	0,060	0,022	0,301	0,679	0,092	0,038	0,270	0,335	0,031	0,163	20
NO0042G	b_HBCD	air+aerosol	0,011	0,009	0,009	0,012	0,009	0,054	0,138	0,018	0,009	0,048	0,061	0,014	0,034	20

Site	Comp	Matrix	jan	feb	mar	apr	may	june	july	aug	sept	oct	nov	dec	2021	capture
NO0042G	g_HBCD	air+aerosol	0,014	0,012	0,012	0,014	0,012	0,019	0,074	0,013	0,012	0,022	0,056	0,018	0,023	20
NO0042G	1-methylnaphthalene	air+aerosol	0,094	0,046	0,019	0,018	0,013	0,011	0,008	0,022	0,024	0,049	0,150	0,146	0,048	30
NO0042G	1-methylphe-threne	air+aerosol	0,002	0,002	0,001	0,001	0,001	0,002	0,001	0,002	0,002	0,003	0,007	0,003	0,002	28
NO0042G	2-methylanthracene	air+aerosol	0,002	0,004	-	0,002	0,002	0,002	0,002	0,004	0,002	0,002	0,002	0,002	0,002	22
NO0042G	2-methylnaphthalene	air+aerosol	0,111	0,049	0,024	0,027	0,020	0,019	0,013	0,035	0,035	0,072	0,146	0,147	0,057	30
NO0042G	2-methylphe-threne	air+aerosol	0,004	0,003	0,003	0,003	0,003	0,003	0,003	0,003	0,004	0,004	0,009	0,004	0,004	30
NO0042G	3-methylphe-threne	air+aerosol	0,003	0,002	0,002	0,002	0,002	0,002	0,002	0,003	0,003	0,003	0,007	0,003	0,003	30
NO0042G	9-methylphe-threne	air+aerosol	0,002	0,001	0,001	0,001	0,001	0,002	0,001	0,002	0,002	0,002	0,004	0,002	0,002	30
NO0042G	acenaphthene	air+aerosol	0,008	0,005	0,005	0,006	0,008	0,007	0,006	0,007	0,008	0,012	0,009	0,008	0,007	30
NO0042G	acenaphthylene	air+aerosol	0,002	0,001	0,001	0,002	0,002	0,002	0,001	0,002	0,003	0,005	0,004	0,002	0,002	30
NO0042G	anthanthrene	air+aerosol	0,001	0,001	0,001	0,001	0,001	0,001	0,001	0,001	0,001	0,002	0,002	0,001	0,001	30
NO0042G	anthracene	air+aerosol	0,001	0,001	0,001	0,001	0,001	0,002	0,001	0,001	0,001	0,001	0,002	0,001	0,001	30
NO0042G	benz_a_anthracene	air+aerosol	0,001	0,001	0,001	0,001	0,001	0,001	0,001	0,001	0,001	0,001	0,007	0,004	0,002	30
NO0042G	benzo_a_fluoranthene	air+aerosol	0,001	0,001	0,001	0,001	0,001	0,001	0,001	0,001	0,001	0,001	0,002	0,002	0,001	30
NO0042G	benzo_a_fluorene	air+aerosol	0,001	0,001	0,001	0,001	0,001	0,001	0,001	0,001	0,001	0,002	0,005	0,002	0,001	30
NO0042G	benzo_a_pyrene	air+aerosol	0,001	0,001	0,001	0,001	0,001	0,001	0,001	0,001	0,001	0,001	0,009	0,004	0,002	30
NO0042G	benzo_b_fluoranthene	air+aerosol	0,003	0,005	0,003	0,001	0,001	0,001	0,001	0,001	0,001	0,002	0,032	0,008	0,004	30
NO0042G	benzo_b_fluorene	air+aerosol	0,001	0,001	0,001	0,001	0,001	0,001	0,001	0,001	0,001	0,002	0,003	0,002	0,001	30
NO0042G	benzo_e_pyrene	air+aerosol	0,002	0,003	0,002	0,001	0,001	0,001	0,001	0,001	0,001	0,001	0,017	0,005	0,003	30
NO0042G	benzo_ghi_fluoranthene	air+aerosol	0,001	0,001	0,001	0,001	0,001	0,001	0,001	0,001	0,001	0,001	0,001	0,001	0,001	21
NO0042G	benzo_ghi_ptylene	air+aerosol	0,002	0,002	0,002	0,001	0,001	0,001	0,001	0,001	0,001	0,002	0,013	0,005	0,002	30
NO0042G	benzo_j_fluoranthene	air+aerosol	0,001	0,002	0,002	0,001	0,001	0,001	0,001	0,001	0,001	0,001	0,011	0,004	0,002	30
NO0042G	benzo_k_fluoranthene	air+aerosol	0,001	0,002	0,001	0,001	0,001	0,001	0,001	0,001	0,001	0,001	0,011	0,003	0,002	30
NO0042G	biphenyl	air+aerosol	0,436	0,349	0,298	0,087	0,015	0,009	0,010	0,031	0,100	0,238	0,773	0,707	0,248	30
NO0042G	chrysene	air+aerosol	0,003	0,004	0,003	0,001	0,001	0,001	0,001	0,001	0,001	0,001	0,026	0,007	0,004	30
NO0042G	coronene	air+aerosol	0,001	0,001	0,001	0,001	0,001	0,001	0,001	0,001	0,001	0,003	0,005	0,002	0,002	30
NO0042G	cyclopenta_cd_pyrene	air+aerosol	0,001	0,001	0,001	0,001	0,001	0,001	0,001	0,001	0,001	0,001	0,001	0,001	0,001	27

Site	Comp	Matrix	jan	feb	mar	apr	may	june	july	aug	sept	oct	nov	dec	2021	capture
NO0042G	dibenzo_ac_anthracene	air+aerosol	0,001	0,001	0,001	0,001	0,001	0,001	0,001	0,001	0,001	0,002	0,001	0,001	0,001	30
NO0042G	dibenzo_ae_pyrene	air+aerosol	0,001	0,001	0,001	0,001	0,001	0,001	0,001	0,001	0,002	0,004	0,003	0,001	0,002	30
NO0042G	dibenzo_ah_anthracene	air+aerosol	0,001	0,001	0,001	0,001	0,001	0,001	0,001	0,001	0,001	0,002	0,002	0,001	0,001	30
NO0042G	dibenzo_ah_pyrene	air+aerosol	0,002	0,001	0,001	0,001	0,001	0,001	0,001	0,001	0,002	0,004	0,001	0,001	0,002	30
NO0042G	dibenzo_ai_pyrene	air+aerosol	0,001	0,001	0,001	0,001	0,001	0,001	0,001	0,001	0,002	0,004	0,001	0,001	0,001	30
NO0042G	dibenzofuran	air+aerosol	0,761	0,555	0,447	0,153	0,022	0,018	0,020	0,046	0,219	0,576	0,820	0,796	0,369	30
NO0042G	dibenzothiophene	air+aerosol	0,004	0,003	0,002	0,001	0,001	0,001	0,001	0,001	0,002	0,002	0,010	0,009	0,003	30
NO0042G	fluoranthene	air+aerosol	0,028	0,021	0,011	0,007	0,008	0,005	0,006	0,007	0,016	0,038	0,084	0,026	0,020	30
NO0042G	fluorene	air+aerosol	0,338	0,174	0,063	0,027	0,012	0,011	0,012	0,017	0,062	0,165	0,345	0,385	0,133	30
NO0042G	inden_123cd_pyrene	air+aerosol	0,002	0,002	0,002	0,001	0,001	0,001	0,001	0,001	0,001	0,002	0,014	0,005	0,003	30
NO0042G	naphthalene	air+aerosol	0,428	0,270	0,115	0,065	0,042	0,039	0,025	0,102	0,107	0,204	0,690	0,799	0,233	30
NO0042G	perylene	air+aerosol	0,001	0,001	0,001	0,001	0,001	0,001	0,001	0,001	0,001	0,001	0,002	0,001	0,001	30
NO0042G	phe-threne	air+aerosol	0,068	0,040	0,028	0,029	0,026	0,023	0,026	0,030	0,035	0,037	0,089	0,038	0,038	30
NO0042G	pyrene	air+aerosol	0,008	0,009	0,006	0,005	0,006	0,003	0,005	0,006	0,009	0,021	0,047	0,015	0,011	30
NO0042G	retene	air+aerosol	0,002	0,001	0,001	0,001	0,002	0,001	0,001	0,002	0,003	0,007	0,002	0,001	0,002	28
NO0042G	triphenylene	air+aerosol	0,001	0,002	0,001	0,001	0,001	0,001	0,001	0,001	0,001	0,001	0,007	0,002	0,002	30
NO0042G	HCB	air+aerosol	45,738	41,728	42,675	44,972	47,361	44,367	44,032	42,436	45,885	49,096	42,283	45,939	44,533	29
NO0042G	PCB_101	air+aerosol	0,195	0,219	0,218	0,204	0,160	0,180	0,163	0,233	0,256	0,245	0,233	0,299	0,220	29
NO0042G	PCB_105	air+aerosol	0,020	0,022	0,022	0,018	0,014	0,018	0,016	0,018	0,024	0,027	0,032	0,036	0,023	29
NO0042G	PCB_114	air+aerosol	0,003	0,002	0,003	0,002	0,002	0,002	0,003	0,002	0,002	0,002	0,003	0,004	0,002	28
NO0042G	PCB_118	air+aerosol	0,066	0,070	0,072	0,060	0,045	0,057	0,051	0,061	0,079	0,085	0,091	0,111	0,072	29
NO0042G	PCB_122	air+aerosol	0,001	0,002	0,002	0,002	0,002	0,001	0,001	0,001	0,002	0,002	0,002	0,003	0,002	28
NO0042G	PCB_123	air+aerosol	0,002	0,002	0,002	0,001	0,001	0,001	0,002	0,001	0,002	0,002	0,002	0,003	0,002	27
NO0042G	PCB_128	air+aerosol	0,009	0,012	0,012	0,010	0,009	0,009	0,007	0,008	0,013	0,012	0,014	0,017	0,011	29
NO0042G	PCB_138	air+aerosol	0,054	0,069	0,064	0,053	0,043	0,047	0,041	0,053	0,072	0,070	0,076	0,101	0,063	29
NO0042G	PCB_141	air+aerosol	0,013	0,016	0,014	0,012	0,010	0,013	0,012	0,015	0,020	0,018	0,018	0,024	0,016	29
NO0042G	PCB_149	air+aerosol	0,090	0,149	0,109	0,100	0,090	0,098	0,087	0,133	0,132	0,122	0,110	0,148	0,115	29



Site	Comp	Matrix	jan	feb	mar	apr	may	june	july	aug	sept	oct	nov	dec	2021	capture
NO0042G	PCB_153	air+aerosol	0,078	0,106	0,094	0,078	0,057	0,064	0,061	0,080	0,100	0,104	0,098	0,142	0,090	29
NO0042G	PCB_156	air+aerosol	0,004	0,004	0,004	0,003	0,002	0,003	0,003	0,003	0,005	0,004	0,006	0,007	0,004	29
NO0042G	PCB_157	air+aerosol	0,001	0,001	0,001	0,001	0,001	0,001	0,001	0,001	0,001	0,001	0,001	0,001	0,001	29
NO0042G	PCB_167	air+aerosol	0,002	0,002	0,002	0,001	0,001	0,001	0,002	0,001	0,002	0,002	0,002	0,003	0,002	29
NO0042G	PCB_170	air+aerosol	0,006	0,006	0,005	0,005	0,005	0,005	0,005	0,004	0,007	0,006	0,006	0,008	0,006	29
NO0042G	PCB_18	air+aerosol	0,803	0,579	0,746	0,635	0,403	0,539	0,486	0,770	0,921	0,951	0,959	1,066	0,752	29
NO0042G	PCB_180	air+aerosol	0,017	0,016	0,014	0,014	0,013	0,014	0,013	0,013	0,018	0,017	0,016	0,023	0,016	29
NO0042G	PCB_183	air+aerosol	0,007	0,007	0,006	0,005	0,004	0,005	0,005	0,005	0,007	0,007	0,006	0,009	0,006	29
NO0042G	PCB_187	air+aerosol	0,017	0,022	0,016	0,014	0,010	0,011	0,011	0,015	0,017	0,019	0,015	0,025	0,016	29
NO0042G	PCB_189	air+aerosol	0,001	0,001	0,001	0,001	0,001	0,001	0,001	0,001	0,001	0,001	0,001	0,001	0,001	29
NO0042G	PCB_194	air+aerosol	0,002	0,002	0,002	0,002	0,002	0,002	0,002	0,002	0,002	0,002	0,001	0,002	0,002	29
NO0042G	PCB_206	air+aerosol	0,002	0,002	0,002	0,002	0,002	0,002	0,002	0,002	0,002	0,002	0,001	0,002	0,002	29
NO0042G	PCB_209	air+aerosol	0,003	0,002	0,006	0,003	0,002	0,001	0,002	0,002	0,002	0,001	0,002	0,002	0,002	29
NO0042G	PCB_28	air+aerosol	0,566	0,545	0,588	0,564	0,502	0,842	0,684	1,197	1,078	0,823	0,640	0,845	0,747	29
NO0042G	PCB_31	air+aerosol	0,505	0,479	0,499	0,478	0,418	0,729	0,617	1,043	0,926	0,736	0,575	0,754	0,653	29
NO0042G	PCB_33	air+aerosol	0,344	0,362	0,346	0,338	0,334	0,632	0,512	0,884	0,749	0,568	0,428	0,562	0,510	29
NO0042G	PCB_37	air+aerosol	0,086	0,107	0,077	0,082	0,102	0,192	0,169	0,244	0,207	0,138	0,100	0,142	0,137	29
NO0042G	PCB_47	air+aerosol	0,195	0,228	0,267	0,221	0,179	0,269	0,212	0,357	0,326	0,283	0,218	0,325	0,260	29
NO0042G	PCB_52	air+aerosol	0,387	0,398	0,433	0,412	0,294	0,346	0,297	0,459	0,492	0,468	0,432	0,553	0,419	29
NO0042G	PCB_66	air+aerosol	0,127	0,140	0,126	0,129	0,117	0,164	0,137	0,222	0,195	0,158	0,126	0,182	0,153	29
NO0042G	PCB_74	air+aerosol	0,093	0,102	0,102	0,101	0,083	0,110	0,094	0,155	0,141	0,117	0,095	0,131	0,111	29
NO0042G	PCB_99	air+aerosol	0,085	0,087	0,092	0,086	0,059	0,057	0,053	0,074	0,093	0,101	0,094	0,122	0,085	29
NO0042G	alpha_HCH	air+aerosol	1,274	1,736	1,819	2,287	2,475	2,183	2,378	3,221	3,642	3,269	3,233	1,958	2,504	29
NO0042G	cis_CD	air+aerosol	0,227	0,275	0,196	0,227	0,209	0,160	0,187	0,230	0,220	0,280	0,301	0,294	0,236	29
NO0042G	cis_NO	air+aerosol	0,009	0,014	0,013	0,016	0,025	0,023	0,024	0,032	0,030	0,030	0,022	0,019	0,022	29
NO0042G	gamma_HCH	air+aerosol	0,190	0,311	0,369	0,412	0,337	0,291	0,304	0,463	0,534	0,514	0,432	0,367	0,384	29
NO0042G	op_DDD	air+aerosol	0,010	0,012	0,005	0,005	0,003	0,003	0,005	0,004	0,005	0,006	0,007	0,012	0,006	27

Site	Comp	Matrix	jan	feb	mar	apr	may	june	july	aug	sept	oct	nov	dec	2021	capture
NO0042G	op_DDE	air+aerosol	0,030	0,069	0,050	0,028	0,009	0,008	0,006	0,007	0,016	0,024	0,032	0,061	0,030	28
NO0042G	op_DDT	air+aerosol	0,065	0,088	0,069	0,048	0,024	0,015	0,015	0,031	0,045	0,070	0,061	0,103	0,056	25
NO0042G	pp_DDD	air+aerosol	0,005	0,004	0,003	0,003	0,003	0,003	0,005	0,003	0,003	0,004	0,004	0,006	0,004	28
NO0042G	pp_DDE	air+aerosol	0,334	0,376	0,243	0,099	0,043	0,048	0,050	0,048	0,113	0,306	0,314	0,822	0,246	28
NO0042G	pp_DDT	air+aerosol	0,029	0,041	0,025	0,012	0,010	0,011	0,010	0,010	0,026	0,051	0,045	0,071	0,029	28
NO0042G	sum_DDT	air+aerosol	0,473	0,591	0,395	0,196	0,094	0,089	0,092	0,110	0,208	0,459	0,463	1,075	0,359	29
NO0042G	sum_PCB	air+aerosol	5,938	6,161	6,388	5,921	4,863	7,046	5,864	9,569	9,409	8,173	7,087	8,996	7,205	29
NO0042G	sum_heptachlor_PCB	air+aerosol	0,062	0,080	0,061	0,053	-	0,048	-	0,051	0,076	0,069	0,063	0,089	0,068	16
NO0042G	sum_hexachlor_PCB	air+aerosol	0,300	0,442	0,358	0,315	0,267	0,289	0,256	0,380	0,415	0,411	0,382	0,513	0,365	29
NO0042G	sum_pentachlor_PCB	air+aerosol	0,625	0,761	0,739	0,696	0,587	0,603	0,541	0,754	0,863	0,863	0,862	1,043	0,756	29
NO0042G	sum_tetrachlor_PCB	air+aerosol	1,755	1,999	2,043	1,965	1,594	2,136	1,708	2,758	2,724	2,320	1,938	2,660	2,154	29
NO0042G	sum_trichlor_PCB	air+aerosol	3,215	2,913	3,203	2,922	2,409	4,203	3,354	5,639	5,347	4,506	3,847	4,687	3,886	29
NO0042G	trans_CD	air+aerosol	0,128	0,161	0,106	0,102	0,054	0,037	0,043	0,043	0,048	0,072	0,110	0,150	0,088	29
NO0042G	trans_NO	air+aerosol	0,191	0,250	0,184	0,227	0,207	0,136	0,148	0,184	0,189	0,253	0,274	0,278	0,213	29
NO0090R	HCB	air+aerosol	32,400	37,800	35,600	26,554	25,900	15,300	17,900	17,800	21,100	26,200	26,200	48,200	27,493	7
PL0005R	benz_a_anthracene	pm10	2,181	1,407	0,406	0,198	0,036	0,006	0,009	0,020	0,056	0,342	0,562	1,342	0,541	100
PL0005R	benzo_a_pyrene	pm10	2,010	1,255	0,440	0,270	0,067	0,017	0,015	0,037	0,062	0,358	0,807	1,378	0,555	100
PL0005R	benzo_b_fluoranthene	pm10	2,745	1,815	0,650	0,368	0,113	0,031	0,025	0,045	0,149	0,707	0,983	1,836	0,782	100
PL0005R	benzo_k_fluoranthene	pm10	1,092	0,819	0,260	0,139	0,041	0,010	0,009	0,017	0,051	0,247	0,393	0,720	0,313	100
PL0005R	dibenzo_ah_anthracene	pm10	0,255	0,185	0,069	0,040	0,011	0,003	0,003	0,005	0,016	0,071	0,125	0,191	0,080	100
PL0005R	inden_123cd_pyrene	pm10	1,789	1,348	0,484	0,303	0,107	0,028	0,017	0,057	0,109	0,379	1,338	2,841	0,726	100
PL0009R	benz_a_anthracene	pm10	1,468	2,872	0,627	0,342	0,162	0,028	0,118	0,025	0,103	0,428	1,505	2,783	0,902	94
PL0009R	benzo_a_pyrene	pm10	1,412	2,941	0,784	0,522	0,205	0,048	0,115	0,058	0,163	0,572	1,369	1,935	0,873	94
PL0009R	benzo_b_fluoranthene	pm10	1,590	3,479	0,843	0,519	0,218	0,069	0,131	0,074	0,212	0,631	1,672	2,644	1,040	94
PL0009R	benzo_k_fluoranthene	pm10	0,777	1,656	0,412	0,271	0,127	0,038	0,076	0,037	0,110	0,311	0,846	1,515	0,532	94
PL0009R	dibenzo_ah_anthracene	pm10	0,097	0,187	0,041	0,046	0,018	0,009	0,009	0,005	0,014	0,053	0,123	0,143	0,064	94
PL0009R	inden_123cd_pyrene	pm10	1,060	1,977	0,591	0,470	0,178	0,069	0,126	0,064	0,202	0,523	1,482	1,597	0,719	94

Site	Comp	Matrix	jan	feb	mar	apr	may	june	july	aug	sept	oct	nov	dec	2021	capture
SE0014R	1234678_HpCDD	air+aerosol	0,300	-	0,054	0,054	0,048	0,035	-	0,033	0,033	0,033	0,210	0,210		
SE0014R	1234678_HpCDF	air+aerosol	0,150	-	0,042	0,042	0,038	0,031	-	0,028	0,028	0,028	0,110	0,110		
SE0014R	1234789_HpCDF	air+aerosol	0,022	-	0,006	0,006	0,005	0,004	-	0,004	0,004	0,004	0,014	0,014		
SE0014R	123478_HxCDD	air+aerosol	0,170	-	0,044	0,044	0,043	0,040	-	0,040	0,040	0,040	0,170	0,170		
SE0014R	123478_HxCDF	air+aerosol	0,480	-	0,095	0,095	0,093	0,090	-	0,070	0,070	0,070	0,340	0,340		
SE0014R	123678_HxCDD	air+aerosol	0,310	-	0,054	0,054	0,052	0,047	-	0,040	0,040	0,040	0,280	0,280		
SE0014R	123678_HxCDF	air+aerosol	0,430	-	0,075	0,075	0,069	0,057	-	0,063	0,063	0,063	0,290	0,290		
SE0014R	123789_HxCDD	air+aerosol	0,250	-	0,044	0,044	0,043	0,040	-	0,040	0,040	0,040	0,220	0,220		
SE0014R	123789_HxCDF	air+aerosol	0,180	-	0,044	0,044	0,041	0,034	-	0,049	0,049	0,049	0,110	0,110		
SE0014R	12378_PeCDD	air+aerosol	1,500	-	0,520	0,520	0,413	0,200	-	0,200	0,200	0,200	2,400	2,400		
SE0014R	12378_PeCDF	air+aerosol	0,090	-	0,018	0,018	0,018	0,017	-	0,021	0,021	0,021	0,075	0,075		
SE0014R	234678_HxCDF	air+aerosol	0,510	-	0,089	0,089	0,087	0,082	-	0,074	0,074	0,074	0,370	0,370		
SE0014R	23478_PeCDF	air+aerosol	1,800	-	0,279	0,279	0,285	0,297	-	0,267	0,267	0,267	1,380	1,380		
SE0014R	2378_TCDD	air+aerosol	0,360	-	0,110	0,110	0,107	0,100	-	0,100	0,100	0,100	0,540	0,540		
SE0014R	2378_TCDF	air+aerosol	0,430	-	0,094	0,094	0,092	0,088	-	0,087	0,087	0,087	0,310	0,310		
SE0014R	BDE_100	air+aerosol	0,030	0,030	0,030	0,030	0,030	0,030	0,030	0,030	0,030	0,030	0,030	0,030	0,030	100
SE0014R	BDE_153	air+aerosol	0,040	0,040	0,040	0,040	0,040	0,040	0,040	0,040	0,040	0,040	0,040	0,040	0,040	100
SE0014R	BDE_154	air+aerosol	0,044	0,040	0,040	0,040	0,040	0,040	0,040	0,040	0,040	0,075	0,068	0,050	0,046	100
SE0014R	BDE_209	air+aerosol	0,234	0,310	0,467	0,440	0,278	0,450	-	0,297	0,250	0,322	0,268	0,380	0,335	90
SE0014R	BDE_47	air+aerosol	0,036	0,042	0,030	0,030	0,030	0,037	0,052	0,031	0,030	0,041	0,030	0,030	0,035	100
SE0014R	BDE_85	air+aerosol	0,040	0,228	0,040	0,040	0,041	0,068	0,141	0,127	0,224	0,058	0,040	0,040	0,089	100
SE0014R	BDE_99	air+aerosol	0,040	0,035	0,030	0,030	0,030	0,030	0,030	0,030	0,030	0,035	0,030	0,030	0,032	100
SE0014R	FTS_6-2	air+aerosol	0,077	0,252	0,140	0,050	0,223	0,088	0,050	0,267	0,455	0,236	0,155	0,074	0,171	100
SE0014R	HCB	air+aerosol	19,032	20,000	20,000	20,000	20,000	20,000	20,000	20,000	20,000	20,000	20,000	20,000	19,918	100
SE0014R	OCDD	air+aerosol	0,020	-	0,004	0,004	0,004	0,003	-	0,003	0,003	0,003	0,015	0,015	0,007	37
SE0014R	OCDF	air+aerosol	0,004	-	0,017	0,017	0,012	0,001	-	0,001	0,001	0,001	0,002	0,002	0,006	37
SE0014R	PCB_101	air+aerosol	0,393	0,374	0,334	0,510	0,626	1,716	2,316	1,413	1,403	1,012	0,521	0,342	0,916	100

Site	Comp	Matrix	jan	feb	mar	apr	may	june	july	aug	sept	oct	nov	dec	2021	capture
SE0014R	PCB_118	air+aerosol	0,120	0,117	0,108	0,174	0,232	0,518	0,711	0,484	0,499	0,258	0,151	0,107	0,291	100
SE0014R	PCB_138	air+aerosol	0,243	0,287	0,213	0,346	0,522	1,049	1,755	0,982	1,022	0,626	0,293	0,218	0,632	100
SE0014R	PCB_153	air+aerosol	0,294	0,330	0,238	0,371	0,638	1,040	1,483	0,820	1,021	0,644	0,355	0,253	0,626	100
SE0014R	PCB_180	air+aerosol	0,097	0,146	0,068	0,123	0,178	0,291	0,582	0,272	0,263	0,143	0,087	0,079	0,195	100
SE0014R	PCB_28	air+aerosol	0,632	0,542	0,470	0,536	0,745	1,085	1,073	0,812	0,796	0,904	0,578	0,501	0,724	100
SE0014R	PCB_52	air+aerosol	0,572	0,516	0,495	0,638	1,020	1,780	2,731	2,312	3,033	1,776	0,789	0,528	1,354	100
SE0014R	PFBA	air+aerosol	1,596	2,556	4,228	4,261	2,167	1,500	3,018	7,340	6,315	3,380	3,911	2,537	3,571	100
SE0014R	PFBS	air+aerosol	0,050	0,050	0,050	0,050	0,050	0,050	0,050	0,050	0,050	0,050	0,050	0,050	0,050	100
SE0014R	PFDcA	air+aerosol	0,052	0,050	0,054	0,089	0,063	0,124	0,050	0,090	0,064	0,081	0,104	0,056	0,073	100
SE0014R	PFDcS	air+aerosol	0,050	0,050	0,055	0,050	0,050	0,050	0,050	0,050	0,050	0,050	0,050	0,050	0,050	100
SE0014R	PFHpA	air+aerosol	0,074	0,095	0,154	0,111	0,123	0,182	0,259	0,247	0,208	0,139	0,158	0,073	0,152	100
SE0014R	PFHxA	air+aerosol	0,159	0,090	0,314	0,361	0,302	0,457	0,530	0,534	0,310	0,227	0,373	0,325	0,333	100
SE0014R	PFHxS	air+aerosol	0,081	0,068	0,083	0,090	0,053	0,053	0,084	0,062	0,071	0,085	0,087	0,050	0,072	100
SE0014R	PFNA	air+aerosol	0,132	0,090	0,243	0,256	0,235	0,268	0,287	0,232	0,273	0,268	0,238	0,130	0,222	100
SE0014R	PFOA	air+aerosol	0,442	0,346	0,606	0,453	0,390	0,487	0,599	0,610	0,484	0,502	0,522	0,280	0,478	100
SE0014R	PFOS	air+aerosol	0,402	0,112	0,580	0,606	0,703	0,234	0,466	0,267	0,580	0,572	0,444	0,425	0,452	100
SE0014R	PFOSA	air+aerosol	0,050	0,050	0,050	0,050	0,050	0,050	0,050	0,050	0,050	0,050	0,050	0,050	0,050	100
SE0014R	PFUnA	air+aerosol	0,050	0,050	0,050	0,050	0,050	0,050	0,050	0,050	0,050	0,050	0,050	0,050	0,050	100
SE0014R	aldrin	air+aerosol	0,100	0,100	0,100	0,100	0,100	0,110	0,200	0,194	0,100	0,100	0,100	0,100	0,117	100
SE0014R	alpha_HCH	air+aerosol	0,977	0,820	1,132	1,520	1,800	1,793	1,730	2,182	1,600	0,182	1,457	0,850	1,338	100
SE0014R	alpha_endosulfan	air+aerosol	0,100	0,320	0,205	0,160	0,361	0,787	0,670	0,349	0,450	0,378	0,100	0,100	0,333	99
SE0014R	anthracene	air+aerosol	0,026	0,008	0,006	0,003	0,003	0,002	0,002	0,002	0,004	0,006	0,018	0,030	0,009	100
SE0014R	benz_a_anthracene	air+aerosol	0,049	0,013	0,015	0,004	0,005	0,006	0,010	0,005	0,008	0,016	0,020	0,040	0,016	100
SE0014R	benzo_a_pyrene	air+aerosol	0,050	0,014	0,015	0,004	0,005	0,001	0,001	0,003	0,007	0,017	0,023	0,050	0,016	100
SE0014R	benzo_b_fluoranthene	air+aerosol	0,063	0,015	0,016	0,005	0,006	0,002	0,002	0,003	0,010	0,019	0,031	0,078	0,021	100
SE0014R	benzo_ghi_perylene	air+aerosol	0,057	0,020	0,016	0,005	0,005	0,002	0,002	0,003	0,010	0,016	0,028	0,051	0,018	100
SE0014R	benzo_k_fluoranthene	air+aerosol	0,038	0,011	0,012	0,004	0,005	0,002	0,002	0,003	0,008	0,015	0,021	0,039	0,013	100

Site	Comp	Matrix	jan	feb	mar	apr	may	june	july	aug	sept	oct	nov	dec	2021	capture
SE0014R	beta_endosulfan	air+aerosol	0,098	0,100	0,100	0,100	0,100	0,100	0,100	0,100	0,100	0,100	0,100	0,100	0,100	100
SE0014R	chrysene	air+aerosol	0,115	0,035	0,036	0,015	0,017	0,006	0,005	0,008	0,019	0,039	0,053	0,007	0,030	100
SE0014R	dibenzo_ah_anthracene	air+aerosol	0,012	0,002	0,002	0,001	0,001	0,000	0,000	0,001	0,001	0,003	0,004	0,012	0,003	100
SE0014R	fluoranthene	air+aerosol	0,468	0,224	0,172	0,062	0,087	0,062	0,070	0,059	0,097	0,154	0,223	0,425	0,176	100
SE0014R	gamma_HCH	air+aerosol	1,099	1,300	1,084	1,120	2,917	3,705	4,470	2,798	3,190	0,336	1,245	0,750	2,193	100
SE0014R	inden_123cd_pyrene	air+aerosol	0,063	0,020	0,019	0,005	0,007	0,002	0,002	0,004	0,012	0,025	0,039	0,072	0,023	100
SE0014R	phe-threne	air+aerosol	1,303	0,802	0,542	0,240	0,338	0,326	0,346	0,238	0,335	0,458	0,720	1,294	0,579	100
SE0014R	pp_DDD	air+aerosol	0,137	0,650	0,158	0,050	0,125	0,113	0,050	0,044	0,100	0,037	0,390	-	0,163	91
SE0014R	pp_DDE	air+aerosol	1,332	1,490	0,676	0,360	0,924	0,741	0,570	0,340	1,200	3,160	1,411	0,860	1,087	100
SE0014R	pp_DDT	air+aerosol	0,159	0,370	0,117	0,090	0,250	0,283	0,310	0,162	0,250	0,051	0,203	0,100	0,194	100
SE0014R	pyrene	air+aerosol	0,301	0,146	0,113	0,039	0,051	0,031	0,037	0,034	0,062	0,098	0,190	0,367	0,123	100
SE0020R	anthracene	air+aerosol	0,007	0,014	0,001	0,001	0,000	0,000	0,000	0,000	0,001	0,001	0,004	0,024	0,004	100
SE0020R	benz_a_anthracene	air+aerosol	0,042	0,056	0,005	0,003	0,001	0,002	0,002	0,002	0,005	0,016	0,023	0,124	0,023	100
SE0020R	benzo_a_pyrene	air+aerosol	0,065	0,115	0,014	0,013	0,005	0,005	0,003	0,002	0,008	0,025	0,032	0,142	0,035	100
SE0020R	benzo_b_fluoranthene	air+aerosol	0,085	0,111	0,015	0,012	0,006	0,004	0,001	0,001	0,007	0,025	0,031	0,140	0,036	100
SE0020R	benzo_ghi_perylene	air+aerosol	0,088	0,142	0,024	0,020	0,010	0,008	0,004	0,004	0,014	0,036	0,046	0,173	0,047	100
SE0020R	benzo_k_fluoranthene	air+aerosol	0,049	0,090	0,012	0,010	0,005	0,004	0,002	0,002	0,007	0,019	0,025	0,106	0,027	100
SE0020R	chrysene	air+aerosol	0,084	0,186	0,021	0,019	0,008	0,007	0,004	0,004	0,013	0,035	0,046	0,227	0,054	100
SE0020R	dibenzo_ah_anthracene	air+aerosol	0,018	0,030	0,004	0,003	0,002	0,001	0,001	0,001	0,002	0,005	0,007	0,033	0,009	100
SE0020R	fluoranthene	air+aerosol	0,118	0,351	0,034	0,038	0,010	0,012	0,007	0,006	0,020	0,053	0,058	0,319	0,084	100
SE0020R	inden_123cd_pyrene	air+aerosol	0,089	0,162	0,024	0,021	0,010	0,008	0,004	0,004	0,014	0,038	0,047	0,178	0,049	100
SE0020R	phe-threne	air+aerosol	0,053	0,209	0,017	0,019	0,008	0,008	0,008	0,007	0,010	0,025	0,030	0,193	0,048	100
SE0020R	pyrene	air+aerosol	0,115	0,316	0,032	0,032	0,009	0,010	0,005	0,005	0,017	0,050	0,056	0,303	0,078	100
SE0022R	1234678_HpCDD	air+aerosol	-	-	0,031	0,031	0,031	0,013	-	0,037	0,037	-	0,086	0,086		
SE0022R	1234678_HpCDF	air+aerosol	-	-	0,024	0,024	0,024	0,021	-	0,042	0,042	-	0,057	0,057		
SE0022R	1234789_HpCDF	air+aerosol	-	-	0,003	0,003	0,003	0,003	-	0,007	0,007	-	0,008	0,008		
SE0022R	123478_HxCDD	air+aerosol	-	-	0,037	0,037	0,037	0,017	-	0,031	0,031	-	0,066	0,066		

Site	Comp	Matrix	jan	feb	mar	apr	may	june	july	aug	sept	oct	nov	dec	2021	capture
SE0022R	123478_HxCDF	air+aerosol	-	-	0,110	0,110	0,110	0,043	-	0,110	0,110	-	0,200	0,200		
SE0022R	123678_HxCDD	air+aerosol	-	-	0,036	0,036	0,036	0,024	-	0,032	0,032	-	0,110	0,110		
SE0022R	123678_HxCDF	air+aerosol	-	-	0,072	0,072	0,072	0,032	-	0,068	0,068	-	0,160	0,160		
SE0022R	123789_HxCDD	air+aerosol	-	-	0,030	0,030	0,030	0,018	-	0,025	0,025	-	0,080	0,080		
SE0022R	123789_HxCDF	air+aerosol	-	-	0,065	0,065	0,065	0,039	-	0,051	0,051	-	0,099	0,099		
SE0022R	12378_PeCDD	air+aerosol	-	-	0,310	0,310	0,310	0,180	-	0,640	0,640	-	0,790	0,790		
SE0022R	12378_PeCDF	air+aerosol	-	-	0,051	0,051	0,051	0,011	-	0,026	0,026	-	0,063	0,063		
SE0022R	234678_HxCDF	air+aerosol	-	-	0,095	0,095	0,095	0,049	-	0,093	0,093	-	0,210	0,210		
SE0022R	23478_PeCDF	air+aerosol	-	-	0,750	0,750	0,750	0,150	-	0,300	0,300	-	1,020	1,020		
SE0022R	2378_TCDD	air+aerosol	-	-	0,260	0,260	0,260	0,090	-	0,520	0,520	-	0,280	0,280		
SE0022R	2378_TCDF	air+aerosol	-	-	0,230	0,230	0,230	0,061	-	0,170	0,170	-	0,290	0,290		
SE0022R	BDE_100	air+aerosol	0,030	0,030	0,030	0,030	0,030	0,030	0,030	0,030	0,030	0,030	0,030	0,030	0,030	100
SE0022R	BDE_153	air+aerosol	0,030	0,030	0,030	0,030	0,030	0,030	0,030	0,030	0,030	0,030	0,030	0,030	0,030	100
SE0022R	BDE_154	air+aerosol	0,030	0,030	0,030	0,030	0,030	0,030	0,030	0,030	0,030	0,030	0,030	0,030	0,030	100
SE0022R	BDE_47	air+aerosol	0,030	0,030	0,030	0,030	0,030	0,033	0,041	0,031	0,029	0,030	0,031	0,068	0,035	100
SE0022R	BDE_85	air+aerosol	0,030	0,030	0,030	0,030	0,030	0,030	0,030	0,030	0,030	0,030	0,030	0,030	0,030	100
SE0022R	BDE_99	air+aerosol	0,030	0,030	0,030	0,030	0,030	0,030	0,030	0,030	0,030	0,030	0,033	0,127	0,039	100
SE0022R	HCB	air+aerosol	20,000	20,000	20,000	20,000	20,000	20,000	20,000	20,000	20,000	20,000	20,000	20,000	20,000	100
SE0022R	OCDD	air+aerosol	-	-	0,002	0,002	0,002	0,001	-	0,003	0,003	-	0,005	0,005	0,003	34
SE0022R	OCDF	air+aerosol	-	-	0,002	0,002	0,002	0,010	-	0,026	0,026	-	0,007	0,007	0,011	34
SE0022R	PCB_101	air+aerosol	0,293	0,275	0,255	0,252	0,478	0,775	0,795	0,558	0,512	0,470	0,231	0,222	0,427	100
SE0022R	PCB_118	air+aerosol	0,081	0,072	0,069	0,090	0,148	0,207	0,255	0,158	0,143	0,091	0,075	0,080	0,123	100
SE0022R	PCB_138	air+aerosol	0,144	0,142	0,129	0,140	0,265	0,490	0,527	0,318	0,274	0,264	0,108	0,093	0,242	100
SE0022R	PCB_153	air+aerosol	0,162	0,158	0,158	0,115	0,236	0,610	0,470	0,396	0,332	0,308	0,154	0,123	0,269	100
SE0022R	PCB_180	air+aerosol	0,057	0,052	0,045	0,048	0,083	0,139	0,155	0,087	0,080	0,077	0,041	0,040	0,076	100
SE0022R	PCB_28	air+aerosol	0,696	0,553	0,519	0,426	0,687	0,635	0,621	0,495	0,674	0,759	0,508	0,583	0,597	100
SE0022R	PCB_52	air+aerosol	0,536	0,448	0,427	0,396	0,654	0,754	0,769	0,672	0,869	0,859	0,410	0,444	0,605	100

Site	Comp	Matrix	jan	feb	mar	apr	may	june	july	aug	sept	oct	nov	dec	2021	capture
SE0022R	alpha_HCH	air+aerosol	1,110	1,110	1,220	1,140	1,754	1,813	1,710	2,121	2,376	1,980	1,862	1,790	1,669	100
SE0022R	anthracene	air+aerosol	0,035	0,018	0,013	0,005	0,006	0,004	0,005	0,004	0,008	0,011	0,033	0,064	0,017	100
SE0022R	benz_a_anthracene	air+aerosol	0,037	0,014	0,015	0,004	0,007	0,007	0,010	0,005	0,009	0,016	0,019	0,040	0,016	100
SE0022R	benzo_a_pyrene	air+aerosol	0,035	0,015	0,015	0,004	0,005	0,001	0,001	0,003	0,008	0,018	0,023	0,056	0,015	100
SE0022R	benzo_b_fluoranthene	air+aerosol	0,039	0,016	0,017	0,005	0,006	0,002	0,002	0,003	0,011	0,021	0,028	0,057	0,017	100
SE0022R	benzo_ghi_perylene	air+aerosol	0,049	0,021	0,016	0,005	0,006	0,002	0,002	0,002	0,011	0,017	0,027	0,051	0,017	100
SE0022R	benzo_k_fluoranthene	air+aerosol	0,028	0,012	0,012	0,004	0,005	0,002	0,002	0,003	0,008	0,016	0,020	0,044	0,013	100
SE0022R	chrysene	air+aerosol	0,095	0,041	0,040	0,015	0,017	0,006	0,005	0,008	0,022	0,051	0,079	0,134	0,043	100
SE0022R	dibenzo_ah_anthracene	air+aerosol	0,008	0,003	0,003	0,001	0,001	0,000	0,000	0,001	0,002	0,004	0,006	0,012	0,003	100
SE0022R	fluoranthene	air+aerosol	0,405	0,243	0,189	0,062	0,087	0,062	0,070	0,058	0,104	0,165	0,230	0,486	0,180	100
SE0022R	gamma_HCH	air+aerosol	0,780	0,983	1,079	0,550	1,986	3,053	2,120	2,141	1,684	1,900	1,065	0,930	1,526	100
SE0022R	inden_123cd_pyrene	air+aerosol	0,050	0,021	0,020	0,005	0,007	0,002	0,002	0,003	0,014	0,027	0,037	0,072	0,022	100
SE0022R	phe-threne	air+aerosol	1,175	0,815	0,560	0,240	0,335	0,326	0,346	0,238	0,349	0,471	0,693	1,294	0,570	100
SE0022R	pp_DDD	air+aerosol	0,240	0,182	0,424	0,040	0,094	0,097	0,050	0,061	0,116	0,170	1,164	2,560	0,436	100
SE0022R	pp_DDE	air+aerosol	1,220	0,709	0,731	0,210	0,770	0,899	0,600	0,666	1,318	1,930	0,950	0,810	0,903	100
SE0022R	pp_DDT	air+aerosol	0,180	0,151	0,151	0,160	0,314	0,415	0,480	0,286	0,337	0,400	0,118	0,070	0,256	100
SE0022R	pyrene	air+aerosol	0,261	0,150	0,117	0,041	0,056	0,031	0,037	0,033	0,070	0,114	0,181	0,367	0,122	100
SI0008R	benz_a_anthracene	pm10	0,273	0,119	0,090	0,080	0,009	0,009	0,009	0,009	0,014	0,072	0,125	0,196	0,084	33
SI0008R	benzo_a_pyrene	pm10	0,473	0,179	0,168	0,135	0,027	0,009	0,009	0,009	0,024	0,145	0,257	0,414	0,155	33
SI0008R	benzo_bjk_fluoranthenes	pm10	1,127	0,558	0,527	0,339	0,143	0,044	0,056	0,073	0,068	0,342	0,577	0,954	0,403	33
SI0008R	dibenzo_ah_anthracene	pm10	0,093	0,060	0,049	0,021	0,009	0,009	0,009	0,009	0,009	0,019	0,048	0,063	0,033	33
SI0008R	inden_123cd_pyrene	pm10	0,496	0,221	0,190	0,140	0,026	0,009	0,009	0,009	0,032	0,182	0,293	0,442	0,172	33

## NILU

The climate and environmental research institute NILU is an independent, non-profit research institution established in 1969. Through its research NILU increases the understanding of atmospheric composition, climate change, air quality, environmental contaminants, health effects, sustainable systems, circular economy, and digitalisation. Based on its research, NILU markets integrated services and products within analysing, monitoring and consulting. NILU is concerned with increasing public awareness about climate change and environmental pollution.

*NILU's values: Integrity - Competence - Benefit to society*

*NILU's vision: Create sustainable development through internationally leading climate and environmental research*

NILU

P.O. Box 100, NO-2027 KJELLER, Norway

E-mail: [nilu@nilu.no](mailto:nilu@nilu.no)

<http://www.nilu.no>

Enterprise no.: 941 705 561

ISBN: 978-82-425-3129-2

ISSN: 2464-3920

